

626.4  
A-44  
626.4  
A 44

# МАТЕРИАЛЫ ДЛЯ ПРОЕКТИРОВАНИЯ КАМЕРНЫХЪ ШЛЮЗОВЪ.

СОСТАВИЛИ

Н. А. АКУЛОВЪ и С. А. ПРОКОФЬЕВЪ

Инженеры Путей Сообщенія

ПРЕПОДАВАТЕЛИ КІЕВСКАГО ПОЛИТЕХНИЧЕСКАГО ИНСТИТУТА

Императора Александра II.

Съ 7 фототипіями въ текстѣ и отдельными атласомъ чертежей.



КІЕВЪ.

Типографія С. В. Куліженко, Пушкинская ул., собственный домъ № 4.  
1905.



172

173

174

175



У 626  
A-44

МАТЕРИАЛЫ ДЛЯ ПРОЕКТИРОВАНИЯ

# КАМЕРНЫХЪ ШЛЮЗОВЪ.



СОСТАВИЛИ

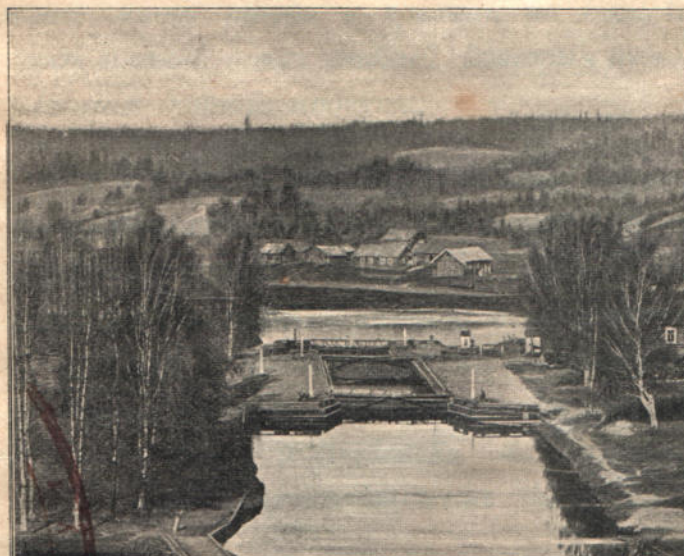
Н. А. АКУЛОВЪ и С. А. ПРОКОФЬЕВЪ

Инженеры Путей Сообщения

ПРЕПОДАВАТЕЛИ КІЕВСЬКОГО ПОЛИТЕХНИЧЕСКАГО ИНСТИТУТА

Императора Александра II.

Съ 7 фототипиями въ текстъ и отдельнымъ атласомъ чертежей.



КІЕВЪ.

Типографія С. В. Кульженко, Пушкінська ул., собственный домъ № 4.  
1904.



Дозволено Цензурою. Кіевъ, 26 Іюля 1904 года.

## Предисловие.

Настоящій трудъ имѣетъ своей цѣлью служить для студентовъ пособіемъ при проектированіи шлюзовъ.

Въ русской технической литературѣ чувствуется недостатокъ въ руководствахъ по этому вопросу, что и вынуждало студентовъ постоянно обращаться къ иностраннымъ источникамъ, причемъ затрачивалось много труда и времени на отысканіе и переводъ именно тѣхъ статей, которыя нужны для составленія даннаго проекта.

Желая оказать посильную помощь студентамъ, мы рѣшились издать настоящій трудъ. Онъ не представляетъ, конечно, полную и систематическую руководства къ проектированію шлюзовъ, но ввиду того, что при составленіи его мы пользовались трудами такихъ авторитетовъ, какъ инженеры *de Mas*, *Lagrené*, *Landsberg* и *Brennepcke*, мы полагали, что онъ во всякомъ случаѣ можетъ быть полезнымъ пособіемъ.

Для возможной полноты выясненія даннаго вопроса мы рѣшились включить въ предлагаемое ру-

ководство и нѣкоторыя части изъ Трудовъ Инженеровъ Вытегорскаю Okруга, которые въ настоящее время представляютъ почти библіографическую рѣдкость, между тѣмъ какъ они заключаютъ въ себѣ многое весьма цѣнныхъ указаний по деревяннымъ шлюзамъ.

Киевъ, 22 Ноября 1904 г.

Слѣдуетъ изъдать въ видѣ отдельной книжки  
издѣліе о шлюзахъ въ окрестностяхъ Кременчуга  
и Краснограда.

Предлагаемое изданіе должно состоять изъ  
трехъ частей: 1) обзоръ изданій по истории и сре-  
дствамъ изысканія шлюзовъ въ окрестностяхъ Кре-  
менчуга и Краснограда; 2) изысканія шлюзовъ въ  
окрестностяхъ Кременчуга и Краснограда; 3) изысканія  
шлюзовъ въ окрестностяхъ Кременчуга и Краснограда.

Въ первомъ изданіи должны быть изложены  
всѣ изданія по истории и изысканію шлюзовъ въ  
окрестностяхъ Кременчуга и Краснограда. Въ второмъ  
изданіи должны быть изложены изысканія шлюзовъ въ  
окрестностяхъ Кременчуга и Краснограда. Въ третьемъ  
изданіи должны быть изложены изысканія шлюзовъ въ  
окрестностяхъ Кременчуга и Краснограда.

# Інженерні стандарти виконання шлюзів

документи та інші нормативні матеріали з відповідною розшифровкою. Всі ці документи використовуються в проектуванні та будівництві шлюзів.

## СОДЕРЖАНИЕ

Видання складається з п'яти частин: I—ІІІ, IV—V та приложень. Кожна частина використовується в окремих випадках, якщо це не зазначено в самому виданні.

### Шлюзовыя стѣны.

- |   |       |
|---|-------|
| § 1. Наименование отдельныхъ ихъ частей. § 2. Соображения, которыми слѣдуетъ руководиться при устройствѣ шкафныхъ угловъ. § 3. Стѣны камеры. Определение профиля береговой стѣны. § 4. Профиль по Bélidor'ю. § 5. Профиль по Gauthey'ю. § 6. Профиль по Minard'ю. § 7. Разсмотрѣніе формы стѣны вообще. § 8. Рациональная формула для определенія толщины стѣны рѣчного шлюза. § 9. Эмпирическая формула для определенія толщины стѣны рѣчного шлюза. § 10. Рациональная формула для определенія толщины стѣны шлюза, расположенного въ каналѣ. § 11. Эмпирическая формула для определенія толщины стѣны шлюза, расположеннаго въ каналѣ. § 12. Определеніе толщины стѣны шлюза въ томъ случаѣ, когда земляная засыпка вслѣдствіе сильнаго увлажненія можетъ производить давленіе больши гидростатического. § 13. Нижняя голова шлюза. § 14. Шкафные стѣны. § 15. Упорныя стѣны. § 16. Расчетъ упорной стѣны. § 17. Обратныя стѣнки . . . . . | 1— 39 |
|---|-------|

### Фундаментъ шлюза.

- |   |        |
|---|--------|
| § 18. Общія соображенія. § 19. Определеніе толщины сплошного фундамента шлюза . . . . . | 39— 69 |
|---|--------|

### Стѣны и основанія деревянныхъ шлюзовъ.

- |  |        |
|--|--------|
| § 20. Стѣны. § 21. Верхнія крылья. § 22. Флотбетныя стѣны. § 23. Стѣнка паденія. § 24. Флотбетная часть нижней головы. § 25. Нижнія крылья. § 26. Камерныя стѣны. § 27. Основанія деревянныхъ шлюзовъ. § 28. Устройство флотбета камеры. § 29. Устройство вереяльныхъ и шандорныхъ столбовъ. § 30. Входныи пильы . . . . . | 69— 91 |
|--|--------|

## Желѣзныя створчатыя ворота шлюзовъ.

СТРАН.

§ 31. Краткія свѣдѣнія о постепенной выработкѣ типа шлюзовыхъ воротъ. § 32. Створчатыя ворота. § 33. Элементы створчатыхъ воротъ. § 34. Типы створчатыхъ воротъ. § 35. Силы, дѣйствующія на створчатыя ворота. § 36. Реакція стѣнъ. § 37. Краткий выводъ формулъ для расчета нераазрѣзныхъ балокъ. § 38. Расчетъ обшивки изъ досокъ и волнистаго желѣза. § 39. Общія замѣчанія относительно расчета плоской обшивки изъ листового желѣза. § 40. Расчетъ плоской обшивки изъ листового желѣза. § 41. Расчетъ обшивки изъ листового желѣза на криволинейныхъ воротахъ. § 42. Устройство обшивки. а) деревянная обшивка. б) плоская обшивка изъ листового желѣза. с) обшивка изъ волнистаго или лотковаго желѣза. § 43. Увеличеніе жесткости плоской обшивки . . . . .	91—153
---	--------

## Остовъ воротъ.

§ 44. Ригели. § 45. Нижній рамный брусь. § 46. Верхній брусь и служебный мостикъ. § 47. Количество материала въ ригеляхъ. § 48. Сравненіе ригельныхъ и стоечныхъ воротъ. § 49. Стойки. § 50. Вереяльные столбы. § 51. Расчетъ вереяльныхъ столбовъ. § 52. Створные столбы: а) ригельныя ворота б) стоечные ворота с) криволинейныя ворота . . . . .	153—193
---	---------

## Расчетъ ригельно=стоечныхъ воротъ по способу инженера Cadart'a.

§ 53. Первый случай. 54. Полотно состоять изъ трехъ стоеекъ и равноотстоящихъ другъ отъ друга ригелей. § 55. Усилие, являющееся результатомъ створа. § 56. Полотно, въ которомъ число стоеекъ болѣе трехъ. 57. Второй случай. 58. Полотно съ тремя стойками и равноотстоящими другъ отъ друга ригелями. § 59. Полотно съ 4-мя равноотстоящими стойками. 60. Деревянныя шлюзныя ворота. § 61. Сравненіе шлюзныхъ воротъ деревянныхъ, металлическихъ и смѣшанного типа . . . . .	193—221
--	---------

## Механизмы воротъ.

§ 62. Пята съ пятникомъ. § 63. Шипъ и гальсантъ. § 64. Приспособленія для закрытія и открытія водопроводныхъ оконъ а) подъемные щиты б) вращающіеся щиты . . . . .	221—246
--	---------

**Расчетъ усилія для открыванія шлюзныхъ воротъ.**

СТРАН.

- § 65. Определеніе величины усилія, потребного для открытия шлюзныхъ воротъ по новѣйшимъ изслѣдованіямъ . . . . . 246—258
-

AH

Paseo p' Zorros que se sublevan en monasterio  
Santiago

8 69. Que se celebra solemnemente en la iglesia  
de Santiago en la festividad de su patrón el 25 de julio.

## Шлюзовые стѣны.

**§ 1. Наименование отдельныхъ ихъ частей.** Начиная настоящій твой трудъ съ разсмотрѣнія условій устойчивости и прочности каменныхъ шлюзовыхъ стѣнь, мы считаемъ нужнымъ прежде всего установить болѣе точное и опредѣленное разграничение отдельныхъ ихъ частей, чѣмъ это сдѣлано въ курсѣ внутреннихъ водяныхъ сообщеній проф. Ф. Г. Зброжека.

Каждый камерный шлюзъ можно рассматривать состоящимъ какъ-бы изъ двухъ полушилюзовъ и нѣкотораго протяженія канала между ними, берега котораго могутъ быть сдѣланы или въ видѣ укрѣпленныхъ откосовъ, или въ видѣ стѣнь набережныхъ.

Полушилюзы получаютъ название шлюзовыхъ частей, или головъ—верхней и нижней, а упомянутый выше каналъ называется камерою.

Каждая голова шлюза въ свою очередь состоитъ изъ слѣдующихъ частей:

- 1) обратныхъ стѣнокъ или крыльевъ, служащихъ для связи стѣны съ берегомъ;
- 2) входныхъ стѣнъ, которые соединяются съ обратными стѣнками посредствомъ закругленій радиусомъ отъ 0,50 до 1 метра, чтобы облегчить входъ и выходъ судовъ; на разстояніи отъ 0,10 метр. до 0,20 метр. ниже закругленій во входныхъ стѣнахъ дѣлаются пазы для закладыванія шандоровъ. Ширина и глубина пазовъ варьируетъ въ зависимости отъ размѣровъ шандоровъ, а слѣдовательно и отъ размѣровъ шлюза. Обыкновенно пазы дѣлаются одинаковыми какъ въ глубину, такъ и въ ширину, причемъ размѣры ихъ колеблются отъ 0,25 до 0,40

метра. Конечно одинъ рядъ шандоровъ можетъ выдержать напоръ воды только при незначительной ширинѣ шлюза и величинѣ напора; въ противномъ случаѣ обыкновенно устраивали два ряда шандоровъ, промежутокъ между которыми заполнялся водонепроницаемымъ грунтомъ, причемъ по мнѣнію Lagrené разстояніе между рядами шандоровъ должно быть не менѣе 1,10 метра.

По мнѣнію de-Mas'a можно вообще обходиться однимъ рядомъ шандоровъ, если поддерживать его нѣсколькими стойками, устанавливаемыми въ особые гнѣзда, устраиваемыя во флютбетѣ. Такой способъ примѣненъ между прочимъ у насъ въ шлюзахъ на р. Шекенѣ.

Ниже одиночного паза или второго, если ихъ два, входные стѣны до шкафа должны имѣть достаточную длину, чтобы не могло произойти скользанье кладки подъ влияніемъ напора воды на шандоры или случайныхъ ударовъ въ нихъ судовъ. Длина эта по de-Mas'у въ зависимости отъ величины напора и качества кладки колеблется отъ 0,60 до 1 метра. Въ шлюзахъ на р. Шекенѣ длина эта взята равною 0,65 саж.; 3) шкафныхъ стѣнъ, ограничивающихъ углубленія, называемыя шкафами, служащія для помѣщенія воротъ, когда эти послѣднія открыты \*).

Уголъ шкафа, въ который упираются ворота, называется шкафнымъ упорнымъ угломъ. Нѣсколько ниже мы укажемъ, какими соображеніями слѣдуетъ руководиться при устройствѣ упорныхъ угловъ.

4) упорныхъ стѣнъ, главное назначеніе которыхъ сопротивляться напору отъ воротъ; на степень устойчивости и прочности ихъ слѣдуетъ обратить особое вниманіе, когда камерныя стѣны не представляютъ одного цѣлаго съ упорными стѣнами, а обѣданы только какъ укрѣпленные откосы. Въ послѣднемъ случаѣ для возможности производить ремонтъ каждого полушилюза отдельно, въ упорныхъ стѣнахъ ниже воротъ устраиваются такие-же пазы, какъ и во входныхъ стѣнахъ.

\*). Мы предполагаемъ, что ворота двустворчатыя и только этотъ одинъ типъ воротъ мы и будемъ рассматривать во всемъ дальнѣйшемъ изложеніи.

Очевидно, что въ томъ случаѣ, когда камера шлюза ограждена каменными стѣнами, то эти послѣднія сливаются въ одно цѣлое съ верхними упорными и съ нижними входными стѣнами.

**§ 2. Соображенія, которыми слѣдуетъ руководиться при устройствѣ шкафныхъ упорныхъ угловъ.** При устройствѣ шкафного угла должны быть выполнены слѣдующія условія:

1) когда ворота закрыты, они должны имѣть достаточную опору въ кладкѣ;

2) соприкасаніе воротъ съ кладкой должно быть настолько плотно, чтобы вода не могла черезъ него проникать изъ верх资料 bефа въ камеру, когда въ этой послѣдней вода стоитъ на уровнѣ нижняго бьефа.

3) при открытии и закрытии воротъ не должно развиваться значительного тренія.

Само собой разумѣется, что рѣшеніе вопроса зависитъ, какъ отъ формы вереяльного столба, такъ и отъ положенія его оси вращенія.

Если задней поверхности вереяльного столба придать форму полуцилиндра съ круговымъ основаніемъ, ось вращенія расположить по оси этого цилиндра, наконецъ шкафной угол обѣять по такой-же точно цилиндрической поверхности, которая съ одной стороны соприкасалась-бы съ продолженіемъ упорной плоскости короля, а съ другой стороны приличнымъ образомъ была сопряжена съ поверхностью шкафной стѣны, то сразу были-бы выполнены первое и второе условіе, а именно, мы получили-бы для полотна воротъ вполнѣ удобную и водонепроницаемую опорную поверхность. Такимъ образомъ и устроены были шкафные упорные углы въ первыхъ шлюзахъ. Но подобное рѣшеніе вопроса нельзя считать удовлетворительнымъ, такъ какъ поставленное нами выше третье условіе оказывается невыполненнымъ; дѣйствительно, благодаря непрерывному во все время маневровъ съ воротами соприкасанію цилиндрическихъ поверхностей упор-

наго угла и вереяльного столба приходится имѣть дѣло съ весьма значительнымъ тренiemъ.

Чтобы избѣжать этого тренія и сохранить преимущества опоры и водонепроницаемости, получаемыя благодаря соприкасанію цилиндрическихъ поверхностей при закрытомъ состояніи воротъ, стали располагать ось вращенія воротъ не совпадающей съ общей осью цилиндрическихъ поверхностей.

Построеніе производится слѣдующимъ образомъ (чер. 1): сначала опредѣляютъ положеніе короля, глубину шкафа и главные размѣры полотна; по этимъ даннымъ строятъ положеніе оси полотна при открытыхъ и закрытыхъ воротахъ. Проведя бисектрису тупого угла, смежного съ угломъ, образованнымъ крайними положеніями осей, мы видимъ, что, какую-бы точку этой линіи, кромѣ только точки пересѣченія осей, мы ни приняли за проекцію оси вращенія полотна, это послѣднее отойдетъ отъ кладки, какъ только начнетъ открываться, и въ положеніи, параллельномъ стѣнѣ шкафа, не будетъ вовсе касаться стѣнъ.

Чтобы рѣшить, какую точку бисектрисы принять за проекцію оси вращенія, нужно найти еще одно дополнительное условіе.

Въ самомъ дѣлѣ, замѣтимъ, что вертикальная плоскость, проходящая черезъ ось фигуры полотна, не заключаетъ въ себѣ вообще центра тяжести его: обшивка, водопроводныя окна, служебный мостикъ приближаютъ этотъ центръ къ лицевой или передней поверхности полотна, а потому, чтобы избѣжать всякаго стремленія къ перекашиванію, желательно ось вращенія помѣстить въ вертикальной плоскости, параллельной лицевой поверхности полотна и проходящей черезъ его центръ тяжести. Само-собой очевидно, что пересѣченіе вышеуказанной бисектрисы съ горизонтальной проекціей этой вертикальной плоскости и даетъ вполнѣ правильную горизонтальную проекцію оси вращенія.

Полученный такимъ образомъ эксцентризитетъ фигуры обыкновенно бываетъ незначителенъ: большую частью онъ близокъ къ одному сантиметру и рѣдко доходитъ до 5 сант.

Въ виду того, что ось вращенія полотна должна быть строго вертикальна, во избѣженіе всякой ошибки во время постройки слѣдуетъ вычертить на жѣлезномъ или цинковомъ листѣ эпюру шкафного угла въ натуральную величину и прикладывать ее на флютбетѣ и наверху и внизу вереяльного столба, какъ при закрѣпленіи пяты въ подпятномъ камнѣ, такъ и при задѣлкѣ тяжей гальсбанта въ стѣнѣ.

Эксцентричное положеніе оси вращенія позволяетъ сохранить полукруглую форму вереяльного столба и насколько возможно большую поверхность соприкасанія полотна со шкафнымъ угломъ при закрытыхъ воротахъ; такое рѣшеніе вопроса важно только для деревянныхъ воротъ, что-же касается до воротъ металлическихъ, то для нихъ, очевидно, это не имѣть значенія, такъ какъ для нихъ полукруглая форма вереяльного столба вообще рѣдко примѣняется, а потому и эксцентрическое положеніе оси вращенія не представляется необходимымъ. Въ этомъ послѣднемъ случаѣ задача рѣшается иѣсколько иначе: въ металлическихъ воротахъ вереяльный столбъ или металлические диски, его замѣняющіе, обдѣлываются не по дугѣ полукруга, а по полуэллипсу или другой аналогичной кривой, большая ось которой направлена по продолженію оси фигуры полотна. Кромѣ того, въ этомъ случаѣ полотно уже не опирается болѣе непосредственно въ шкафной уголѣ: оно отдѣлено отъ него брускомъ, толщиною обыкновенно въ 8 сант., который дѣлается во всю высоту полотна и служить для передачи давленія отъ воротъ на стѣны; поэтому ему слѣдуетъ давать ширину по крайней мѣрѣ въ 20 сант. (чер. 2).

Въ воротахъ Шекспирскихъ шлюзовъ ширина подобнаго бруса взята равною 8 дюймамъ.

Ось вращенія при такой конструкціи располагается на пересѣченіи осей фигуры полотна въ открытомъ и закрытомъ его положеніяхъ, при чемъ при послѣднемъ положеніи полотно воротъ упирается въ шкафной уголъ или вереяльнымъ столбомъ или вершинами металлическихъ дисковъ, при чемъ во избѣженіе раздробленія кладки въ нее въ мѣстахъ упора дисковъ обыкновенно задѣлываются чугунныя доски. Ввиду неравномѣрности работы отдѣльныхъ дисковъ (ихъ обыкно-

венно дѣлаютъ четыре) предпочтительнѣе позади вереяльного столба прикрѣплять деревянный брусь, который и упирался въ кладку по всей высотѣ полотна. Въ Шекспинскихъ шлюзныхъ воротахъ примѣненъ и тотъ и другой типъ упора.

Замѣтимъ кстати, что каждое полотно металлическихъ воротъ упирается въ порогъ короля посредствомъ особаго упорнаго бруса, который прикрѣпляется или къ королю, или къ нижнему рамному ригелю. Толщина его, очевидно, равна толщинѣ упомянутаго выше вертикального опорнаго бруса.

Каково-бы ни было очертаніе, которое придаются упорному шкафному углу, слѣдуетъ соблюдать условіе, чтобы уголъ этотъ принималъ давленіе отъ закрытыхъ воротъ по нормали. Давленіе это направлено не по оси полотна, а, какъ мы увидимъ далѣе, составляетъ уголъ  $2\alpha$  съ перпендикуляромъ къ продольной оси шлюза, гдѣ  $\alpha$ —есть уголъ, составляемый осью закрытаго полотна съ тѣмъ-же перпендикуляромъ.

Замѣтимъ, что въ первомъ построеніи, примѣняемомъ исключительно къ деревяннымъ воротамъ, условіе это оказывается выполненнымъ благодаря цилиндрической круговой поверхности соприкасанія вереяльного столба и шкафного угла.

При жѣлезныхъ воротахъ, очевидно, направленіе давленія пересѣкаетъ подъ косымъ угломъ шкафной уголъ и кромѣ того въ точкѣ, гдѣ полотно не касается кладки. Очевидно, что давленіе это разлагается на два: одно, идущее по оси полотна, другое нормальное къ первому. Отсюда становится ясной работа вертикального упорнаго бруса и металлическихъ дисковъ или вереяльного столба.

Что касается до расчета шкафныхъ и упорныхъ стѣнь верхней головы шлюза, то мы на немъ останавливаться не будемъ, такъ какъ эти послѣднія дѣлаются такихъ-же размѣровъ, какъ и въ нижней головѣ, для которой расчетъ приведенъ ниже, и сразу перейдемъ къ разсмотрѣнію стѣнь камеры.

**§ 3. Стѣны камеры. Определеніе профиля береговой стѣны.** Береговая камерная стѣна нельзя расчитывать какъ обыкновенные подпорные стѣнки, поддерживающія земляную

насыпь известной высоты, въ виду тѣхъ особыхъ условій работы, въ которыхъ онъ находится. Каждая береговая стѣна подвержена съ одной стороны давленію земляной засыпки, а съ другой—давленію воды, которое мѣняетъ свою величину при каждомъ маневрѣ съ воротами.

Слѣдуетъ обратить также вниманіе на то обстоятельство, что подъ вліяніемъ разности горизонтовъ, поддерживаемой шлюзомъ, вода имѣеть постоянное стремленіе проникать въ пространство за стѣной, увлажняетъ постепенно земляную засыпку и способствуетъ такимъ образомъ увеличенію давленія на заднюю грань стѣны. Послѣднее давленіе достигаетъ своего наибольшаго значенія тогда, когда шлюзъ совершенно освобожденъ отъ воды для производства ремонта флютбета.

Казалось-бы изъ вышеприведенного, что не представляетъ особыго затрудненія, принявши во вниманіе невыгоднѣйшія условія работы стѣны, опредѣлить и профиль, но, какъ мы увидимъ изъ дальнѣйшаго изложенія, надъ вопросомъ этимъ работали выдающіеся французскіе гидротехники, и несмотря на это еще до сихъ поръ не выработано вполнѣ законченного и точнаго приема расчета.

Небезъинтересно прослѣдить постепенную разработку этого вопроса.

**§ 4. Профиль по Béidor'у.** Первымъ, кто сдѣлалъ попытку опредѣлить профиль стѣны шлюза, былъ Béidor, который предложилъ давать стѣнамъ профиль въ видѣ прямоугольника, причемъ ширину, или вѣрнѣе толщину, стѣны дѣлать равной высотѣ самыхъ высокихъ водъ надъ флютбетомъ.

Но слѣдуетъ замѣтить, какъ указываетъ Gauthey, что Béidor говоритъ исключительно о морскихъ шлюзахъ, стѣны которыхъ, будучи подвержены ударамъ волнъ, должны быть гораздо массивнѣе, чѣмъ въ шлюзахъ для внутренняго плаванія.

**§ 5. Профиль по Gauthey'ю.** Прежде чѣмъ опредѣлить действительно устойчивый профиль стѣны, Gauthey предполагаетъ выводъ, что прямоугольнаго сѣченія стѣнка, поддер-

живаящая насыпь, равную ей по высотѣ, дѣлается обыкновенно толщиною въ  $\frac{1}{3}$  высоты, тогда какъ при боковомъ давленіи воды той-же высоты толщину эту приходится увеличить до  $\frac{1}{2}$  высоты. Ввиду того, что засыпка, иногда можетъ при осадкѣ отдѣлиться отъ стѣны и не поддерживать ее отъ опрокидыванія, онъ находитъ, что стѣна должна имѣть устойчивость самостоятельную, которая соотвѣтствовала бы давленію воды изъ камеры.

Согласно вышеприведенному стѣна можетъ быть сдѣлана прямоугольнаго сѣченія при толщинѣ, равной половинѣ высоты самыхъ высокихъ водъ надъ флютбетомъ.

Придя къ такому выводу, Gauthey не останавливается на немъ и, желая получить сбереженіе каменной кладки, поступаетъ слѣдующимъ образомъ.

Задавши толщиною поверху въ 1,30 мет., онъ придаетъ стѣнѣ трапециoidalный профиль, причемъ внутреннюю грань принимаетъ вертикальной, а вѣнчанью—наклонной, и толщину стѣны въ уровни флютбета опредѣляетъ при томъ условіи, чтобы стѣна при своемъ трапециoidalномъ профилѣ представляла давленію воды изъ шлюза тоже сопротивленіе, какъ и при прямоугольномъ профилѣ и толщинѣ равной половинѣ высоты.

Обозначимъ черезъ  $h$ —высоту стѣны съ отвѣсными гранями и черезъ  $e$ —ея толщину. Моментъ давленія воды относительно ребра вращенія на 1 метръ длины равенъ  $\frac{\gamma h^3}{6}$ . Моментъ вѣса стѣны относительно того-же ребра равенъ  $\frac{\gamma' h e^2}{2}$ .

Приравнивая эти моменты и принимая  $\gamma' = 2\gamma$ , получимъ  $e = \frac{h}{\sqrt{6}} = 0,41 h$ . Само собой разумѣется, что при другомъ  $\gamma'$  соотношеніе будетъ иное. Отсюда очевидно, что устойчивость стѣны на опрокидываніе будетъ вполнѣ обеспечена, если принять  $e = \frac{h}{2}$ .

Преобразуемъ теперь стѣну прямоугольнаго сѣченія высотою  $h$  и толщиною  $\frac{h}{2}$  въ трапециoidalнаго сѣченія стѣну,

имѣющую внутреннюю грань вертикальную, толщину по верху  $a$ , по низу  $a+x$  и представляющую тотъ-же моментъ сопротивленія опрокидыванію (черт. 3) относительно ребра  $B$ .

Моментъ сопротивленія опрокидыванія стѣнки прямоугольного сѣченія равенъ  $\frac{\gamma' h^3}{8}$ .

Моментъ сопротивленія опрокидыванія стѣнки трапециoidalного сѣченія равенъ  $\gamma' \left[ \frac{a^2 h}{2} + a h x + \frac{x^2 h}{3} \right]$ .

Приравнивая эти двѣ величины, получимъ уравненіе

$$x = -\frac{3a}{2} + \frac{1}{2} \sqrt{3a^2 + \frac{3}{2}h^2},$$

изъ котораго можно получить уклонъ виѣшней грани  $\frac{x}{h}$  для любой высоты  $h$  стѣны.

Если принять, какъ это дѣлаетъ Gauthey,  $a = 1,30$  мет., то уравненіе обратится въ слѣдующее:

$$x = -1,95 \text{ м.} + \frac{1}{2} \sqrt{5,07 + \frac{3}{2}h^2}.$$

Давая  $h$  различныя численныя значенія, находимъ:

для $h = 3,25$ м. . . . .	$x = 0,33$ м. . . . .	$a+x = 1,63$ м.
$h = 3,57$ м. . . . .	$x = 0,51$ м. . . . .	$a+x = 1,81$ м.
$h = 3,90$ м. . . . .	$x = 0,69$ м. . . . .	$a+x = 1,99$ м.
$h = 4,55$ м. . . . .	$x = 1,05$ м. . . . .	$a+x = 2,35$ м.
$h = 5,85$ м. . . . .	$x = 1,80$ м. . . . .	$a+x = 3,10$ м.

Легко убѣдиться, что отношеніе между объемами стѣны съ отвѣсными гранями толщиной  $\frac{h}{2}$  и имѣющей тотъ-же моментъ сопротивленія стѣны трапециoidalного профиля, выражющееся величиной  $\frac{h}{2a+x}$ , больше единицы, а при  $a=1,30$  метр. увеличивается вмѣстѣ съ  $h$ , начиная съ значенія  $h=2,60$  метр.

Такимъ образомъ оказывается, что профиль Gauthey'я позволяетъ уменьшить кубич. содержаніе кладки и сдѣлать

поперечное просачивание воды болѣе затруднительнымъ, такъ какъ толщина стѣны увеличивается съ давлениемъ.

Однако слѣдуетъ выяснить еще одно обстоятельство, а именно, будетъ-ли стѣна съ такимъ профилемъ устойчива въ томъ случаѣ, когда шлюзъ будетъ освобожденъ отъ воды, а вода верхняго бьефа, фильтруя вдоль стѣнъ, увлажнитъ засыпку и увеличитъ давление ея на стѣну.

Очевидно, что въ этомъ случаѣ моментъ сопротивленія на опрокидываніе относительно ребра  $A$  (черт. 3) будетъ

$$\gamma' \left[ \frac{a^2 h}{2} + \frac{a h x}{2} + \frac{x^2 h}{3} \right]$$

Моментъ той-же стѣнки относительно ребра  $B$ , какъ мы видѣли выше, былъ

$$\gamma' \left[ \frac{a^2 h}{2} + a x h + \frac{x^2 h}{3} \right],$$

при чмъ было выведено, что

$$x = -\frac{3a}{2} + \frac{1}{2} \sqrt{3a^2 + \frac{3}{2} h^2}.$$

Сравнивая эти два момента, видимъ, что первый меныше второго на величину  $\frac{\gamma' a h x}{2}$ , и, если мы припомнимъ, что второй моментъ равенъ моменту стѣны съ прямоугольнымъ профилемъ и толщиной равной половинѣ высоты, моменту, который мы приняли необходимымъ для обеспеченія устойчивости, то выходитъ, что моментъ стѣны трапециoidalнаго профиля недостаточенъ на вышеуказанную величину. Эта недостаточность сдѣлается еще болѣе очевидной, если допустить, что нѣкоторыя засыпки въ увлажненномъ состояніи могутъ производить давление больше, чмъ гидростатическое. Слѣдуетъ также изслѣдовать вопросъ о наибольшемъ напряженіи кладки у крайнихъ реберъ какъ въ первомъ, такъ и во второмъ случаѣ.

Резюмируя вышеизложенное, можно заключить, что профиль, предложенный Gauthey'емъ, съ теоретической точки зрењія оказывается недостаточнымъ, но возможно, что на прак-

тикъ онъ и достаточенъ, такъ какъ стѣнка прямоугольного съченія представляетъ иѣкоторый излишекъ устойчивости, и можетъ быть этотъ излишекъ по своей величинѣ какъ разъ близокъ къ тому недостатку, который съ теоретической стороны представляетъ профиль Gauthey'я.

**§ 6. Профиль по Minard'у.** Minard даетъ весьма краткое указаніе относительно толщины стѣнъ. Вотъ какъ онъ говоритъ въ своемъ курсѣ внутреннихъ водяныхъ сообщеній:

„Стѣны, которыя должны поддерживать напоръ воды, оказываются въ еще болѣе тяжелыхъ условіяхъ работы, когда подвергаются давленію земляной засыпки, особенно, когда шлюзъ свободенъ отъ воды. Такъ какъ засыпка можетъ быть насыщена водой, то ее разсматриваются какъ полужидкое тѣло болѣе плотное, чѣмъ вода. Въ силу этого замѣчанія иѣкоторые инженеры даютъ стѣнамъ толщину равную половинѣ высоты.

Вообще средняя толщина стѣнъ близка къ 0,40 высоты и крайними предѣлами оказываются 0,28 и 0,50—результатъ, который я вывелъ изъ разсмотрѣнія 400 построенныхъ уже шлюзовъ“.

Хотя это эмпирическое правило указываетъ только предѣлы, но оно важно въ томъ отношеніи, что устанавливается фактъ, что въ 400 построенныхъ шлюзахъ никогда стѣна не имѣла средней толщины болѣе половины высоты.

Кромѣ того важно замѣчаніе Minard'a, что давленіе земляной засыпки можетъ быть больше давленія воды—взглядъ, обратный высказанному Gauthey'емъ.

**§ 7. Разсмотрѣніе формы стѣны вообще.** Всѣ вышеупомянутые авторы допускали, что грань стѣны, обращенная къ камеру, должна быть вертикальна во избѣженіе безполезного увеличенія попуска воды и времени наполненія и опоражненія шлюза. Но само собой очевидно, что соображенія эти неѣютъ силу для шлюзовъ въ каналахъ съ ограниченнымъ временемъ, что-же касается до рѣчныхъ шлюзовъ, то въ нихъ неѣть никакого интереса экономить воду; что-же касается до увеличенія времени наполненія и опоражненія шлюза, то

оно настолько незначительно, что не можетъ имѣть серьезнаго значенія. Приданіе извѣстнаго уклона грани стѣны въ камерѣ помимо сбереженія каменной кладки раціонально уже потому, что скорѣе можно ожидать болѣе сильнаго давленія со стороны засыпки, произойдетъ-ли это отъ увлажненія ея, или отъ того, что вода верхняго бьефа будетъ давить полнотью на наружную грань стѣны, когда шлюзъ свободенъ отъ воды.

Такимъ образомъ мы видимъ, что стѣна должна представлять одинаковое сопротивленіе опрокидыванію въ обѣ стороны, а потому съ теоретической и практической стороны выгоднѣе стѣны дѣлать съ профилемъ въ видѣ равносторонней трапеціи.

Не слѣдуетъ опасаться, что наклонъ внутренней грани стѣны въ камерѣ можетъ быть причиной аварій судовъ во время колебаній горизонта: въ Америкѣ поставлено за правило давать гранямъ стѣнъ камеры уклонъ въ  $\frac{1}{10}$ , причемъ не дѣлается исключенія и для шлюзовъ въ каналахъ, и опытъ показалъ, что эта мѣра не вызывала никакихъ нареканій со стороны судоходства (*Malézieux Travaux publics aux Etats-Unis*).

Что касается до толщины по верху въ 1,30 мет., то мы оставимъ ее не только въ уровиѣ подпорнаго горизонта, но сохранимъ вплоть до низа верхнихъ облицовочныхъ плитъ, которыя возвышаются на нѣсколько дециметровъ надъ подпорнымъ горизонтомъ и имѣютъ ширину около 0,80 м.

При производствѣ работъ грань стѣны со стороны засыпки обыкновенно обдѣлываютъ уступами (вместо однообразнаго уклона, о которомъ мы говорили выше), причемъ сначала поднимаются ее вертикально до верха перемычекъ, которыя служили для устройства основанія шлюза и дѣлаются обыкновенно изъ бетона на самомъ мѣстѣ стѣнъ для того, чтобы онъ могли впослѣдствіи войти въ ихъ составъ.

Впрочемъ подобное отступленіе отъ проектнаго профиля нѣкоторые авторитеты гидротехники признаютъ нежелательнымъ по разнымъ причинамъ, такъ напримѣръ Генеральныи Инспекторъ Graeff находить, что приданіе вѣшней грани

стѣны однообразнаго уклона способствуетъ лучшему соприкасанію земляной засыпки со стѣной, благодаря чему уменьшается фильтрація вдоль стѣнъ шлюза. (*Graeff. Construction de canaux*). Генеральный инспекторъ и профессоръ de Mas на стран. 285 своего труда „*Rivières canalisées*“ говоритъ слѣдующее: „Каждый знаетъ, что вода при замерзаніи увеличивается въ объемѣ; тоже явленіе происходитъ въ землѣ, пропитанной водою, и дѣйствие этого расширенія тѣмъ болѣе разрушительно, чѣмъ болѣе стѣнается свободное его проявленіе. Если заморозить воду въ цилиндрическомъ сосудѣ, то онъ неминуемо будетъ разорванъ, если-же сдѣлать тоже въ сосудѣ въ видѣ усѣченного конуса, то мы увидимъ, что ледъ поднимется вдоль наклонныхъ стѣнокъ, причемъ давленіе на эти послѣднія не въ состояніи ихъ разрушить. Въ виду этого принципа позади верхнихъ облицовочныхъ плитъ стѣна обдѣлывается наклонной плоскостью, чтобы помѣшать стакиванію плитъ внутрь шлюза во время промерзанія земляной загрузки“.

Въ дальнѣйшихъ расчетахъ будемъ предполагать, что вѣшняя грань стѣны представляетъ наклонную плоскость отъ уровня флотбета до самаго верха, причемъ не будемъ вводить въ расчетъ ту часть стѣны, которая возвышается надъ подшорнымъ горизонтомъ. Предположенія эти сдѣланы въ пользу устойчивости.

Если земляная засыпка за стѣной шлюза выполнена съ полной тщательностью, которая примѣняется при возведеніи водозащитительныхъ земляныхъ плотинъ, то есть основаніе допустить, что эта засыпка будетъ производить на стѣну давленіе меньшее, чѣмъ столбъ воды той-же высоты, а потому наиболѣе неблагопріятнымъ для устойчивости будетъ тотъ случай, когда шлюзъ опорожненъ и вода верхняго бьефа, проникая въ пространство между стѣной и засыпкой, давить на первую съ полнымъ напоромъ.

Если, напротивъ, земляная засыпка выполнена безъ надлежащей тщательности, то возможно, что вслѣдствіе насыщенія водой она будетъ производить на стѣну давленіе большее, чѣмъ столбъ воды той-же высоты. Въ самомъ дѣлѣ, въесь кубический метръ, напримѣръ, насыщенаго водою мелкаго песка

достигаетъ 1900 килогр., его внутреннее треніе ничтожно, такъ что засыпка такого рода можетъ давить какъ жидкость, плотность которой почти вдвое болѣе воды \*).

Кромѣ того, площадка позади стѣны очень часто служить складочнымъ мѣстомъ для матеріаловъ и товаровъ и всегда бываетъ поднята на нѣсколько дециметровъ надъ горизонтомъ верхняго бьефа. Поэтому въ этомъ случаѣ слѣдуетъ разматривать не давленіе воды верхняго бьефа, а давленіе жидкости почти вдвое болѣе плотной, чѣмъ вода, и стоящей на одномъ уровнѣ съ верхомъ стѣны.

Какъ въ томъ, такъ и въ другомъ случаѣ опрокидываніе имѣетъ направление въ сторону камеры.

Допустимъ сначала первое предположеніе, т. е., что засыпка выполнена со всею тщательностью, благодаря чему давленіе на наружную грань стѣны не можетъ быть болѣе, чѣмъ отъ столба воды, стоящей на уровнѣ верхняго бьефа.

**§ 8. Раціональная формула для опредѣленія толщины стѣны рѣчного шлюза.** Итакъ разсмотримъ стѣну высотою  $h$ , испытывающую со стороны засыпки давленіе воды, стоящей на одномъ уровнѣ съ верхомъ стѣны.

Обозначимъ черезъ  $a$ —ширину стѣны по верху, а черезъ  $x$ —заложенія откосовъ какъ со стороны камеры, такъ и со стороны засыпки; тогда толщина стѣны въ основаніи, т. е. въ уровнѣ флютбета камеры будетъ  $a+2x$  (черт. 4).

Изслѣдуемъ, какова должна быть эта толщина  $a+2x$ , чтобы давленіе въ основаніи было не болѣе 6 кил. на квадр. сант., или 2,34 пуд. на кв. дюймъ.

Высота стѣны обыкновенно бываетъ не настолько значительна, чтобы вѣсъ кладки могъ одинъ произвести давленіе на основаніе въ 6 кил. на кв. сант.; поэтому слѣдуетъ размотрѣть совокупное дѣйствіе вѣса стѣны съ давленіемъ воды.

Давленіе воды на погонный метръ стѣны равно:  $\frac{\gamma h V x^2 + h^2}{2}$

\* ) Относительно давленія на стѣну болѣе подробно указано въ расчетѣ фундамента.

Горизонтальная его составляющая:  $\frac{\gamma h^2}{2}$

Вертикальная его составляющая:  $\frac{\gamma h x}{2}$

Моментъ его относительно ребра  $B$  основанія:  $\frac{\gamma h(h^2+x^2)}{6}$

Вѣсъ стѣны:  $\gamma' (a+x) h$

Моментъ его относительно ребра  $B$  основанія:

$$\gamma' \left( h x^2 + \frac{3}{2} a h x + \frac{a^2 h}{2} \right)$$

Равнодѣйствующая этихъ двухъ силъ будеть имѣть горизонтальную составляющую:  $\frac{\gamma h^2}{2}$

Вертикальную составляющую:  $\frac{\gamma h x}{2} + \gamma' (a+x) h$

Моментъ относительно того-же ребра  $B$ :

$$\frac{\gamma h(h^2+x^2)}{6} + \gamma' \left( h x^2 + \frac{3}{2} a h x + \frac{a^2 h}{2} \right)$$

Удѣльный вѣсъ кирпичной кладки равенъ 1,8; бутовой и бетонной 2, 3, а потому, если принять, что  $\gamma = 1^r$  и  $\gamma' = 2^r$ , эти составляющія и моменты равнодѣйствующей можно представить въ слѣдующемъ видѣ (принявъ за единицы тонну и метръ):

горизонтальную составляющую  $\frac{h^2}{2}$ ;

вертикальную составляющую  $\frac{5}{2} h x + 2 a h$ ;

моментъ относительно ребра  $B$ :  $\frac{13}{6} h x^2 + 3 a h x + \frac{h^3}{6} + a^2 h$ .

Разстояніе  $BK$ , на которомъ равнодѣйствующая пересѣтъ основаніе  $AB$ , выразится слѣдующимъ образомъ:

$$BK = \frac{\text{Моментъ равнодѣйствующей}}{\text{Вертикал. составл. равнод.}} = \frac{\frac{13}{6}hx^2 + 3ahx + \frac{h^3}{6} + a^2h}{\frac{5}{2}hx + 2ah}$$

и слѣдовательно длина  $u$  или  $AK$  (разстояніе точки пересѣченія равнодѣйствующей отъ ребра  $A$ , около которого можетъ происходить вращеніе) выразится такъ:

$$u = a + 2x - BK = a + 2x - \frac{\frac{13}{6}hx^2 + 3ahx + \frac{h^3}{6} + a^2h}{\frac{5}{2}hx + 2ah},$$

или

$$u = \frac{17x^2 + 21ax - h^2 + 6a^2}{15x + 12a}$$

$$\text{При } a=1,3 \quad u = \frac{17x^2 + 27x - h^2 + 10,14}{15x + 15,6}$$

Если  $AK \leq \frac{AB}{3}$ , т. е. кривая давленія выходитъ изъ сред-

ней трети, то давленіе на одинъ квадратный метръ около ребра  $A$  выразится такъ:

$$\begin{aligned} & \frac{2}{3} \times \frac{\text{Вертик. составл. равнодѣйст.}}{u} = \\ & = \frac{2}{3} \times \frac{\left(\frac{5}{2}hx + 2ah\right)(15x + 12a)}{17x^2 + 21ax - h^2 + 6a^2} = \\ & = \frac{75hx^2 + 120ahx + 48a^2h}{51x^2 + 63ax - 3h^2 + 18a^2}. \end{aligned}$$

Если желательно, чтобы это давленіе было равно  $60^r$ , то получимъ уравненіе:

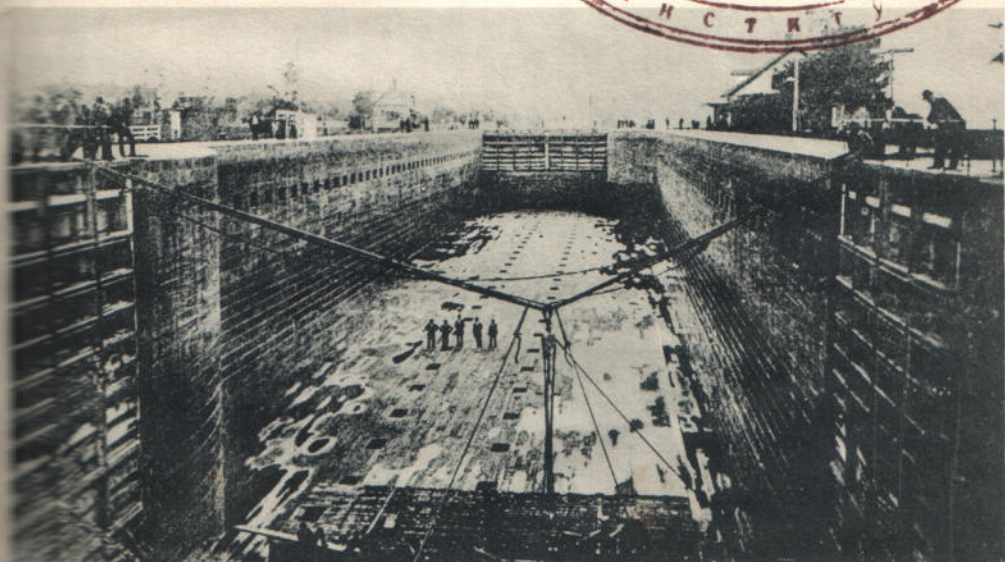
$$x^2(3060 - 75h) + xa(3780 - 120h) - 180h^2 + 1080a^2 - 48a^2h = 0,$$

откуда

$$x = \frac{a(120h - 3780) + \sqrt{-54000h^3 + 2203200h^2 + 4320a^2h + 1069200a^2}}{2(3060 - 75h)}$$



Шлюзъ и обходный каналъ у пороговъ SAULT ST. MARIE.



Шлюзъ у пороговъ SAULT ST. MARIE.

Вода изъ шлюза совершенно выпущена для исправленія сломавшагося затвора  
въ водовыпускномъ отверстіи.

Наконецъ, подставляя значение  $a = 1,3$ , имеемъ

$$x = \frac{78h - 2457 + \sqrt{-13500h^3 + 550800h^2 + 1825,2h + 451737}}{3060 - 75h}$$

Давая  $h$  рядъ послѣдовательно возрастающихъ значеній и подставляя ихъ въ эту формулу, а также и въ формулу для  $u$ , получимъ слѣдующія числовыя, данные приведенные въ таблицѣ I.

ТАБЛИЦА I.

$h$	$a$	$x$	$\frac{x}{h}$	$a+2x$	$u$	$h(a+x)$ (объемъ).	$\frac{a+x}{h}$
2,00 м.	1,30 м.	-0,20 м.	-0,10	0,90 м.	0,055 м.	2,20 к.м.	0,55
3,00	"	0,007	0,0023	1,314	0,085	3,921	0,435
4,00	"	0,27	0,067	1,85	0,135	6,28	0,392
5,00	"	0,55	0,110	2,40	0,215	9,25	0,37
6,00	"	0,83	0,138	2,96	0,294	12,78	0,355
7,00	"	1,13	0,161	3,56	0,410	17,01	0,347
8,00	"	1,64	0,205	4,58	0,899	23,52	0,36

Изъ вышеприведенного видно, что стѣна, элементы которой мы опредѣляли, не представляетъ собой тѣла равнаго сопротивленія. Максимальное давление въ 6 кил. на кв. сант. можетъ быть только въ уровнѣ флютбета, и для всякаго горизонтального сѣченія на болѣе высокомъ уровнѣ есть избытокъ сопротивленія, но для стѣнъ шлюзовъ при ихъ сравнительно небольшой высотѣ намъ кажется нежелательнымъ имѣть профиль равнаго сопротивленія, какъ это дѣлается для высокихъ стѣнъ водохранилищъ; некоторое увеличеніе объема, которое явится слѣдствіемъ этого, во всякомъ случаѣ не повредитъ дѣлу, такъ какъ стѣнка, могущая подвергаться ударамъ, должна обладать и достаточной массой.

**§ 9. Эмпирическая формула для определения толщины стены речного шлюза.** Ввиду того, что стены существующихъ шлюзовъ имѣютъ по большей части среднія толщины болѣе, чѣмъ указаны въ таблицѣ I, Инженеръ Lagrené сдѣлалъ попытку вывести эмпирическую формулу, которая давала бы результаты болѣе близкіе къ наблюдаемымъ на практикѣ. Онъ исходилъ изъ положенія, что искомый профиль долженъ удовлетворять тому условію, чтобы моментъ вѣса разматриваемой стѣны былъ равенъ моменту вѣса стѣны съ отвѣсными гранями, имѣющей толщину, равную половинѣ высоты. Посмотримъ, что намъ дастъ это условіе. Предположимъ, какъ и раньше, что стѣна имѣетъ симметричный профиль, высоту  $h$  и толщину поверху  $a$  и по низу  $a+2x$ .

Моментъ вѣса погоннаго метра этой стѣны относительно одного изъ реберъ основанія, какъ мы видѣли выше, будетъ:

$$\gamma' \left[ h x^2 + \frac{3}{2} a h x + \frac{a^2 h}{2} \right].$$

Моментъ вѣса погоннаго метра стѣны съ отвѣсными гранями и толщиной  $\frac{h}{2}$  будетъ:

$$\frac{\gamma' h^3}{8}.$$

Приравнивая эти два момента, получаемъ уравненіе:

$$x^2 + \frac{3}{2} a x + \frac{a^2}{2} - \frac{h^3}{8} = 0,$$

отсюда

$$x = \frac{-3a + \sqrt{a^2 + 2h^2}}{4}.$$

Для  $x=0$ , находимъ какъ разъ  $a=\frac{h}{2}$  и, если принять, какъ и раньше,  $a=1, 3$ , то получимъ

$$x = \frac{-3,9 + \sqrt{1,69 + 2h^2}}{4}.$$

Кромѣ того очевидно, что давленіе на квадр. метръ въ тоннахъ около крайняго ребра будетъ:

$$\omega = \frac{75hx^2 + 156hx + 81,12h}{51x^2 + 81,9x - 3h^2 + 30,42}.$$

Давая  $h$  рядъ послѣдовательно возрастающихъ значеній, получаемъ возможность составить таблицу II, аналогичную таблицѣ I.

ТАБЛИЦА II.

$h$	$a$	$x$	$\frac{x}{h}$	$a+2x$	$(a+x)h$ (объемъ).	$\frac{\omega}{10000}$	$\frac{a+x}{h}$
2,00 м.	1,30 м.	-0,22 м.	-0,11	0,86 м.	2,16 к.м.	$k g$	—
3,00	"	0,13	0,043	1,56	4,29	2,0	0,47
4,00	"	0,47	0,117	2,24	7,08	2,1	0,44
5,00	"	0,82	0,164	2,94	10,60	2,3	0,42
6,00	"	1,17	0,195	3,64	14,82	2,5	0,41
7,00	"	1,52	0,217	4,44	19,74	2,7	0,40
8,00	"	1,87	0,233	5,04	25,36	2,9	0,39

Разсматривая таблицу II, мы видимъ, что напряженіе въ пласти нигдѣ не превосходитъ 3 кил. на кв. сант., что указываетъ на большой запасъ прочности. Кромѣ того послѣдняя графа таблицы, въ которой помѣщено отношеніе средней толщины стѣны къ ея высотѣ, показываетъ, что выведенная на формула

$$x = \frac{-3,9 + \sqrt{1,69 + 2h^2}}{4}$$

результаты весьма близкіе къ наблюденымъ Minard'омъ въ 400 существующихъ шлюзахъ, и самый характеръ расчета весьма близокъ къ предложенному Gauthey'емъ.

Конечно инженеръ въ каждомъ частномъ случаѣ въ зависимости отъ материала, изъ которого строится шлюзъ, и другихъ местныхъ условій долженъ самъ решить, пользо-

ваться ли ему эмпирической формулой или выведенной раньше рациональной.

Если бы пожелали изслѣдовать условія, въ которыхъ находится стѣнка съ вертикальными гранями, имѣющая толщину, равную  $\frac{h}{2}$ , то для этого достаточно въ общее выраженіе для  $\omega$ —давленія у крайняго ребра основанія—подставить  $x=0$  и  $a=\frac{h}{2}$ , тогда получимъ  $\omega=8h$ .

Нижеслѣдующая таблица III даетъ результаты подстановки различныхъ значеній  $h$ .

ТАБЛИЦА III.

$h$ (высота).	$\frac{h}{2}$ (толщина).	$\omega=8h$ (давленіе).	$\frac{1}{2} h^2$ (объемъ).
2,00 м.	1,00 м.	$kg$ 1,60 на кв. сант.	2,00 к. м.
3,00	1,50	2,40	4,50
4,00	2,00	3,20	8,00
5,00	2,50	4,00	12,50
6,00	3,00	4,80	18,00
7,00	3,50	5,60	24,50
8,00	4,00	6,40	32,00

Изъ таблицы видно, какъ нераціонально примѣненіе прямоугольного профиля къ стѣнѣ шлюза съ точки зрѣнія сопротивленія боковому давленію: объемъ быстро растетъ, такъ какъ материалъ неэкономично распределенъ по профилю. Справедливость этого замѣчанія особенно наглядно подтверждается сравненіемъ таблицы III съ двумя вышеупомянутыми.

**§ 10. Рациональная формула для определенія толщины стѣны шлюза, расположенного въ каналѣ.** Какъ мы видѣли выше при разсмотрѣніи вообще поперечного сѣченія стѣнъ шлюза, профиль съ двумя наклонными гранями оказы-

вается нежелательнымъ для шлюзовъ въ каналахъ, особенно же въ такихъ, гдѣ вопросъ о питаніи канала является довольно серьезнымъ, а потому мы введемъ новое условіе при опредѣлении толщины стѣны, чтобы внутренняя грань ея (со стороны камеры) была вертикальна.

Итакъ разсмотримъ стѣну высотою  $h$ , имѣющу въ уровнѣ подпорного горизонта толщину  $a$ , а въ уровнѣ флютбета  $a+x$ , гдѣ  $x$ —зложеніе откоса вѣшней грани (черт. 5).

Давленіе воды на погонный метръ стѣны равно

$$\frac{\gamma h \sqrt{x^2 + h^2}}{2}$$

Горизонтальная составляющая равна  $\frac{\gamma h^2}{2}$ .

Вертикальная составляющая равна  $\frac{\gamma h x}{2}$ .

Моментъ давленія воды относительно ребра  $B$  равенъ  $\frac{\gamma h(h^2+x^2)}{6}$ .

Вѣсъ стѣны равенъ  $\gamma' h \left( a + \frac{x}{2} \right)$ .

Моментъ этого вѣса относительно ребра  $B$  равенъ

$$\gamma' \left( \frac{a^2 h}{2} + a h x + \frac{x^2 h}{3} \right).$$

Равнодѣйствующая вышеприведенныхъ двухъ силъ будетъ иметь горизонтальную составляющую равную  $\frac{\gamma h^2}{2}$

и вертикальную составляющую равную  $\frac{\gamma h x}{2} + \gamma' h \left( a + \frac{x}{2} \right)$ .

Моментъ равнодѣйствующей относительно ребра  $B$  равенъ,

$$\text{одно, } \frac{\gamma h(h^2+x^2)}{6} + \gamma' \left( \frac{a^2 h}{2} + a h x + \frac{h x^2}{3} \right).$$

Принимая  $\gamma = 1^r$  и  $\gamma' = 2^r$ , получимъ въ тоннахъ для равн-

дѣйствующей горизонтальную составляющую равную  $\frac{h^2}{2}$ ,  
вертикальную составляющую, равную  $\frac{3hx}{2} + 2ah$ .

Моментъ равнодѣйствующей относительно ребра  $B$  примѣтъ видъ:

$$\frac{5hx^2}{6} + 2ahx + \frac{h^3}{6} + a^2h.$$

Разстояніе  $BK$  точки пересѣченія равнодѣйствующей съ основаніемъ отъ ребра  $B$  равно:

$$BK = \frac{\text{моментъ равнодѣйств. относит. ребра } B}{\text{вертикал. составляющая равнодѣйств.}},$$

или

$$BK = \frac{\frac{5hx^2}{6} + 2ahx + \frac{h^3}{6} + a^2h}{\frac{3}{2}hx + 2ah},$$

и, слѣдовательно, длина  $AK$  или  $u$ —разстояніе точки пересѣченія равнодѣйствующей съ основаніемъ отъ крайняго ребра  $A$ , относительно котораго можетъ произойти вращеніе стѣны, имѣть слѣдующее выражение:

$$u = a + x - \frac{\frac{5hx^2}{6} + 2ahx + \frac{h^3}{6} + a^2h}{\frac{3}{2}hx + 2ah},$$

или

$$u = \frac{\frac{2}{3}hx^2 + \frac{3}{2}ahx - \frac{h^3}{6} + a^2h}{\frac{3}{2}hx + 2ah} = \frac{4x^2 + 9ax - h^2 + 6a^2}{9x + 12a}.$$

Величина давленія около ребра  $A$  будетъ, очевидно, равна

$$\frac{2}{3} \times \frac{\text{вертикал. составляющ. равнодѣйств.}}{u}.$$

и, если принять, что это давление должно быть равно  $60^r$ , то получимъ уравненіе

$$60 = \frac{2}{3u} \left( \frac{3hx}{2} + 2ah \right),$$

или

$$60 = \frac{(3hx + 4ah)(9x + 12a)}{(4x^2 + 9ax - h^2 + 6a^2)},$$

откуда получимъ:

$$x = \frac{6ah - 135a + \sqrt{-135h^3 + 3600h^2 + 150a^2h - 3375a^2}}{120 - 4,5h}.$$

Принимая  $a=1,3$  м., получаемъ

$$x = \frac{7,8h - 175,5 + \sqrt{-135h^3 + 3600h^2 + 253,5h - 5703,75}}{120 - 4,5h}.$$

Давая въ этомъ уравненіи  $h$  рядъ постепенно возрастающихъ значеній, найдемъ соотвѣтственныя имъ значенія  $x$  и составимъ таблицу IV, аналогичную таблицѣ I и II.

ТАБЛИЦА IV.

$h$	$a$	$x$	$a+x$	$u$	$h(a + \frac{x}{2})$ (объемъ).	$\frac{a + \frac{x}{2}}{h}$	$\frac{x}{h}$
2,00 м.	1,30 м.	-0,62 м.	0,68 м.	—	—	—	—
3,00	"	0,021	1,321	0,079 м.	3,9315 к.м.	0,436	0,007
4,00	"	0,65	1,95	0,16	6,50	0,406	0,162
5,00	"	1,28	2,58	0,24	9,70	0,388	0,256
6,00	"	1,96	3,26	0,37	13,68	0,380	0,351
7,00	"	2,65	3,95	0,44	18,375	0,375	0,378
8,00	"	3,38	4,68	0,68	23,92	0,373	0,422

**§ 11. Эмпирическая формула для определенія толщины стѣны шлюза, расположеннаго въ каналѣ.** Чтобы получить эмпирическую формулу, служащую для определенія толщины стѣны шлюза, расположеннаго въ каналѣ, при

условіи, чтобы грани стѣнъ въ камерѣ были вертикальны, слѣдуетъ поступать такъ-же, какъ мы это дѣлали примѣнительно къ стѣнѣ рѣчного шлюза, а именно, достаточно приравнять моментъ вѣса погоннаго метра разсматриваемой стѣны моменту вѣса стѣны прямоугольнаго сѣченія, имѣющей толщину равную половинѣ высоты, причемъ предположить далѣе, что шлюзъ опорожненъ отъ воды, и наружная грань стѣны подвержена полному напору верхняго бьефа.

Итакъ получимъ уравненіе:

$$\frac{a^2}{2} + \frac{ax}{2} + \frac{x^2}{3} = \frac{h^2}{8},$$

откуда

$$x = -\frac{3a}{24} + \frac{1}{4} \sqrt{6h^2 - 15a^2};$$

при  $a=1,3$  м.

$$x = -0,975 + \frac{1}{4} \sqrt{6h^2 - 25,35}.$$

Выше въ предыдущемъ параграфѣ мы видѣли, что величина  $u$  имѣеть выраженіе

$$u = \frac{\frac{2}{3}hx^2 + \frac{3}{2}ahx - \frac{h^3}{6} + a^2h}{\frac{3}{2}hx + 2ah}.$$

При  $a=1,3$  м. выраженіе это обратится въ слѣдующее:

$$u = \frac{\frac{2}{3}hx^2 + \frac{3,9}{2}hx - \frac{h^3}{6} + 1,69h}{\frac{3}{2}hx + 2,6h} = \frac{4x^2 + 11,7x - h^2 + 10,14}{9x + 15,6}.$$

Наконецъ, давленіе около крайняго ребра, относительно котораго мы допускаемъ возможность вращенія, выразится въ тоннахъ слѣдующимъ образомъ:

$$\omega = \frac{2}{3} \times \frac{\text{вертикал. составляющ. равнодѣйств.}}{u},$$

или, пренебрегая небольшими членами, получим

$$\omega = \frac{2}{3u} \left( \frac{3hx}{2} + 2,6h \right).$$

Пользуясь этими тремя формулами, давая  $h$  рядъ последовательно возрастающихъ значеній, составимъ таблицу V.

ТАБЛИЦА V.

$h$	$a$	$x$	$\frac{x}{h}$	$a+x$	$h \left( a + \frac{x}{2} \right)$ (объемъ).	$a + \frac{x}{2}$ $\frac{h}{h}$	$u$	$\omega$ на кв. сант.
300 м.	1,30 м.	0,36 м.	0,12	1,66 м.	4,44 к.м.	0,493	0,311 м.	2,01 кил.
400	"	1,12	0,28	2,42	7,44	0,465	0,477	2,39
500	"	1,81	0,36	3,11	11,025	0,441	0,609	2,90
600	"	2,47	0,41	3,77	15,21	0,422	0,725	3,47
700	"	3,12	0,44	4,42	20,02	0,408	0,857	3,96
800	"	3,75	0,47	5,05	25,40	0,397	0,987	4,68

Сравнение всѣхъ вышеприведенныхъ таблицъ приводить къ тому и вполнѣ опредѣленному выводу о нерациональности устройства стѣнъ шлюзовъ съ вертикальными гранями со стороны камеры, какъ въ смыслѣ безполезной затраты лиш资料 materiala, такъ и въ смыслѣ невыгоднаго распределенія материала по сѣченію, а потому примѣненіе такого устройства можетъ быть оправдываемо только тамъ, где дѣйствительно приходится быть чрезвычайно экономнымъ по отношенію къ расходу воды.

§ 12. Опредѣлениe толщины стѣны шлюза въ томъ случаѣ, когда земляная засыпка вслѣдствіе сильного увлажненія можетъ производить давленіе больше гидростатического. При выводѣ вышеприведенныхъ формулъ мы предполагали, что давленіе со стороны земляной засыпки не можетъ быть больше давленія столба воды той-же высоты, но мы оговорились, что засыпка должна быть произведена съ тою

тицательностью, которая примѣняется при возведеніи водоудержательныхъ плотинъ.

Мы говорили также, что при несоблюденіи этого условія засыпка можетъ производить давленіе на стѣну какъ жидкость, плотность которой почти вдвое болѣе плотности воды, т. е. давленіе почти вдвое болѣшее, чѣмъ принято въ вышеуказанныхъ расчетахъ.

Само собой разумѣется, что инженеръ, которому предстоитъ производить ремонтъ шлюза, прежде чѣмъ опорожнить его отъ воды, отдастъ себѣ ясный отчетъ, хотя-бы при помощи специального изслѣдованія, о характерѣ и состояніи той загрузки, которая имѣется за стѣнами шлюза, и въ крайнемъ случаѣ, если уже онъ предвидитъ возможность вышеупомянутаго явленія, то предпочтеть замѣнить на нѣкоторую высоту имѣющуюся засыпку новымъ грунтомъ.

Тѣмъ не менѣе ввиду того, что иногда несмотря на всѣ мѣры предосторожности невозможно бываетъ предотвратить подобное увлажненіе земляной засыпки, желательно выяснить, какова должна быть толщина стѣны шлюза, когда этотъ послѣдній опорожненъ, и, следовательно, на наружную грань ея засыпка производить давленіе вдвое болѣшее, чѣмъ гидростатическое.

Разматривая типъ стѣны съ трапециoidalнымъ сѣченіемъ и одинаковымъ уклономъ граней и сохранивъ тѣ же обозначенія, мы, подобно тому какъ и раньше, получимъ, что равнодѣйствующая вѣса стѣны и бокового давленія засыпки будетъ имѣть (черт. 4)

горизонтальную составляющую, равную  $\frac{\gamma h^2}{2}$ ,

вертикальную составляющую, равную  $\frac{\gamma h x}{2} + \gamma' (a+x) h$ ,

моментъ относительно ребра *B* равный

$$\frac{\gamma h (h^2 + x^2)}{6} + \gamma' \left( h x^2 + \frac{3}{2} a x h + \frac{a^2 h}{2} \right).$$

Но, такъ какъ мы приняли, что  $\gamma = \gamma' = 2^r$ , то элементы равнодѣйствующей примутъ видъ:

горизонтальная составляющая  $\cancel{2} h^2$ ,

вертикальная составляющая  $h x + 2 h (a+x) = 3 h x + 2 a x$ ,

моментъ относительно ребра  $B \frac{7 h x^2}{3} + 3 a h x + \frac{h^3}{3} + a^2 h$ ,

$$BK = \frac{\text{моментъ равнодѣйствующей}}{\text{вертикальн. составл. равнодѣйств.}} =$$

$$= \frac{\frac{7 h x^2}{3} + 3 a h x + \frac{h^3}{3} + a^2 h}{3 h x + 2 a h}.$$

$$u = a + 2 x - BK = a + 2 x - \frac{\frac{7 h x^2}{3} + 3 a h x + \frac{h^3}{3} + a^2 h}{3 h x + 2 a h},$$

или

$$u = \frac{11 x^2 + 12 a x - h^2 + 3 a^2}{9 x + 6 a}.$$

Давленіе на квадр. метръ около ребра  $A$ , очевидно, ровно

$$\frac{2}{3} \times \frac{\text{вертикальн. составл. равнодѣйств.}}{u}.$$

Принимая его равнымъ  $60^r$ , получимъ уравненіе:

$$60 = \frac{2}{3} \cdot \frac{(3 h x + 2 a h)(9 x + 6 a)}{11 x^2 + 12 a x - h^2 + 3 a^2},$$

откуда

$$x = \frac{a(180 - 6h) + \sqrt{-270 h^3 + 9900 h^3 - 30 a^2 h + 2700 a^2}}{9 h - 330}.$$

Принимая  $a = 1,30$  м., имѣемъ

$$x = \frac{234 - 7,8 h + \sqrt{-270 h^3 + 9900 h^3 - 50,7 h + 4563}}{9 h - 330}$$

При помощи вышеприведенныхъ формулъ составлена табл.  
лица VI.

ТАВЛИЦА VI.

$h$	$a$	$x$	$a + 2x$	$h(a+x)$ (объемъ).	$u$
3,00 м.	1,30 м.	0,271 м.	1,842 м.	4,713 к.м.	0,107 м.
4,00	"	0,692	2,684	7,968	0,365
5,00	"	1,132	3,564	12,160	0,657
6,00	"	1,633	4,566	17,598	1,061
7,00	"	1,966	5,232	22,862	1,182
8,00	"	2,879	7,058	33,432	2,288

Во всѣхъ вышеприведенныхъ формулахъ мы предполагали, что буква  $h$  означаетъ одновременно и высоту стѣны и высоту подпорного горизонта надъ флютбетомъ шлюза; что-же касается послѣдняго разсмотрѣннаго нами случая, то очевидно, что при примѣненіи формулъ, къ нему относящихся,  $h$  слѣдуетъ давать значеніе, равное высотѣ стѣны, а не высотѣ подпорного горизонта надъ флютбетомъ.

Само собой разумѣется, что не представляеть особаго труда вывести болѣе точныя формулы, въ которыхъ были-бы строго разграничены величины  $H$ —высота стѣны и  $h$ —высота подпорного горизонта надъ флютбетомъ, но намъ кажется излишнимъ продолжать это изслѣдованіе, такъ какъ формулы, выведенныя при условіи равенства  $h$  и  $H$ , даютъ вполнѣ надежные результаты и въ то-же время отличаются своей простотой.

Такъ какъ въ нѣкоторыхъ случаяхъ верхъ стѣнъ долженъ нѣсколько возвышаться надъ горизонтомъ самыхъ высокихъ водъ, то разница между  $H$  и  $h$  можетъ быть иногда очень значительна: на Верхней Сенѣ напримѣръ она достигаетъ 1 метра, а на Марнѣ 1,5 метра. Въ виду этого въ каждомъ частномъ случаѣ инженеръ долженъ самъ решить въ зависимости отъ мѣстныхъ условій, какими формулами ему слѣдуетъ пользоваться.

**§ 13. Нижняя голова шлюза.** Нижняя голова шлюза, также какъ и верхняя, состоить изъ слѣдующихъ 4-хъ частей: входной и шкафной частей и упорныхъ и обратныхъ стѣнъ.

Входная часть нижней головы составляетъ какъ-бы продолженіе стѣнъ камеры и дѣлается прямоугольного сѣченія, причемъ ширина или толщина ей придается та, которую имѣеть камерная стѣна въ основаніи. Обыкновенно длина входной части дѣлается около 1 метра. Но если въ ней устраиваются пазы для закладыванія шандоровъ (чтобы можно было производить отдельно ремонтъ нижней головы), то необходимо пазы расположить на разстояніи отъ 0,60 до 1,20 метра отъ начала шкафа въ зависимости отъ нагрузки на шандоры и качества кладки.

**§ 14. Шкафныя стѣны.** Шкафныя стѣны нижней головы дѣлаются тѣхъ-же размѣровъ, что и верхней головы, если конечно короли расположены на одномъ уровнѣ. Имъ придается прямоугольный профиль, подобно тому какъ и во входныхъ стѣнахъ съ тою только разницей, что толщина ихъ меньше на полную глубину шкафа.

Расчетъ устойчивости шкафной стѣны можетъ быть сдѣланъ слѣдующимъ образомъ:

Обозначимъ высоту стѣны черезъ  $H$ , толщину черезъ  $a$  высоту воды, производящей боковое давленіе на стѣну, черезъ  $h$ .

Весь погоннаго метра стѣны равенъ  $2Ha$  (при  $\gamma' = 2^r$ ).

Моментъ его относительно крайняго ребра равенъ  $Ha^2$ .

Давленіе воды на погонный метръ стѣны равно  $\frac{h^2}{2}$ .

Моментъ этого давленія относительно того-же ребра равенъ  $\frac{h^3}{6}$ .

Разстояніе точки пересѣченія равнодѣйствующей съ основаниемъ отъ крайняго ребра равно:

$u = \frac{\text{моментъ равнодѣйствующій}}{\text{вертикал. составл. равнодѣйств.}},$   
или

$$u = \frac{Ha^2 - \frac{h^3}{6}}{2Ha} = \frac{6Ha^2 - h^3}{12Ha}.$$

Давленіе на квадр. метръ основанія около крайняго ребра равно:

$$\omega = \frac{2}{3} \times \frac{2Ha \cdot 12Ha}{6Ha^2 - h^3} = \frac{16H^2a^2}{6Ha^2 - h^3}.$$

Принимая  $\omega = 60^\circ$ , получаемъ уравненіе

$$15(6Ha^2 - h^3) = 4H^2a^2,$$

откуда

$$a = h \sqrt{\frac{15h}{H(90 - 4H)}}.$$

Если найденная изъ послѣдней формулы величина  $a$  окажется больше ширины по основанію камерной стѣны, уменьшеннай на полную глубину шкафа, то, очевидно, что въ шкафной части стѣну слѣдуетъ сдѣлать болѣе солидныхъ размѣровъ и тогда, повидимому, рациональнѣе придать ей профиль подобный тому, какой примѣненъ въ камерѣ, т. е. устроить ее со стороны земляной засыпки съ уклономъ.

Для опредѣленія размѣровъ стѣны тогда, конечно, послужить выведенная раньше формула (стр. 23)

$$x = \frac{6ah - 135a + V - 135h^3 + 3600h^2 + 150a^2h - 3375a^2}{120 - 4,5h},$$

въ которой  $a$  представляеть толщину стѣны поверху, толщину, которая должна быть достаточной для удобнаго и надежнаго закрѣпленія тяжей гальсбанта.

Толщина стѣны по низу будетъ, очевидно, равна  $a+x$ .

Что касается до величины  $h$ , то, хотя она представляеть высоту горизонта верхняго бѣфа надъ флютбетомъ, лучше ее принять равной  $H$ —высотѣ стѣны.

**§ 15. Упорныя стѣны.** Стѣны, расположенные непосредственно ниже шкафовъ и составляющія какъ-бы ихъ продолженіе, называются упорными, такъ какъ главное ихъ назначеніе дать надлежащій упоръ для нижнихъ шлюзныхъ воротъ.

M. Mary въ своемъ труда „*Cours de Navigation*“ указываетъ, что онъ имѣлъ случай видѣть три шлюза, въ которыхъ упорныя стѣны отдѣлялись отъ шкафныхъ сплошной трещиной. Когда шлюзы наполняли водой, трещины открывались, и упорныя стѣны наклонялись въ сторону нижняго бьефа. Когда шлюзы опоражнивали, они возвращались въ свое первоначальное положеніе.

Подобное возвращеніе на старое мѣсто представляеть, очевидно, счастливый случай, на который не слѣдуетъ расчитывать: размѣры упорной стѣны, т. е. длину и ширину слѣдуетъ расчитать такимъ образомъ, чтобы стѣна не могла имѣть никакихъ движеній, и чтобы, кромѣ того, материалъ ея не быть напряженъ болѣе извѣстнаго предѣла, напримѣръ, чтобы давленіе не превосходило 6 килограм. на квадр. сантиметръ.

По поводу расчета упорной стѣны первый далъ нѣкоторыя указанія Gauthey (*Canaux de Navigation p. 64*), но предложенный имъ методъ неправиленъ по слѣдующимъ соображеніямъ: онъ не вводить въ расчетъ боковой распоръ воротъ стѣны, предполагая, что дѣйствіе его парализуется давлениемъ земляной засыпки, дающе производить въ кладкѣ совершенно произвольное дѣленіе, чтобы ограничить массивъ, который долженъ сопротивляться давленію, и, наконецъ, онъ расчета массива ставить только условіе, чтобы моментъ былъ равенъ моменту стѣнки прямоугольного сѣченія, имѣющей ширину равную половинѣ высоты воды и длину равную половинѣ ширины шлюза. При такихъ условіяхъ устойчивость въ продольномъ направлениі будетъ обеспечена, но не дается никакихъ гарантій, что напряженіе въ кладкѣ не превзойдетъ допускаемаго предѣла.

Постараемся разрѣшить поставленный намъ вопросъ более удовлетворительно. Чтобы упростить расчетъ предполо-

жимъ, что углубленіе шкафа имѣеть въ планѣ прямоугольное очертаніе, и что линія  $mn$ , параллельная королю  $bb'$ , представляетъ въ планѣ лицевую поверхность полотна и проникаетъ въ углубленіе шкафа до точки  $m$  (черт. 6).

Рассмотримъ наиболѣе невыгодный для устойчивости стѣнъ случай, когда полотна воротъ створены и не передаютъ отъ себя давленія королю.

Когда шлюзъ наполненъ, каждое изъ полотенъ нижнихъ воротъ подвержено дѣйствію трехъ силъ:

1<sup>о</sup>.—давленію  $Q$ , которое вода производить на поверхность  $mn$ ;

2<sup>о</sup>.—реакцію  $N$  отъ другого полотна, нормальной къ плоскости створа полотенъ и потому нормальной къ продольной оси шлюза;

3<sup>о</sup>.—реакціи  $R$ —стѣны.

Эти три силы, расположенные въ одной горизонтальной плоскости, взаимно уравновѣшиваются, а потому сумма моментовъ ихъ относительно любой точки этой плоскости равна нулю.

Опредѣлимъ величину и направленіе реакціи  $R$  стѣны.

Пусть будетъ:

$l$ —половина ширины шлюза между упорными стѣнами нижней головы.

$e$ —углубленіе шкафа.

$\alpha$ —уголъ, составляемый направленіемъ короля съ перпендикуляромъ къ продольной оси шлюза.

Приравнивая нулью сумму моментовъ вышеуказанныхъ силъ относительно точки  $m$ , получаемъ уравненіе:

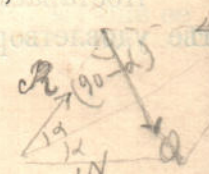
$$N(l+e)\operatorname{tg} \alpha = Q \cdot \frac{1}{2} \frac{l+e}{\cos \alpha},$$

гдѣ

$$N = \frac{Q}{2 \sin \alpha}.$$

Строя въ точкѣ  $m$  параллелограмъ силъ  $N$  и  $Q$ , имѣемъ

$$R^2 = Q^2 + N^2 - 2QN \sin \alpha$$



Подставляя въ это выражение вместо  $N$  его значение  $\frac{Q}{2 \sin \alpha}$ , получаемъ, что

$$R = \frac{Q}{2 \sin \alpha}.$$

Итакъ мы видимъ, что реакціи  $R$  и  $N$  равны между собою по величинѣ, изъ чего заключаемъ, что продолженіе линіи  $mn$  должно быть бисектрисой угла  $gmR$ , или другими словами, что давленіе  $R$ , передающееся отъ полотна стѣнѣ, составляетъ съ нормальною къ продольной оси шлюза уголь  $2\alpha$ .

Для опредѣленія давленія  $Q$  предположимъ, что съ низо-вой стороны нѣтъ никакого давленія, что послужить въ за-щась устойчивости, и примемъ, что  $h$ —означаетъ возвышеніе горизонта верхняго бьефа надъ низомъ полотна, тогда полу-чимъ

$$Q = \frac{h^2}{2} \cdot \frac{l+e}{\cos \alpha},$$

куда

$$R = N = \frac{Q}{2 \sin \alpha} = \frac{h^2(l+e)}{4 \sin \alpha \cos \alpha} = \frac{h^2}{2} \cdot \frac{l+e}{\sin 2\alpha}.$$

Такъ какъ давленіе  $R$  составляетъ острый уголъ  $90^\circ - 2\alpha$  продольной осью шлюза, то могла-бы явиться мысль при-нять сторонамъ упорной стѣны направлениія параллельное и нормальное къ направлению  $R$ , но необходимость устройства шлюза ниже воротъ, а также обратныхъ стѣнокъ, служащихъ соединенія шлюза съ берегами заставляетъ отказаться отъ этой мысли, и на практикѣ стороны упорныхъ стѣнъ дѣла-ются параллельными и нормальными къ продольной оси шлюза, поэтому и найденное нами давленіе  $R$  нужно разложить по двумъ направлениямъ.

Такимъ образомъ получимъ:  
перечную къ оси шлюза составляющую, равную

$$F = R \cos 2\alpha = \frac{h^2}{2} \cdot \frac{l+e}{\operatorname{tg} 2\alpha}$$

и продольную составляющую, равную

$$F' = R \sin 2\alpha = \frac{h^2}{2} (l+e).$$

Замѣтимъ между прочимъ, что minimum давленія  $R$  получается при  $2\alpha=90^\circ$  или  $\alpha=45^\circ$ . Въ этомъ случаѣ поперечная составляющая  $F$  равна нулю, но за то полотна воротъ получаются чрезмѣрно длинными.

При  $2\alpha=45^\circ$  и, следовательно,  $\alpha=22^\circ 30'$  поперечная составляющая  $F$  равна продольной составляющей  $F'$ .

Для значеній  $\alpha$  между  $0^\circ$  и  $22^\circ 30'$  величина  $F'$  меньше  $F$ , тогда какъ для значеній  $\alpha$  между  $22^\circ 30'$  и  $45^\circ$  величина  $F$  меньше  $F'$ .

На Верхней Сенѣ приняли  $\operatorname{tg} \alpha=0,25$ , откуда  $\alpha=14^\circ 2' 10''$ .

На Марнѣ „  $\operatorname{tg} \alpha=0,3846$ , „  $\alpha=21^\circ 2' 15''$ .

Bélidor принималъ  $\operatorname{tg} \alpha=0,20$ , но Gautheu находитъ эту величину слишкомъ малой и указываетъ, что средняя величина для  $\operatorname{tg} \alpha$ , выведенная имъ изъ большого числа шлюзовъ, оказалась равною 0,25.

**§ 16. Расчетъ упорной стѣны.** Чтобы опредѣлить размѣры упорной стѣны  $ABCD$  (черт. 6), пренебрежемъ сѣпле-  
ніемъ въ сѣченіи  $rq$ , отдѣляющемъ эту стѣну отъ шкафной,  
и въ сѣченіи  $rs$ , отдѣляющемъ ту-же стѣну отъ обратной  
стѣны; не будемъ также вводить въ расчетъ давленія земля-  
ной засыпки.

Такимъ образомъ наша задача сводится къ опредѣлению  
ширины  $x$  и длины  $y$  прямоугольного массива  $ABCD$ , имѣю-  
щаго высоту  $H$  и подверженаго дѣйствію двухъ силъ  $F$  и  
 $F'$ , о которыхъ шла рѣчь въ предыдущемъ параграфѣ.

Но сила  $F$  можетъ быть замѣнена другою, ей равною и  
и параллельною, дѣйствующей на той-же высотѣ и проходя-  
щей черезъ вертикальную ось параллелопипеда  $ABCD$ . Тоже  
самое можно сдѣлать и съ силой  $F'$ . Такая замѣна вызоветъ  
появленіе двухъ паръ, разность которыхъ  $\frac{Fy - F'x}{2}$  стремит-  
ся повернуть стѣну около ея вертикальной оси, чѣмъ мы мо-  
жемъ пренебречь.

Весь массива  $ABCD$  въ тоннахъ равенъ:

$$P = 2Hxy.$$

Если взять моменты силъ  $P$  и  $F$  относительно продольного ребра  $BC$  основания и обозначить черезъ  $u$  разстояніе точки пересѣченія равнодѣйствующей основанія отъ ребра  $BC$ , то можемъ написать, что

$$u = \frac{P \cdot \frac{x}{2} - F \cdot \frac{h}{3}}{P} = \frac{3Px - 2Fh}{6P}.$$

Давленіе на квадратный метръ въ тоннахъ около крайняго ребра  $BC$  выразится, слѣдовательно, такъ:

$$(1) \quad \omega = \frac{2}{3} \cdot \frac{P}{uy} = \frac{8H^2x^2y}{3Hx^2y - Fh}.$$

Подобнымъ-же образомъ, беря моменты силъ  $F'$  и  $P$  относительно ребра  $DC$ , найдемъ, что давленіе на квадратный метръ въ тоннахъ около крайняго ребра  $DC$  будетъ равно

$$(2) \quad \omega = \frac{8H^2y^2x}{3Hy^2x - F'h}.$$

Послѣднія два уравненія даютъ  $x$  и  $y$  въ функціи отъ  $H$ ,  $h$ ,  $F$ ,  $F'$  и  $\omega$ , а именно

$$x^3 = \frac{\omega F^2 h}{F' H (3\omega - 8H)}.$$

$$y^3 = \frac{\omega F'^2 h}{F' H (3\omega - 8H)}.$$

Замѣняя  $F$  и  $F'$  ихъ выраженіями, выведенными выше, получимъ:

$$x^3 = h^3 \cdot \frac{\omega (l+e)}{2H(3\omega - 8H) \operatorname{tg}^2 2\alpha}$$

$$y^3 = h^3 \cdot \frac{\omega (l+e) \operatorname{tg} 2\alpha}{2H(3\omega - 8H)}.$$

Изъ этихъ формулъ видно, что  $x$  и  $y$  пропорціональны

$h$ , далъе, что  $\frac{y}{x} = \operatorname{tg} 2\alpha = \frac{F'}{F}$ , чего и слѣдовало ожидать, такъ что, когда  $\alpha$  меныше  $22^{\circ} 30'$ , длина  $y$  должна бытъ меныше  $x$ .

Примѣняя эти формулы къ шлюзамъ уже существующимъ и принимая  $\omega = 60^{\circ}$ , замѣчаемъ, что онъ даютъ размѣры значительно меныше, чѣмъ имѣются въ натурѣ, и что особено велика разница въ длине  $y$  упорной стѣны.

Замѣтимъ къ тому-же, что мы рѣшили задачу при са-  
мыхъ неблагопріятныхъ условіяхъ, а именно, мы пренебрегали  
связью упорной стѣны со шкафной и обратной стѣнками,  
пренебрегали сопротивленіемъ обратной стѣнки, предполагали,  
что засыпка не производить никакого давленія на упорную  
стѣну, и, наконецъ, допускали, что ворота вовсе не упира-  
ются въ король, т. е., что все испытываемое ими давленіе  
полностью передаютъ стѣнамъ.

Такое разногласіе между теоріей и практикой объясняется  
тѣмъ, что строители, сознавая особенную важность упорныхъ  
стѣнъ, придавали имъ болѣшій запасъ устойчивости и проч-  
ности, чѣмъ въ другихъ частяхъ шлюза. Постараемся выяс-  
нить этотъ вопросъ подробнѣе.

Положимъ, что мы желаемъ найти эмпирическую фор-  
мулу, которая давала-бы результаты близкіе къ встрѣчаю-  
щимся на практикѣ. Для этой цѣли опредѣлимъ  $x$  и  $y$  изъ  
того условія, чтобы существовало равенство моментовъ силъ  
 $P$  и  $F$ , а также  $P$  и  $F'$  относительно реберъ основанія стѣны,  
и найденные выраженія умножимъ на эмпирическіе коэффи-  
циенты.

Итакъ можемъ написать слѣдующихъ два равенства:

$$\frac{Px}{2} = \frac{Fh}{3}$$

и

$$\frac{Py}{2} = \frac{F'h}{3}.$$

Подставляя вмѣсто  $P$  его выражение  $2xyH$ , найдемъ слѣ-  
дующія выраженія для  $x$  и  $y$

$$x = \sqrt[3]{\frac{F^2 h}{3 F' H}} \quad \text{и} \quad y = \sqrt[3]{\frac{F'^2 h}{3 F H}}.$$

Далѣе, если выраженіе для  $x$  умножить на коэффиціентъ 1,5, а выраженіе для  $y$  на коэффиціентъ 2, то получимъ эмпирическія формулы, которыя даютъ результаты весьма близкіе къ принятымъ на практикѣ.

Если кромѣ того въ выраженіяхъ для  $x$  и  $y$  замѣнимъ  $F$  черезъ  $\frac{h^2}{2} \cdot \frac{l+e}{tg 2\alpha}$  и  $F'$  черезъ  $\frac{h^2}{2} (l+e)$ , то получимъ въ окончательномъ видѣ слѣдующія двѣ формулы:

$$x = 1,5 h \sqrt[3]{\frac{l+e}{6 H tg^2 2\alpha}} \quad \text{и} \quad y = 2 h \sqrt[3]{\frac{(l+e) tg 2\alpha}{6 H}}.$$

Примѣнимъ эти формулы къ слѣдующимъ числовымъ даннымъ шлюзовъ на Марнѣ:  $h=4,50$  метр.,  $l=3,90$  метр.,  $e=0,60$  м.,  $tg 2\alpha=0,9$  и  $H=5,80$  м.; получимъ  $x=3,60$  мет. (въ дѣйствительности имѣется 3,70 мет.) и  $y=4,40$  мет. (въ дѣйствительности имѣется 4,30 мет.), тогда какъ выше приведенные формулы безъ эмпирическихъ коэффиціентовъ ( $x^3=h^3 \cdot \frac{\omega(l+e)}{2H(3\omega-8H)ty^2 2\alpha}$  и подобная-же для  $y$ ) дали-бы для  $x$  величину 2,71 м. и для  $y$  величину 2,44 м.

Интересно теперь опредѣлить, каково будетъ наибольшее напряженіе въ кладкѣ при примѣненіи вышеуказанныхъ эмпирическихъ формулъ. Расчетъ можемъ вести совершенно такъ-же, какъ и раньше, сохраняя прежній его общій характеръ, такъ обозначимъ черезъ  $u_1$  разстояніе точки пересѣченія равнодѣйствующей основанія отъ крайняго ребра  $BC$  и черезъ  $\omega_1$ —давленіе въ тоннахъ на квадратн. метръ около послѣдняго ребра.

Тогда

$$u_1 = \frac{x}{2} - \frac{Fh}{3P},$$

то мы знаемъ, что

$$P = 2xyH.$$

$$\begin{aligned} P \left( \frac{L}{2} - u_1 \right) &= \frac{Fh}{3} \\ \frac{L}{2} - u_1 &= \frac{Fh}{3P} \end{aligned}$$

Подставляя вмѣсто  $x$  и  $y$  ихъ выраженія:

$$x=1,5 \sqrt[3]{\frac{F^2 h}{3 F' H}} \text{ и } y=2 \sqrt[3]{\frac{F'^2 h}{3 FH}},$$

получимъ:

$$P=2 \sqrt[3]{3 FF' H h^2}.$$

Подставляя въ выражение  $u_1$  найденное нами выражение  $P$ , получимъ

$$u_1 = \frac{x}{2} - \frac{Fh}{3P} = \frac{x}{2} - \frac{\sqrt[3]{8212}}{3 \times F H h^2} = \frac{x}{2} - \frac{x}{6} = 0,388... x.$$

Итакъ равнодѣйствующая пересѣкаетъ основаніе на разстояніи отъ крайняго ребра  $BC$  нѣсколько болѣемъ, чѣмъ  $\frac{1}{3}$  толщины  $x$ , а потому давленіе на квадр. метръ основанія около крайняго ребра получится по слѣдующей формулѣ:

$$\omega_1 = 2 \left( 2 - \frac{3u_1}{x} \right) \frac{P}{xy}.$$

Замѣняя  $u_1$  черезъ  $0,388...x$  и  $\frac{P}{xy}$  черезъ  $2H$ , получимъ:

$$\omega_1 = 2(2 - 3 \cdot 0,389) 2H,$$

или

$$\omega_1 = 3,33 H.$$

Путемъ аналогичныхъ-же расчетовъ получимъ, что

$$u_2 = \frac{y}{2} - \frac{y}{12} = 0,4166 y.$$

Это значеніе  $u_2$  больше  $\frac{y}{3}$ , а потому  $\omega_2$  находимъ изъ выражения:

$$\omega_2 = 2 \left( 2 - \frac{3u_2}{y} \right) \frac{P}{xy}.$$

Подставляя вмѣсто  $u_2$  величину  $0,4166 y$  и вмѣсто  $\frac{P}{xy}$  величину  $2H$ , получимъ

$$\omega_2 = 2,86 H.$$

Обращаясь къ примѣру шлюза на Марнѣ, подставляемъ  $H=5,80$  мет., получаемъ  $\omega_1=19,31$  тон. на кв. метръ, или 1,931 кил. на кв. сант., а  $\omega_2=16,58$  тон. на кв. мет., или 1,658 кил. на кв. сант.—давленія значительно меньшія допускаемыхъ.

Въ приведенныхъ выше расчетахъ мы принимали вѣсъ кубич. метра кладки въ 2000 кил., а максимальное допускаемое напряженіе въ 6 кил. на кв. сант., но само-собой разумѣется, что въ каждомъ частномъ случаѣ въ зависимости отъ матеріала, изъ которого возводятся стѣны, цифры эти могутъ колебаться въ довольно широкихъ предѣлахъ.

**§ 17. Обратные стѣники.** Обратные стѣники устраиваются по обоимъ концамъ шлюзовой стѣны для надлежащей связи съ берегомъ и представляютъ по своей работе обыкновенные подпорные стѣники, а потому размѣры ихъ зависятъ главнымъ образомъ отъ высоты земляной засыпки. Ихъ обыкновенно врѣзываютъ въ берегъ на 0,80 метра, считая отъ гребня берегового откоса и на концѣ дѣлаютъ толщиной въ 1 метръ. Sganzin советуетъ врѣзаться въ берегъ даже на 1 метръ.

### Фундаментъ шлюза.

**§ 18. Общія соображенія.** Фундаментъ шлюза при всѣхъ возможныхъ способахъ загруженія долженъ удовлетворять условиямъ прочности и устойчивости.

Сплошной бетонный фундаментъ имѣть монолитное строеніе и при расчетахъ рассматривается какъ упругое тѣло, способное сопротивляться изгибающимъ и скальвающимъ усилиямъ. Величина напряженій въ немъ въ значительной степени зависитъ отъ закона распределенія реакціи основанія. Послѣднее не поддается точному опредѣленію, а потому и проверка прочности и устойчивости сплошного фундамента дѣлается всегда съ некоторымъ приближеніемъ.

Ниже мы укажемъ примѣняемые способы расчетовъ сплошныхъ фундаментовъ шлюзовъ, не описывая всѣхъ конструктивныхъ особенностей различныхъ типовъ ихъ, подробно изложеннымъ въ курсѣ внутреннихъ водяныхъ сообщеній проф. Ф. Г. Зброжена.

### *Дѣйствующія силы:*

1) Определеніе собственного вѣса сооруженія по заданнымъ размѣрамъ не представляетъ затрудненія.

2) Напоръ на боковыя стѣны шлюза.

При расчетѣ подпорныхъ стѣнъ и устоевъ мостовъ въ запасъ прочности и устойчивости ихъ обыкновенно предполагаютъ, что распоръ отъ земли дѣйствуетъ горизонтально. При расчетѣ же фундамента шлюза не слѣдуетъ пренебрегать вертикальной составляющей напора земли, такъ какъ она дѣйствуетъ на дно шлюза въ томъ же направленіи какъ вѣсъ самого сооруженія, и вѣсъ воды, заполняющей шлюзъ.

Направленіе давленія  $E$  земли на заднюю грань стѣники въ точности не известно. Предполагаютъ, что  $E$  отклоняется вверхъ отъ нормали, проведенной къ поверхности стѣны на уголъ  $\varphi$  естественнаго откоса, такъ что давленіе нормальное къ стѣнкѣ

$$(1) \quad Q = E \cos \varphi.$$

По Boussinesq'у напоръ на вертикальную грань стѣники

$$(2) \quad E = \frac{1}{2} d h^2 \tan^2 \left( 45^\circ - \frac{\varphi}{2} \right) \frac{\cos \left( 45^\circ - \frac{\varphi}{2} \right)}{\cos \left( \frac{3\varphi}{2} - 45^\circ \right)}.$$

По Ott'у давленіе, нормальное къ задней грани, составляющей съ горизонталью уголъ  $\psi$ ,

$$(3) \quad Q = \frac{d h^2 \sin (\psi - \varphi) \cos \varphi}{2 \sin^2 \psi \sin 2\varphi [ \sqrt{\cotg(\psi - \varphi) + \cotg 2\varphi} + \sqrt{\cotg(\psi - \varphi) - \cotg \psi} ]^2},$$

плечо его  $q = \frac{2}{3} h$ .

При вертикальной грани стѣнки, т. е. при  $\psi=90^\circ$ .

$$(4) \quad Q = \frac{d h^2 \cos^2 \varphi}{2(1 + \sqrt{2} \sin \varphi)^2};$$

обыкновенно же въ послѣднемъ случаѣ для опредѣленія горизонтального распора примѣняютъ формулу

$$(5) \quad Q = \frac{1}{2} d h^2 \operatorname{tg}^2 \left( 45^\circ - \frac{\varphi}{2} \right);$$

въ выше приведенныхъ формулахъ  $d$ —означаетъ вѣсъ единицы объема земли,  $h$ —высоту стѣны.

Для упрощенія вычисленій по послѣдней формулы значеніе  $\operatorname{tg}^2 \left( 45^\circ - \frac{\varphi}{2} \right)$  можно прямо взять изъ *Hütte*. т. II, стр. 398.

Если уголъ естественнаго откоса  $\varphi$  равенъ нулю, то на основаніи формулъ (2), (4) и (5) для вертикальной стѣны

$$Q = \frac{1}{2} d h^2.$$

Если же задняя грань наклонена къ горизонту подъ угломъ  $\psi$ , то по формулѣ (3) при  $\varphi=0$  послѣ преобразованія получается

$$Q = \frac{d H^2}{2 \sin \psi}.$$

Если обозначить удѣльный вѣсъ материала засыпки чрезъ  $\beta$ , то по формулѣ (5) горизонтальное давленіе на вертикальную стѣнку

$$Q = \frac{1}{2} \beta \times 1000 \times h^2 \operatorname{tg}^2 \left( 45^\circ - \frac{\varphi}{2} \right).$$

Напоръ воды на вертикальную стѣнку при глубинѣ  $h$  равенъ

$$Q_0 = \frac{1}{2} \times 1000 \times h^2, \text{ такъ что}$$

$$Q = Q_0 \cdot \beta \cdot \operatorname{tg}^2 \left( 45^\circ - \frac{\varphi}{2} \right) = Q_0 \cdot \alpha$$

$$\text{гдѣ } \alpha = \beta \cdot \operatorname{tg}^2 \left( 45^\circ - \frac{\varphi}{2} \right)$$

Для глины, насыщенной водой

$$\beta = 2,04, \varphi = 17^\circ \text{ и } \alpha = 1,117,$$

для глины естественной влажности

$$\beta = 1,55, \varphi = 45^\circ \text{ и } \alpha = 0,266.$$

При наносномъ иловатомъ грунте, не слишкомъ водонепроницаемомъ и употребляемомъ въ сухомъ видѣ,  $\alpha = 1,2$ ; для ила же, который является продуктомъ землечерпания, коэффициентъ этотъ можетъ достигать 2. Въ послѣднемъ случаѣ давленіе грунта можетъ быть разматриваемо какъ давленіе жидкости большей плотности, которая зависитъ отъ способа производства работъ.

Засыпка за стѣнами шлюзовъ обыкновенно бываетъ влажная, даже если она плотно утрамбована; въ этомъ случаѣ можно положить  $\varphi = 30^\circ$  и  $\beta = 1,75$ , соотвѣтственно чemu  $\alpha = 0,577$ .

Засыпка же, сдѣланная изъ чистаго песку или нѣсколько перемѣшанаго съ глиной или иломъ, производить давленіе немногимъ больше гидростатического.

Изъ вышеизложеннаго мы видимъ, что величина коэффициента давленія  $\alpha$  въ гидротехническихъ сооруженіяхъ можетъ варьировать въ широкихъ предѣлахъ.

Его minimum для рѣчныхъ и морскихъ сооруженій по-видимому близокъ къ 0,60, и maximum достигаетъ 1,2 и даже 2, когда приходится имѣть дѣло съ засыпкой изъ илистаго грунта.

Ниже будетъ доказано, что фундаментъ шлюза будетъ находиться въ тѣмъ болѣе выгодныхъ условіяхъ, чѣмъ большиe боковое давленіе; поэтому при опредѣленіи условія равновѣсія и прочности его слѣдуетъ придавать боковому давленію минимальнное значение, чтобы получить максимальную реакцію основанія.

3) Давленіе воды снизу на сплошной фундаментъ въ точности неизвѣстно. Hagen и Lagrené рекомендуютъ при опредѣленіи толщины бетоннаго основанія брать полное давленіе, соответствующее столбу воды высотою отъ подошвы основанія

до уровня ея; иногда же согласно указанію Franzius'a берутъ только  $\frac{1}{2}$  и даже  $\frac{1}{4}$  этой высоты смотря по плотности грунта. Давленіе воды на подошву фундамента можетъ уменьшиться \*) по двумъ причинамъ: а) высота давленія  $h$  уменьшается вслѣдствіе тренія и сцѣщенія грутовой воды на пути  $x$  (черт. 7), который приходится водѣ пройти въ грунтѣ до рассматриваемаго мѣста фундамента ( $a$  или  $a'$ ), такъ что напоръ воды измѣряется уже высотою  $\varepsilon_x \cdot h$ , где  $\varepsilon < 1$  и измѣняется въ зависимости отъ величины зеренъ грунта.

Въ тѣхъ случаяхъ, когда слой воды весь расположенъ въ грунты, то происходитъ еще всасываніе воды на высоту  $k$  вслѣдствіе капиллярности, такъ что напоръ воды измѣряется высотою  $= \varepsilon_x \cdot (h - k)$  (черт. 7). Для чистаго песку даже при значительномъ разстояніи  $x$  коеффиціентъ  $\varepsilon$  почти равенъ 1.

б) Вслѣдствіе того, что отдѣльныя частицы грунта плотно прилегаютъ къ подошвѣ фундамента, нѣкоторыя части послѣдняго остаются не смоченными и не испытываютъ давленія воды, такъ что поверхность давленія уменьшается пропорціонально нѣкоторому коеффиціенту  $\alpha (< 1)$ . Такимъ образомъ, обозначая вѣсъ единицы объема воды черезъ  $\gamma$ , находимъ, что давленіе на единицу подошвы фундамента  $= \alpha \cdot \varepsilon_x \cdot \gamma \cdot h$  или, принимая во вниманіе и всасываніе отъ капиллярности,  $= \alpha \cdot \varepsilon_x \cdot \gamma \cdot (h - k)$ .

Уменьшеніе площади давленія возможно даже въ томъ случаѣ, если основаніемъ служитъ крупный песокъ, легко пропускающій воду. На первый взглядъ это кажется страннымъ, потому что, если какая-нибудь частица песка и соприкасается плотно съ подошвой фундамента, и вода такимъ образомъ не можетъ непосредственно производить давленіе на соответствующую часть фундамента, то все же давленіе воды на самую частицу должно полностью передаваться на подошву фундамента, такъ что въ данномъ случаѣ объ уменьшениіи площади давленія, повидимому, и рѣчи быть не можетъ. Въ дѣйствительности же оно возможно. Brennecke доказываетъ это въ *Zeitschrift fü Bauwesen 1892 S. 525* слѣдующимъ

\*) Brennecke. Устройство оснований и фундаментовъ стр. 188.

образомъ: положимъ, что основаниемъ фундамента (черт. 8) служить слой I, нѣсколько пропускающей воду; коефиціентъ уменьшения площади давленія обозначимъ для него черезъ  $\alpha_1$ ; подъ этимъ слоемъ расположена второй слой II, болѣе пропускающей воду, коефиціентъ для него обозначимъ черезъ  $\alpha_2$ . Если давленіе на подошву фундамента равняется только  $\alpha_1 \cdot t_1 \cdot \gamma$ , т. е. если давленіе, испытываемое самимъ слоемъ I, не передается на фундаментъ, то толщина  $d$  слоя

$$\rho_d + \rho_{d,h} = \rho_{d_2} \rho_2$$

I опредѣляется изъ условія  $d = t_2 - t_1 = \frac{\gamma}{\gamma_2} (t_2 \cdot \alpha_2 - t_1 \cdot \alpha_1)$ ; здѣсь  $\gamma$ —означаетъ вѣсъ единицы объема воды и  $\gamma_2$  вѣсъ единицы объема грунта въ слоѣ I.

Brennecke на основаніи своихъ опытовъ даетъ слѣдующую таблицу:

Величина зеренъ песка	Значеніе $\alpha$
0	0
0,1	0,84498
0,117	0,9553
0,323	0,99242
0,814	0,99577
1,077	0,99855

Коефиціентъ  $\alpha$  для данного грунта остается постояннымъ, коефиціентъ же  $\varepsilon$  измѣняется въ зависимости отъ положенія рассматриваемой точки подошвы фундамента; вслѣдствіе этого схема давленія воды принимаетъ одинъ изъ видовъ, указанныхъ на черт. 9. Первая схема соотвѣтствуетъ случаю  $\alpha < 1$  и  $\varepsilon = 1$  (для чистаго песку, величина зеренъ котораго очень мала). Для чистаго песку, зерна котораго болѣе 0,4 мм., можно и коефиціентъ  $\alpha$  принимать равнымъ 1, такъ что при толщинѣ бетоннаго слоя  $d$  и вѣсѣ единицы объема его  $= \gamma_1 = \beta \gamma$  давленіе воды снизу вверхъ на 1 поверхности подошвы фундамента равно

$$p = \gamma (h - \beta d).$$

Если подошва фундамента лежитъ на очень плотной глинѣ, то давленіе воды снизу вверхъ обыкновенно не принимаютъ

во вниманіе, такъ какъ такая глина воды вовсе не пропускаетъ; если же она вслѣдствіе какихъ либо причинъ пропитается водою, то давленіе на подошву фундамента можетъ оказаться даже больше, чѣмъ отъ воды той-же глубины. Въ виду этого при такомъ грунтѣ надо быть очень осторожнымъ.

Для уменьшенія давленія на подошву иногда подъ бетонное основаніе кладутъ слой глины, не пропускающей воду. Полагаютъ, что слой глины, толщина котораго  $T$  равна отъ 4 до 5 футъ, обезпечиваетъ противъ фільтраціи т. е.  $\varepsilon=0$ . Тогда можно допустить, что вѣсъ этого слоя, за вычетомъ потери вѣса отъ погруженія въ грунтовую воду, будетъ противодѣйствовать напору на подошву бетоннаго фундамента, такъ что

$$p = \gamma h - \gamma (\beta_1 - 1) T - \gamma \beta d, \text{ или}$$

$$p = \gamma [h - (\beta_1 - 1) T - \beta d]$$

гдѣ черезъ  $\beta$ ,  $\gamma$  обозначень вѣсъ единицы объема ограждающаго слоя.

Если же опытомъ найдено, что при толщинѣ ограждающаго слоя  $T$  фільтрація все-таки происходитъ, такъ что  $\varepsilon$  болѣе нуля и равно  $\varepsilon_t$ , то, опредѣливъ коэффиціентъ  $\alpha$  уменьшенія поверхности давленія, найдемъ

$$p = \gamma [h - (\beta_1 - 1) (1 - e_r \cdot \alpha) T - \beta d].$$

Какъ опредѣляются коэффиціенты  $\varepsilon$  и  $\alpha$  см. „Устройство оснований и фундаментовъ“ Бреннеке.

4) Сила тренія въ плоскости соприкасанія подошвы фундамента съ грунтомъ.

Если давленіе  $B$  на грунтѣ встрѣчаетъ горизонтальную подошву фундамента подъ угломъ  $\delta$  къ вертикали, причемъ  $\delta$  не болѣе угла  $\varphi$  естественнаго откоса или угла тренія, то, очевидно, составляющая  $B \cdot \operatorname{tg} \delta$  будетъ уравновѣшиваться сопротивленіемъ тренія, и вертикальное сѣченіе фундамента шлюза, проведенное черезъ середину его, вовсе не будетъ подвержено сжимающему усилию  $B \cdot \operatorname{tg} \delta$ . Если же  $\operatorname{tg} \delta$  болѣе коэффиціента тренія  $\mu = \operatorname{tg} \varphi$ , то можно предположить, что при сопротивленіи грунта  $B \cdot \operatorname{tg} \varphi$  усилие, сжимающее среднее сѣченіе фундамента шлюза, равно  $B (\operatorname{tg} \delta - \operatorname{tg} \varphi)$ .

Если въ качествѣ засыпки за стѣны примѣняются не тотъ грунтъ, который служитъ основаніемъ, то въ выше приведенныя формулы и въ формулы, служащи для опредѣленія напора земли на стѣны, должны быть подставлены различныя значенія  $\varphi$ .

5) Вертикальная реакція основанія равна суммѣ всѣхъ силъ, дѣйствующихъ сверху внизъ, но законъ распределенія ея неизвѣстенъ, такъ какъ свойства сыпучихъ тѣлъ въ отношеніи сопротивленія ихъ давленію мало изслѣдованы. Основаніе, обладающее свойствами сыпучаго тѣла, обнаруживаетъ наибольшую реакцію на единицу площади въ мѣстѣ наибольшаго давленія, но законъ увеличенія реакціи въ зависимости отъ увеличенія давленія неизвѣстенъ.

При неравномѣрномъ грунтѣ реакція возрастаетъ также въ болѣе плотныхъ частяхъ его.

Вѣдьствие такой неопределенности въ распределеніи реакціи основанія при расчетахъ фундаментовъ шлюзовъ въ силу необходимости приходится дѣлать иѣкоторая допущенія.

Противодѣйствіе грунта принимается или равномѣрно распределеннымъ, или же предполагаютъ, что реакція грунта возрастаетъ отъ продольной оси шлюза къ краямъ, и эпюра ея въ такомъ случаѣ представляется треугольникомъ, вершина которого совпадаетъ съ серединой основанія.

Ниже въ расчетахъ будетъ показано, какъ выгодно такое распределеніе давленія грунта для прочности фундамента. Поэтому иногда стараются увеличить сопротивляемость грунта подъ боковыми стѣнами шлюза устройствомъ свайного ростверка.

Профессоръ Л. Ф. Николаи доказываетъ, что подъ абсолютно твердой опорой всѣ сваи испытываютъ одинаковое давленіе, какъ бы не распределить ихъ, лишь бы общій центръ тяжести всѣхъ свай совпадалъ съ точкой приложенія равнодѣйствующей силы (см. „Мосты“, томъ I стр. 890 и 895). Распределеніе же давленія на сваи отъ тѣла, подверженного изгибу, въ точности неизвѣстно.

При расчетѣ шлюзовъ сопротивляемость свай принимается равномѣрной или неравномѣрной въ зависимости отъ того,

забиты ли сваи на равныхъ разстояніяхъ другъ отъ друга или на неравныхъ.

Послѣ забивки свай подъ стѣнами шлюза грунтъ здѣсь нѣсколько уплотняется, но увеличенія сопротивляемости грунта отъ этого уплотненія, пожалуй, лучше не принимать во вниманіе, потому что во многихъ грунтахъ оно съ теченіемъ времени пропадаетъ.

Сопротивленіе свай вводится въ расчетъ полностью безъ коефиціента запаса.

Для опредѣленія его существуетъ много формулъ; изъ нихъ по мнѣнію проф. Л. Ф. Николаи наиболѣе достовѣрны формула Вейсбаха

$$p = \frac{Q^2 h}{(Q+q) e} + (Q+q),$$

гдѣ  $p$ —сопротивленіе сваи,

$Q$ —вѣсъ бабы,

$h$ —высота паденія ея,

$q$ —вѣсъ сваи,

$e$ —погруженіе сваи отъ удара,

и формула Rankine'a

$$p = -\frac{2 E \omega e}{l} + \sqrt{\frac{4 E^2 \omega^2 e^2}{l^2} + \frac{4 E \omega Q h}{l}}$$

гдѣ  $p$ ,  $Q$ ,  $h$  и  $\omega$  имѣютъ тѣ же значенія, что и выше;  $E$  коефиціентъ упругости матеріала сваи, для сосны  $E=50000$   $\frac{\text{пуд.}}{\text{дм}^2}$ ,

$l$ —длина сваи,

$\omega$ —площадь сѣченія сваи.

Первая формула примѣняется при  $e$  не особенно малыхъ т. е. не менѣе  $1/4$  дм.

Сопротивляемость сваи, опредѣленная по формулѣ, будетъ нѣсколько не соотвѣтствовать дѣйствительной, а потому въ каждомъ частномъ случаѣ лучше было бы опредѣлять ее опытомъ.

### § 19. Опредѣленіе толщины сплошного фундамента шлюза.

Не такъ еще давно толщину сплошного фундамента

шлюза опредѣляли только по давлению воды снизу вверхъ, между тѣмъ какъ подъ вліяніемъ совокупности всѣхъ силъ, указанныхъ въ предыдущемъ параграфѣ, фундаментъ шлюза можетъ оказаться въ болѣе невыгодныхъ условіяхъ.

Раньше полагали, что фундаментъ стремится приподняться въ средней своей части, изгибаюсь подъ давлениемъ воды, направленнымъ снизу вверхъ. Отсюда понятно, почему вовсе не принимали во вниманіе воды, заполняющей шлюзъ, т. е. при расчетахъ не разсматривали того случая, когда шлюзъ наполненъ водою; а между тѣмъ какъ разъ въ этомъ случаѣ въ фундаментѣ могутъ появиться болѣе опасныя напряженія; при томъ изгибъ фундамента можетъ произойти не вслѣдствіе того, что средняя часть его приподнимается, а наоборотъ отъ того, что при сжимающемся грунте края его опускаются подъ вліяніемъ вѣса боковыхъ стѣнъ и напора воды, заполняющей шлюзъ. При такомъ изгибѣ середина фундамента всегда будетъ плотно соприкасаться съ грунтомъ. Обратное возможно только въ томъ случаѣ, если въ самомъ началѣ постройки шлюза давленіе воды на подошву фундамента болѣе вѣса послѣдняго, грунтъ же по концамъ фундамента сжимается очень мало.

Если же основаніемъ служить слабый грунтъ, способный къ осадкѣ, то не смотря на то, что давленіе воды на подошву болѣе вѣса фундамента, послѣдній не перестанетъ соприкасаться съ грунтомъ до тѣхъ поръ, пока въ серединѣ его не произойдетъ излома, такъ какъ при малой эластичности фундамента и сравнительно ничтожномъ увеличеніи сопротивленія такого грунта отъ сжатія по концамъ фундамента часть вѣса боковыхъ стѣнъ будетъ передаваться на грунтъ и по серединѣ фундамента.

Такимъ образомъ опредѣлять толщину бетоннаго фундамента по давлению воды на подошву его слѣдуетъ только въ томъ случаѣ, если основаніемъ служить грунтъ не способный къ осадкѣ, но пропускающій воду, какъ напримѣръ трещиноватая скала.

Введемъ слѣдующія обозначенія:

*b*—величина пролета; она равна разстоянію между перекрышками въ уровняхъ ихъ основанія, если мы разсматриваемъ

періодъ постройки, и равна разстоянію между стѣнами, если беремъ случай, когда шлюзъ уже построенный опорожненъ.

$d$ —искомая толщина,  $h$ —возвышение уровня воды окружающей перемычки, надъ верхнею поверхностью бетона, вѣсъ воды— $\gamma$ , вѣсъ бетона— $\beta\gamma$ ,  $k$ —допускаемое напряженіе на изломъ бетона.

Для полосы шириной=1.

$$\frac{k \cdot 1 \cdot d^2}{6} = \frac{[\gamma(h+d) - \beta \cdot \gamma \cdot d] b^2}{8}, \text{ откуда}$$

$$d = \frac{-3b^2 \cdot \gamma (\beta-1) + b \sqrt{9b^2 \cdot \gamma^2 (\beta-1)^2 + 48 \gamma h \cdot k}}{8k}.$$

Иногда разсматриваютъ бетонный фундаментъ какъ балку, закрѣпленную на опорахъ; тогда

$$\frac{k d^2}{6} = \frac{[\gamma(h+d) - \gamma \cdot \beta \cdot d] b^2}{12}, \text{ откуда}$$

$$d = \frac{-\gamma(\beta-1)b^2 + b \sqrt{\gamma^2(\beta-1)^2 b^2 + 8h\gamma k}}{4k}.$$

Лучше вѣ запасъ прочности опредѣлять  $d$  по первой формулѣ.

Допускаемое напряженіе на изломъ бетона смотря по качеству его, можно принять  $k=$ отъ 70000—120000 кил. на кв. мет. или  $k=2,8—4,8$  цуд. на кв. дм. \*).

Такія высокія напряженія, превосходящія допускаемыя напряженія на простой разрывъ бетона, можно принимать потому, что формула  $k = \frac{M}{W}$  для бетона не совсѣмъ точна, и нейтральная ось бетонной балки при изгибѣ отклоняется вѣ сторону сжатыхъ волоконъ, такъ что площадь, подверженная растяженію, увеличивается.

Если бетонный фундаментъ предполагается возводить безъ подоотлива и на тщательность производства работъ положиться нельзя, то на изгибѣ бетона надо допускать напряженіе меньшее указанного выше.

\* Проф. Л. Ф. Николаи. „Мосты“. I стр. 711.

Разсмотримъ теперь, какъ вліяетъ на фундаментъ шлюза, каждая изъ силъ, указанныхъ въ § 18, въ отдельности.

Имѣемъ сѣченіе шлюза, показанное на черт. 10. Для расчета беремъ часть сооруженія, длина которой, измѣряемая нормально плоскости чертежа, равна 1.

Вліяніе вѣса дна и стѣнокъ. Положимъ, что основаниемъ служитъ грунтъ однородный, способный къ осадкѣ. Обозначимъ вѣсъ стѣны (выше фундамента) черезъ  $G_1$ , а давление воды на подошву за вычетомъ вѣса фундамента черезъ  $G_2$  (черт. 10). Тогда полное давление на подошву фундамента, равное суммѣ реакціи грунта и давленія воды, будетъ  $D = G_1 + G_2$ .

Пока изгиба еще не произошло, давление это приложено на разстояніи  $\frac{a+b}{2}$  отъ продольной оси шлюза.

При этомъ изгибающій моментъ равенъ

$$M_e = G_1 \left( b + \frac{a}{2} \right) + G_2 \left( \frac{b+a}{2} \right) - D \left( \frac{b+a}{2} \right);$$

подставляя сюда  $D = G_1 + G_2$ , находимъ  $M_e = G_1 \cdot \frac{b}{2}$ .

Моментъ этотъ действуетъ по часовой стрѣлкѣ и будетъ тѣмъ болѣе, чѣмъ болѣе вѣсъ стѣны и ширина шлюза. Подъ вліяніемъ этого момента верхняя часть фундамента работаетъ на растяженіе, а нижня на сжатіе; разрушенню болѣе всего подвержене среднее сѣченіе.

Вліяніе давленія воды и земли на вѣшнюю грань стѣны. Давленіе земли  $E$  направлено подъ угломъ  $\varphi$  къ горизонту. Вертикальная составляющая его  $R = E \cdot \sin \varphi$ , горизонтальная  $H = E \cdot \cos \varphi$ .

Первая сила вызываетъ реакцію грунта  $D = E \sin \varphi$ . До появленія изгиба  $D$  приложено на разстояніи  $\frac{a+b}{2}$  отъ оси шлюза. Сила  $R$  вызываетъ въ серединѣ фундамента моментъ

$$M_a = E \sin \varphi (a+b) - E \sin \varphi \left( \frac{a+b}{2} \right) = E \sin \varphi \left( \frac{a+b}{2} \right);$$

моментъ этотъ оказываетъ на фундаментъ такое же вліяніе, какъ и  $M_a$  отъ вѣса фундамента и стѣнъ.

Моментъ же отъ горизонтальной составляющей напора земли

$$M_h = E \cos \varphi h'$$

изгибаеть фундаментъ въ обратномъ направлениі; кромѣ того въ немъ вызывается равномѣрное по всему сѣченію напряженіе на сжатіе, равное  $\frac{H}{d \times 1}$ , где  $d$ —толщина фундамента.

Полное же напряженіе въ фундаментѣ отъ напора земли при моментѣ сопротивленія  $W = \frac{d^2 \times 1}{6}$  будетъ

$$k = \pm \frac{M_a + M_h}{d^2} \cdot 6 - \frac{H}{d} = \pm \frac{6}{d^2} \left[ E \sin \varphi \left( \frac{a+b}{2} \right) - E \cos \varphi \cdot h' \right] - \frac{E \cos \varphi}{d}.$$

Верхнее ребро фундамента растянуто подъ вліяніемъ  $M_h$  и скато подъ вліяніемъ  $M_a$  и  $H = E \cos \varphi$ . Изъ выраженія

$$k = \frac{+E}{d^2} \left[ 6 \sin \varphi \left( \frac{a+b}{2} \right) - 6 \cos \varphi \cdot h' - d \cos \varphi \right]$$

видно, что въ верхнемъ ребрѣ напряженіе равно нулю, если  $3 \sin \varphi (a+b) = \cos \varphi (6 h' + d)$ .

Вмѣстѣ съ увеличеніемъ  $a$ ,  $b$  и  $\varphi$  увеличивается и напряженіе  $k$ . Отсюда между прочимъ слѣдуетъ, что при заданныхъ размѣрахъ шлюза фундаментъ его будетъ находиться въ тѣмъ болѣе выгодныхъ условіяхъ, чѣмъ меньше уголъ  $\varphi$  естественного откоса засыпки; для стѣнъ же шлюза имѣетъ мѣсто обратное явленіе. Отсюда слѣдуетъ, что размѣры стѣнъ шлюза надо опредѣлять по наибольшему возможному давленію земли, а фундаментъ его—по наименьшему.

Вліяніе воды, заполняющей шлюзъ см. черт. (11). При глубинѣ  $h$  горизонтальный напоръ воды на вертикальную стѣнку  $= \frac{\gamma h^2}{2}$ ; вѣсъ воды  $= hb\gamma$ ; сопротивленіе грунта также  $= hb\gamma$ .

Моментъ этихъ силъ относительно середины фундамента

$$M_w = \frac{\gamma h^2}{2} \left( \frac{h}{3} + \frac{d}{2} \right) + hb\gamma \frac{b}{2} - hb\gamma \left( \frac{a+b}{2} \right).$$

$$M_w = \frac{\gamma h}{2} \left[ h \left( \frac{h}{3} + \frac{d}{2} \right) - ab \right].$$

Кромѣ того подъ вліяніемъ горизонтального усилія  $\frac{\gamma h^2}{2}$

въ фундаментѣ шлюза равномѣрно по всему вертикальному сѣченію вызывается напряженіе на растяженіе, равное  $\frac{\gamma h^2}{2d}$ .

Общее напряженіе въ сѣченіи, взятомъ по оси шлюза, будетъ

$$k = \pm \frac{3\gamma h}{d^2} \left[ h \left( \frac{h}{3} + \frac{d}{2} \right) - ab \right] + \frac{\gamma h^2}{2d};$$

напряженіе верхняго ребра

$$k_o = \frac{\gamma h}{d} \left( \frac{h^2}{d} + 2h - \frac{3ab}{d} \right).$$

Отсюда видно, что фундаментъ подъ вліяніемъ воды, заполняющей шлюзъ, будетъ работать на растяженіе въ верхней своей части, если  $\frac{h^2}{d} + 2h > \frac{3ab}{d}$ ; будетъ сжатъ при  $\frac{h^2}{d} + 2h < \frac{3ab}{d}$ , и напряженіе на растяженіе  $k_o = 0$  при  $\frac{h^2}{d} + 2h = \frac{3ab}{d}$ , т. е. при  $h = -d + \sqrt{d^2 + 3ab}$ .

Напряженіе на сжатіе въ верхнемъ ребрѣ получается только при маломъ  $h$ ; наоборотъ при большой глубинѣ  $h$  тамъ получается растяженіе, какъ и отъ момента, вызванного вѣсомъ дна и стѣнокъ.

Вліяніе силы тренія подъ подошвой стѣны. Эта сила направлена отъ середины во вѣшнюю сторону обратно напору земли на стѣну и даетъ относительно средняго сѣченія моментъ, дѣйствующій обратно часовой стрѣлкѣ, следовательно, поднимаетъ кривую давленія и тѣмъ болѣе, чѣмъ болѣе вертикальная составляющая давленія на грунтъ.

Вышеизложенное уже выясняетъ ходъ расчета. Но здѣсь надо замѣтить, что какъ величина виѣшнихъ силъ, такъ и распредѣленіе ихъ въ сѣченіи фундамента до нѣкоторой степени гадательны. Въ настоящее время и нѣть возможности указать точную зависимость между напряженіями фундамента и силами, дѣйствующими на него. Относительно этого требуется сдѣлать еще много весьма тщательныхъ изслѣдований; но здѣсь прежде всего является громадное затрудненіе въ опредѣленіи распредѣленія давленія отъ сооруженія на основаніе и реакціи послѣдняго. Если бы былъ въ точности известенъ модуль упругости того материала, изъ котораго предполагается сдѣлать фундаментъ шлюза, и законъ измѣненія сопротивленія грунта въ зависимости отъ увеличенія давленія, то можно было бы почти точно опредѣлить положеніе кривой давленія во всѣхъ сѣченіяхъ шлюза, а отсюда напряженіе материала и давленіе на грунтъ. При этомъ можно примѣнить слѣдующій способъ расчета: сначала предположить, что реакція грунта по всей ширинѣ фундамента распредѣляется равнomoѣрно, построить при такомъ условіи кривую давленія, на основаніи послѣдней опредѣлить осадку крайнихъ точекъ фундамента подъ вліяніемъ изгибающихъ моментовъ. Зная величину осадки и законъ измѣненія сопротивленія грунта, можно опредѣлить величину давленія на грунтъ. Послѣ этого опять надо построить кривую давленія, полагая въ основаніе новаго расчета неравнomoѣрное распредѣленіе сопротивленія грунта, опредѣленное предыдущимъ построеніемъ; такимъ образомъ послѣ цѣлаго ряда послѣдовательныхъ приближеній можно достигнуть довольно точного результата. До тѣхъ же поръ, пока нѣть возможности сдѣлать точного расчета сплошного фундамента шлюза, надо во время работъ прилагать всѣ усилия къ тщательному выполненію сооруженія. Раціональный способъ производства работъ можетъ если не совсѣмъ, то въ значительной мѣрѣ парализовать всѣ неточности расчета. Судя по тѣмъ несчастнымъ случаямъ, когда въ фундаментѣ шлюза или дока появлялись продольныя трещины во время работъ или послѣ, можно полагать, что полезно дѣлать сначала стѣны шлюза, возводить ихъ насколько возможно выше

и произвести за ними засыпку, чтобы основание подъ ними послѣ осадки пришло въ равновѣсіе, и уже послѣ этого только приступать къ возведенію фундамента шлюза. Возможенъ такой способъ производства работъ въ томъ случаѣ, когда можно вполнѣ осушить котлованъ при помощи водоотлива, или же, когда шлюзъ строится при помощи сжатаго воздуха. Послѣднее представляеть и ту выгоду, что дно шлюза строится, не подвергаясь изгибу, почти подъ тѣмъ же давленіемъ, какое будетъ вызываться впослѣдствіи водою, заполняющею шлюзъ; а насколько опасно вліяніе послѣдней можно судить по образованію продольной трещины въ серединѣ фундамента сухого дока въ Nieuwediep'ѣ \*).

Внутреннее очертаніе дока имѣло криволинейную форму. На верху разстояніе между противоположными стѣнами равнялось 23 м. Отмѣтка верха стѣны выше уровня воды (+1,285 м.); отмѣтка подошвы фундамента (-10,63 м.), отмѣтка дна дока по оси (-7,55), такъ что толщина его здѣсь = = 3,08 м.; толщина стѣнъ на верху = 2 м.; вѣшнія грани ихъ вертикальны.

Основаніемъ служитъ наносный песокъ. Докъ возводился на свайному ростверкѣ; котлованъ былъ осушенъ водоотливомъ. Къ работамъ было приступлено въ іюнь 1859 года. Прежде чѣмъ приступать къ кладкѣ свода ограничивающаго дно сверху и состоящаго изъ трехъ колецъ, сначала сдѣлали нижнюю часть фундамента до отмѣтки (-8,38) т. е. толщиною 2,25 м. (черт. 12) и стали возводить боковыя стѣны, съ такимъ расчетомъ, чтобы къ кладкѣ свода, ограничивающаго дно дока сверху и состоящаго изъ трехъ отдѣльныхъ колецъ, приступить уже послѣ того, какъ стѣны будутъ возведены до уровня пять свода. Но когда стѣны были возведены до отмѣтки (-7), по всей длинѣ дна дока по оси обнаружилась трещина шириной 1 мм. Горизонтъ воды въ котлованѣ все время поддерживался довольно низко, и было очевидно, что изломъ фундамента произошелъ не отъ того, что середина его приподнялась подъ напоромъ воды снизу, а наоборотъ отъ того, что

\**) Zeitschrift für Bauwesen. 1892. S. 531.*

края его подъ вліяніемъ вѣса стѣнъ опустились. Затѣмъ стѣны были возведены до отмѣтки (—3,9) и не смотря на то, что онѣ тотчасъ же засыпались сзади, такъ что напоръ отъ земли дѣйствовалъ благопріятно, ширина трещины увеличилась до 20 мм., и кладка по краю <sup>подушка</sup> ея приподнялась на 10—15 мм. Послѣднее показываетъ, что трещина была сквозная; изгибъ фундамента по серединѣ прекратился, фундаментъ послѣ этого приподнялся надъ ростверкомъ, такъ что могло имѣть мѣсто полное давленіе воды на подошву.

Доведя стѣны до отмѣтки (—3,9), работы прекратили и весь котлованъ заполнили водой.

Въ маѣ 1860 г. вода вся была выкачана изъ котлована; при этомъ оказалось, что ширина трещины увеличилась до 77 мм., боковыя же стѣны на 33 мм. осѣли и не смотря на напоръ со стороны земли разстояніе между ними увеличилось на 17 мм. Отсюда видно, что продольная трещина расширилась еще на 57 мм. подъ вліяніемъ воды, заполнившей докъ.

Послѣ того какъ котлованъ былъ осушенъ, закончили стѣны и выложили сводъ изъ трехъ отдѣльныхъ колецъ, но не смыкали его въ серединѣ надъ трещиной. Затѣмъ докъ опять наполнили водой и опять осушили его, послѣ чего уже не обнаружилось никакихъ новыхъ деформацій, такъ что рѣшили сомкнуть сводъ въ ключѣ и установить желѣзныя ворота. Послѣ вторичнаго заполненія дока водой и выкачиванія опять произошелъ изломъ дна на протяженіи 26 м.

Изслѣдованіе показало, что разрушены только два верхнія кольца свода, нижнее же кольцо осталось цѣло. Отсюда заключили, что вода прошла черезъ водопроводные каналы въ стѣнахъ, концы которыхъ не были еще заложены кладкой, и можетъ быть черезъ поперечную трещину проникла въ шовъ между нижнимъ кольцомъ и двумя верхними и приподняла послѣднія. Такимъ образомъ и въ этомъ случаѣ изломъ дна произошелъ не подъ вліяніемъ давленія воды на подошву фундамента, потому что если бы это было такъ, то приподнялись бы не два верхнія кольца, а весь фундаментъ.

Полная высота стѣнокъ дока въ Nieuwediep'ѣ достигала 11,915 м. При такой высотѣ горизонтальная составляющая

давленія земли на вѣшнія грани стѣнъ конечно достигала значительной величины. Если принять, что въ данномъ случаѣ для земли выше отмѣтки ( $-8$ ) уголъ естественного откоса= $33^{\circ}$  и вѣсъ 1 куб. м. земли=1,81 тон., а ниже отмѣтки ( $-8$ ) уголъ естественного откоса= $24^{\circ}$  и вѣсъ земли=1 тоннъ, то горизонтальный распоръ былъ около 31,5 тон., а между тѣмъ противоположные края продольной трещины приподнимались на различную высоту и вовсе не соприкасались другъ съ другомъ.

Отсюда можно заключить, что среднее сжатіе дна вовсе не было подвержено сжимающему усилию, такъ что горизонтальная составляющая давленія земли на боковыя грани стѣнъ уравновѣшивалась исключительно силой тренія, приложенной въ плоскости соприкасанія подошвы фундамента съ грунтомъ. Это ясно показываетъ, что нѣтъ основанія пренебрегать этой силой при расчетахъ.

Расчетъ фундамента шлюза ничѣмъ не отличается отъ расчета фундамента дока; поэтому ниже приводимъ расчетъ послѣдняго, сдѣланный Brennecke и приведенный въ журналъ *Zeitschrift fr Bauwesen 1892*.

Вѣсъ засыпки за стѣнами выше горизонта грунтовыхъ водъ принимается равнымъ 1,77 тон. въ куб. мет., а вѣсъ земли, погруженной въ грунтовыя воды=1 тон. Уголъ естественного откоса для земли выше воды принимается равнымъ  $33^{\circ}$ , а подъ водою  $25^{\circ}$ . Вѣсъ цементнаго бетона съ гранитнымъ щебнемъ и гранитной или кирпичной облицовки=2,3 тон. въ куб. мет.

На черт. 13 прежде всего опредѣлено давленіе на грунтъ подъ боковыми стѣнами и фундаментомъ, если первыя возведены сначала начерно до горизонта (+1,5) выше (0) и затѣмъ между ними сдѣлано днище безъ облицовки. Дальнѣйшее возвведеніе стѣнъ до отмѣтки (+3,5) предположено сдѣлать одновременно съ облицовкой всего сооруженія. Разсмотрѣно два случая: во-первыхъ, когда докъ строится при помощи сжатаго воздуха (случай A) т. е. подъ водой, во-вторыхъ, когда сооруженіе возводится въ осушенному котлованѣ (случай B). При расчетѣ предположено, что средній горизонтъ

( $\pm 0$ ) продержится во все время производства работъ. Силы, соотвѣтствующія первому случаю, на чертежахъ обозначены буквой  $p$ , поставлённой справа наверху, а второму случаю—буквой  $t$ . На черт. 13 для случая  $A$  давленіе земли  $E^p$  на боковую грань стѣны представлено многоугольникомъ, заштрихованнымъ горизонтальными линіями, прочія силы для того же случая  $A$  представлены многоугольниками, заштрихованнными линіями нормальными соотвѣтствующимъ плоскостямъ давленія. Силы для случая  $B$  заштрихованы наклонно къ соотвѣтствующимъ плоскостямъ. Въ этомъ случаѣ дѣйствуетъ только давленіе земли.

Разсмотримъ сначала построенія, сдѣланныя на черт. 13 для того случая ( $A$ ), когда докъ сооружается при помощи сжатаго воздуха.

При этомъ предполагается, что основаніемъ служить чистый, не очень плотный песокъ, въ которомъ напоръ воды на подошву фундамента проявляется полностью ( $A_1^p$  и  $A_2^p$ ).

Прежде всего опредѣлены величины и точки приложенія силъ, приложенныхъ къ различнымъ участкамъ, измѣреніе которыхъ, нормальное къ плоскости чертежа, равно 1 метръ.

Такимъ образомъ получены силы:

${}_1E_1^p$ , ${}_2E_1^p$ , $E_2^p$ , $E_3^p$ . . . . .	давленіе земли	на вѣнчнюю грань стѣны.
$S_1^p$ , $S_2^p$ , $S_3^p$ . . . . .	давленіе воды	

равнодѣйствующія этихъ силъ для отдельныхъ участковъ обозначены черезъ:  ${}_aW_1$ ,  ${}_aW_2$ ,  ${}_aW_3$  затѣмъ:

${}_iW_1^p$ ,  ${}_iW_2^p$ ,  ${}_iW_3^p$ ,  ${}_iW_4^p$ ,  ${}_iW_5^p$ ,  ${}_iW_6^p$ —давленіе воды на переднюю грань стѣны, причемъ сила  ${}_iW_6^p$  означаетъ давленіе на склонную грань, которая впослѣдствіи будетъ служить плоскостью опоры фундамента при возведеніи послѣдняго.

Собственный вѣсъ для отдельныхъ частей стѣны обозначенъ черезъ  $G_1$ ,  $G_2$  и  $G_3$ ; силы эти проходятъ черезъ центры тяжести соответствующихъ площадей.

Для указанныхъ силъ слѣва вычерченъ сплошными линіями многоугольникъ силъ. Послѣ этого можно опредѣлить ту точку, въ которой равнодѣйствующая  $D_3^p$  всѣхъ силъ встрѣчаетъ по-

дошву стѣны. Удобнѣе всего сдѣлать это вычерчиваніемъ вѣревочнаго многоугольника.

Въ данномъ случаѣ оказалось, что  $D_3^P$  проходитъ какъ разъ черезъ середину подошвы разсматриваемой части дока, такъ что реакція земли  $B_1^P$  представляется въ видѣ прямоугольника. Изъ многоугольника силь находимъ что вертикальная составляющая  $B_1^P$  равнодѣйствующей  $D_3^P$  равна 170,3 тн. Ширина подошвы разсматриваемой части = 8,42 м. Слѣдовательно реакція грунта =  $\frac{170,3}{1 \times 8,42} = 20,23 \frac{\text{тн.}}{\text{м}^2}$

Отъ линіи  $\epsilon' \pi'$  внизъ отложено сначала давленіе воды на подошву фундамента. Давленіе это при глубинѣ 16,5 м. равное  $16,5 \frac{\text{тн.}}{\text{м}^2}$ , въ масштабѣ силъ отложено въ видѣ ординаты  $\epsilon \epsilon'$ , такъ что прямоугольникъ  $\epsilon' \pi' \epsilon \pi$  выражаетъ давленіе воды, направленное вверхъ. Затѣмъ отъ линіи  $\epsilon \pi$  въ предѣлахъ подошвы стѣны въ видѣ прямоугольника съ высотою  $\pi \gamma = 20,23$  тн. отложена опредѣленная выше реакція грунта. Что же касается реакціи грунта въ предѣлахъ остальной части дна дока, то прежде всего надо замѣтить, что равнодѣйствующая силь  $W_7$  и  $G_4$  не проходитъ черезъ середину подошвы этой части; въ дѣйствительности же обѣ половины дока строятся одновременно и представляютъ одно цѣлое, а потому реакція грунта представится въ видѣ прямоугольника. Величина ея опредѣляется слѣдующимъ образомъ: вѣсь соответствующей части воды заполняющей шлюзъ  $W_7^P = 11,5 \times 8,25 = 94,875$  т., вѣсь дна  $G_4 = \frac{8,25 + 9,85}{2} \times 5 \times 2,3 = 104,075$  т.; итого  $W_7^P + G_4 = 94,875 + 104,075 = 198,95$  т. Давленіе это должно уравновѣшиваться реакціей грунта и напоромъ воды на подошву; послѣдній равенъ  $A_1^P = 16,5 \times 9,85 = 162,525$  т.; слѣдовательно полная реакція грунта на разсматриваемую часть днища  $B_2^P = 198,95 - 162,525 = 36,425$  т. или  $\frac{36,425}{9,85} = 3,7$  т. на 1 кв. метръ. Послѣдняя величина нанесена на чертежъ ниже линіи  $\epsilon \pi$ .

Такимъ образомъ находимъ, что для случая *A* распределение реакціи грунта представляется площадью  $\varepsilon \pi \gamma \beta \alpha \eta$ .

Въ данномъ случаѣ совершенно случайно равнодѣйствующая  $D_3^P$  прошла черезъ середину подошвы рассматриваемой части. Если бы этого не было, то законъ измѣненія реакціи грунта представился бы въ видѣ трапеціи; крайнія ординаты послѣдней опредѣляются по формулѣ неравномѣрнаго сжатія

$$\sigma = \frac{R}{s} \left( 1 \pm \frac{6a}{s} \right),$$

гдѣ  $R$ —сжимающее усилие.

$s$ —ширина подошвы

$a$ —отклоненіе точки приложения

давленія  $R$  отъ середины подошвы.

Во второмъ случаѣ (*B*) предполагается, что докъ строится совершенно сухомъ котлованѣ, такъ что давленія воды на стѣны и фундаментъ нѣтъ.

На чертежѣ 13 слѣва построены пунктирными линіями многоугольникъ силъ. Для рассматриваемой части стѣны равнодѣйствующая  $D_3^t$  проходитъ ближе къ виѣшнему ребру, следовательно реакція грунта  $B_1^t$  представится въ видѣ трапеци. Реакція грунта подъ дномъ  $B_2^t$  выражается площадью прямоугольника высота котораго  $\varepsilon' \eta' = \frac{G_4}{9,85} = \frac{104,075}{9,85} = 10,57$  т., такъ что законъ распределенія реакціи грунта для случая *B* представляется многоугольникомъ  $\varepsilon' \pi' \gamma' \beta' \alpha' \eta'$ .

Горизонтальный распоръ отъ засыпки въ обоихъ случаяхъ уравновѣшивается силой тренія, проявляющейся въ плоскости соприкасанія подошвы сооруженія съ грунтомъ. Величина его опредѣляется изъ многоугольниковъ силъ: для случая *A* онъ равенъ  $F^P$ , для случая *B*— $F^t$ . Силы  $F^P$  и  $F^t$  почти равны.

На основаніи сдѣланнаго расчета можно судить, не пре-восходитъ ли наибольшее давленіе на грунтъ допускаемаго.

Если силы, дѣйствующія по направленію сверху внизъ, измѣняются, то и давленіе на грунтъ будетъ иное. Brennecke

въ своихъ расчетахъ предполагаетъ, что оно будетъ увеличиваться или уменьшаться подъ дномъ и подъ стѣной на одну и ту же величину, такъ что стороны многоугольника давленія грунта будутъ оставаться параллельными прямымъ, ограничивающимъ площади  $\alpha\beta\gamma\delta$  или соответственно  $\alpha'\beta'\gamma'\delta'$ . Слѣдовательно при значительномъ уменьшении общаго давленія на землю сначала уменьшается въ высотѣ часть  $\epsilon'\eta'\delta'\pi'$  (и соответственно  $\epsilon\eta\delta\pi$ ) и наконецъ трапеція  $\alpha'\beta'\gamma'\delta'$  превращается въ треугольникъ, одна сторона котораго совпадаетъ съ направленіемъ  $\gamma'\delta'$ , другая остается параллельной  $\alpha'\delta'$ , а третья—параллельной  $\beta'\gamma'$ .

Если работы по устройству дока или шлюза производятся при помощи сжатаго воздуха, то сначала дѣлаютъ сооруженіе вчернѣ, возводятъ стѣны на достаточную высоту, потомъ закрываютъ его, выкачиваютъ воду и послѣ этого приступаютъ къ облицовкѣ его.

Слѣдуетъ убѣдиться расчетомъ насколько проченъ докъ или шлюзъ въ такомъ положеніи. Соответствующія графическія построенія показаны на черт. 14. При этомъ болѣе высокія воды можно считать не опасными, такъ какъ въ случаѣ надобности шлюзъ опять можно заполнить водою. Если же шлюзъ или докъ дѣлается въ сухомъ котлованѣ, то облицовка обыкновенно производится одновременно съ кладкой всего массива. Графическія построенія, сдѣланныя на черт. 14 по отношенію къ такому шлюзу, соответствуютъ тому случаю, когда кладка дна и стѣнъ вполнѣ закончена, при чмъ на стѣны дѣйствуетъ напоръ воды.

Разсмотримъ шесть различныхъ случаевъ, которые составляютъ двѣ группы. Къ первой группѣ принадлежать случаи, когда шлюзъ опорожненъ и горизонтъ грунтовыхъ водъ стоитъ на высотѣ (+1,5). Для этой группы, которая обнимаетъ четыре случая ( $I^r$ ,  $II^t$ ,  $III^t$  и  $IV^r$ ), силы обозначены римскими буквами съ римскими цифрами.

Ко второй же группѣ (измѣцкія буквы съ арабскими цифрами) относятся два случая ( $1^r$  и  $2^t$ ), при самомъ низкомъ горизонте грунтовой воды (-1,5). Буквы  $r$  и  $t$  имѣютъ то же значеніе, что и выше. Буква  $a$ , поставленная слѣва

внизу, обозначаетьъ, что при расчетѣ принятъ полное давлениѣ воды на подошву. Отсутствіе этого значка показываетъ, что давлениѣ воды на подошву нѣтъ.

Силы въ многоугольникахъ силь (черт. 14), направленія ихъ по отношенію къ контурамъ поперечнаго сѣченія сооруженія, многоугольники давления на подошву и наконецъ кривыя давления соответственно разсматриваемымъ шести случаямъ отмѣчены различными линіями слѣдующимъ образомъ:

Обозначенія:	Разсматриваемые случаи:
$aI^p$ —————	Горизонтъ воды (+1,5); докъ пустой; полное давлениѣ воды на подошву; работы производятся подъ водой сжатымъ воздухомъ.
$II^t$ -----	Горизонтъ воды (+1,5); докъ пустой; давлениѣ воды на подошву = 0; докъ строится въ сухомъ котлованѣ.
$aIII^t$ -----	Горизонтъ воды (+1,5); докъ пустой; полное давлениѣ воды на подошву; докъ строится въ осушенному котлованѣ.
$IV^p$ -----	Горизонтъ воды (+1,5); докъ пустой; давлениѣ воды на подошву = 0; работы производятся подъ водой при помощи сжатаго воздуха.
$a1^p$ -----	Горизонтъ воды (-1,5); докъ пустой; полное давлениѣ на подошву; работы производятся подъ водой при помощи сжатаго воздуха.
$a2^t$ -----	Горизонтъ воды (-1,5); докъ пустой; полное давлениѣ на подошву; работы производятся въ осушенному котлованѣ.

При этомъ надо замѣтить, что для боковой стѣнки построено только двѣ кривыхъ давления, именно для горизонта воды + 1,5 (сплошная линія) и - 1,5 (пунктирная линія). Эти кривыя соответствуютъ двумъ группамъ изслѣдований и касаются съ различными кривыми давления построенными для дна. Двѣ кривыя давления, проницавшія выше фундамента, соответствуютъ тому предположенію, когда при горизонте + 1,5 вода вовсе не давитъ на подошву законченнаго шлюза или

готоваго только вчера т. е. когда основанием сооружения служить сплошная скала или глина очень плотная и совершенно не пропускающая воду.

Однако при такихъ условіяхъ въ фундаментахъ не могутъ проявиться опасныя напряженія, потому что при этомъ долженъ сначала осуществиться прогибъ внизъ, который въ случаѣ заложенія сооруженія на глине плотной, но все же способной до нѣкоторой степени къ осадкѣ, вызываетъ около середины болѣе значительную реакцію грунта, благодаря чему равнодѣйствующая послѣдней перемѣщается въ сторону продольной оси шлюза и кривая давленія понижается. Впрочемъ, если въ нижней части дна и появятся трещины, то онъ все же не такъ опасны, какъ трещины вверху, потому что разорванный внизу фундаментъ еще можетъ выдерживать сжимающее усилие и останется плотнымъ.

Если же основаниемъ служитъ плотная скала, то прогиба внизъ и не можетъ быть. Если въ скалѣ трещинъ нѣтъ, такъ что вода подъ подошву проникать не можетъ, то нѣтъ надобности и дѣлать дно значительной толщины. Въ такихъ случаѣахъ обыкновенно ограничиваются выравниваніемъ подошвы.

Надо еще замѣтить, что на многоугольникѣ силь усилія, дѣйствующія на боковую грань стѣны, нанесены только соотвѣтственно двумъ главнымъ группамъ: для горизонта ( $+1,5$ ) они отмѣчены сплошными линіями, а для горизонта ( $-1,5$ ) пунктирными. Равнодѣйствующія ихъ обозначены черезъ  $R_v$  и  $\mathfrak{R}_5$ . При построеніи многоугольниковъ силъ, соотвѣтствующихъ всѣмъ шести случаямъ,  $R_v$  и  $\mathfrak{R}_5$  переносятся только параллельно самимъ себѣ.

На чертежѣ 13 опредѣлено, что во время постройки и засыпки боковой стѣны сила тренія равна  $F^p$  или соотвѣтственно  $F^t$ . При построеніяхъ указанныхъ на черт. 14 предположено, что эта сила  $F$  будетъ существовать и въ томъ случаѣ, если вертикальная нагрузка измѣняется. По величинѣ она равна  $B_1 \operatorname{tg} \varphi$ , если  $B_1 \operatorname{tg} \varphi$  не болѣе  $F$ ; въ противномъ же случаѣ сила  $F$  считается равной  $F^p$  или соотвѣтственно  $F^t$ . Равнодѣйствующая силы тренія и силы  $B_1$  или  $\mathfrak{B}_1$  обозначена черезъ  $M$  или  $\mathfrak{M}$ .

Для дальнѣйшаго изслѣдованія прочности дока, построенаго на совершенно проницаемомъ грунте при помощи сжатаго воздуха и облицованаго послѣ, какъ показано на черт. 15, разсмотрено два случая: именно графическія построянія сдѣланы для наивысшаго горизонта (+3) и наиболѣе низкаго (-1,5). Черезъ  $D_4$  на многоугольникѣ силъ чертежа 15 обозначено давленіе на среднее сѣченіе фундамента при горизонтѣ воды (+3), черезъ  $\mathfrak{D}_4$ —при горизонтѣ (-1,5), при чемъ  $D_4$  и  $\mathfrak{D}_4'$  (со значкомъ) соответствуютъ тѣмъ случаямъ, когда сила тренія не принимается во вниманіе, тѣ же буквы  $D_4$  и  $\mathfrak{D}_4$  (безъ значка) показываютъ, что при расчетѣ принятая во вниманіе и сила тренія.

Построеніе, сдѣланное на чертежѣ 15, показываетъ, что наиболѣшее напряженіе въ фундаментѣ получается въ случаѣ  ${}^{\circ}1$  т. е. когда облицовка производится при горизонтѣ (-1,5). При этомъ согласно многоугольнику силъ нормальное давленіе на среднее сѣченіе дна  $R_s' = 127$  тн.; оно проходитъ на разстояніи  $\xi = 0,92$  м. отъ нижняго ребра, такъ что кривая давленія выходитъ изъ средней трети сѣченія; если не принимать во вниманіе сопротивленія верхней части растягивающимъ усилиямъ, наиболѣшее напряженіе на сжатіе необлицованаго фундамента дока будетъ  $\sigma = \frac{2 \times R_s'}{3 \cdot \xi} = \frac{2 \cdot 127}{3 \cdot 0,92} = 92 \frac{\text{тн.}}{\text{м.}^2}$  или  $9,2 \frac{\text{кил.}}{\text{сант.}^2}$ .

Изъ построений, сдѣланныхъ на черт. 15 для облицованаго дока, видно, что изъ четырехъ кривыхъ давленія, самая невыгодная (нижняя) проходитъ на разстояніи 1,5 м. отъ нижняго ребра. Полное давленіе на среднее сѣченіе  $\mathfrak{D}' = 185$  тн., такъ что наиболѣшее напряженіе  $\sigma = \frac{2 \cdot 185}{3 \cdot 1,5} = 82,2 \frac{\text{тн.}}{\text{м.}^2}$

или  $8,2 \frac{\text{кил.}}{\text{сант.}^2}$ . Три остальныхъ кривыхъ давленія проходятъ въ средней трети сѣченія; напряженія при этомъ получаются менѣе найденныхъ выше  $8,2 \frac{\text{кил.}}{\text{сант.}^2}$  даже въ томъ случаѣ, если предѣлить ихъ, принимая во вниманіе то обстоятельство, что облицовка, сдѣланная послѣ, принимаетъ на себя меньшую

долю сжимающего усилия чѣмъ въ томъ случаѣ, когда она дѣлается одновременно съ кладкой всего массива.

Въ этомъ случаѣ было бы неправильно опредѣлять напряженіе въ кладкѣ фундамента или стѣны по формулѣ

$\sigma = \frac{2N}{3\xi}$  или  $\sigma = \frac{N}{s} \left( 1 + \frac{6a}{s} \right)$ , потому что облицовка дѣлается въ ненапряженномъ состояніи по кладкѣ, которая уже работаетъ подъ вліяніемъ дѣйствующихъ на нее силъ. Облицовка начнетъ принимать на себя сжимающее усилие только въ томъ случаѣ, если напряженіе въ верхнемъ ребрѣ ранѣе сдѣланной кладки получится болѣе того, которое было во время выполненія облицовки.

Положимъ \*), что до производства облицовки, толщина которой равна  $b$ , напряженіе во внутреннемъ ребрѣ ранѣе сдѣланной кладки было  $p_1 \frac{\text{тн.}}{\text{мет.}^2}$  (черт. 16). Если усилие  $V$  нормальное къ сѣченію совѣсмъ готовой кладки приложено на разстояніи  $a$  отъ вѣнчания ребра облицовки и на разстояніи  $a-b$  отъ передняго ребра ранѣе сдѣланного массива, то законъ распределенія усилия выразится площадью  $A H F E C A$ , заштрихованной вертикальными линіями; центръ тяжести ея совпадаетъ въ направлении усилия  $V$ , а площадь  $= V$ .

Ширина основанія  $x$  этой площади опредѣлится изъ равенства статическихъ моментовъ относительно ребра  $G$ .

Площадь  $E O G A = p_1 \cdot b$ ; плечо ея  $= \frac{b}{2}$ .

Площадь  $G F H = V + p_1 \cdot b$ ; плечо ея  $= \frac{x}{3}$ ; следовательно

$V \cdot a = (V + p_1 \cdot b) \frac{x}{3} - \frac{p_1 b^2}{2}$  отсюда

$$x = \frac{3 \cdot (2 \cdot V \cdot a + p_1 b^2)}{2 \cdot (V + p_1 \cdot b)}$$

\*<sup>1</sup>) Brennecke. Zeitschrift fr Bauwegen. 1892. S. 541.

Обозначимъ напряженіе въ крайнемъ ребрѣ облицовки че-  
резъ  $p_x$ .

Площадь  $EFHAC E = V$

$$\text{Площадь } FGH = \frac{(p_x + p_1) x}{2}$$

Площадь  $EGCA = p_1 \cdot b$ ;

$$\frac{(p_x + p_1) x}{2} = V + p_1 \cdot b; \text{ отсюда}$$

$$p_x = \frac{2(V + p_1 \cdot b)}{x} - p_1$$

подставляя вмѣсто  $x$  его значеніе, находимъ

$$p_x = \frac{4(V + p_1 b)^2}{3(2V + p_1 b^2)} - p_1.$$

Напряженіе въ плоскости  $A$  соприкасанія облицовки съ  
ранѣе сдѣланной кладкой найдется изъ уравненія

$$(p_1 + p_x); x = p_A; (x - b); \text{ откуда}$$

$$p_A = \frac{(p_1 + p_x)(x - b)}{x}$$

подставляя сюда значения  $x$  и  $p_x$ , находимъ

$$p_A = 2(V + p_1 b) \frac{2(V + p_1 b)}{3(2V + p_1 b^2)} \left[ 1 - b \frac{2(V + p_1 b)}{3(2V + p_1 b^2)} \right].$$

На основаніи построенія кривой давленія для случая  $I^p$   
(черт. 14) находимъ для горизонтального сѣченія, взятаго на  
отмѣткѣ  $(-9,50)$ , вертикальное усиліе  $N=115$  тн., такъ что  
здѣсь напряженіе въ кладкѣ необлицованного дока по формулѣ

$$\varsigma = \frac{2N}{3\xi} \text{ при } \xi = 1,8 \text{ м. равно}$$

$$\varsigma = \frac{2 \times 115}{3 \times 1,8} = 42,6 \frac{\text{тн.}}{\text{мет.}^2} \text{ или } 4,3 \frac{\text{кил.}}{\text{сант.}^2}.$$

Найдемъ теперь напряженіе въ томъ же сѣченіи совер-  
шенно готоваго дока при отмѣткѣ горизонта воды  $(+3)$ .

Толщина облицовки  $b=0,52$  м. Согласно чертежу 15 усилие  $V=140,5$  тн. расстояние  $a=1,6$  м. По выше приведенной формуле

$$x = \frac{3(2 \cdot 140,5 \cdot 1,6 + 42,6 \cdot 0,52^2)}{2(140,5 + 42,6 \cdot 0,52)} = 4,34 \text{ м.}$$

и напряжение въ переднемъ ребрѣ облицовки

$$p_x = \frac{4(140,5 + 42,6)^2}{3(2 \cdot 140,5 \cdot 1,6 + 42,6 \times 0,52^2)} - 42,6 = 52,35 \frac{\text{тн.}}{\text{м}^2}$$

или  $5,2 \frac{\text{кил.}}{\text{сант.}^2}$ ; а напряженіе въ переднемъ ребрѣ главнаго массива получится

$$p_A = 65,58 \frac{\text{тн.}}{\text{м}^2} \text{ или } 6,6 \frac{\text{кил.}}{\text{сант.}^2}.$$

Въ томъ же съченіи слѣдуетъ сдѣлать и повѣрку прочности на скольженіе.

Выше приведенные расчеты относятся къ тому случаю, когда сначала дѣлаются и засыпаются стѣны, а потомъ приступаютъ къ устройству фундамента.

Если же предполагается возводить стѣны на приготовленномъ сначала сплошномъ фундаментѣ, то ходъ расчета въ сущности остается тотъ же самый. Реакція земли при этомъ принимается распределенной равномѣрно или неравномѣрно. Приводимъ расчетъ, сдѣланный Brennecke для дока въ Chatham'ѣ (черт. 17).

Здѣсь построено четыре кривыхъ давленія.

Всѣ засыпки за вычетомъ потери вѣса въ водѣ принять равными 1 тн. въ кб. м. Для опредѣленія напора земли на стѣну при высокомъ горизонте воды уголъ естественного откоса принять  $\varphi=24^\circ$ . При низкомъ же горизонте воды тотъ же уголъ для грунта, расположенного надъ водой принять равнымъ  $33^\circ$ .

Графическія построения сдѣланы въ двухъ предположеніяхъ: *A* полное давленіе воды и земли на дно распределено равномѣрно и *B* полное давленіе воды и земли распределено по треугольнику, при чмъ въ серединѣ оно равно нулю. Кривая давленія, проходящая почти въ серединѣ дна, соот-

вътствуетъ тому случаю, когда докъ внутри пустъ, вода снаружки достигаетъ самаго высокаго горизонта и давлениe воды на подошву проявляется вполнѣ; реакція же грунта распределена равномѣрно.

Кривая давления, расположенная ниже (но не выходящая изъ очертанія дна) соотвѣтствуетъ тому случаю, когда снаружки грунтовая вода стоитъ на самомъ низкомъ горизонте ( $-0,90$ ), прочія же условія остаются тѣ же. Изъ сравненія этихъ двухъ кривыхъ давления видно, насколько выгодно для фундамента болѣе высокое давлениe на боковыя стѣны.

Кривая давления, расположенная еще ниже, соотвѣтствуетъ тому случаю, когда докъ наполненъ водой, прочія же условія тѣ же, какъ и въ первомъ случаѣ. Эта кривая ясно показываетъ на сколько опасно можетъ быть заполненіе водой.

Наконецъ четвертая самая верхняя кривая давления получается въ томъ случаѣ, когда докъ до краевъ заполненъ водой и давлениe грунта на дно распредѣляется по треугольнику. При этомъ верхнее ребро сжато, а нижнее подвергается растяженію, но послѣднее, какъ уже сказано было выше, не такъ опасно.

Послѣдняя кривая давления показываетъ какъ полезно для дока неравномѣрное распределеніе реакціи грунта.

Для достиженія этого можно дѣлать свайный раcтverкъ подъ стѣнами, оставляя грунтъ подъ дномъ неукрѣпленнымъ. Неоднородность основанія вообще опасна; для данного же рода сооруженій она полезна потому, что здѣсь увеличеніе сопротивленія грунта дѣлается сообразно съ давлениемъ на него.

На черт. 18 сдѣланъ расчетъ фундамента шлюза, основаніе котораго подъ стѣнами усилено равномѣрно распределенными сваями. При расчетѣ принято: вѣсъ кладки 2,3 тн. въ кб. м.; ниже горизонта воды вѣсъ засыпки считается равнымъ 1 тн. въ кб. м. и уголъ естественнаго откоса  $24^{\circ}$ . Давлениe воды снизу для грунта не вполнѣ водопроницаемаго принято равнымъ 0,8 полнаго давления. Сопротивленіе каждой сваи, найденное изъ опыта, = 12 тн. При сооруженіи шлюза сначала дѣлается сплошной фундаментъ, а потомъ на немъ возводятся боковыя стѣны.

На чертежъ 18 построены двѣ кривыя давленія. Сплошная линія соотвѣтствуетъ тому случаю, когда шлюзъ до верху полонъ воды.

Силы дѣйствующія сверху внизъ:

всѣхъ кладки . . . . . = 188,6 тн.

всѣхъ воды внутри . . . . . = 80 тн.

вертик. составляющая напора земли . . . . . = 10,8 тн.

Итого . . . . . 279,4 тн.

Давленіе воды снизу при ширинѣ основанія 14 м. и глубинѣ заложенія 11,5 м. равно  $14 \times 11,5 \times 0,8 \times 1 = 128,8$  тн.

Сопротивленіе семи свай, поставленныхъ на разстояніи 1 м. другъ отъ друга,  $= 12 \times 7 = 84$  тн.

Слѣдовательно на грунтъ передается давленіе  $279,4 - 128,8 - 84 = 66,6$  тн., и высота площади противодѣйствія грунта выразится ординатой,  $ab = gf = \frac{66,6}{14} = 4,76$  тн., отложенной въ масштабѣ силъ. Сопротивленіе свай при равномѣрномъ распределеніи ихъ выражается прямоугольникомъ  $c f d e$ , основаніе которого  $= 7$  м. а высота  $\frac{84}{7} = 12$  тн. Давленіе воды выражается

прямоугольникомъ  $a l i g$ , высота которого равна  $\frac{128,8}{14} = 9,2$  тн.

Соотвѣтствующій этому случаю многоугольникъ силъ вычерченъ слѣва. Кривая давленія проходитъ очень выгодно и при томъ встрѣчаетъ среднее сѣченіе въ верхней части, тогда какъ при равномѣрномъ распределеніи реакціи основанія она прошла бы по всей вѣроятности ниже середины дна.

Второе изслѣдованіе соотвѣтствуетъ тому случаю, когда шлюзъ осушентъ.

Кривая давленія вычерчена пунктирной линіей по многоугольнику силъ, расположенному справа. Сумма силъ, дѣйствующихъ сверху внизъ уменьшается на 80 тн.; давленіе воды на подошву остается конечно то же самое. Уменьшеніе реакціи основанія прежде всего выражается уменьшеніемъ давленія грунта, а потомъ уже свай. По мѣрѣ удаленія воды изъ шлюза площадь  $a b f g$ , представляющая реакцію грунта,

постепенно уменьшается по высотѣ. Въ виду того, что пло-  
щадь эта, какъ найдено выше, выражаетъ давленіе 66,6 тн., а  
всѣ воды въ шлюзѣ=80 тн.; то ордината  $a b=g f$  дѣлается рав-  
ной нулю прежде, чѣмъ вся вода будетъ удалена изъ шлюза.  
Дальнѣйшее уменьшеніе сопротивленія основанія выражается  
разгруженіемъ свай на  $80 - 66,6 = 13,4$  тн. Такимъ образомъ  
давленіе на подошву выразится въ данномъ случаѣ прямо-  
угольникомъ  $a l g$  (давленіе воды) и прямоугольникомъ  $c'f' d e$   
(сопротивленіе свай); высота послѣдняго равна

$$\frac{84 - 13,4}{7} = 10,09 \frac{\text{тн.}}{\text{м.}^2}.$$

Выше изложенное вполнѣ выясняетъ ходъ расчета фун-  
дамента шлюза. Если послѣ построенія кривыхъ давленія ока-  
жется, что могутъ появляться значительныя растягивающія  
усилія, то во избѣженіе появленія трещинъ полезно ставить  
поперечныя желѣзныя связи. Напряженія фундамента шлюза  
въ этомъ случаѣ можно опредѣлить какъ въ желѣзобетонной  
плитѣ.

## Стѣны и основанія деревянныхъ шлюзовъ.

**§ 20. Стѣны.** Переходя къ разсмотрѣнію деревянныхъ  
шлюзовъ, мы должны предупредить, что на приводимые ниже  
приемы расчета отдельныхъ частей шлюза слѣдуетъ смотрѣть  
только какъ на попытки сблизить теорію съ практикой, а на  
получаемые путемъ подобныхъ расчетовъ результаты, какъ  
на первое приближеніе, которое должно быть провѣрено сравне-  
ніемъ съ существующими сооруженіями, служащими вполнѣ  
исправно и находящимися приблизительно въ такихъ же усло-  
віяхъ, какъ и проектируемое.

Въ каждомъ деревянномъ шлюзѣ, подобно тому какъ и  
въ каменномъ, различаются три части: двѣ шлюзныя части  
или головы—верхняя и нижняя и шлюзная камера.

Стѣны, ограничивающія верхнюю и нижнюю головы носятъ здѣсь специальныя названія, установившіяся при устройствѣ Маринской и Тихвинской системъ, а именно стѣны, которыя мы называли верхними входными, вмѣстѣ съ примыкающими къ нимъ обратными стѣнками носятъ название верхнихъ крыльевъ, стѣны, ограничивающія шкафы, такъ и называются шкафными; стѣны, которыя мы называли верхними упорными, называются здѣсь флютбетными или сливными; стѣны, которыя мы называли нижними упорными, вмѣстѣ съ обратными стѣнками нижней головы носятъ название нижнихъ крыльевъ; стѣны, ограничивающія камеру, такъ и называются камерными, что же касается до нижнихъ входныхъ стѣнъ, то въ деревянныхъ шлюзахъ онѣ представляютъ часть камерныхъ стѣнъ и въ самостоятельную, такъ сказать, единицу не выдѣлены.

Разсмотримъ теперь въ отдѣльности составныя части шлюзовыхъ стѣнъ.

**§ 21. Верхнія крылья.** Верхнія крылья обыкновенно дѣлаются длиною въ 2 ряжевыхъ ящика, а шириной (по фасаду) въ 6, причемъ въ планѣ ихъ устраиваютъ или прямо какъ продолженіе флютбетныхъ стѣнъ, или же дѣлаютъ углы при входѣ въ шлюзъ скошенными. Нѣкоторые строители пришли къ заключенію, что можно, защитивъ углы шлюзной части отъ ударовъ судами устройствомъ входныхъ паль, вовсе не дѣлать верхнихъ крыльевъ, причемъ они указывали на существующій на Маринскомъ пути нижній шлюзъ „Россія“, который не имѣть верхнихъ крыльевъ, и тѣмъ не менѣе шлюзная части его не носили признаковъ разстройства. Съ упраздненiemъ верхнихъ крыльевъ верхняя голова могла бы начинаться шандорной колодой и шандорными столбами, причемъ должно быть обращено тогда вниманіе на то, чтобы шкафная часть представляла массу достаточной длины для противодѣйствія фільтраціи, при чемъ можно принять за правило, чтобы эта длина была не менѣе удвоенной разности горизонтовъ верхняго и нижняго бьефовъ. При значительныхъ подпорахъ, напримѣръ, больше 1,5 саж., желательно сохра-

нять верхнія крылья на томъ основаніи, что они, будучи связанны со шкафными стѣнами, дадуть большую устойчивость противъ давленія воды, но при этомъ слѣдуетъ давать имъ наименѣшую длину, допускающую условіями ряжевой рубки, т. е. 1,50 саж.

**§ 22. Флютбетныя стѣны.** Флютбетныя стѣны, главное назначеніе которыхъ служить надежной опорой для верхнихъ воротъ, должны имѣть размѣры, достаточные для устойчивости шлюза. На Маріинскомъ пути ихъ принято дѣлать длиною 2,5 саж. въ 3 ряжевыхъ ящика, а на Тихвинскомъ пути въ 2 саж.

**§ 23. Стѣнка паденія.** При расположениіи верхняго и нижняго королей на разныхъ уровняхъ за флютбетною частью шлюза слѣдуетъ стѣнка паденія, которая служить для удаленія падающей воды отъ подошвы флютбетной части и вмѣстѣ съ тѣмъ увеличиваетъ устойчивость ея, такъ какъ, будучи ограничена наклонною плоскостью, она образуетъ позади флютбетной части треугольный контрфорсъ. Подкосы этой наклонной плоскости упираются нижними концами въ насадки перваго за флютбетомъ поперечнаго ряда свай.

**§ 24. Флютбетная часть нижней головы.** Въ нижней головѣ флютбетная часть имѣть тѣ же размѣры, что и въ верхней головѣ, и оканчивается сливомъ, длина котораго зависитъ отъ длины нижнихъ крыльевъ.

**§ 25. Нижнія крылья.** Нижнія крылья необходимы, во первыхъ, въ помощь флютбетнымъ стѣнамъ для упора воротъ и, во вторыхъ, для того, чтобы по возможности уменьшить косой ударъ воды на берега, такъ какъ вода, выходя изъ щитовыхъ отверстій, не направляется по оси шлюза. а ударяется какъ разъ въ стѣнки или берега. Крылья эти съ цѣлью возможнаго уменьшения количества ряжевыхъ вѣнцовъ, подвергающихся тніенію можно нарубать только до высоты горизонта нижняго бьефа, сопрягая получаемыя на крыльяхъ площадки съ площадками камерныхъ стѣнъ наклонными плос-

костями, а въ лицевыхъ ящикахъ лѣстницами, располагаемыми на выступахъ продольныхъ ряжей, концы которыхъ обрублены по линіи, наклоненной подъ угломъ въ 45°, какъ это видно на чертежѣ 19.

Въ планѣ крылья могутъ быть или скошены, или составлять какъ бы продолженіе флютбетныхъ стѣнъ. Длина крыльевъ во второмъ случаѣ дѣлается равной 2 саж. (на Маріинскомъ пути). Въ первомъ случаѣ длина эта для надлежащей устойчивости нижней головы дѣлается больше на одинъ или два ящика. Скашиванье нижнихъ крыльевъ имѣеть за собой довольно серьезныя основанія; при помощи его достигается уменьшеніе вреднаго вліянія выходящей изъ шлюза струи воды на дно, лежащее непосредственно ниже шлюза, во первыхъ потому, что послѣдовательнымъ уширеніемъ площасти поперечнаго сѣченія сливной части нижней головы послѣдовательно уменьшается и скорость струи, и во вторыхъ потому, что одна и та же струя встрѣчаетъ, сходя со сливныхъ половъ шлюза, грунтъ дна по большей ширинѣ; далѣе, при параллельныхъ стѣнахъ крыльевъ между ними образуется подпоръ, при скошенныхъ же—онъ почти исчезаетъ, благодаря чему увеличивается скорость вытеканія воды черезъ щитовыя окна въ полотнахъ, т. е. уменьшается время опоражниванія камеры, а это обстоятельство вліяетъ до извѣстной степени на пропускную способность шлюза.

**§ 26. Камерные стѣны.** На Маріинскомъ водномъ пути первоначально только шлюзныя части имѣли ряжевые стѣны, камера же отдѣлывалась на одну треть отъ дна досчатою заборкою на сваяхъ, а выше ограничивалась естественнымъ откосомъ грунта; только впослѣдствіи стали и камерные стѣны дѣлать ряжевыми.

На Тихвинскомъ пути камерные стѣны, а даже иногда и стѣны шлюзныхъ частей, весьма продолжительное время строились по такъ называемой анкерной системѣ. Подобныя стѣны состояли изъ двухъ ряжевыхъ ящиковъ, скрѣпленныхъ особыго устройства анкерами. Система эта оказалась однако неудобной, и на основаніи опытовъ прошлаго пришлося прійти

къ заключенію, что самыми рациональными являются ряжевыя стѣны.

Лицевыя стѣны рубятся надъ шапкой, перекрывающей шпунтовую линію подъ стѣнами, по насадкамъ продольныхъ шпунтовыхъ линій, а поперечныя по поперечнымъ насадкамъ, расположеннымъ въ основаніи шлюза.

Что касается до рубки ряжевыхъ стѣнъ, то она дѣлается различно въ лицевыхъ и внутреннихъ стѣнахъ. Лицевыя стѣны прежде рубились изъ бревенъ, припазованныхъ съдломъ, но такое устройство нельзя признать рациональнымъ: круглый пазъ имѣеть значительное неудобство въ томъ отношеніи, что выкружки могутъ быть сдѣланы слишкомъ углубленными, и тогда ряжи будутъ соприкасаться только краями, что поведетъ къ образованію пути для фильтраціи и вноскѣствіи къ сильной осадкѣ нарубленныхъ стѣнъ, такъ какъ кромки выкружекъ легко могутъ смяться (чер. 20). Гораздо лучшіе лицевыя стѣны рубить изъ обтесанныхъ бревенъ съ припазовкою ихъ въ шпунтъ, или въ четверть или простою притескою со вставными шипами (чер. 21, 22 и 23). Всѣ стѣнки внутреннія, кромъ указанныхъ ниже простѣнковъ, рубятся вообще безъ припазовки бревенъ. Рубка ихъ во внутреннихъ пересѣченіяхъ производится обыкновенно вырубкой, а въ пересѣченіяхъ съ наружными стѣнами въ лапу (чер. 24 и 25).

Шпунтовые простѣнки располагаются противъ колоды короля какъ верхняго, такъ и нижняго и кромъ того въ шлюзахъ, имѣющихъ верхнія крылья—еще противъ шандорной колоды; въ шлюзахъ безъ верхнихъ крыльевъ этимъ простѣнкомъ служить поперечная лицевая стѣна, которая въ этомъ случаѣ должна быть срублена или въ шпунтъ или въ приплотку.

Въ шлюзахъ съ верхними крыльями шпунтовый простѣнокъ, идущій по линіи шандоровъ, представляетъ собою поперечную стѣну, срубленную обыкновенно изъ 6 верникового лѣса въ приплотку.

Ряжевыя стѣны въ шлюзовыхъ частяхъ дѣлаются всегда прямоугольнаго сѣченія, при подпорахъ около 1,5 саж. обыкновенно въ 3 ряжевыхъ ящика. Передняя лицевая стѣна

крыла должна заходить въ естественный грунтъ не менѣе какъ на 0,5 саж., а потому длина ея будетъ зависѣть отъ ширины русла на высотѣ подпорного горизонта. Выше мы указывали, что обыкновенно эта длина бываетъ равна 6 ряжевымъ ящикамъ. Ширина этой стѣны дѣлается въ 2 полныхъ ящика. Въ нѣкоторыхъ шлюзахъ верхнія шлюзныя части дѣлаются выше стѣнъ камеры и нижней головы. Подобное устройство слѣдуетъ допускать только тамъ, где весенний горизонтъ выше подпорного, для того, чтобы весенняя вода не заливала шлюза.

Въ существующихъ шлюзахъ камерныя ряжевые стѣны дѣлались шириной въ 2 или 3 ящика съ уступами. Въ нѣкоторыхъ шлюзахъ стѣны, шириной у основанія въ 3 ящика принято было дѣлать съ 2-мя уступами, каждый примѣрно на  $\frac{1}{3}$  высоты стѣны, такъ что только лицевые ящики имѣли полную высоту. Такъ какъ устойчивость стѣнъ зависитъ отъ многихъ обстоятельствъ, а главнымъ образомъ отъ качества и напластованія грунта, то устройство подобныхъ уступовъ не вездѣ можетъ быть допущено. Нагляднымъ тому примѣромъ могутъ служить Киевскій и Полоцкій шлюзы (черт. 26), въ которыхъ верхняя часть стѣны, шириной только въ одинъ ящикъ, отъ давленія глинистаго грунта выщучилась срединою внутрь камеры на 9", сохранивъ въ шлюзныхъ частяхъ прежнее вертикальное положеніе. Причина такого выщучиванія должна быть отнесена единственно къ недостаточной устойчивости одного ящика при глинистомъ грунтѣ, таихъ какъ въ шести другихъ шлюзахъ Тихвинскаго пути такія-же стѣны оказались вполнѣ устойчивыми.

Ввиду разнообразнаго дѣйствія грунтовъ на стѣны невозможна задаться какой-либо опредѣленной нормой для попечнаго профиля стѣнъ, а слѣдуетъ при проектированіи ихъ сообразоваться со всѣми мѣстными обстоятельствами.

Необходимо только соблюдать условія: 1-е чтобы ширина камерныхъ стѣнъ у основанія была вообще не менѣе ихъ высоты и при томъ не менѣе 2-хъ ящиковъ. 2-е чтобы при ненадежныхъ грунтахъ ширина стѣны по всей высотѣ была

не менѣе какъ въ 2 полныхъ ящика, а еслибы по расчету получилась ширина стѣны у основанія въ 3 ящика, то чтобы уступъ отъ 3-хъ къ 2-мъ былъ дѣлаемъ не ниже, какъ на высотѣ  $\frac{2}{3}$  отъ основанія.

Разсматривая камерныя стѣны существующихъ шлюзовъ, мы видимъ, что нѣкоторыя изъ нихъ въ предѣлахъ перемѣнного горизонта воды стоять не менѣе 60 лѣтъ. Стѣны эти обращаются на себя вниманіе своей прочностью. Тѣ изъ нихъ, которыя загружены песчано-иловатымъ грунтомъ, остались въ вертикальномъ положеніи, и лапы въ нихъ уцѣлѣли; стѣны, загруженныя чурой съ примѣсью глины, голышей и камня, сохранили тоже свое вертикальное положеніе, несмотря на то, что лапы вслѣдствіе движенія по нимъ при наполненіи и опоражниваніи камеры фільтраціонной воды съ песчинками совершенно проѣдены; наконецъ стѣны, загруженныя жирною глиною, обнаружили сползаніе съ лапъ черезъ нѣсколько лѣтъ постройки въ такой значительный мѣрѣ, что пропускъ судовъ черезъ нѣкоторые изъ этихъ шлюзовъ дѣлался невозможнымъ.

Разстройство камерныхъ стѣнъ можно сгруппировать въ двѣ категоріи. Къ первой можно отнести тотъ случай, когда все стѣны подаются внутрь камеры, какъ-бы вращаясь около нижняго вѣнца, причемъ величина отклоненія, наибольшая по срединѣ камеры, уменьшается по мѣрѣ приближенія къ шлюзовымъ частямъ, такъ что въ планѣ лицевая стѣна камеры представляетъ дугу съ наибольшимъ подъемомъ по срединѣ; другими словами можно выразить такъ, что стѣны вмѣстѣ съ загрузкой и прилежащей частью грунта всею массою двинулись въ камеру. Подобное явленіе, встрѣчающееся въ глиняныхъ и въ ползучихъ вообще грунтахъ указываетъ на недостаточную толщину камерныхъ стѣнъ для противодѣйствія такому грунту. Чтобы предупредить подобное движеніе, нужно придавать стѣнамъ большую устойчивость или увеличеніемъ ширины ихъ, или устройствомъ анкеровъ. Въ нѣкоторыхъ шлюзахъ на Маріинской системѣ для той-же цѣли дѣлали уширение стѣны въ серединѣ камеры, и уширяющіе стѣну выступы, играющіе роль контрфорсовъ, получили название „ряженыхъ якорей“.

Ко второй категоріи можно отнести тотъ случай, когда поперечныя и внутреннія стѣны остаются на мѣстѣ, а выпучиваются только однѣ лицевыя стѣны. Явленіе это обнаруживается обыкновенно тамъ, гдѣ для загрузки лицевыхъ ящиковъ употребленъ глинистый грунтъ; глинистая загрузка при замерзаніи и оттаиваніи увеличивается въ объемѣ и производитъ выпучивание лицевыхъ стѣнъ.

Въ предупрежденіе этого явленія можно предложить загрузку лицевыхъ ящиковъ чуроватымъ или песчанымъ материаломъ, если же почему либо приходится загружать глинистымъ грунтомъ, то къ нему слѣдуетъ прибавить около 30% древесныхъ опилокъ, причемъ конечно смѣсь должна быть хорошо перемѣшана: опилки, какъ сжимаемый материалъ, будутъ умѣрять дѣйствіе распора глины и, въ случаѣ открывшейся фильтраціи, будутъ заполнять щели. Задніе ящики стѣнъ для непроницаемости слѣдуетъ всегда загружать глиною.

Въ 1867 г. въ Журналѣ Министерства П. С. была помещена статья Инженера Августовскаго, въ которой указанъ способъ или вѣрнѣ попытка путемъ теоретическихъ разсужденій и данныхъ опыта опредѣлить теоретическій профиль ряжевой камерной стѣны. Мы не будемъ приводить здѣсь всѣхъ разсужденій, которыя составляютъ самую основу способа, такъ какъ это заняло бы слишкомъ много мѣста въ настоящемъ довольно краткомъ труда, а укажемъ только конечные выводы, или вѣрнѣ граfiческій способъ полученія теоретического профиля стѣны. Положимъ, что высота стѣны  $h = AB$ , горизонтъ зимняго стоянія воды ниже на величину  $\beta$  верха стѣны, такъ что высота его надъ поломъ шлюза равна  $h - \beta$ , тогда отложимъ отъ точки  $B$  по горизонтальной линіи величину равную  $1,4h$ , получимъ точку  $C$ . Соединимъ точку  $A$  и  $C$  прямой  $AC$ . Отъ точки  $A$  по горизонтальной линіи отложимъ величину  $AF$  равную  $0,89\beta$ , а изъ точки  $D$  проведемъ линію параллельную  $BC$  до встрѣчи съ прямой  $AC$ , получимъ точку  $E$ . Черезъ точки  $E$  и  $F$  проведемъ прямую до пересеченія съ прямой  $AC$  въ точкѣ  $H$ . Четырехугольникъ  $AEHB$  и представить теоретическій профиль ряжевой стѣны. Отъ этого теоретического профиля, задавшиесь шириной ряже-

вого ящика, напримѣръ въ 6 футовъ, легко перейти и къ конструктивной формѣ стѣны съ уступами (черт. 27). Изъ всего вышеприведенного мы уже видѣли, насколько могутъ влиять мѣстныя обстоятельства на выборъ поперечнаго профиля стѣны, а потому на способъ Инженера Августовскаго можно смотрѣть только какъ на приблизительную поверхку достаточности выбраннаго профиля.

На фототипії № 1 видно производство работъ по рубкѣ ряжевыхъ стѣнъ на шлюзѣ Св. Томы.

**§ 27. Основанія деревянныхъ шлюзовъ.** Устройство основанія шлюза находится конечно въ зависимости какъ отъ характера грунта, такъ и отъ высоты мѣста, на которомъ предполагается возвести шлюзъ. Такимъ образомъ основанія шлюзовъ встречаются свайныя, ряжевыя и смѣшанныя.

Въ грунтахъ, допускающихъ забивку свай, основанія должны быть устраиваемы на сваяхъ двоякаго рода: круглыхъ—для связи сооруженія съ грунтомъ и шпунтовыхъ—для сопротивленія фильтраціи и защиты разныхъ частей сооруженія отъ подмыва.

Междуд прочимъ шпунтовыя линіи должны быть забиты и кругомъ лицевыхъ стѣнъ и крыльевъ, но такъ какъ въ подобномъ случаѣ онѣ имѣютъ одно назначеніе предохранять стѣны отъ подмыва, то въ видахъ экономіи ихъ можно дѣлать досчатыми. Для противодействія фильтраціи подъ основаніе служатъ главнымъ образомъ королевыя шпунтовыя линіи, располагаемыя подъ колодами верхняго и нижняго королей и идущія непрерывно во всю ширину шлюза и стѣнъ; линіи эти всегда брускатыя.

Для огражденія спереди верхней шкафной части забивается подъ шандорною колодой досчатая шпунтовая линія, которая въ шлюзахъ безъ верхнихъ крыльевъ будетъ какъбы продолженіемъ линій, идущихъ подъ поперечными лицевыми стѣнами, въ шлюзахъ же съ верхними крыльями она примыкаетъ къ линіямъ, забитымъ подъ продольными стѣнами. Эта линія нужна уже потому, что здѣсь можетъ быть

разность горизонтовъ въ томъ случаѣ, когда для какихъ-либо исправлений закладываются шандоры.

При сопряженіи флютбета съ контрфорсомъ въ верхней шлюзовой части и со сливомъ въ нижней—забиваются брускатыя шпунтовыя линіи. Въ большинствѣ существующихъ шлюзовъ эти линіи сдѣланы сквозными, т. е. продолжаются и подъ стѣны. Назначеніе этихъ линій—изолировать верхнюю и нижнюю головы отъ камеры.

Круглыя сваи забиваются подъ стѣнами и насадками въ пролетѣ шлюза рядами, разстояніе между которыми находится въ зависимости отъ расположения ряжевыхъ ящиковъ. Разстояніе между сваями въ поперечномъ ряду, или, что все равно, разстоянія между продольными рядами будутъ зависѣть: подъ стѣнами—отъ ширины ряжевыхъ ящиковъ, а въ пролетѣ шлюза—отъ количества продольныхъ рядовъ, при чемъ обыкновенно крайніе ряды идутъ подъ рамныя насадки продольныхъ шпунтовыхъ линій.

Разстоянія между продольными рядами дѣлаютъ меньше, чѣмъ между поперечными для того, чтобы, располагая поперечные насадки на болѣе количество свай, увеличить тѣмъ сопротивленіе поднятію ихъ.

Разсмотримъ теперь устройство шлюзовыхъ частей.

Въ шкафной части подъ усовики кладется плотъ изъ брусьевъ, соединенныхъ между собою четвертями. Такъ какъ плотъ занимаетъ не всю шкафную часть, то насадки свай въ этой части располагаются не на одной высотѣ, а именно: насадки свай, приходящихся подъ плотомъ, опускаются ниже прочихъ на толщину плата, обыкновенно на 0,10 саж. Плотъ собирается отъ краевъ къ срединѣ такъ, что средній брусъ служить расколоткою (черт. 28).

Брусья плата вытесываются изъ 7-ми вершковаго лѣса, при чемъ послѣ укладки на мѣсто плотъ просмаливается и прикрывается войлокомъ.

Поверхъ плата и насадокъ въ шкафной и флютбетной частяхъ кладется полъ, примыкающей концами съ одной стороны къ шандорной и королевской линіямъ, а съ другой—къ ко-

ролевой и контрфорсной, по бокамъ-же онъ примыкаетъ къ шапкамъ продольныхъ линій подъ стѣнами.

Полъ этотъ состоитъ изъ двухъ рядовъ 2-хъ дюймовыхъ неструганныхъ досокъ, настланныхъ въ перекрышку швовъ; оба ряда проконопачиваются, просмаливаются, и между ними кладется войлокъ. Концы обоихъ рядовъ этого пола, примыкающіе къ шпунтовымъ линіямъ, прижимаются соотвѣтственными колодами (шандорною, контрфорсною и колодой короля), по бокамъ-же верхній рядъ запускается въ четверти, вынутыя въ шапкахъ продольныхъ линій подъ стѣнами (черт. 29).

На эти полы кладутся: шандорная колода, колода короля, усовики, пень съ подпенкомъ, комплаты и контрфорсная колода.

Шандорная колода кладется въ видѣ шапки на шандорную шпунтовую линію и прибивается къ насадкамъ ершеными болтами. Въ существующихъ сооруженіяхъ эта колода вязалась изъ 2-хъ или 4-хъ брусьевъ, соединенныхъ между собою шпунтомъ и вставными шипами и скрѣпленныхъ черезъ одну сажень винтовыми болтами по двумъ направлениямъ въ шахматномъ порядке. Какъ показалъ опытъ, шандорную колоду во всѣхъ случаяхъ совершенно достаточно дѣлать изъ двухъ только брусьевъ, расположенныхъ въ горизонтальной плоскости, при чемъ со стороны шкафной части къ ней слѣдуетъ прибавить вспомогательные брусья, служащіе для принятія верхнихъ половъ. Для шандорной колоды на Маринскомъ пути употребляется 9-ти вершковый лѣсъ, а для вспомогательного бруса, постель котораго должна быть шириной 4", берется 5-ти вершковый лѣсъ.

Колода короля вяжется изъ 4-хъ брусьевъ, соединенныхъ между собою шпунтомъ и вставными шипами черезъ 1 саж. съ прокладкою войлока; брусья стягиваются по двумъ направлениямъ дюймовыми винтовыми болтами, расположенными въ шахматномъ порядке. Колода эта надѣвается на королевую линію въ видѣ шапки съ прокладкою войлока и прибивается къ насадкамъ ершеными болтами длиною 3 фут. и толщиною  $1\frac{1}{4}-1\frac{1}{2}"$ , располагаемыми въ промежуткахъ между винто-

выми болтами. Для колоды короля на Маринской системѣ употребляется 10 вершковый лѣсъ.

Усовики состоятъ изъ двухъ брусьевъ, расположенныхъ одинъ надъ другимъ; нижніе брусья запускаются шипами въ пень, а верхніе, образующіе усъ, перекрываютъ пень и принимаютъ шипы подпенка; вѣшніе концы усовика запускаются косыми шипами въ колоду короля.

На фототипіяхъ № 2 и № 3 видны детали короля и производство работъ по укладкѣ его на шлюзъ Св. Николая.

При значительной ширинѣ отверстія шлюза для передачи давленія отъ усовика на колоду короля располагаются еще по три теленка съ каждой стороны.

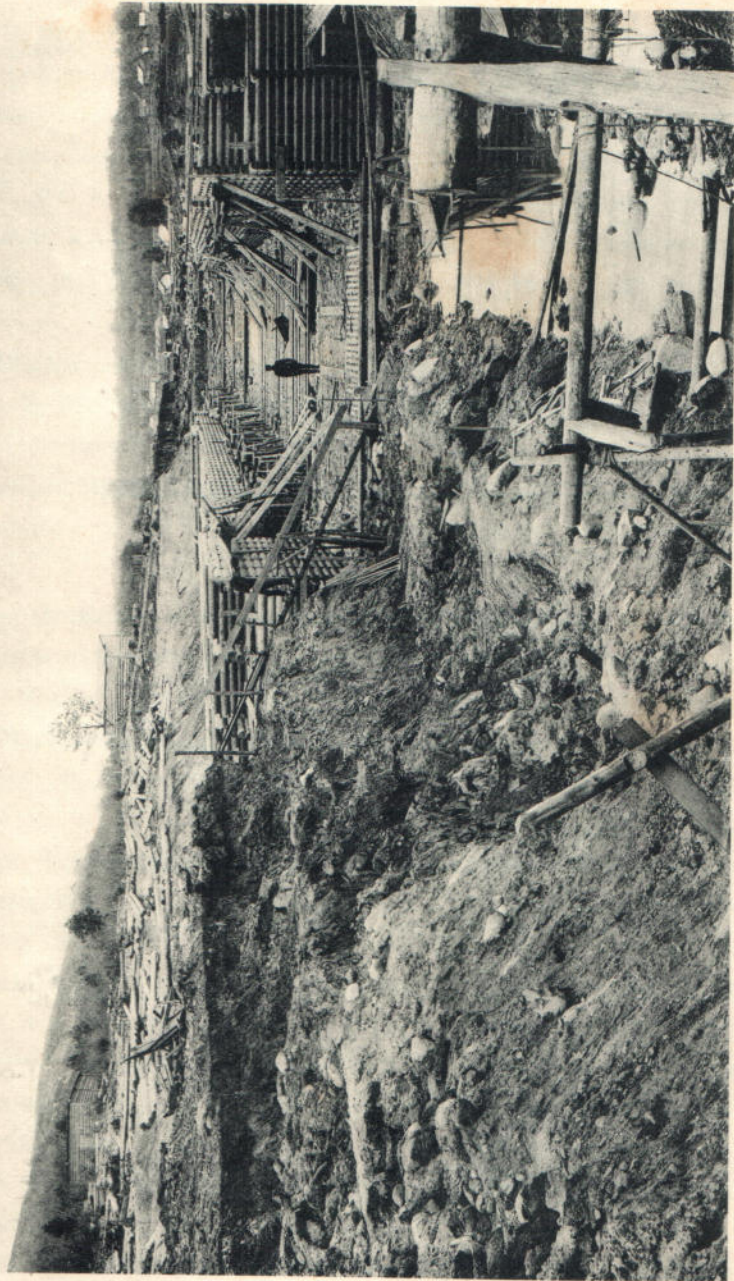
Для принятія верхнихъ половъ со стороны шкафной части къ усовикамъ прибиваются вспомогательные брусья, при чемъ нижній рядъ пола запускается въ четверть, вынутую въ этомъ брусьѣ, а верхній рядъ прикрѣпляется къ постели бруса. Со стороны же, обращенной къ колодѣ короля, къ усовикамъ прикрѣпляются брусья, называемые заусовичниками; цѣль ихъ, во первыхъ, принять верхніе полы въ треугольномъ пространствѣ, а, во вторыхъ, закрыть шовъ между верхнимъ и нижнимъ брусьями усовика; съ этою же цѣлью войлокъ, на которомъ кладется усовикъ, завертываются по вертикальной грани усовика и тогда только прислоняются къ ней заусовичникъ.

Наружные грани усовиковъ полезно срѣзывать подъ уклономъ въ  $1/2$ ; съ тѣмъ, чтобы давленіемъ отъ нижняго рамнаго бруса усовики не приподнимались, а прижимались къ полу; само собой разумѣется, что тогда и нижній рамный брусъ слѣдуетъ срѣзать подъ такимъ-же уклономъ. Ввиду того, что кромки усовика скоро изнашиваются и сбиваются, было-бы полезно обшивать наружные грани усовиковъ 3" дубовыми досками, прикрѣпляемыми къ усовикамъ гольцшрублами (черт. 30). Стрѣла уса обыкновенно дѣлается въ  $1/5$ .

Для усовиковъ на Маринскомъ пути берется 10 вершковый лѣсъ, заусовичники-же дѣлаются изъ 7 вершковаго лѣса.

Для связи колоды короля съ усовиками и шандорною колодой кладется по оси шлюза двойной брусъ, называемый

Рука рабочих стень на шлюзъ Св. Омы.



пнемъ. Одинъ конецъ пня запускается шипами въ колоду короля, а другой—прижимается шандорной колодой съ врубкой въ  $\frac{2}{3}$  толщины пня.

Поверхъ пня между усовиками и колодой короля кладется подпенокъ, состоящій точно также изъ 2-хъ брусьевъ и служащей опорою для верхнихъ брусьевъ усовика. Съ пнемъ онъ связывается на Маринскомъ пути четырьмя болтами діаметромъ въ 1", въ колоду короля запускается шипами, съ усовиками-же его слѣдуетъ соединять такъ, чтобы онъ былъ напущенъ на усовикъ врубкою въ  $\frac{1}{3}$  толщины усовика (черт. 31).

На нижнихъ полахъ располагаются еще комплата, состоящіе изъ 2-хъ брусьевъ (въ горизонтальномъ направлениі). Комплата вгоняются въ шкафы между шандорною и королевою колодами и притесываются частью къ шапкѣ продольной шпунтовой линіи и частью къ первому вѣнцу; кладутся они на войлокъ.

Всѣ брусья короля прибиваются на мѣста ершеными болтами, размѣщаемыми въ промежуткахъ между винтовыми болтами черезъ 1 саж. (за исключениемъ подпенка, который прибивается 4 болтами), при чемъ для брусьевъ, состоящихъ въ вертикальномъ направлениі изъ 2-хъ, употребляются трехъ футовые болты, а для остальныхъ двухъ футовые. Промежутки между брусьями короля покрываются верхнимъ поломъ, состоящимъ изъ 2-хъ рядовъ  $2\frac{1}{2}"$  досокъ. Впереди усовиковъ онъ дѣлается на высотѣ верхней грани пня и шандорной колоды (если она состоитъ изъ двухъ только брусьевъ). Концы досокъ этого пола, какъ упомянуто было выше, прикрѣпляются къ вспомогательнымъ брусьямъ у шандорной колоды и усовиковъ; по бокамъ-же онъ запускается въ четверти, вынутыя въ комплатахъ (черт. 29) и въ пнѣ. За усовиками, т. е. въ треугольномъ пространствѣ, полъ дѣлается за высотѣ усовиковъ и колоды короля и прикрѣпляется съ одной стороны къ заусовичникамъ и усовику, а съ другой—къ вспомогательнымъ при колодѣ короля брусьямъ и къ самой колодѣ (черт. 32). Верхній полъ, какъ и нижній, на-

стиается въ перекрышку швовъ, при чмъ оба ряда его проконопачиваются и заливаются варомъ.

Въ флютбетной части на нижнемъ полу кладется ростверкъ изъ обыкновенной ряжевой нарубки, ряжи которой призываются однимъ концомъ къ колодѣ короля, а другимъ къ контфорской колодѣ; а такъ какъ послѣдняя дѣлается по высотѣ въ одинъ брусь, то верхняя грань ряжей получаетъ уклонъ по длини на высоту одного бруса. Поверхъ этого растворка настиляется такой-же полъ, какъ и въ шкафной части. Въ существующихъ шлюзахъ пространство между верхними и нижними полами загружалось: въ усовичной части короля, т. е. между колодой короля и усовиками, бетономъ, а въ шкафной и водобойной частяхъ—чурою съ глиной.

Разсматривая цѣль, для достижениія которой употребляется загрузка въ каждой отдельной части, надо прійти къ заключенію, что шкафную часть слѣдовало бы загружать чурою съ глиной, усовичную—бетономъ, а флютбетную, назначеніе которой представлять опору для колоды короля, камнемъ съ расщебенкою. Самый контрфорсъ слѣдуетъ дѣлать изъ каменной кладки на цементномъ растворѣ, закладывая основаніе его на 0,30 саж. ниже дна камеры (черт. 32).

Въ сливной части нижнихъ королей на поперечная насадки настиляется одиночный полъ изъ пластинъ, обращенныхъ горбами кверху. Полъ прибивается къ насадкамъ ершеными болтами, и пространство подъ нимъ загружается камнемъ.

Такъ какъ бой воды, выходящей изъ щитовыхъ отверстий, дѣйствуя на дно канала ниже шлюза, размываетъ какъ самое дно, такъ и откосы канала, то признается необходимымъ устраивать въ концѣ нижнихъ крыльевъ рисберму, состоящую изъ 2-хъ рядного фашинаго тюфяка съ соответственnoю загрузкою камнемъ, положеннымъ въ плетневыя клѣтки. Тюфякъ этотъ, примыкая къ откосамъ, долженъ защищать дно и подошву откосовъ отъ подмыва, самые-же откосы должны быть обѣланы до высоты судоходнаго горизонта однокомельными фашинами, обращенными комлями къ водѣ, а выше судоходнаго горизонта—обдернованы.

Длина тюфяка зависит от степени размываемости грунта, а также от силы боя воды, т. е. от высоты напора и размывов щитовых отверстий. Сообразно с вышеупомянутыми обстоятельствами тюфякъ дѣлается длиною отъ 3-хъ до 13 саж.

Впереди верхней шкафной части передъ шандорной колодой, а, гдѣ есть крылья, то передъ крыльями нужно устраивать загрузку изъ плотно утрамбованной глины, вымощенной камнемъ, причемъ вымостка должна быть продолжена и по откосамъ до высоты судоходного горизонта. Одежда эта дѣлается на длину отъ 2-хъ до 5 саж. и имѣть цѣлью предохранить одѣваемыя части отъ размыва течениемъ воды, образующимся при открытии верхнихъ щитовыхъ отверстий.

**§ 28. Устройство флютбета камеры.** Что касается до устройства флютбета камеры, то оно въ общихъ чертахъ сводится къ слѣдующему. По насадкамъ круглыхъ свай, забитыхъ въ камерѣ, настилается полъ изъ пластинъ, обращенныхъ горбами кверху; полъ этотъ примыкаетъ къ шпунтовымъ линіямъ и прикрѣпляется посредствомъ поперечныхъ прижимовъ, прибиваемыхъ къ насадкамъ ершеными болтами. Прижимы въ свою очередь прижимаются прибойными брусьями, расположенными вдоль стѣнъ (черт. 33).

На фотографії № 4 видно производство работъ по укладкѣ половъ.

Такъ какъ отъ воды, падающей съ контрфорса, дно камеры можетъ быть размыто, то на длину 3-хъ саженъ за контрфорсомъ вынимается естественный грунтъ подъ полами на глубину около 0,17 саж., и выемка эта заполняется болѣе прочною загрузкою, состоящею изъ слоя щебня толщиною въ 0,10 саж. и слоя камня—въ 0,07 саж.

Говоря объ устройствѣ флютбета камеры, нельзя не остановиться на одномъ весьма серьезномъ вопросѣ, а именно на способѣ прикрепленія насадки къ сваѣ. Существующіе способы сводятся къ тремъ типамъ: расклиники, скобамъ и хомутамъ. Разсмотримъ каждый изъ нихъ въ отдѣльности. Начнемъ съ расклиники. Обозначимъ черезъ  $P$  усилие, съ

которымъ насадка высотою  $l$  стремится сорваться съ шипа сваи, расклепанного такъ, что боковыя грани его плотно прилегаютъ къ гранямъ гнѣзда (черт. 34). Можно представить себѣ насадку неподвижною, а къ сваѣ приложенную силу  $P$ . Тогда клинообразный шипъ произведеть на грани гнѣзда нормальныя давленія, которые должны уравновѣшиваться съ уси-  
ліемъ  $P$ , если соединеніе прочно; другими словами равнодѣй-  
ствующая сила  $N$  и  $N'$  должна быть равна силѣ  $P$ . Изъ тре-  
угольника  $abc$  имѣемъ:

$$ab = \frac{1}{2} P = ac \sin^{1/2} \alpha = N \sin^{1/2} \alpha,$$

откуда

$$N = N' = \frac{P}{2 \sin^{1/2} \alpha}.$$

Изъ треугольника  $nmo$  имѣемъ

$$nm = \frac{1}{2} (d' - d) = no \operatorname{tg} nom = ltg^{1/2} \alpha,$$

откуда

$$\operatorname{tg} \frac{1}{2} \alpha = \frac{d' - d}{2l}$$

$$\sin^{1/2} \alpha = \frac{d' - d}{\sqrt{4l^2 + (d' - d)^2}}.$$

Такимъ образомъ

$$N = \frac{P \sqrt{4l^2 + (d' - d)^2}}{2(d' - d)}.$$

Изъ этой формулы видно, что  $N$  уменьшается съ увели-  
ченіемъ  $(d' - d)$ , такъ какъ знаменатель увеличивается при  
этомъ быстрѣе числителя; но сопротивленіе смятию боковыхъ  
траней шипа при данныхъ размѣрахъ есть величина постоян-  
ная, а потому выгоднѣе увеличивать  $(d' - d)$  или обухъ клина,  
дѣлать его тупѣе, такъ какъ тогда при той же силѣ сопротив-  
ленія  $N$  имѣется возможность побѣдить большую дѣйствую-  
щую силу  $P$ , чѣмъ при клинѣ болѣе остромъ. Это увеличе-  
ніе угла  $\alpha$  имѣетъ конечно свои предѣлы, обусловливаемые

тѣмъ, что здѣсь шипъ сваи, первоначально прямой, получаетъ видъ лапы вслѣдствіе забиванія клиньевъ, отчего часть волоконъ дерева отклоняется отъ первоначального состоянія, и это отклоненіе не должно превосходить предѣла сопротивленія дерева изгибу или перелому въ плоскости основанія шипа, или разслоенію волоконъ въ части, отдѣляемой клиномъ; сверхъ того забиваемый клинъ не долженъ выжиматься обратно; для этого необходимо соблюсти условіе, чтобы

$$\operatorname{tg} \alpha < \frac{2f}{1+f^2},$$

гдѣ  $f$ —коэффиціентъ тренія, величина котораго можетъ колебаться отъ 0,25 до 0,45, а потому и для  $\alpha$  найдемъ предѣлы отъ  $17^{\circ}$  до  $37^{\circ}$ ; при длинѣ клина въ 8" (при 7 вершковой насадкѣ) и  $\alpha=17^{\circ}$ , это условіе даетъ для величины  $(d'-d)$  численное значеніе въ  $2^{3/8}"$ ; здѣсь  $17^{\circ}$  есть сумма угловъ обоихъ клиньевъ, слѣдовательно обухъ каждого изъ

нихъ будетъ  $\frac{2^{3/8}}{2}$  или  $1\frac{1}{4}"$  съ запасомъ.

При 7-ми вершковой насадкѣ длину шипа можно сдѣлать въ  $8\frac{1}{2}"$ , ширину въ  $3\frac{1}{2}"$  и  $(d'-d)=2\frac{1}{2}"$ ; принимая эти размѣры, найдемъ его возможное сопротивленіе. Предѣль упругости дерева при смятіи перпендикулярно волокнамъ примемъ равнымъ половинѣ временнаго сопротивленія, которое для сосны можемъ приблизительно принять въ  $88 \frac{\text{пуд.}}{\text{дм}^2}$ ; тогда сопротивленіе шипа смятію по одной боковой плоскости, на которое еще можно расчитывать, или нормальная наибольшая сила  $N$  будетъ

$$8,5 \times 3,5 \times 44 = 1309 \text{ пуд.}$$

Сила  $P$ , уравновѣшиваемая этимъ сопротивленіемъ, найдется изъ формулы:

$$N = P \sqrt{\frac{4l^2 + (d'-d)^2}{2(d'-d)}} = P \cdot 3,43 = 1309 \text{ пуд.},$$

откуда

$$P = \frac{1309}{3,43} = 381 \text{ пуд.}$$

Принимая, что наибольшее вырывающее сваю усилие равно  $593 H$ , где  $H$  высота напора снизу, и приравнивая это усилие сопротивлению шина, т. е. 381 пуд., найдем предельный напоръ для этого способа укрѣпленія насадокъ на сваяхъ  $H$  равнымъ приблизительно 0,64 саж.

При большихъ напорахъ весь избытокъ силы  $P$  надъ 381 пуд. долженъ быть уничтоженъ сопротивлениемъ желѣзныхъ связей, скрѣпляющихъ насадку со сваей, а именно сопротивлениемъ скобъ или хомутовъ.

Скоба (черт. 35) можетъ разрушиться двумя способами: разрывомъ гдѣ нибудь по длини въ сѣченіи  $b$ , или разогнуться, переламываясь у загиба; слабѣйшее изъ этихъ сопротивлений будетъ въ сѣченіи  $a$ ; часть  $ac$  можно рассматривать, какъ брусья, задѣланный концомъ въ стѣну у сѣченія  $a$ . Усилия, дѣйствующія на  $ac$ , будутъ равномерно распределены по всей длини, и наибольшее напряженіе, которое можно допустить здѣсь, не должно превосходить предѣла упругости при смятии дерева перпендикулярно къ волокнамъ его; такъ какъ сопротивляемость дерева въ этомъ направленіи вообще не значительна, то выгоднѣе увеличивать ширину скобы; но въ виду того, что при одинаковомъ количествѣ материала съ увеличеніемъ ширины желѣза уменьшается толщина его, и следовательно сопротивление излому въ сѣченіи  $a$ , то примемъ за наивыгоднѣйшее такое поперечное сѣченіе скобы, при которомъ какъ въ деревѣ, такъ и въ желѣзе напряженіе доведено до наибольшаго допускаемаго въ этомъ случаѣ предѣла. Предполагая ширину скобы въ 1" и длину забиваемаго конца ея въ 6", получимъ площадь въ  $4\frac{1}{2}$  кв. дм., по которой дерево подвержено смятию. Принимая какъ и раньше сопротивление на кв. дм. равнымъ 44 пуд., получимъ общее сопротивление равнымъ  $44 \times 4,5 = 198$  пуд.

Примемъ, что усилие это,  $pl$ , равномерно распределено по площади въ  $4\frac{1}{2}$  кв. дм. при одинаковой ширинѣ, тогда  $l$  получимъ равнымъ 4,5 дм. и  $pl^2 = 801$ ; Предѣлъ упругости желѣза при изгибѣ примемъ въ 680  $\frac{\text{пуд.}}{\text{дм}^2}$ . Изъ формулы для

случая бруса, задѣланного однимъ концомъ въ стѣну,  
имѣемъ  $680 \cdot \frac{a^2}{6} = \frac{890}{8}$ , откуда  $a=0,94"$ , т. е. при употреблениіи одной скобы на сваю размѣры желѣза оказываются почти квадратными.

При значительныхъ напорахъ толщина скобы выходила бы неудобною для забивки, именно легко могло бы произойти раскалыванье дерева въ мѣстѣ забивки, поэтому лучше задаться толщиною наиболѣе употребительной для скобъ, а именно въ  $\frac{5}{8}"$  при ширинѣ въ  $1"$  и, найдя сопротивленіе такой скобы на изгибъ, опредѣлить безопаснную нагрузку  $pl$ , которая для рассматриваемой скобы выходитъ равной около 60 пуд. Взявъ двѣ такихъ скобы, мы видимъ, что сумма усилий, побѣждаемыхъ расклінкой и двумя скобами равна  $120 + 381 = 501$  пуд. Изъ формулы 593  $H=P$  находимъ  $H=\frac{501}{593}=0,84$  саж.—предѣльный напоръ, при которомъ сопротивленіе насадки расклінкой и двумя скобами размѣровъ  $\frac{5}{8}" \times 1"$  удовлетворительно.

При большихъ напорахъ вместо скобъ нужно ставить хомуты.

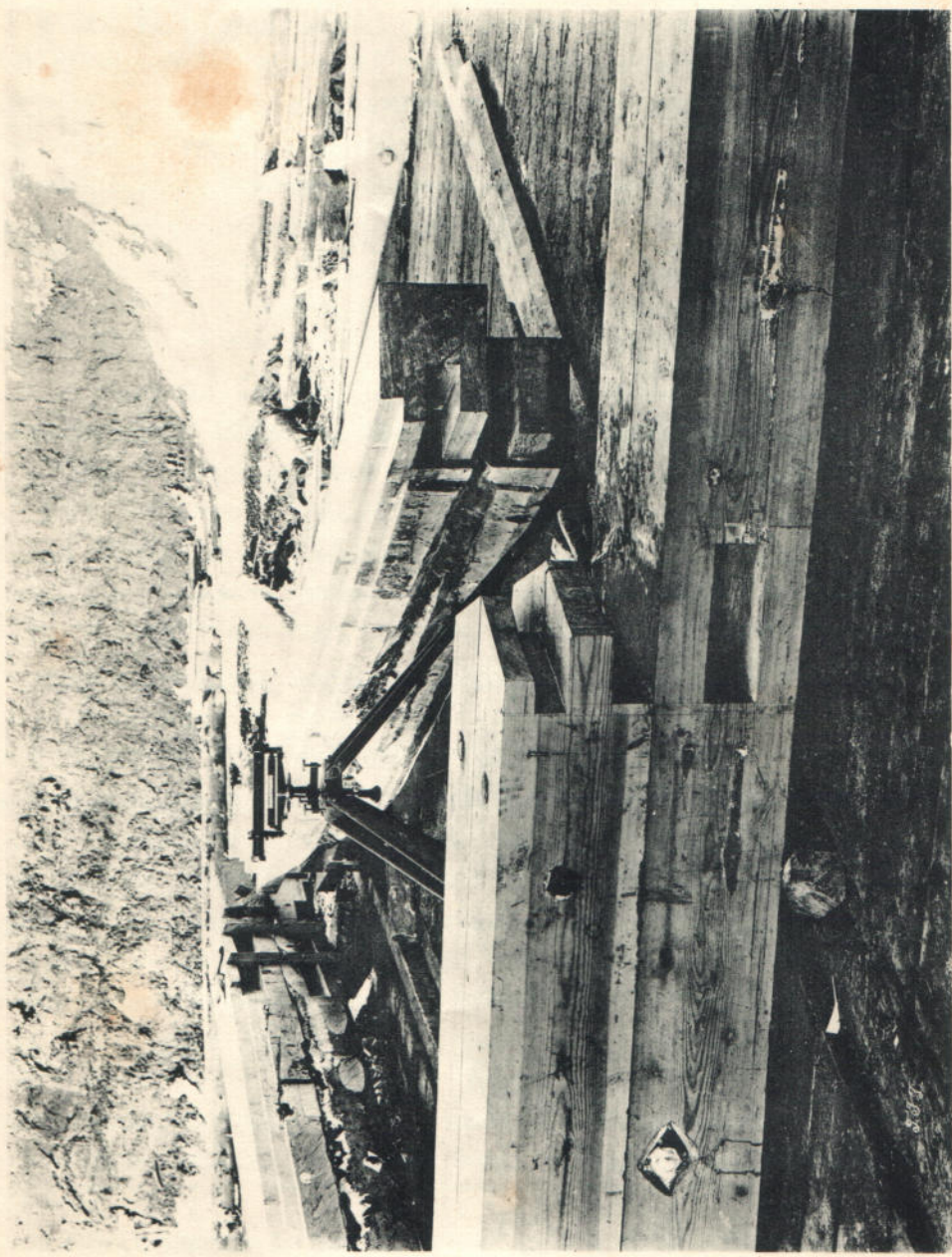
Обозначимъ ширину хомута черезъ  $b$ , а толщину его черезъ  $a$ ; расчитывая на напряженіе до предѣла упругости дерева смятию и желѣза разрыву при толщинѣ обтесанной стороны насадки, обхватываемой хомутомъ, въ 9 дм., получимъ:  $9 \times b \times 44 = 2ab$ . 680, откуда по сокращеніи на  $b$  получимъ  $a=0,3$  дм., слѣдовательно выгодно только увеличивать ширину хомута, такъ какъ толщина его получается постоянно. Прививая сопротивленіе хомута разрыву силѣ, срывающей насадку, за исключеніемъ сопротивленія расклінки, равнаго 381 пуд., можемъ найти размѣръ хомута. Путемъ подобныхъ расчетовъ найдено, что при употреблениіи различнаго размѣра хомутовъ (шириною въ  $1", 1,5"$  и  $2"$ ) предѣльный напоръ колеблется между 1,32 саж. и 2,01 саж.; при большихъ напорахъ требуется увеличивать число свай, съ употребленіемъ хомутовъ.

**§ 29. Устройство вереяльныхъ и шандорныхъ столбовъ.** Для плотнаго сопряженія запертыхъ воротъ со стѣнами шлюза устраиваются такъ называемые вереяльные столбы; такой столбъ вяжется обыкновенно изъ двухъ брусьевъ футовыхъ размѣровъ, вытесанныхъ изъ 10-ти вершковаго лѣса, соединенныхъ между собой шпунтомъ на вставныхъ шипахъ съ прокладкою войлока и связанныхъ черезъ 1 саж. винтовыми болтами. Для свободнаго вращенія воротъ въ этомъ столбѣ дѣлается соотвѣтственная выкружка, и затѣмъ столбъ запускается шипомъ въ колоду короля и прислоняется въ углубленіе, образуемое лицевою стѣною шкафа и выпущенными концами шпунтоваго простынка съ врѣзкою въ лицевую стѣну шкафа на глубину 2" и прокладкою смоленаго войлока по плоскостямъ соприкасанія столба со стѣною и простынкомъ (черт. 36).

Шандорные столбы существующихъ сооруженій поставлены въ углубленія шкафныхъ частей у шандорныхъ колодъ (черт. 37) и приходятся частью надъ этими колодами, частью надъ комплатами. Шандорный столбъ состоять изъ 2-хъ брусьевъ футовыхъ размѣровъ и запускается въ комплатъ шипами, нарубленными по одному на каждомъ брусе.

Однако подобное устройство столбовъ вслѣдствіе нѣкоторыхъ недостатковъ теперь замѣнено слѣдующимъ: въ верхнихъ головахъ шлюзовъ безъ крыльевъ шандорный столбъ изъ 2-хъ футовыхъ брусьевъ прикрѣпляется къ выпуску по перечной лицевой стѣны длиною 18" отъ оконечностей лапъ, а по другую сторону выпуска ставятъ двѣ стойки толщиною 8", которые сквозь выпускные концы стѣны стягиваются съ шандорнымъ столбомъ винтовыми болтами черезъ 0,5 саж.; за продольною стѣною, концы которой должны быть выпущены за поперечную на 6", помѣщаются стойки, къ которой и притягиваются вспомогательныя стойки шандорнаго столба; по плоскости соприкасанія столба со стѣнами прокладываются войлокъ, торцы-же выпусковъ прикрываютъ досками (черт. 38).

Если верхнія шлюзныя части имѣютъ крылья, то шандорный столбъ устраиваютъ такъ, какъ показано на черт. 39.



Детали короля: сопряжение колоды съ усиковикомъ.

Въ нижнихъ шлюзныхъ частяхъ шандорные столбы устраиваютъ такъ, какъ въ верхнихъ, имѣющихъ крылья.

**§ 30. Входные палы.** Для предохраненія головныхъ частей шлюза отъ ударовъ при вводкѣ судовъ, а также для облегченія самой вводки, необходимо устраивать прочныя вводные палы, которыя, уширяясь постепенно отъ головы шлюза, давали-бы возможность очередному судну приблизиться къ шлюзу и стать по направленію его оси.

Длина палъ въ каналѣ при прямомъ направленіи входа должна быть около  $\frac{3}{5}$  длины судна. Палы отъ головы шлюза должны расходиться раструбомъ, разъемъ котораго въ концѣ палъ долженъ быть равенъ двойной ширинѣ судна. Чтобы судно могло легче направиться по оси канала, и чтобы вмѣстѣ съ тѣмъ избѣжать вреднаго угла, въ которомъ сопрягается рѣчная часть палы съ береговою (черт. 40), признается полезнымъ устраивать палы по коробовой кривой, касательной къ направленію лицевыхъ стѣнъ шлюза (черт. 40).

Для устройства палы забиваются по направленію кривой два параллельныхъ ряда свай, расположенныхъ въ шахматномъ порядке и на разстояніи одной сажени свая отъ свая въ каждомъ ряду (черт. 41). На шипы свай надѣваются насадки, скрѣпленные съ каждой сваей и между собой черезъ одну сажень желѣзными скобами. Насадки располагаются на высотѣ 0,15 саж. надъ горизонтомъ воды для того, чтобы въ случаѣ неудачнаго удара судна объ палу оно получило поврежденіе въ надводной своей части, а не подводной; сверхъ того, такъ какъ насадки изнашиваются скорѣе свай, то подобное возвышеніе палы надъ горизонтомъ воды даетъ возможность въ случаѣ перемѣны насадокъ воспользоватьсяѣ тѣми же самыми сваями съ нарубкою на нихъ только новыхъ шиповъ.

Сверху насадки стесываются, чтобы удобно было по нимъ ходить, но боковыя ихъ стороны остаются круглыми. Для устойчивости палы насадки съ внутренней стороны подкрѣпляются черезъ 1 саж. подкосами, расположеными на сваяхъ,

забитыхъ тоже черезъ 1 саж. Подкосы врѣзываются въ поль-дерева въ береговую насадку, а съ вѣнчнею насадкой скрѣпляются скобами.

Чтобы при ударѣ судна въ палу ни насадки, ни подкосы не поднимались, послѣдніе должны быть горизонтальны; чтобы подкосы лучше сопротивлялись продольному удару, ихъ слѣдуетъ отклонять градусовъ на 15 ко входу. Лѣсъ для свай и подкосовъ берется 5-ти вершковый, а для насадокъ 7-ми вершковый. Шипы дѣлаются сквозные съ расклинкою.

Если пала близко отъ берега, то подкосы можно дѣлать безъ свай, упирая береговые концы въ порогъ, врѣзанный въ откосъ на высотѣ 0,15 саж. надъ горизонтомъ воды; при малой глубинѣ палы можно дѣлать безъ подкосовъ.

Въ грунтахъ, недопускающихъ забивки свай, устраиваются плавучія палы. Такія палы состоять изъ лавы и стрѣль, упирающихся въ берегъ (черт. 42).

Лава дѣлается изъ 4-хъ шестивершковыхъ бревенъ, расположенныхъ врядъ и связанныхъ между собою горизонтальными шпонками; стрѣлы-же, которая располагаются черезъ 4 саж. и въ такомъ направленіи, какъ подкосы постоянныхъ палъ, состоять изъ 3-хъ бревенъ, расположенныхъ врядъ и связанныхъ точно также горизонтальными шпонками; стрѣлы соединяются съ лавою желѣзными наметками съ пробоями (черт. 43) и немного врубаются въ первое бревно лавы; для упора другого конца стрѣлы у берега слѣдуетъ забивать небольшія сваи, если-же и ихъ забить невозможно, то стрѣлы упираются непосредственно въ берегъ. Подобныя палы при своей дешевизнѣ имѣютъ и то преимущество передъ плаву-чими палами другого типа, что онѣ чрезвычайно гибки, а, слѣдовательно, представляютъ меньшую опасность для удариющихся объ нихъ судовъ; при томъ, имѣя ширину около 0,5 саж., онѣ очень удобны для прохода рабочихъ.

Плавучія палы приходится устраивать также въ мѣстахъ, где горизонтъ воды подвергается значительнымъ колебаніямъ, и устраивать ихъ такъ приспособленными, чтобы онѣ могли свободно подниматься и опускаться, не измѣняя своего положенія въ горизонтальной плоскости.

Подобная пала имѣется на Маріинскомъ пути у шлюза Св. Константина (черт. 44). Она состоить изъ 4-хъ семивершковыхъ бревенъ, расположенныхъ по два въ рядъ и связанныхъ между собой вертикальными и горизонтальными болтами (которые слѣдуетъ во избѣжаніе поврежденій судовъ замѣнить шпонками); между этими бревнами зажаты лапы стрѣлъ, состоящихъ изъ одиночныхъ брусьевъ, свободные концы которыхъ подвинчены къ плавучему прогону, упирающемся въ рядъ свай, забитыхъ у берега и не позволяющихъ палъ вдаваться въ берегъ; чтобы пала не могла отходить отъ берега, по другую сторону прогона по линіи параллельной заднему ряду забиты четыре круглыхъ сваи.

На черт. 45 изображена шандорная перемычка въ верхней головѣ шлюза Св. Самсонія.

### Желѣзныя створчатыя ворота шлюзовъ.

**§ 31. Краткія свѣдѣнія о постепенной выработкѣ типа шлюзовыхъ воротъ.** Желѣзныя и деревянныя ворота должны удовлетворять слѣдующимъ условіямъ: они должны представлять прочный затворъ, который можно по временамъ открывать и закрывать и который былъ бы въ состояніи, по мѣрѣ надобности, поддерживать болѣе высокій горизонтъ воды съ одной стороны; поэтому они должны принимать на себя напоръ воды и передавать его на стѣны и полъ сооруженія; кромѣ того они должны быть плотны и водонепроницаемы; ремонтъ ихъ въ случаѣ необходимости долженъ производиться безъ особыхъ затрудненій и обходиться недорого; наконецъ они должны легко открываться и закрываться. Въ общемъ же конструкція ихъ будетъ тѣмъ лучше, чѣмъ проще и яснѣе передача дѣйствующихъ усилий на стѣны.

Для устройства шлюзовыхъ воротъ желѣзо начали применять въ XIX столѣтіи; до 1820 г. ворота дѣлались только изъ дерева. По мѣрѣ увеличенія судовъ пришлоось увеличи-

вать ширину и глубину шлюзовъ, въ особенности морскихъ, а вмѣстѣ съ тѣмъ пришлось дѣлать ворота все выше и шире. Поперечныя сѣченія деревянныхъ ригелей, поворотныхъ столбовъ и подъемныхъ валовъ получились бы такихъ размѣровъ, что ворота были черезчуръ тяжелы и обошлись бы слишкомъ дорого. Для устройства такихъ воротъ можно примѣнять очень немногіе и при томъ дорогіе сорта дерева. При этомъ надо замѣтить, что въ моряхъ шашень быстро разрушаютъ всѣ породы деревьевъ за исключеніемъ грійнхартового и еще болѣе дорогого тикаваго. Какъ средство противъ шашенія примѣняютъ обивку дерева гвоздями—отъ 1700 до 2500 гвоздей или 22 до 25 kg. на 1 qm.; но это обходится довольно дорого, при чёмъ срокъ продолжительности службы дерева едва достигаетъ 30 лѣтъ, и расходы на ремонтъ съ годами все увеличиваются.

Какъ только научились примѣнять въ качествѣ строительного материала желѣзо, естественно воспользовались имъ и для устройства шлюзовыхъ воротъ большихъ размѣровъ. Въ шлюзахъ значительной ширины, при большой разницѣ горизонтовъ воды и въ особенности въ шлюзахъ морскихъ гаваней, доковъ и т. д. металлическія ворота совсѣмъ вытѣснили деревянные. Иначе обстоитъ дѣло съ шлюзовыми воротами, служащими для внутреннихъ водяныхъ сообщеній. Здѣсь приходится имѣть дѣло съ значительно меньшими усиленіями, а потому нѣтъ крайней необходимости въ замѣнѣ деревянныхъ воротъ металлическими. Въ дѣйствительности для такихъ сооруженій дерево представляетъ даже значительныя выгоды: оно легко поддается обработкѣ, въ случаѣ его примѣненія легко достигается необходимая плотность въ закрой шлюза и въ поворотныхъ столбахъ, измѣненіе длины полотнищъ воротъ при колебаніи температуры ничтожно; необходимыя исправленія производятся легче и обходятся дешевле, чѣмъ при желѣзныхъ воротахъ. Продолжительность службы деревянныхъ воротъ конечно не велика, и содержаніе ихъ обходится въ общемъ дороже, чѣмъ желѣзныхъ; но срокъ службы воротъ металлическихъ еще не опредѣленъ точно, такъ какъ примѣняться они начали сравнительно недавно. Поэтому

въ шлюзахъ внутреннихъ сообщеній еще очень часто примѣняются деревянныя ворота; впрочемъ и здѣсь металлическія ворота годъ отъ года начинаютъ примѣняться все чаще.

Сначала начали дѣлать ворота изъ чугуна; при этомъ примѣняли его какъ для остова, такъ и для обшивки; однако и здѣсь, какъ въ мостахъ и стропилахъ, этотъ строительный материалъ примѣнялся не долго. Чугунныя вороты были очень тяжелы и очень легко ломались отъ случайныхъ ударовъ; при этомъ ихъ трудно было сдѣлать непроницаемыми для воды; вслѣдствіе этого пришлось скоро отказаться отъ чугуна.

Въ настоящее время для устройства шлюзовыхъ воротъ значительныхъ размѣровъ примѣняютъ исключительно сварочное и литое желѣзо; въ некоторыхъ частяхъ ихъ—наприимѣръ, цапфахъ, подшипникахъ, гальсбантахъ—и сталь; въ известныхъ мѣстахъ также бронза. Небольшія шлюзовые ворота въ рѣкахъ и каналахъ также рекомендуется дѣлать изъ желѣза; при чемъ для обшивки металлическаго остова съ успѣхомъ можно примѣнять деревянныя доски, такъ что получается смѣшанная конструкція. Для достиженія плотнаго затвора даже въ воротахъ, сдѣланныхъ исключительно изъ желѣза, между поворотнымъ столбомъ и угломъ шкафа, а также въ створахъ ставятъ деревянные бруски.

Изъ различныхъ видовъ шлюзовыхъ воротъ мы остановимся только на створчатыхъ, которые отличаются наибольшимъ распространеніемъ на практикѣ.

**§ 32. Створчатыя ворота.** Створчатыя ворота дѣлаются преимущественно съ двумя полотнами. Каждое полотно (*deut. der Flügel, franz. vantail* *engl. leaf, half gate*) вращается вокругъ оси, расположенной около стѣны камеры, имѣетъ чаще всего четырехугольную форму, въ закрытомъ состояніи опирается одной вертикальной стороной, именно вереяльнымъ столбомъ, въ упорный уголъ шкафа; второй вертикальной стороной, именно створнымъ столбомъ, на соответствующую часть второго полотна, а нижнимъ рамнымъ брускомъ на порогъ (*deut. der Drempel, franz. le busc, engl. the sill*). Если бы полотна не под-

держивались снизу порогомъ, то въ закрытомъ состояніи они работали бы какъ двѣ части трехшарнирной арки,—въ дѣйствительности же распределеніе усилий получается совершенно иное; однако взаимодѣйствіе обоихъ полотенъ воротъ при передачѣ давленія воды на опоры сохраняется.

Створчатыя шлюзныя ворота вообще представляютъ рациональную конструкцію; ширина каждого полотна получается немноже больше половины ширины шлюза; изгибающіе моменты, по которымъ подбираются сѣченія соответствующихъ частей, получаются очевидно менѣе, чѣмъ въ томъ случаѣ, если бы ворота состояли изъ одного полотна; усиление направленное по оси полотна даетъ возможность въ большей степени использовать матеріалъ; ниши, сдѣланныя въ стѣнахъ для помѣщенія воротъ въ открытомъ состояніи, увеличиваютъ общую длину стѣнъ шлюза только на величину, которая немноже больше половины ширины шлюза.

На основаніи всего вышеизложенного становится понятнымъ, почему въ большинствѣ шлюзовъ устроены двухстворчатыя ворота. Недостатокъ же воротъ этой системы состоить въ томъ, что они передаютъ на боковыя стѣны значительная горизонтальная усилия, составляющія съ продольными осями стѣнъ почти прямой уголъ, въ виду этого въ соответствующихъ мѣстахъ для большей устойчивости приходится увеличивать толщину стѣнъ.

Оси шлюзныхъ воротъ въ горизонтальной проекціи могутъ быть прямыми, ломанными и плавными кривыми. Послѣднія такъ называемыя кривыя ворота представляютъ нѣкоторые выгоды въ смыслѣ распределенія усилий; (deut. *gekrümmte Thorflügel*, franz. *vantaux cintrés*, engl. *bent gates, curved gates*).

**§ 33. Элементы створчатыхъ воротъ.** Въ каждомъ воротахъ надо различать двѣ главныя части:

A. раму (deut. *das Gerippe*, franz. *la carcasse, l'ossature*, engl. *the framework, the skeleton*).

B. обшивку (deut. *die Bekleidung*, franz. *le bordé, le bordage*, engl. *the skin*).

Въ нѣкоторыхъ случаихъ рама въ тоже время служить и обшивкой, вообще же рама устраивается отдельно и обшивка дѣлается уже по ней.

### *A. Рама.*

Рама состоитъ изъ слѣдующихъ частей:

а) *поворотный или вереяльный столбъ* (deut. *die Wendesäule* franz. *le poteau tourillon*, engl. *the pivot post, the hinge post*) представляетъ ту ось, около которой вращается полотно воротъ при открытии и закрытии шлюза; въ то время, когда ворота закрыты, онъ опирается въ упорный уголъ шкафа.

б) *створный столбъ* (deut. *die Schlagsäule* franz. *le poteau busqué*, engl. *the mitre post*) ставится, какъ и вереяльный столбъ, вертикально; при закрытыхъ воротахъ онъ опирается на створный столбъ второго полотна.

с) *нижний рамный брусь* (deut. *der Untertramen*, franz. *l'entretoise inférieure*, engl. *the bottom cross beam, the lowest cross-bar*) опирается въ порогъ.

д) *верхний рамный брусь* (deut. *der Obertramen*, franz. *l'entretoise supérieure*, engl. *the top cross beam*); ограничиваетъ полотно сверху и обыкновенно поддерживаетъ служебный мостикъ.

Къ этимъ четыремъ главнымъ элементамъ, образующимъ раму воротъ, присоединяются слѣдующіе элементы, назначение которыхъ состоитъ въ томъ, чтобы передавать давленіе воды отъ обшивки на раму:

е) *ригели* (deut. *die Riegel*, franz. *les entretoises intermédiaires*, engl. *the cross beams, cross-pieces*), которые ставятся горизонтально между вереяльнымъ и створнымъ столбомъ; они принимаютъ на себя давленіе воды отъ обшивки и стоецъ, поставленныхъ между ригелями, и передаютъ его на вереяльный и створный столбъ. Ригели испытываютъ сложное напряженіе: отъ изгиба и отъ простого сжатія. Какъ въ деревянныхъ, такъ и желѣзныхъ воротахъ часто ригели ставятъ внизу ближе другъ къ другу, чѣмъ вверху, сообразуясь съ распределеніемъ давленія воды. Въ случаѣ примѣненія дерева въ

качествъ строительного материала приходится по необходимости поступать такимъ образомъ, потому что здѣсь при сравнительно небольшомъ допускаемомъ напряженіи для получения практически выполнимыхъ размѣровъ ригелей надо дѣйствующую силу разбить на нѣсколько частей меньшей величины и каждую изъ послѣднихъ передавать на отдельный ригель соответствующихъ размѣровъ. Если площадь поперечного сѣченія ригеля задана, то разстояніе между ригелями надо назначить съ такимъ расчетомъ, чтобы размѣры ихъ соответствовали дѣйствующимъ на нихъ усиленіямъ, и чтобы прочность ихъ была использована полностью; поэтому приходится внизу ставить ихъ чаще, чѣмъ вверху. Въ случаѣ же примѣненія желѣзныхъ ригелей нѣтъ крайней необходимости въ подобной конструкціи, потому что площади поперечныхъ сѣченій въ этомъ случаѣ могутъ быть почти произвольной величины и соответственно этому на элементы сооруженія можно передавать очень большія усиленія; самое же проектированіе сооруженія будетъ тѣмъ точнѣе и тѣмъ проще, чѣмъ меньше отдельныхъ элементовъ въ немъ. Всѣдѣствие же того, что въ этомъ случаѣ размѣры каждого ригеля назначаются, сообразуясь съ дѣйствующимъ на него усиленіемъ, разстояніе между ригелями можетъ быть назначено произвольно. Однако иногда и въ желѣзныхъ воротахъ приходится примѣнять ригели одинакового сѣченія (напр. изъ прокатного желѣза одного калибра); въ такомъ случаѣ разстояніе между ригелями приходится уменьшать къ низу.

f) *Вертикальные промежуточные элементы* (deut. *Lotrechte Zwischenst cke*, franz. *poteaux montants* engl. *verticals, vertical cross beams*) бываютъ двухъ типовъ. Въ ригельномъ типѣ воротъ (см. выше е) стойки ставятся между горизонтальными ригелями для того, чтобы дать обшивкѣ болѣе надежную опору, соединить ригели другъ съ другомъ для предохраненія ихъ отъ продольного изгиба въ вертикальной плоскости и чтобы въ воротахъ съ двойной обшивкой получить непроницаемое для воды подраздѣленіе на части, которые въ случаѣ надобности могутъ быть заполнены вмѣсто балласта водою. Въ послѣднее же время часто стали примѣнять стоечный



Укладка короля на шлюзъ Св. Николая.

типъ воротъ, въ которыхъ ребра, поддерживающія обшивку, расположены вертикально и упираются лишь въ верхній и нижній рамные брусья. Въ этомъ случаѣ стойки работаютъ какъ балки и дѣйствующее на обшивку давленіе передаютъ на верхній и нижній рамные брусья. Иногда въ видахъ облегченія работы горизонтальныхъ рамныхъ брусьевъ и вертикальныхъ реберъ ставятъ еще вспомогательные горизонтальные ригели.

g) *Косые ригеля и диагональные тяжи* (deut. *die Schrägstäbe, Diagonalen*, franz. *les écharpes*, engl. *the diagonal ties*) приводятъ раму въ треугольную связь, препятствующую искаженію (провисанію) открытыхъ воротъ. Косой ригель ставится между верхнимъ рамнымъ брускомъ и вереяльнымъ столбомъ, а диагональный тяжъ идетъ въ обратномъ направленіи т. е. отъ узла, образуемаго верхнимъ рамнымъ брускомъ съ вереяльнымъ столбомъ, къ низу створнаго столба. Иногда тяжи располагаются накрестъ. Если ворота очень высоки и узки, то все полотно воротъ разбиваются по высотѣ на двѣ и болѣе прямоугольныхъ частей и въ каждой изъ нихъ ставятъ одну или двѣ діагонали. Если назначена достаточно жесткая металлическая обшивка, то она будетъ въ состояніи препятствовать искаженію воротъ и вполнѣ замѣнить собою діагонали. Поэтому въ воротахъ съ двойной обшивкой можно вовсе не ставить діагоналей; если же обшивка назначена только со стороны верхняго бьефа, и ворота имѣютъ большую толщину, то не обшитую сторону, полезно усилить наклоннымъ ригелемъ или діагональю.

h) *Щитовые затворы* (deut. *die Schützen, les ventelles*, engl. *the sluices*) служатъ для наполненія и опоражниванія шлюзной камеры; очень часто они располагаются въ самыхъ воротахъ; въ воротахъ приморскихъ шлюзовъ и сухихъ доковъ щитовыхъ затворовъ часто вовсе не бываетъ.

i) *Механизмы воротъ.*

а) *Шатникъ* вмѣстѣ съ подпятникомъ. (deut. *der Spurzahnen und die Pfanne, la crapaudine, the pivot*) на нижнемъ концѣ вереяльного столба.

3) *Верхняя шейка* или *шипъ* вертикального вала вмѣстѣ съ *гальбандомъ* (deut. *der Halszapfen und der Halsband* franz. *le tourillon et collier* engl. *the pivot and the collar*) на верхнемъ концѣ вереяльного столба.

γ) *Направляющіе ролики* (deut. *die Laufrollen*, franz. *les roulettes*, engl. *the rollers*) въ большихъ воротахъ примѣняются особенно часто въ Англіи и ставятся на концѣ створнаго бруса или вблизи его для того, чтобы поддерживать часть вѣса открытыхъ воротъ. Направляющіе ролики при движеніи скользятъ по рельсамъ. Въ воротахъ шлюзовъ внутренняго сообщенія ихъ обыкновенно не ставятъ. За послѣднее время и въ Англіи не стали назначать ихъ даже для большихъ шлюзовыхъ воротъ.

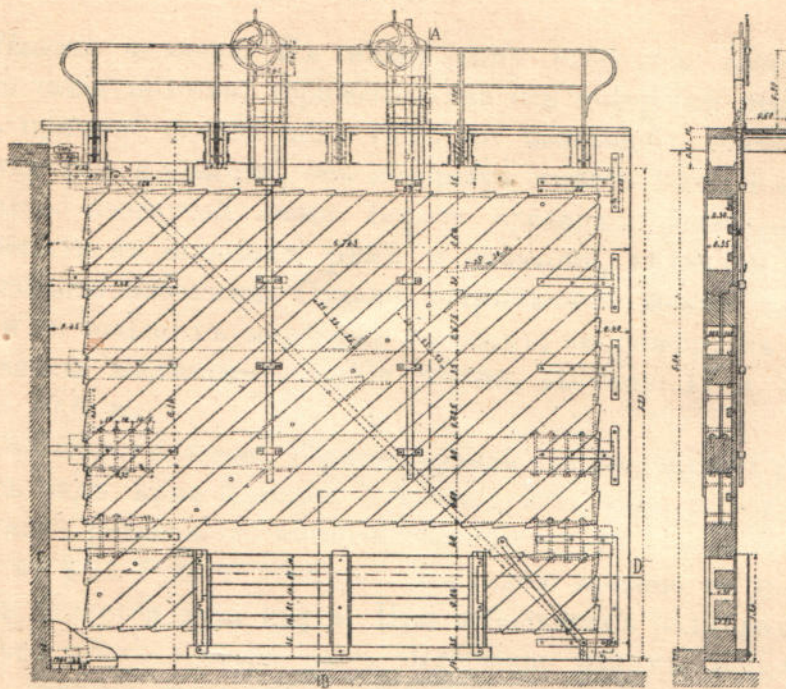
## В. Обшивка.

Обшивка бываетъ съ одной и съ двухъ сторонъ. Односторонняя обшивка располагается со стороны верхняго бѣфа. На большихъ воротахъ—особенно въ морскихъ шлюзахъ—дѣлаются всегда двойную обшивку. Такимъ образомъ получаются плавучіе затворы, вѣсъ которыхъ смотря по надобности произвольно можетъ быть увеличенъ или уменьшенъ измѣненіемъ количества балласта (лучше всего воды) въ нѣкоторыхъ отдѣленіяхъ.—Обшивка чаще всего дѣлается изъ волнистаго желѣза (сварочнаго или литого); на малыхъ же воротахъ—изъ деревянныхъ досокъ.

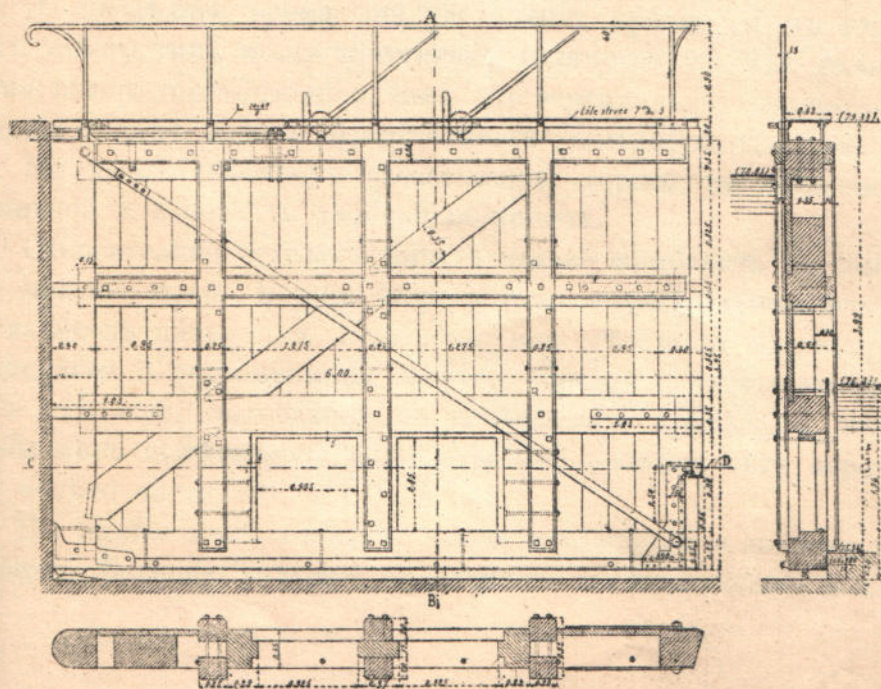
Весьма важную часть воротъ представляютъ бруски (deut. *die Dichtungsleisten*, franz. *la fourrure*, engl. *the furring pieces*), которыми снабжены створный столбъ, вереяльный столбъ и нижній рамный ригель для увеличенія водонепроницаемости по периметру соприкасанія воротъ со стѣнами и порогомъ. Бруски эти чаще всего дѣлаются изъ дерева; однако въ тѣхъ мѣстахъ, где дерево быстро разрушается шашнемъ, ставить и желѣзные бруски.

**§ 34. Типы створчатыхъ воротъ.** По формѣ горизонтальнаго съченія полотна воротъ подраздѣляются на плоскія и сводчатыя.

A



Б



*Плоскія полотна.* Къ этому типу относятся собственно только такія полотна, горизонтальпая ось которыхъ предста-  
вляетъ прямую; однако подъ тѣмъ же названіемъ часто под-  
разумѣваютъ и полотна, ось которыхъ имѣеть видъ ломанной  
или слабо изогнутой линіи. Ворота среднихъ размѣровъ, въ  
особенности въ шлюзахъ рѣкъ и каналовъ, дѣлаются пре-  
имущественно плоскими. Однако встрѣчаются ворота того же  
типа и въ большихъ морскихъ шлюзахъ; напримѣръ въ Гаврѣ  
поставлены жѣлезныя плоскія ворота, высотою 17 м. и ши-  
риною 10,6 м.

*Сводчатыя полотна.* Горизонтальная ось сводчатыхъ воротъ  
имѣеть видъ кривой линіи. Рекомендуется назначать эту ось  
по кривой равновѣсія, которая соотвѣтствуетъ давленію воды.  
Ниже въ § 41 будетъ доказано, что такою кривою въ данномъ  
случаѣ является дуга круга. При небольшихъ размѣрахъ воротъ  
все усиліе можетъ быть выдержано однимъ металлическимъ  
листомъ, такъ что послѣдній въ этомъ случаѣ служить и  
обшивкой и рамой воротъ. Однако такія ворота слѣдуетъ уси-  
ливать жесткими ребрами въ виду того, что въ нихъ могутъ  
быть опасныя дополнительныя напряженія отъ ударовъ про-  
ходящихъ судовъ, отъ сотрясеній при открываніи и закры-  
ваніи и другихъ возможныхъ случайностей.

За послѣднее время для увеличенія прочности въ воро-  
тахъ такого типа стали примѣнять волнистое жѣлезо, распо-  
лагая волны горизонтально, такъ что вертикальное поперечное  
сѣченіе такихъ воротъ представляетъ волнообразную линію.

По числу обшивокъ различаютъ: ворота съ одиночной  
обшивкой и ворота съ двойной обшивкой.

Относительно первыхъ ничего нельзѧ прибавить къ тому,  
что сказано выше. Ворота второго типа примѣняются всегда  
въ качествѣ плавучихъ затворовъ; они дѣлаются водонепро-  
ницаемыми и устраиваются такимъ образомъ, чтобы полный  
весъ ихъ могъ колебаться въ извѣстныхъ предѣлахъ, такъ  
чтобы весъ вытѣсненной воды равнялся полному весу воротъ  
или только части его.

Съ измѣненіемъ горизонта воды измѣняется и давленіе на  
пятникъ; большое давленіе на пятникъ не желательно; а для

того, чтобы ворота не всплывали, не должно быть и слишкомъ большого уменьшения собственного вѣса (при высокомъ горизонте воды). Поэтому ворота загружаютъ балластомъ съ такимъ расчетомъ, чтобы при самомъ низкомъ горизонте воды давленіе на пятникъ было известной величины (отъ 10 до 15 тн.), которая уменьшается при болѣе высокомъ горизонте воды; а для того, чтобы загруженіе не оказалось слишкомъ мало, и ворота не всплывали, въ обшивкѣ дѣлаютъ отверстія, черезъ которыхъ при извѣстномъ горизонте воды можетъ проникать во внутренность воротъ, такъ что по мѣрѣ повышенія горизонта воды давленіе ея на ворота снизу вверхъ увеличиваться не будетъ, если пренебречь ничтожной величиной вѣса объема воды, вытѣсненного только желѣзными частями. Ворота этой конструкціи имѣютъ тотъ недостатокъ, что въ обшивкѣ ихъ имѣются отверстія; однако недостатокъ этотъ повидимому маловаженъ. Въ Англіи въ послѣднее время стали избѣгать устройства такихъ воротъ; теперь даже большія шлюзныя ворота дѣлаютъ тамъ съ перемѣннымъ давленіемъ воды снизу вверхъ; ихъ въ достаточной степени загружаютъ балластомъ такъ, что при самомъ высокомъ горизонте воды сами они всплывать не могутъ; при низкомъ же горизонте воды давленіе на пяты довольно велико.

Для того, чтобы не было слишкомъ большого уменьшенія вѣса воротъ можно верхнюю часть ихъ сдѣлать съ одиночной обшивкой, потому что ближе къ поверхности воды давленіе ея не велико, такъ что здѣсь достаточна одна обшивка съ ригелями, расположеннымими сзади ея.

Плавучія ворота могутъ быть сдѣланы кривыми. Если обѣ стороны ихъ представляютъ цилиндрическія поверхности (чер. 46), то ось ихъ совпадаетъ съ кривой равновѣсія силъ. Благодаря болѣе выгодному распределенію усилий на эти ворота требуется меныше материала, чѣмъ на плоскія. Однако въ послѣднее время ворота такой конструкціи не стали примѣнять, потому что для уменьшенія вредного дѣйствія на нихъ сотрясеній и ударовъ, возможныхъ при открываніи, закрываніи ихъ, а равно и при установкѣ, приходится усиливать ихъ настолько, что выгода, указанная выше, почти пропа-

дастъ. Главные же недостатки кривыхъ воротъ заключаются въ томъ, что трудно достигнуть плотнаго соприкасанія воротъ съ кривымъ порогомъ, и въ томъ, что приходится дѣлать въ стѣнахъ шлюза глубокія ниши, которыя ослаблютъ каменную кладку какъ разъ въ томъ мѣстѣ, где расположены отверстія для впуска и выпуска воды. Недоставки кривыхъ воротъ можно уменьшить, если внутреннюю сторону ихъ сдѣлать плоской, а внѣшнюю по цилиндрической поверхности (черт. 47).

Вследствіе того, что кривыя ворота имѣютъ вышеуказанные недостатки, очень большимъ воротамъ стали теперь придавать трапециoidalное сѣченіе. Внутренняя обшивка въ нихъ дѣлается плоской, а внѣшняя, передающая давленіе воды на ригели, въ горизонтальной проекціи имѣетъ форму трапеціи. Такъ какъ ригели находятся въ условіяхъ балки, опирающейся на вереяльный и створный столбъ, то наибольшимъ изгибающимъ моментамъ, появляющимся по серединѣ, должна соответствовать наибольшая высота балки;—отсюда и получились ворота въ формѣ трапеціи (черт. 48). Вместо этого воротамъ можно придать форму, соответствующую брусу равнаго сопротивленія, если расположить ригели по кривой, какъ указано на черт. 49.

*Фасадъ воротъ.* Въ фасадѣ ворота почти всегда представляютъ прямоугольникъ; только въ исключительныхъ случаяхъ примѣняются ворота, нижняя сторона которыхъ сдѣлана по кривой, соответствующей дну шлюза.

**§ 35. Силы, дѣйствующія на створчатыя ворота.** На ворота дѣйствуютъ слѣдующія силы:

- а) напоръ воды,
- б) давленіе воды, направленное снизу вверхъ,
- с) удары судовъ и волнъ,
- д) удары и сотрясенія при открываніи и закрываніи,
- е) собственный вѣсъ воротъ.

Силы эти вызываютъ со стороны стѣнъ и короля реакціи, дѣйствующія на полотно воротъ. Эти реакціи будутъ разсмотрѣны въ слѣдующемъ параграфѣ.

а) Напоръ воды всегда дѣйствуетъ нормально къ поверхности воротъ; если боковая поверхность воротъ вертикальна, то напоръ воды направленъ горизонтально.

На глубинѣ  $y$  ниже горизонта воды на элементарную площадку, высота которой равна  $dy$ , а измѣреніе перпендикулярное плоскости чертежа (черт. 50) равно единицѣ длины, дѣйствуетъ горизонтально давленіе  $dW = \gamma \cdot y \cdot dy$ . Здѣсь  $\gamma$  означаетъ вѣсъ единицы объема воды.

Для каналовъ и рѣкъ можно положить  $\gamma = 1000$  кил. въ к. м.

для морской воды . . . . .  $\gamma = 1026$  " "

На глубинѣ  $y$  ниже горизонта воды на элементъ, высота котораго равна единицѣ длины, давленіе воды

$$z = \frac{dW}{dy} = \gamma y \quad \dots \dots \dots \dots \dots \dots \quad (1).$$

Если для каждой глубины нанести на чертежъ эту величину въ видѣ горизонтальной ординаты и соединить концы этихъ ординатъ, то получится (черт. 50) прямая линія, уравненіе которой  $z = \gamma y$ .

При  $\gamma = 1$  эта прямая образуетъ съ вертикалью уголъ  $45^{\circ}$ .

Давленіе воды на отрѣзокъ высотою  $a = y_2 - y_1$  будетъ

$$\begin{aligned} W_{y_1}^{y_2} &= \gamma \int_{y_1}^{y_2} y dy = \frac{\gamma}{2} [y_2^2 - y_1^2] = \frac{\gamma}{2} (y_2 - y_1) (y_2 + y_1) = \\ &= \frac{\gamma a (y_2 + y_1)}{2} = F_{y_1}^{y_2}. \end{aligned}$$

$F_{y_1}^{y_2}$  есть площадь заштрихованной трапеци, соответствующей отрѣзку высотою  $a$  (черт. 50). Легко видѣть, что равнодѣйствующая  $W$  проходитъ черезъ центръ тяжести трапеци. Вся площадь *тпо* называется площадью давленія.

Если вмѣсто  $\gamma y$  вездѣ нанести  $y$ , то получится площадь, вѣсъ которой равенъ напору воды. Далѣе будутъ наноситься на чертежъ только величины  $y$  (черт. 50 и 51).

Со стороны нижняго бьефа давленіе воды дѣйствуетъ въ обратномъ направленіи. Давленіе это также можетъ быть

представлено въ видѣ прямоугольнаго треугольника, оба катета котораго равны глубинѣ, измѣренной отъ горизонта нижняго бьефа до нижняго ребра воротъ. На черт. 51 представлено это давленіе графически. Треугольникъ  $r p q$  представляеть напоръ воды со стороны нижняго бьефа, а треугольникъ  $t o p$ —даетъ напоръ со стороны верхняго бьефа. Изъ чертежа видно, что  $\triangle r p q \cong \triangle r s o$ , такъ что давленіе на площадь  $p n$  представится въ видѣ прямоугольника  $p r s n$ .

Слѣдовательно на площадку, расположенную въ предѣлахъ нижней воды и имѣющу высоту  $dy$ , давленіе равно

$$dW = \gamma y dy - \gamma(y - h_2) dy = \gamma \cdot h_2 dy;$$

$$\frac{dW}{dy} = z' = \gamma h_2.$$

Такимъ образомъ ниже горизонта нижняго бьефа давленіе на единицу площади остается постояннымъ и равно разницѣ горизонтовъ верхняго и нижняго бьефа, умноженной на  $\gamma$ . Площадь давленія на черт. 51 заштрихована по краямъ.

Давленіе воды направлено нормально къ той поверхности, на которую оно дѣйствуетъ. Если это будетъ плоскость, то оно нормально къ послѣдней; при сводчатомъ же очертаніи воротъ давленіе на каждую элементарную площадку направлено по радиусу кривизны. Если сводъ назначенъ по дугѣ круга, то направленія всѣхъ давленій пересекаются въ центрѣ круга; черезъ эту точку проходитъ, слѣдовательно, и равнодѣйствующая давленій.

b) *Давленіе воды, направленное снизу вверхъ.* Нижняя грань воротъ располагается со стороны верхняго бьефа; поэтому давленіе воды на ворота снизу вверхъ будетъ (черт. 52)

$$A = \gamma \cdot h_1 d \cdot l,$$

гдѣ  $l$  означаетъ длину, а  $d$  толщину полотна воротъ. Если  $d$ —перемѣнное, то вместо  $l \cdot d$  надо ввести площадь горизонтальной проекціи воротъ; если обозначить площадь эту черезъ  $F$ , то

$$A = \gamma h_1 F.$$

Если ворота сдѣланы только съ одной обшивкой, то вѣсъ воды со стороны нижняго бьефа загружаетъ самый нижній ри-

тель, а следовательно и ворота. Весь воды, действующий сверху внизъ,  $G' = \gamma \cdot e F$ , а потому давление снизу вверхъ

$$A = \gamma F(h_1 - e) = \gamma F h_2.$$

Подобнымъ образомъ въ случаѣ плавучихъ затворовъ съ двойной обшивкой, изъ величины  $\gamma h_1 F$  надо вычесть весь воды, заключенной во внутренней полости воротъ.

Вліяніе давленія воды снизу вверхъ на ворота съ одиночной обшивкой ничтожно. На оборотъ въ случаѣ плавучихъ затворовъ оно можетъ достигнуть значительной величины, но во всякомъ случаѣ должно быть менѣе собственного вѣса воротъ; въ противномъ случаѣ ворота могутъ сами всплыть на поверхность.

с) Удары судовъ о ворота вообще случаются рѣдко, но могутъ иногда вызвать въ нихъ значительныя дополнительныя напряженія, которыя нельзя опредѣлить точно. Для приблизительного же расчета можно примѣнить слѣдующій способъ: если двѣ массы  $M_1$  и  $M_2$  движутся со скоростями  $U_1$  и  $U_2$ , то послѣ неупругаго удара общая скорость ихъ

$$U = \frac{M_1 U_1 + M_2 U_2}{M_1 + M_2}. \quad \text{т.к. } U_2 = 0, \text{ то} \\ \underline{(M_1+M_2)U^2 = \frac{M_1^2 U_1^2}{2(M_1+M_2)}}$$

Потеря живой силы составляетъ

$$\mathfrak{B} = \frac{M_1 M_2}{(M_1 + M_2)} \cdot \frac{(U_1 - U_2)^2}{2}.$$

Въ данномъ случаѣ скорость одной массы, т. е. массы воротъ  $M_2$  равна нулю, следовательно

$$\mathfrak{B} = \frac{M_1 M_2 U_1^2}{2(M_1 + M_2)}.$$

Оставшійся послѣ удара запасъ живой силы

$$\mathfrak{R} = \frac{M_1^2 U_1^2}{2(M_1 + M_2)}$$

превратится въ механическую работу, которая будетъ производиться давлениемъ  $D$  до тѣхъ поръ, пока массы  $M_1$  и  $M_2$  не остановятся;  $D$  есть сила, действующая на пару полотенъ

воротъ или соответственно на одно полотно и равная давлению судна, масса которого  $M_1$ , и которое двигалось до удара со скоростью  $U_1$ . Если путь, пройденный судномъ послѣ удара до полной остановки, обозначить черезъ  $s$  и предположить, что во время удара измѣненіе  $D$  отъ  $O$  до  $D_{max}$  и потомъ опять до  $O$  совершаются по закону прямой линіи, то полная работа силы  $D$  будетъ  $\mathcal{A} = \frac{Ds}{2}$ . Работа эта равна оставшейся послѣ удара живой силѣ. Слѣдовательно:  $\frac{Ds}{2} = \frac{M_1^2 U_1^2}{2(M_1 + M_2)}$

$$D = \frac{M_1 U_1^2}{s} \left( \frac{M_1}{M_1 + M_2} \right) \quad \dots \dots \dots \quad (2).$$

Если обозначить черезъ  $Q_1$  и  $Q_2$  вѣса тѣль, массы которыхъ  $M_1$  и  $M_2$ , то  $Q_1 = M_1 g$  и  $Q_2 = M_2 g$  т. е.  $\frac{M_1}{M_1 + M_2} = \frac{Q_1}{Q_1 + Q_2}$  и

$$D = \frac{Q_1 U_1^2}{g s} \left( \frac{Q_1}{Q_1 + Q_2} \right) \quad \dots \dots \dots \quad (2^{\circ}).$$

На практикѣ можно положить  $\frac{Q_1}{Q_1 + Q_2}$  равнымъ 1, тогда съ достаточной точностью

$$D = \frac{Q_1 U_1^2}{g s} = \frac{Q_1 U_1^2}{9,81 \cdot s} \quad \dots \dots \quad (3).$$

$Q_1$  и  $U_1$  можно считать известными; путь  $s$  можно определить при некоторыхъ допущеніяхъ въ зависимости отъ  $U_1$ . Положимъ, судно ударяетъ въ оба створныхъ столба воротъ по направленію длины шлюза, и при томъ ударъ распредѣляется на два ригеля, тогда  $D$  вызоветъ въ обоихъ ригеляхъ усилия  $P = \frac{D}{2 \sin \alpha}$  (здѣсь  $\alpha$  есть уголъ, составляемый гранью порога съ линіей перпендикулярной къ оси шлюза; см. чер. 53). Подъ вліяніемъ силы  $P$  ригель укоротится на  $\lambda$ . Если длина ригеля (т. е. ширина воротъ) —  $l$ , площадь поперечного сѣченія его —  $F$ , модуль упругости —  $E$ , то  $\lambda = \frac{l \cdot P}{E F} = \frac{l D}{2 E F \sin \alpha}$ .

ч. 96-2)

Въ тоже время должно быть  $\lambda = s \cdot \sin \alpha$ , то есть  $s = \frac{\lambda}{\sin \alpha}$ .

$$s = \frac{Dl}{2EF \sin^2 \alpha} \quad \dots \dots \dots \dots \dots \dots \quad (4).$$

Если подставить значение  $s$  въ уравненіе (3), то получится

$$D = \frac{Q_1 U_1^2 2 EF \sin^2 \alpha}{g \cdot Dl}, \text{ откуда}$$

$$D = U_1 \sin \alpha \sqrt{\frac{2 EF Q_1}{gl}} \quad \dots \dots \dots \dots \dots \dots \quad (5).$$

По формулѣ (5) можно опредѣлить силу удара, если известна скорость судна  $U_1$  до удара.

*Примѣръ.* Положимъ:  $Q = 500$  тн.,  $F = 100$  сант.<sup>2</sup>,  $E = 2000$  тн. сант.<sup>-2</sup>,  $l = 4$  м.,  $g = 9,81$  м.,  $\sin \alpha = 1/4$ ; тогда

$$D = \frac{U_1}{4} \sqrt{\frac{2 \cdot 2000 \cdot 100 \cdot 500}{9,81 \cdot 4}} = 564 U_1.$$

Если  $U_1 = 0,2$  м., то  $D = 112,8 \sim 113$  тн.

Выше было принято, что сила удара  $D$  распредѣляется только на одну пару ригелей; если же судно ударяется въ ворота между двумя парами ригелей, такъ что обѣ они начинаютъ работать, то за  $F$  надо принять сумму поперечныхъ сѣченій обоихъ ригелей или иѣкоторую часть этой суммы.

Можно также опредѣлить наибольшую скорость  $U_1$  судна, которая не вызываетъ еще въ ригеляхъ опасныхъ напряженій. Согласно предыдущему  $P = \frac{D}{2 \sin \alpha}$ , а изъ уравненія (5)

$$P = U_1 \sqrt{\frac{EF Q_1}{2 gl}} \quad \dots \dots \dots \dots \dots \dots \quad (6).$$

Подкоренное количество известно; известна также наибольшая допускаемая величина ломающей силы  $P$ . Отсюда получится наибольшая допускаемая скорость  $U_1$ . — Предѣльное значеніе  $P$  въ этомъ расчетѣ можно назначить также по допускаемому напряженію  $K$  для простого сжатія.

Наибольшее напряжение на сжатіе въ съченіи ригеля будеть

$$N = \frac{P}{F} = U_1 \sqrt{\frac{EQ_1}{2Fgl}},$$

и если  $N$  не должно превосходить величины  $K$ , то изъ формулы для  $U_1$  слѣдуетъ

$$U_1 = K \sqrt{\frac{2Fgl}{EQ_1}} \dots \dots \dots \dots \dots \dots \quad (7).$$

По формуламъ (6) и (7) получаются различные величины допускаемой скорости  $U_1$  смотря по тому, вводится ли въ расчетъ предѣльное значеніе ломающей силы или наибольшее допускаемое напряженіе при простомъ сжатіи. Конечно изъ полученныхъ величинъ надо принять меньшую.

Рекомендуется вводить въ разсчетъ  $K$  и  $E$  въ тоннахъ на кв. сант.,  $F$  въ сант.,  $Q_1$  въ тоннахъ,  $g$  и  $l$  въ сантиметрахъ. Положимъ  $K=1 \frac{\text{тн.}}{\text{сант.}^2}$ ,  $E=2000 \frac{\text{тн.}}{\text{сант.}^2}$ ,  $F=100 \text{ сант.}^2$ ,  $Q=500 \text{ тн.}$ ,  $l=400 \text{ сант.}$   $g=981 \text{ сант.}$ , тогда

$$\text{Max } U_1 = 1 \sqrt{\frac{2 \cdot 100 \cdot 981 \cdot 400}{2000 \cdot 500}} = 8,9 \text{ сант.} \sim 9 \text{ сант.}$$

*Удары волнъ* иногда дѣйствуютъ на такъ называемыя переднія ворота шлюза; силу удара можно опредѣлить только на основаніи наблюденій въ данномъ мѣстѣ.

Удары эти особенно опасны для обшивки; поэтому послѣднюю дѣлаютъ иногда значительно сильнѣе, чѣмъ это оказывается необходимымъ по расчесчту, въ которомъ сила удара волнъ не принята во вниманіе. Рекомендуется придерживаться размѣровъ, пропрѣренныхъ опытомъ.

d) *Собственный вѣсъ воротъ*. Для расчета и проектированія отдѣльныхъ частей воротъ надо знать собственный вѣсъ ихъ; отъ вѣса воротъ зависятъ напряженія въ частяхъ стѣнъ, прилегающихъ къ воротамъ. Вѣсъ воротъ бываетъ различенъ въ зависимости отъ материала, конструкціи, высоты и ширины ихъ.

Точныхъ формулъ для определенія вѣса воротъ не имѣется. Для приближенного же определенія вѣса можно пользоваться слѣдующими данными:

1. Весь обшивки. Можно принять:

а) въ шлюзахъ внутреннихъ сообщеній весь одиночной обшивки изъ листового желѣза  $g' = 70 - 80$  кил. на 1 кв. м.

б) въ шлюзахъ внутреннихъ сообщеній весь деревянной обшивки  $g' = 80 - 90$  кил. на 1 кв. м.

с) въ морскихъ шлюзахъ при двойной обшивкѣ для каждой изъ нихъ можно положить  $g' = 120 - 130$  кил. на кв. м.

2. Весь рамы. Исчислениe вѣса нѣсколькихъ воротъ дало различныя значенія его на 1 кв. мет., что зависитъ отъ расположения ригелей и искусства проектирующаго. При этомъ оказалось, что весь  $g''$  воротъ различной высоты, но равной ширины и притомъ одинаковой конструкціи на 1 квад. мет. почти одинъ и тотъ же. Повидимому  $g''$  находится въ линейной зависимости отъ ширины  $l$  полотна воротъ и очень мало зависитъ отъ высоты\*).

Для воротъ въ шлюзахъ внутреннихъ сообщеній весь рамы на 1 кв. мет. можно принять въ килогр.

$g'' =$  отъ 25  $l$  до 35  $l$ .  
для морскихъ шлюзовъ . . . . .  $g'' =$  отъ 20  $l$  до 30  $l$ .

Здѣсь  $l$  означаетъ ширину полотна воротъ въ метрахъ.

$$p = 70 + 25l \text{ кг/м}^2$$

### § 36. Реакція стѣнъ.

а) *Реакція при закрытыхъ воротахъ.* Нагрузка на ворота вызываетъ реакцію со стороны боковыхъ стѣнъ и короля. Определеніе этихъ реакцій весьма важно для расчета стѣнъ и воротъ. Въ горизонтальной проекціи ворота представляютъ трехшарнирную арку, если они не соприкасаются съ королемъ, т. е. опираются только на стѣны. При такихъ условіяхъ легко определить реакцію стѣнъ.

Если давленіе воды =  $W$ , стрѣла створа =  $f$ , уголъ створа =  $\alpha$ , то

$$H = R = \frac{Wl}{2f}.$$

Если нижнее ребро воротъ расположено на  $h_1$  ниже горизонта воды верхняго бьефа и на  $e$  ниже горизонта воды

\* ) Данные эти и большая часть нижеслѣдующихъ расчетовъ шлюзовыхъ воротъ заимствованы у Landsberg'a „Die eisernen Stemmthore der Schiffsschleusen“.

нижняго бьефа, такъ что разность горизонтовъ  $h_2 = h_1 - e$ , то (черт. 51 и 53)

$$W = \gamma \cdot l \left[ \frac{h_2^2}{2} + h_2 \cdot e \right] = \frac{\gamma l h_2}{2} [h_2 + 2e]$$

$$W = \frac{\gamma l h_2}{2} [h_2 + e + e] = \frac{\gamma l}{2} (h_1 - e)(h_1 + e)$$

Силы  $H$  и  $R$  будут равнодействующими всѣхъ силъ, передающихся на створный и вереальный столбы, и расположены на той же высотѣ, какъ и  $W$ , т. е. на высотѣ центра тяжести площади давленія.

Въ дѣйствительности же давленіе, принимаемое отъ воды воротами, будетъ уравновѣшиваться не только реакціями створа и стѣнъ, но еще и реакцией короля ( $D$ ) т. е. силами  $P$  и  $D$ , гдѣ  $P$  есть равнодѣйствующая реакція  $H$  и  $R$ . Это возможно только въ томъ случаѣ, если  $P$  приложено выше  $W$  на разстояніи  $r$  отъ  $D$  (черт. 54). Въ данномъ случаѣ  $W$  и  $w$  известны, не известны  $P$ ,  $D$  и  $r$ . Для опредѣленія этихъ трехъ неизвестныхъ условія равновѣсія твердаго тѣла даютъ два уравненія:

$$W = P + D, \quad W, w = P, r,$$

Чѣмъ менѣе  $D$ , тѣмъ ближе другъ къ другу точки приложения силъ  $P$  и  $W$ ; при  $D=0$  онѣ совпадаютъ. Точныя значенія силъ  $D$  и  $P$  можно найти только на основаніи опредѣленія деформаціи воротъ, что зависитъ отъ конструкціи по-слѣднихъ. Деформацію воротъ мы не можемъ опредѣлить точно; поэтому при расчетѣ силой  $D$  обыкновенно пренебрегаютъ и значенія  $H$  и  $R$  опредѣляютъ по формулѣ (9). Послѣднія получается во всякомъ случаѣ болѣе дѣйствительныхъ; сдѣланное предположеніе будетъ въ запасъ прочности, потому что оно соотвѣтствуетъ тому случаю, когда всѣдѣствіе повы-

шения температуры ширина воротъ на столько увеличится, что нижнее ребро ихъ не будетъ соприкасаться съ королемъ.

Можно допустить, что силы  $H$  и  $R$  по длине створного и вереяльного столбовъ распредѣляются по тому же закону, какъ и давленіе воды  $W$ . Впрочемъ для воротъ известной конструкціи это распредѣленіе легко опредѣлить. Если между створнымъ и вереяльнымъ столбами назначены горизонтальные ригели, то давленіе на каждый ригель можно принять равнымъ той части общаго давленія, которая соотвѣтствуетъ площади, ограниченной горизонтальными линіями, проведенными черезъ середины соотвѣтствующихъ панелей, такъ что на ригель I дѣйствуетъ давленіе, представленное треугольникомъ  $abc$ , на ригель II—трапецией  $bcd e$  и т. д., на нижній рамный брусь—прямоугольникомъ  $hikl$  (черт. 55). Такое предположеніе не согласуется строго съ дѣйствительностью, но во многихъ случаяхъ практики даетъ достаточно точные результаты. Ниже мы дадимъ еще другой способъ расчета. Если же между верхнимъ и нижнимъ рамными брусьями поставлены вертикальныя стойки, то на каждую изъ послѣднихъ дѣйствуетъ давленіе воды, которое легко опредѣлить на основаніи предыдущаго (§ 35, a). Если разстояніе между стойками =  $a$ , то давленіе на каждую изъ нихъ

$$W = \frac{\gamma a}{2} (h_1^2 - e^2) \dots \dots \dots \quad (10).$$

Реакціи при такой конструкціи воротъ можно опредѣлить точно. Стойки по закону рычага передаютъ силы  $W$  на верхній и нижній рамные брусья, на концахъ которыхъ будуть вызваны усиленія  $H$  и  $R$ ; точное значеніе послѣднихъ легко опредѣлить. (черт. 56). Можно вполнѣ расчитывать на то, что нижній рамный брусъ будетъ плотно прилегать къ королю, такъ что послѣдній приметъ на себя все усиленіе, которое передается на первый.

Каждая стойка передаетъ на верхній и соотвѣтственно на нижній рамный брусъ усиленіе (черт. 56).

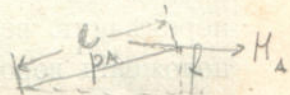
$$A = \frac{W \cdot x_o}{h_1} = \frac{\gamma a}{2 h_1} (h_1^2 - e^2) x_o$$

$$B = \frac{W(h_1 - x_o)}{h_1} = \frac{\gamma a}{2} \frac{(h_1^2 - e^2)}{h_1} (h_1 - x_o)$$

Следовательно нагрузку на единицу длины ригелей можно принять

$$p_A = \frac{\gamma}{2h_1} (h_1^2 - e^2) x_o$$

$$p_B = \frac{\gamma}{2} \frac{h_1^2 - e^2}{h_1} (h_1 - x_o)$$



и реакції опоръ

$$H_A = R_A = \frac{p_A l^2}{2 f}, H_B = R_B = \frac{p_B l^2}{2 f}$$

Если можно пренебречь обратнымъ напоромъ воды со стороны нижняго бьефа, т. е.  $e=0$ , то  $x_o = \frac{h_1}{3}$ , слѣдовательно

$$A = \frac{\gamma a h_1^2}{6}, \quad B = \frac{\gamma a h_1^2}{3}, \quad p_A = \frac{\gamma h_1^2}{6}, \quad p_B = \frac{\gamma h_1^2}{3},$$

$$H_A = R_A = \frac{\gamma h_1^2 l^2}{12 f}, \quad H_B = R_B = \frac{\gamma' h_1^2 l^2}{6 f}.$$

$H_b$  и  $R_b$  равны нулю, если нижний брусья соприкасается съ королемъ.

b) Реакции при открытых воротах.

*Реакція пятника и гальванта.* Въ томъ случаѣ, когда ворота закрыты, каждый пятникъ долженъ принимать на себя вѣсъ соответствующаго полотна, потому что вертикальная реакція передается на ворота только черезъ пятники.

При открытыхъ воротахъ вертикальная составляющая давленія на пятникъ (черт. 57).

$$V = G - \mathfrak{A} \dots \dots \dots \dots \dots \dots \dots \dots \dots \quad (11)$$

здесь  $\mathfrak{K}$  въесь воротъ,  $\mathfrak{A}$ —уменьшеніе въса вслѣдствіе погруженія ихъ въ воду.

Усилие  $Z$  действующее въ плоскости воротъ на гальс-  
бантъ по черт. 57.

Послѣдняя сила въ планѣ разлагается по направленіямъ тяжей, закрѣпляющихъ гальсбантъ. Если поставлено болѣе двухъ анкеровъ, то задача разложенія силы  $Z$ —неопределенна; въ случаѣ же примѣненія двухъ анкеровъ усилю, дѣйствующее на каждый изъ нихъ, можно опредѣлить точно при каждомъ положеніи воротъ.

Обозначимъ усилю, дѣйствующую на анкеры透过  $S$  и  $T$ ; перемѣнную величину угла вращенія для нѣкотораго средняго положенія воротъ—черезъ  $\varphi$ ; уголъ между обоими анкерами—черезъ  $\beta$ ; уголъ, составленный осью одного анкера съ нормальною къ продольной оси шлюза—черезъ  $\gamma$ ; уголъ, составленный другимъ анкеромъ съ осью воротъ въ открытомъ положеніи послѣднихъ—черезъ  $\delta$ ; тогда  $\beta, \gamma, \delta, \alpha$ —постоянны и (черт. 58).

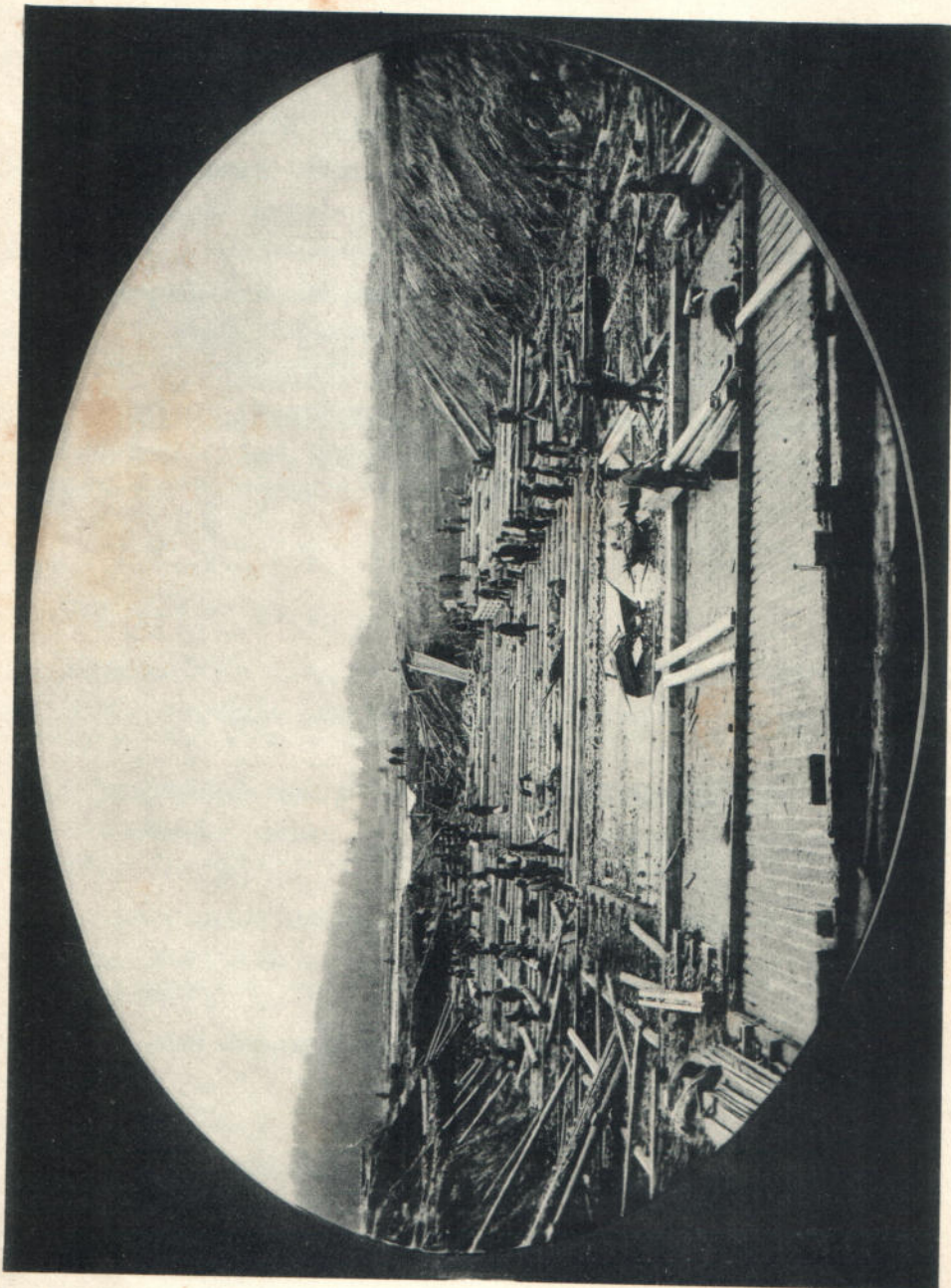
$$S=Z \frac{\sin [90-(\varphi+\alpha)+\delta]}{\sin \beta}, \quad T=Z \frac{\sin (\gamma+\varphi+\alpha)}{\sin \beta} \dots \quad (13)$$

$\sin \beta$  на практикѣ получается всегда положительнымъ, поэтому  $S$  и  $T$  будутъ растягивать анкеры въ томъ случаѣ, если числители получатся положительными; наоборотъ  $S$  и  $T$  будутъ сжимать анкеры, если числители отрицательны. Усилие  $S$  будетъ отрицательнымъ, если  $90-(\varphi+\alpha)+\delta > 180^\circ$ ; это возможно только въ томъ случаѣ, когда  $T$  расположено внутри остраго угла, образованнаго продолженіемъ черезъ  $O$  линій, соотвѣтствующихъ двумъ крайнимъ положеніямъ воротъ. Усилие  $T$  получится отрицательнымъ при  $\gamma+\alpha+\varphi > 180^\circ$ , что возможно только въ томъ случаѣ, если  $S$  лежитъ въ предѣлахъ указаннаго выше угла. Поэтому если анкеры должны работать только на растяженіе, то они должны по крайней мѣрѣ совпадать съ продолженіемъ крайнихъ положеній воротъ. Если ось воротъ совпадаетъ съ направленіемъ  $S$ , то  $T=0$  и  $S=Z$ , а если ось воротъ совпадаетъ съ направленіемъ  $T$ , то наоборотъ  $S=0$  и  $T=Z$ .

На черт. 58 представлены графически значения  $S$  и  $T$  для двухъ крайнихъ положеній воротъ и одного средняго.

Не надо забывать того, что и пяты подвержены горизонтальному давленію  $Z$ , потому что условіе равновѣсія воротъ

Укладка половъ на шлюзѣ Св. Омы.



требуетъ, чтобы сумма всѣхъ горизонтальныхъ силъ равнялась нулю. Величину  $Z$  легко опредѣлить графически, какъ это указано на чертежѣ 59. Если  $Q$  есть равнодѣйствующая  $G$  и  $A$ , то равнодѣйствующая  $P$  силь  $Z$  и  $Q$  должна равняться равнодѣйствующей реакціи пятника.

**§ 37. Краткій выводъ формулъ для расчета неразрѣзныхъ балокъ.** Нѣкоторые элементы шлюзовыхъ воротъ расчитываются какъ неразрѣзныя балки. Во избѣжаніе повтореній въ дальнѣйшемъ изложеніи приведемъ здѣсь необходимыя формулы и въ случаѣ надобности ниже будемъ ссылаться на этотъ параграфъ.

Зависимость между тремя моментами  $M_n$ ,  $M_{n+1}$ ,  $M_{n+2}$ , взятыми на трехъ непосредственно слѣдующихъ другъ за другомъ опорахъ, для неразрѣзанной балки постоянного сѣченія выражается слѣдующимъ образомъ: \*)

$$M_n l_n + 2 M_{n+1} (l_n + l_{n+1}) + M_{n+2} l_{n+1} = 6 \Omega_n \frac{c_n}{l_n} + 6 \Omega_{n+1} \frac{c'_{n+1}}{l_{n+1}} + 6 EI (\operatorname{tg} \beta_{n+1} - \operatorname{tg} \beta_n) \dots \dots \dots \dots \dots \dots \quad (14).$$

Здѣсь

$\Omega_n$  — есть площадь линіи  $D_n C D_{n+1}$  момента простой балки  $D_n D_{n+1}$ ;

$c_n$  — разстояніе центра тяжести ея до опоры  $D_n$ ;

$\Omega_{n+1}$  — площадь линіи  $D_{n+1} C' D_{n+2}$  момента простой балки  $D_{n+1} D_{n+2}$ ;

$c'_{n+1}$  — разстояніе центра тяжести ея до опоры  $D_{n+2}$ ;

$\beta_n$  и  $\beta_{n+1}$  означаютъ углы наклоненія къ оси  $x$ -овъ прямыхъ, соединяющихъ двѣ смежныя опорныя точки.

Если всѣ опоры неразрѣзной балки лежать на одной прямой, то  $\beta_{n+1} = \beta_n$ , и послѣдній членъ правой части основного уравненія, приведенного выше, пропадаетъ.

$\Omega_n c_n$  есть статическій моментъ площади  $D_n C D_{n+1}$  относительно точки  $D_n$ ;

$\Omega_{n+1} c'_{n+1}$  есть статическій моментъ площади  $D_{n+1} C' D_{n+2}$  относительно точки  $D_{n+2}$ .

\*) Л. Д. Проскуряковъ. „Строительная механика“ стр. 149.

Обозначая моментъ простой балки  $D_n D_{n+1}$ , взятый на разстояні  $x$  (см. черт. 60) отъ опоры  $D_n$  черезъ  $m_n$  и моментъ балки  $D_{n+1} D_{n+2}$ , взятый на разстояні  $x$  отъ опоры  $D_{n+1}$ , черезъ  $m_{n+1}$  находимъ

$$\Omega_n \cdot c_n = \int_0^{l_n} m_n \cdot x \cdot dx$$

$$\Omega_{n+1} c'_{n+1} = \int_0^{l_{n+1}} m_{n+1} (l_{n+1} - x) dx =$$

$$= l_{n+1} \int_0^{l_{n+1}} m_{n+1} dx - \int_0^{l_{n+1}} m_{n+1} \cdot x \cdot dx.$$

Подставляя полученные значения въ уравненіе (14), при  $\beta_n = \beta_{n+1}$  находимъ

$$\left. \begin{aligned} M_n l_n + 2 M_{n+1} (l_n + l_{n+1}) + M_{n+2} l_{n+1} &= \\ = \frac{6}{l_n} \int_0^{l_n} m_n \cdot x \cdot dx + 6 \int_0^{l_{n+1}} m_{n+1} \cdot x \cdot dx - \frac{6}{l_{n+1}} \int_0^{l_{n+1}} m_{n+1} \cdot x \cdot dx & \end{aligned} \right\} (15)$$

Примѣнимъ полученное уравненіе (15) для расчета обшивки воротъ ригельной системы.

а) Расчитываемая часть воротъ расположена выше горизонта нижняго бьефа (черт. 61).

Положительный моментъ для любого сѣченія, взятаго въ пролетѣ  $n$ :

$$m_n = \frac{\gamma y_n}{2} (c_n \cdot x - x^2) + \frac{\gamma}{6} (c_n^2 \cdot x - x^3)$$

Для любого сѣченія пролета  $n+1$

$$m_{n+1} = \frac{\gamma y_{n+1}}{2} (c_{n+1} \cdot x - x^2) + \frac{\gamma}{6} (c_{n+1}^2 \cdot x - x^3)$$

$$m_n = x \left( \frac{\gamma c_n^2}{6} + \frac{\gamma y_n c_n}{2} \right) - \frac{\gamma y_n x x}{2} - \frac{\gamma x^2 \cdot x}{3}$$

Слѣдовательно

$$\int_0^{c_{n+1}} m_{n+1} dx = \frac{\gamma}{2} y_{n+1} \cdot \frac{c_{n+1}^3}{6} + \frac{\gamma \cdot c_{n+1}^4}{6 \cdot 4},$$

$$\int_0^{c_n} m_n x dx = \frac{\gamma y_n}{2} \cdot \frac{c_n^4}{12} + \frac{\gamma c_n^5 \cdot 2}{6 \cdot 15} = \frac{\gamma c_n^4}{6} \left( \frac{y_n}{4} + \frac{2 \cdot c_n}{15} \right)$$

$$\int_0^{c_{n+1}} m_{n+1} x dx = \frac{\gamma c_{n+1}^4}{6} \left( \frac{y_{n+1}}{4} + \frac{2 c_{n+1}}{15} \right)$$

Подставляя найденные величины въ уравненіе (15), находимъ

$$M_n \cdot c_n + 2 M_{n+1} (c_n + c_{n+1}) + M_{n+2} c_{n+1} = \frac{\gamma c_n^3}{60} (15 y_n + 8 c_n) + \\ + \frac{\gamma c_{n+1}^3}{60} (15 y_{n+1} + 7 c_{n+1}). \quad \dots \quad (16).$$

Если ригели поставлены на равныхъ разстояніяхъ т. е.  $c_n = c_{n+1} = c$  то;  $y_n = n \cdot c$ ,  $y_{n+1} = (n+1) \cdot c$ .

$$M_n + 4 M_{n+1} + M_{n+2} = \frac{\gamma c^2}{60} (15 c + 15 y_n + 15 y_{n+1})$$

$$M_n + 4 M_{n+1} + M_{n+2} = \frac{\gamma c^3}{2} (n+1) \quad \dots \quad (17).$$

b) Расчитываемая часть воротъ расположена ниже горизонта воды нижняго бьефа (черт. 62).

Если разность горизонтовъ воды  $= h'$ , то давленіе въ любой точкѣ  $p = \gamma h'$ .

Въ данномъ случаѣ

$$m_n = \frac{\gamma h'}{2} (c_n x - x^2), \quad m_{n+1} = \frac{\gamma h'}{2} (c_{n+1} x - x^2).$$

$$\int_0^{c_{n+1}} m_{n+1} dx = \frac{\gamma h'}{2} \frac{c_{n+1}^3}{6},$$

$$\int_0^{c_n} m_n x \, dx = -\frac{\gamma h' \cdot c_n^4}{24}$$

$$\int_0^{c_{n+1}} m_{n+1} x \, dx = -\frac{\gamma h'}{24} c_{n+1}^4.$$

Такъ что

$$M_n c_n + 2 M_{n+1} (c_n + c_{n+1}) + M_{n+2} c_{n+1} = \frac{\gamma h'}{4} (c_{n+1}^3 + c_{n+1}^3) \dots (18)$$

Если  $c_n = c_{n+1} = c$ , то

$$M_n + 4 M_{n+1} + M_{n+2} = \frac{\gamma h' c^2}{2} \dots (19).$$

с) Зависимость между моментами, взятыми относительно ригелей  $n$ ,  $n+1$ ,  $n+2$ , причемъ ригель  $n+1$  расположень на уровнеѣ воды нижняго бьефа.

Въ данномъ случаѣ (см. черт. 63).

$$m_n = \frac{\gamma y_n}{2} (c_n x - x^2) + \frac{\gamma}{6} (c_{n+1}^2 x - x^3)$$

то же, что для случая (а)

$$\int_0^{c_n} m_n x \, dx = \frac{\gamma c_n^4}{6} \left( \frac{y_n}{4} + \frac{2 c_n}{15} \right)$$

$$m_{n+1} = -\frac{\gamma h'}{2} (c_{n+1} x - x^2)$$

то же, что для случая (б)

$$\int_0^{c_{n+1}} m_{n+1} x \, dx = \frac{\gamma h' c_{n+1}^3}{12}, \quad \int_0^{c_{n+1}} m_{n+1} x \, dx = \frac{\gamma h' c_{n+1}^4}{24}$$

Слѣдовательно

$$M_n c_n + 2 M_{n+1} (c_n + c_{n+1}) + M_{n+2} c_{n+1} = \frac{\gamma h'}{4} (c_{n+1}^3 + c_{n+1}^3) - \frac{7}{60} \gamma c_n^4 \dots (20)$$

Если  $c_n = c_{n+1} = c$ , то

$$M_n + 4M_{n+1} + M_{n+2} = \frac{\gamma c^2}{60} (30h' - 7c) \dots \dots \dots (21).$$

Послѣ опредѣленія опорныхъ моментовъ не трудно найти и давленія на опоры. Какъ это дѣлается, будетъ показано ниже въ § 38 на частномъ примѣрѣ.

### Обшивка.

**§ 38. Разсчетъ обшивки изъ досокъ и волнистаго желяза.** Обшивка (deut. *die Bekleidung*, franz. *le bordé, bordage*, engl. *the skin, the cleading, the covering*) должна принимать на себя напоръ воды и передавать его на элементы остова воротъ; кромѣ того она должна быть водонепроницаемой.

#### a) Расчетъ деревянной обшивки.

Деревянная обшивка на воротахъ состоить изъ досокъ, прикѣпленныхъ вертикально къ горизонтальнымъ ригелямъ; но можно, конечно, доски располагать и горизонтально, прикѣпля ихъ къ вертикальнымъ стойкамъ.

Деревянныя доски, прикѣпленыя вертикально, расчитываются какъ неразрѣзныя балки, опоры которыхъ лежатъ въ одной плоскости, перпендикулярной къ направленію дѣйствующихъ силъ. Въ данномъ случаѣ силы, т. е. напоръ воды, дѣйствуетъ горизонтально, слѣдовательно плоскость опоръ надо считать вертикальной. Предположеніе это не совсѣмъ вѣрно, потому что нѣкоторые ригели, которые и служатъ опорами для обшивки, подъ напоромъ воды могутъ прогнуться; но не смотря на это безъ большой погрѣшности можно сдѣлать указанное предположеніе.

При расчетѣ надо разсматривать самый невыгодный случай, когда нѣтъ обратнаго давленія со стороны нижняго бьефа, и когда уровень воды достигаетъ самаго верхняго ригеля. Полную высоту воротъ, а слѣдовательно и наибольшую разность горизонтовъ воды обозначимъ черезъ  $h$ ; тогда площадь давленія по § 35а будетъ въ видѣ треугольника.

а) *Разстоянія между всіми ригелями одинаково и равно с.*  
 Обозначая ригели т. е. опоры досокъ, находящихся въ условіяхъ неразрѣзныхъ бафокъ, черезъ 0, 1, 2, ...,  $n-1$ ,  $n$ ,  $n+1$ ,  $r$  (черт. 64), можно примѣнить уравненіе (17), выражающее зависимость между тремя опорными моментами неразрѣзной балки:

$$M_n + 4 M_{n+1} + M_{n+2} = \frac{\gamma c^3}{2} (n+1).$$

Моменты на крайнихъ опорахъ досокъ т. е. на верхнемъ и нижнемъ ригеляхъ равны нулю, поэтому примѣнія данное уравненіе послѣдовательно для  $n=0, 1, 2$  и т. д., получимъ достаточное число уравненій для опредѣленія неизвѣстныхъ опорныхъ моментовъ, число которыхъ  $= r-1$ . Укажемъ это на примѣрѣ.

*Примѣръ.* Имѣется 4 ригеля т. е.  $r=3$ ,  $h=3$  с. Моменты на крайнихъ опорахъ  $M_0=M_3=0$ ; примѣніи общую формулу, получимъ для

$$\begin{aligned} n=0 & \quad 4 M_1 + M_2 = \frac{\gamma c^3}{2} \\ n=1 & \quad M_1 + 4 M_2 = \gamma c^3 \\ \text{Отсюда } M_1 = \frac{\gamma c^3}{15} & \quad \text{и } M_2 = \frac{7}{30} \gamma c^3 \end{aligned}$$

Давленія на опоры т. е. на ригели найдутся слѣдующимъ образомъ:

$$\begin{aligned} \frac{\gamma c^2}{2} \cdot \frac{c}{3} - A_0 c &= M_1 = \frac{\gamma c^3}{15} & \text{отсюда } A_0 = \frac{\gamma c^2}{10}, \\ \frac{\gamma 4 c^2}{2} \cdot \frac{2c}{3} - A_0 2c - A_1 c &= M_2 = \frac{7}{30} \gamma c^3 & \text{отсюда } A_1 = \frac{9}{10} \gamma c^2, \\ \frac{\gamma 9 c^2}{2} c - A_0 3c - A_1 2c - A_2 c &= M_3 = 0 & \text{отсюда } A_2 = \frac{24}{10} \gamma c^2, \\ A_3 + A_2 + A_1 + A_0 &= \frac{\gamma \cdot 9c^2}{2} & \text{отсюда } A_3 = \frac{11}{10} \gamma c^2 \end{aligned}$$

Наибольшіе моменты между опорами: въ пролетѣ 01 для сѣченія, лежашаго на  $x$  ниже 0.

$$M'_{x_0} = A_0 x - \frac{\gamma x^3}{6}$$

$M'_{max}$  получится при  $x$ , который опредѣлится изъ уравненія

$$A_0 - \frac{\gamma x^2}{2} = 0 \quad \text{т. е. при } x = \sqrt{\frac{2 A_0}{\gamma}} = \frac{c}{\sqrt[3]{5}} = 0,417 \text{ с.}$$

Слѣдовательно  $M'_{max} = 0,0298 \gamma c^3$

$M_x$  будетъ равенъ нулю при  $x = c \sqrt{0,6} = 0,77 c$ .

Въ пролетѣ 12 для сѣченія, лежащаго на  $x$  ниже опоры 1,

$$M''_x = A_0(c+x) + A_1x - \frac{\gamma(c+x)^3}{6}$$

$M''_{max}$  получится при  $x$ , которое опредѣлится изъ уравненія

$$x+c = \sqrt{\frac{2(A_0+A_1)}{\gamma}} = c\sqrt{2}, \quad \text{т. е. } x=c(\sqrt{2}-1)=0,414 c.$$

$$M''_{max} = A_0c + (A_0+A_1)0,414c - \frac{\gamma c^3}{3}\sqrt{2} = 0,043 \gamma c^3.$$

$M''_x$  будетъ равно нулю при  $x=0,16 c$  и  $x=0,65 c$ .

Въ пролетѣ 23 для сѣченія, лежащаго на  $x$  ниже опоры 2,

$$M'''_x = A_0(2c+x) + A_1(c+x) + A_2x - \frac{\gamma(2c+x)^3}{6}$$

Изъ уравненія  $(2c+x)=c\sqrt{6,8}$   $x=0,61 c$ , при которомъ будетъ

$$M'''_{max} = 0,21 \gamma c^3$$

и  $M'''_x = 0$  при  $x=0,19 c$  и  $x=c$ .

$M_1$  и  $M_2$  будуть отрицательны, а  $M'_{max}$ ,  $M''_{max}$  и  $M'''_{max}$  — положительны. Эпюра моментовъ показана на черт. 65. Наибольшій моментъ по абсолютной величинѣ будетъ надъ ригелемъ 2 (черт. 65).  $M_2 = \frac{7}{30} \gamma c^3 = 0,233 \gamma c^3$

Этотъ моментъ взятъ для одного метра, считая это измѣреніе перпендикулярно къ плоскости черт. 65, т. е. для одного метра ширины полотна воротъ. Для одного сантиметра <sup>наибольшая</sup> наибольшая абсолютная величина момента

$$M'_2 = 0,00233 \gamma c^3 = 2,33 c^3. \quad \text{при } \gamma=1000$$

Въ это выражение  $c$  надо подставить въ метрахъ, и тогда моментъ получится въ *kil. met.*

Или  $M'_2 = (233 c^3) \text{ kg. cm.}$

Если ширина доски  $= b \text{ см.}$ , наибольшее допускаемое напряженіе для дерева  $K^{cg}/q_{cm}$ , то необходимая толщина доски  $d_{cm}$  опредѣлится по формулѣ.

$$\frac{b d^2}{6} = \frac{b \cdot 233 \cdot c^3}{K}$$

При  $K=80 \text{ kg/qcm}$  получается

$$d^2 = 17,5 \text{ cm}^2$$

$$d_{cm} = 4,2 \text{ cm}$$

(если въ послѣднюю формулу подставить  $c$  въ метрахъ, то толщина  $d$  получится въ сантим.).

При $c=1$	м.	$d=4,2$	ст.	круглымъ счетомъ	$d=5$	ст.	$\frac{2}{2}$
» $c=1,5$	»	$d=7,68$	»	»	$d=8$	»	$\frac{3}{1}$
» $c=2,0$	»	$d=11,88$	»	»	$d=12$	»	$\frac{5}{1}$

Въ слѣдующей таблицѣ приведены дѣйствующіе на досчатую обшивку изгибающіе моменты и давленія на ригели (опоры) при различномъ числѣ пролетовъ.

Число пролетовъ.	Моменты надъ ригелями.					Наибольшіе моменты въ пролетахъ.					Давленія на ригели.						
	0	1	2	3	4	5	1	2	3	4	5	0	1	2	3	4	5
2	0	0,125	0	—	—	—	0,008	0,134	—	—	—	0,042	1,25	0,708	—	—	—
3	0	0,067	0,233	0	—	—	0,03	0,043	0,21	—	—	0,10	0,9	2,4	1,1	—	—
4	0	0,09	0,143	0,34	0	—	0,02	0,07	0,078	0,283	—	0,077	1,036	1,86	3,521	1,51	—
5	0	0,081	0,175	0,208	0,445	0	0,024	0,056	0,113	0,104	0,39	0,086	0,986	2,062	2,796	4,681	1,89
	$\gamma c^3$						$\gamma c^3$					$\gamma c^2$					

3) *Разстояніе между ригелями не одинаково.* Обозначимъ разстоянія между ригелями (черт. 66) черезъ  $c_0$ ,  $c_1$ ,  $c_2$ ,  $c_{n-1}$ ,  $c_n$  и разстояніе ригеля  $n$  отъ поверхности воды—черезъ  $y_n$ . Зависимость между тремя опорными моментами  $M_n$ ,  $M_{n+1}$ , и  $M_{n+2}$  выражается уравненіемъ 16:

$$M_n c_n + 2 M_{n+1} (c_n + c_{n+1}) + M_{n+2} c_{n+1} = \\ = \frac{\gamma}{60} [c_n^3 (15 y_n + 8 c_n) + c_{n+1}^3 (15 y_{n+1} + 7 c_{n+1})].$$

Моменты на крайнихъ опорахъ  $M_0=0$  и  $M_n=0$ .

Если составить рядъ подобныхъ уравненій, то число ихъ будетъ равно числу неизвѣстныхъ. Зная опорные моменты, можно опредѣлить моменты для сѣченій, взятыхъ гдѣ-нибудь по серединѣ пролета, и давленія на ригели.

4) *Горизонтальная обшивка изъ деревянныхъ досокъ.* Обшивка въ этомъ случаѣ прикрѣпляется къ вертикальнымъ стойкамъ.

Конструкция эта представляетъ нѣкоторыя выгодаы. Доски обшивки приходять въ негодность быстрѣе всего въ одномъ опредѣленномъ мѣстѣ; а такъ какъ при этой конструкціи всѣ подлежащія смѣнѣ части лежать на одной высотѣ, то при этомъ не приходится выбрасывать такихъ частей, которыя еще достаточно прочны, тогда какъ при вертикальной досчатой обшивкѣ послѣднее почти неизбѣжно. Кромѣ того при горизонтальной обшивкѣ легче смѣнить и доски, поврежденные ударами.

Расчетъ этихъ досокъ очень простъ, потому что каждая изъ нихъ находится въ условіяхъ неразрѣзной балки на  $r$  опорахъ. Опорами ихъ служатъ вертикальныя стойки, которые ставятся обыкновенно на равныхъ разстояніяхъ другъ отъ друга. Нагрузка по всей длинѣ доски остается постоянной; если величину ея на единицу длины обозначить черезъ  $p$ , то для доски, ось которой расположена на разстояніи  $y$  отъ уровня воды,  $p = \gamma \cdot y \cdot b$ ; здѣсь  $b$  означаетъ ширину доски.

Зависимость между тремя опорными моментами:

$$M_n c_n + 2 M_{n+1} (c_n + c_{n+1}) + M_{n+2} c_{n+1} = \frac{p}{4} (c_n^3 + c_{n+1}^3) \dots \quad (22).$$

Если разстоянія между стойками  $c_0 = c_1 = c_2 \dots = c_n = c_{n+1} = c$ , то

$$M_n + 4 M_{n+1} + M_{n+2} = \frac{p c^2}{2} \dots \dots \dots \dots \dots \quad (23).$$

По этой формулѣ легко опредѣлить моменты; впрочемъ соотвѣтствующіе этому случаю моменты и реакціи опоръ можно прямо взять изъ справочной книги „H\u00f6tte“ часть I стр. 384 изданія 1897 г.

### *b) Расчетъ обшивки изъ волнистаго железа.*

Если образующія волнъ расположены вертикально, то для расчета примѣняются формулы, приведенные выше (см.  $\alpha$  и  $\beta$ ).

*Примѣръ.* Въ предыдущемъ примѣрѣ на стр. 119 найдено, что наибольшій моментъ на ширину 1 см обшивки

$$M'_2 = (2,33 c^3 m.) kgm. = (233 c^3 m.) kgcm.$$

При разстоянії между ригелеми  $c=1,5$  м.  $M_2=786,375$  кгсм., а на ширину  $b$  см. полотна воротъ  $m=786,375$ . в кгсм.

Если назначена волна шириною  $b=10$  см., то  $m=7864$  кгсм., и должно быть удовлетворено равенство:  $\frac{J}{a} = \frac{m}{K}$ .

При допускаемомъ напряженіи  $K=500$   $\frac{\text{кн.}}{\text{сант.}^2}$  моментъ сопротивленія одной волны долженъ быть

$$W = \frac{I}{a} = \frac{7864}{500} = 15,73 \text{ см}^3.$$

По сортаменту В. Тильманса (см. „Железные мосты“ Е. О. Патона, томъ I, стр. 27) при длине волнъ 100 мм., высотѣ 80 мм. и толщинѣ 1 мм. моментъ сопротивленія одной волны  $W=4,05$  снт.<sup>3</sup>; при толщинѣ 4 мм. будетъ  $W=4 \cdot 4,05=16,2$  снт.<sup>3</sup>.

Вѣсъ обшивки на 1 кв. метръ=4. 17,5=70 кил.

### § 39. Общія замѣчанія относительно расчета плоской обшивки изъ листового желѣза.

Точный расчетъ плоской обшивки изъ листового желѣза очень труденъ; до сихъ поръ вопросъ этотъ собственно и не решенъ окончательно. Главное затрудненіе при этомъ представляется въ опредѣлениі реакцій на обшивку со стороны цѣлой сѣти взаимно пересѣкающихся балокъ. Для того, чтобы прійти къ выводамъ, примѣнимымъ на практикѣ, поневолѣ приходится дѣлать нѣкоторыя допущенія.—Въ дальнѣйшемъ изложеніи каждая плоская плита разсматривается отдельно. При расчетѣ обшивки надо обращать вниманіе на расположение стыковъ ея. При этомъ различаютъ: *главные стыки* т. е. такие стыки, которые идутъ по всей длине или ширинѣ воротъ и перекрываются такими же накладками, и *второстепенные стыки*, которые не идутъ по всей длине или ширинѣ. Главные стыки бываютъ или горизонтальными, или вертикальными.

1. *Горизонтальные главные стыки.* Стыки эти располагаются надъ каждымъ ригелемъ или же черезъ два ригеля, черезъ три и т. д.

а) При расположении стыковъ надъ каждымъ ригелемъ,

болѣе длинная сторона листа ставится горизонтально, а болѣе узкая—вертикально. Если при этомъ между горизонтальными ригелями вспомогательныхъ вертикальныхъ стоекъ не назначено, то каждый листъ можно расчитывать какъ балку, задѣланную на опорахъ т. е. ригеляхъ; уголъ задѣлки можно принимать неизмѣннымъ и даже равнымъ нулю.

Если же для большей безопасности между ригелями поставлены вспомогательные стойки, то расчетъ значительно усложняется. Для упрощенія вычислений можно вовсе не принимать во вниманіе стоечъ, но тогда толщина листа, опредѣленная расчетомъ, будетъ значительно больше, чѣмъ требуется въ дѣйствительности. Можно также допустить, что листъ свободно опирается всѣми четырьмя кромками; при этомъ опять будетъ значительный запасъ прочности, потому что не принимается во вниманіе связь расчитываемой части съ сосѣдними.

Иногда обшивка составляется изъ отдѣльныхъ листовъ, которые въ дѣйствительности опираются всѣми четырьмя кромками на ригели и стойки, но только съ сосѣдними частями они все-таки соединяются накладками. Въ этомъ случаѣ листы опять расчитываются какъ свободно опирающіеся всѣми краями, тогда какъ въ дѣйствительности они закрѣплены.

b) Если горизонтальные стыки назначаются черезъ два, три и т. д. ригеля, то листы болѣе длинной своей стороной располагаются вертикально. Въ случаѣ отсутствія стоечъ каждый листъ будетъ находиться въ условіяхъ неразрѣзной балки. Здѣсь можно примѣнить тотъ же способъ расчета, какъ и для досокъ, поставленныхъ вертикально (см. стр. 118), хотя для большей точности слѣдуетъ принять во вниманіе и задѣлку концовъ.

Если же между ригелями поставлены стойки, то опять каждую плиту расчитываютъ, не обращая вниманія на закрѣпленіе ея по всѣмъ четыремъ кромкамъ.

2. *Вертикальные главные стыки.* На высокихъ, узкихъ воротахъ иногда располагаютъ стыки вертикально; при этомъ

въ случаѣ необходимости горизонтальные стыки назначаютъ надъ ригелями; для вертикальныхъ же стыковъ никакихъ опоръ не требуется. Желѣзные листы въ этомъ случаѣ расчитываются какъ неразрѣзныя балки.

Итакъ ниже придется разсмотрѣть слѣдующіе случаи расчетовъ:

I. Желѣзный листъ закрѣпленъ на двухъ ригеляхъ. Уголъ задѣлки равенъ нулю.

II. Желѣзный листъ находится въ условіяхъ многопролетной неразрѣзной балки.

III. Желѣзный листъ опирается всѣми четырьмя кромками.

#### § 40. Рассчетъ плоской обшивки изъ листового желѣза.

I. Желѣзный листъ закрѣпленъ вертикально на двухъ ригеляхъ.

Ширина разматриваемаго листа принимается равной одному метру; нагрузка на листъ измѣняется по закону прямой линіи. Нагрузка на часть листа, заключенная между ригелями  $n$  и  $n + 1$ , показана на черт. 67. Реакція ригеля  $n$  равна  $A_n$ , а реакція ригеля  $n + 1$  равна  $B_{n+1}$ .

Тогда

$$A_n = \frac{\gamma c_n h_n}{2} + \frac{\gamma c_n^2}{6} - \frac{M_{n+1} - M_n}{c_n}$$

Здѣсь  $M_n$  и  $M_{n+1}$  означаютъ моментъ въ плоскостяхъ закрѣпленія листа надъ ригелями  $n$  и  $n + 1$ .

Для произвольнаго сѣченія, взятаго на разстояніи  $x$  отъ ригеля  $n$ , моментъ

$$M_x = A_n x - M_n - \gamma h_n \frac{x^2}{2} - \gamma \frac{x^3}{6} = EI \frac{d^2 y}{dx^2}.$$

Послѣ интегрированія получается

$$EI \frac{dy}{dx} = A_n \frac{x^2}{2} - M_n x - \gamma h_n \frac{x^3}{6} - \gamma \frac{x^4}{24},$$

$$EIy = A_n \frac{x^3}{6} - M_n \frac{x^2}{2} - \gamma h_n \frac{x^4}{24} - \frac{\gamma x^5}{120}.$$

Для  $x = c_n$  будеть  $y = 0$  и  $\frac{dy}{dx} = 0$ , то есть

$$0 = \frac{A_n c_n^2}{2} - M_n c_n - \frac{\gamma h_n c_n^3}{6} - \frac{\gamma c_n^4}{24},$$

$$\text{откуда } A_n = \frac{2 M_n}{c_n} + \frac{\gamma h_n c_n}{3} + \frac{\gamma c_n^2}{12}.$$

Приравнивая полученнюе значение  $A_n$  указанному выше, находимъ

$$\frac{2 M_n}{c_n} + \frac{\gamma h_n c_n}{3} + \frac{\gamma c_n^2}{12} = \frac{\gamma c_n h_n}{2} + \frac{\gamma c_n^2}{6} - \frac{M_{n+1} - M_n}{c_n},$$

отсюда слѣдуетъ

$$M_n + M_{n+1} = \frac{\gamma c_n^2 h_n}{6} + \frac{\gamma c_n^3}{12}.$$

При  $x = c_n$  и  $y = 0$ , слѣдовательно

$$0 = \frac{A_n c_n^3}{6} - \frac{M_n c_n^2}{2} - \frac{\gamma h_n c_n^4}{24} - \frac{\gamma c_n^5}{120};$$

при указанномъ выше значеніи  $A$

$$M_{n+1} + 2 M_n = \frac{\gamma}{4} c_n^2 h_n + \frac{7 \gamma c_n^3}{60}.$$

Рѣшая полученные два уравненія, находимъ моменты въ плоскостяхъ закрѣпленія

$$M_n = \gamma \left( \frac{c_n^2 h_n}{12} + \frac{c_n^3}{30} \right), \quad M_{n+1} = \gamma \left( \frac{c_n^2 h_n}{12} + \frac{c_n^3}{60} \right).$$

Для опредѣленія между опорами съченія, для котораго будетъ Maxim.  $M$  надо  $\frac{d M_x}{d x}$  приравнять нулю.

$$M_x = A_n x - M_n - \gamma h_n \frac{x^2}{2} - \gamma \frac{x^3}{6},$$

$$0 = A_n - \gamma h_n x - \gamma \frac{x^2}{2}$$

$$\text{отсюда } x_{max} = -h_n \pm \sqrt{h_n c_n + 0,3 c_n^2 + h_n^2}$$

Если подставить полученное значение  $x$  въ формулу для  $M_x$ , то получится  $M_{max}$ .

Въ большинствѣ случаевъ по абсолютной величинѣ наибольшимъ бываетъ  $M_{n+1}$ ; его и надо принять въ расчетъ.— Если необходимая толщина листа  $= \delta_{\text{смт.}}$ , допускаемое напряженіе  $= K$ , то при ширинѣ листа, равной 1 м.,

$$\frac{100 \delta^2}{6} = \frac{M_{n+1}}{K}$$

Въ предыдущихъ формулахъ  $\gamma$ ,  $c_n$  и  $h_n$  выражены въ метрахъ;  $\gamma=1000$  кил.; моменты взяты въ килогр. мет. Для определения площади съченія моменты удобнѣе выразить въ килогр. сант.

Тогда

$$M_{n+1} = 1000 \left( \frac{c_n^2 h_n}{12} + \frac{c_n^3}{20} \right) 100 \text{ кил. сант.}; \text{ поэтому}$$

$$\frac{100 \delta^2}{6} = \frac{100000 \cdot c_n^2}{60 \cdot K} (5 h_n + 3 c_n)$$

Можно принять  $K=1000$  кил./сант<sup>2</sup>; следовательно

$$\delta_{cm} = 0.316 c_n \sqrt{5 h_n + 3 c_n} \quad \dots \quad (24).$$

Въ эту формулу надо подставить значения  $h_n$  и  $c_n$  въ метрахъ.

Если  $c_n$  по всей высотѣ воротъ постоянно, т. е. ригели поставлены на равныхъ разстояніяхъ с другъ отъ друга, то  $h_n = n \cdot c$ , и формула для  $\delta$  упростится

$$\delta_{cm} = 0,316 c \sqrt{c(5n+3)} \quad \dots \dots \dots \dots \dots \dots \dots \quad (25).$$

Выше приведенный расчетъ сдѣланъ для того случая, когда нѣтъ обратнаго напора воды со стороны нижняго бьефа. Если же этотъ напоръ въ дѣйствительности есть, то на всѣ плиты, расположенные ниже уровня воды нижняго бьефа, будетъ дѣйствовать равномѣрно распределенная нагрузка  $p = -\gamma h'$ ; въ этомъ случаѣ для балки, закрѣпленной на опорахъ

$$M_{max} = \frac{\gamma h' c_n^2}{12} \text{ и}$$

$$M_{max} = -\frac{\gamma h' c_n^2}{12} \text{ in}$$

$$\frac{100 \cdot \delta^2}{6} = \frac{100000 \cdot h' \cdot c_n^2}{k \cdot 12} \doteq \frac{100 \cdot h' \cdot c_n^2}{12}, \text{ откуда}$$

Сюда значения  $c_n$  и  $h'$  надо подставить въ метрахъ;  $h'$  означаетъ разность горизонтовъ верхняго и нижняго бьефовъ. Для всѣхъ плинтъ, расположенныхъ ниже горизонта нижняго бьефа, при  $c_n$  равной величины получается одинаковая толщина  $\delta$ .

*Примѣръ.* Разность горизонтовъ воды  $h' = 4,0$  м., ригелей поставлено 9, разстояніе между ними  $= 0,8$  м. Примѣнія формулу (25) для пяти верхнихъ плитъ, находимъ

$$\delta_1 = 0,316 \cdot 0,8 \cdot \sqrt{0,8 \cdot 3} = 0,39 \text{ cht. } (n=0).$$

$$\delta_2 = 0,316 \cdot 0,8 \cdot \sqrt{0,8 \cdot 8} = 0,64 \text{ cht. } (n=1).$$

$$\delta_3 = 0,8 \text{ ст.}, \delta_4 = 0,95 \text{ снт.}, \delta_5 = 1,1 \text{ снт.}$$

А для трехъ нижнихъ плитъ по формулѣ (26).

$$\delta = 0,707 \cdot 0,8 \sqrt{4} = 1,13 \text{ cht.}$$

Толщину двухъ верхнихъ плитъ можно принять одинаковой и равной 0<sup>7</sup> сант.

II) Плоские листы, опирающиеся на ригели, находятся в условиях неразрываемых балок.

Изгибающие моменты определяются так же, какъ для деревянной обшивки (см. § 38). Если разстояния между всѣми ригелями одинаковы и равны  $c$ , то зависимость между тремя опорными моментами выражается уравнениемъ

$$M_n + 4M_{n+1} + M_{n+2} = \gamma \frac{c^3}{2} (n+1) \dots \dots \dots \quad (27).$$

Если же разстояния между ригелями не равны между собою, то

$$M_n c_n + 2 M_{n+1} (c_n + c_{n+1}) + M_{n+2} c_{n+1} = \frac{\gamma}{60} [c_n^3 (15 y_n + 8 c_n) + c_{n+1}^3 (15 y_{n+1} + 7 c_{n+1})] \quad \dots \quad (28).$$

Здѣсь  $s$  и  $y$  выражены въ метрахъ,  $\gamma=1000$  кил.; значенія моментовъ получаются въ кил. мет.

Толщина листа опредѣляется изъ уравненія

$$\frac{100 \tilde{\sigma}^2}{6} = \frac{M \text{ (кил. сант.)}}{K}.$$

Можно принять  $K=1000$  кил./сант<sup>2</sup>.

Оба уравнения (27) и (28) примениются въ томъ предположеніи, что концы листовъ свободны; въ дѣйствительности же они закрѣплены. Можно однако вести расчетъ, принимая во вниманіе это закрѣпленіе; тогда моменты надъ крайними опорами опредѣляютъ, предполагая уголъ закрѣпленія равнымъ нулю.

Въ предѣлахъ глубины воды въ нижнемъ бьефѣ зависимости между тремя опорными моментами будетъ выражаться уже не уравненіями (27) и (28), а другими, потому что здѣсь нагрузка на единицу длины остается постоянной. Если для упрощенія выкладокъ принять, что уровень воды нижняго бьефа совпадаетъ со стыкомъ, и что моментъ надъ крайней опорой равенъ нулю, то желѣзный листъ будетъ находиться въ условіяхъ неразрѣзной балки, равномѣрно загруженной по всей длини. На черт. 68 такому предположенію соответствуетъ листъ, идущій отъ 4 до 7 ригеля. Для этой части общаго зависимости между тремя опорными моментами выразится уравненіемъ:

$$M_n c_n + 2 M_{n+1} (c_n + c_{n+1}) + M_{n+2} c_{n+1} = \gamma \frac{h'}{4} (c_n^3 + c_{n+1}^3) \dots (29)$$

Согласно сдѣланному выше предположенію для случая, указанного на черт. 68, моменты надъ ригелями 4 и 7 равны нулю.

Если же надъ ригелемъ, совпадающимъ съ поверхностью воды нижняго бьефа, стыка вовсе нѣть, или же, если этотъ стыкъ перекрытъ накладкой, то опорный моментъ нельзя принимать равнымъ нулю. Въ такомъ случаѣ надо взять для расчета общее уравненіе трехъ моментовъ. Для той части воротъ, ригели которой расположены выше уровня воды нижняго бьефа и следовательно испытываютъ давленіе только съ одной стороны (на черт. 68 отъ ригеля 0 до 4), остаются въ силѣ уравненія (27) и (28); для остальной же части—уравненіе (29). При  $c_n = c_{n+1} = c$  уравненіе (29) преобразуется въ уравненіе

$$M_n + 4 M_{n+1} + M_{n+2} = \frac{\gamma h' c^2}{2} \dots \dots \dots \dots \dots \dots \dots \dots (30);$$

здесь  $h'$  означаетъ разность горизонтовъ воды верхняго и нижняго бьефа.

Для трехъ ригелей, изъ которыхъ средній (со значкомъ  $n+1$ ) расположень въ уровнѣ воды нижняго бьефа, т. е. по чертежу 68 для ригелей 3, 4 и 5 зависимость между опорными моментами будеть выражаться уравненiemъ

$$\begin{aligned} M_n c_n + 2 M_{n+1} (c_n + c_{n+1}) + M_{n+2} c_{n+1} \\ = \frac{\gamma h'}{4} (c_n^3 + c_{n+2}^3) - \frac{7}{60} \gamma c_n^3 \quad . . . . . \end{aligned} \quad (31)$$

При  $c_n = c_{n+1} = c$ :

$$M_n + 4 M_{n+1} + M_{n+2} = \frac{\gamma c^3}{60} (30 h' - 7c) \quad . . . . . \quad (32)$$

При помоци указанныхъ уравненій не трудно опредѣлить моменты для сѣченій обшивки, взятыхъ надъ ригелями. Для сѣченій же, взятыхъ между ригелями, моменты опредѣляются тѣмъ же путемъ, какъ и для деревянной обшивки (см. § 38).

*Примѣръ.* Ворота сдѣланы съ 8 ригелями, поставленными на равныхъ разстояніяхъ другъ отъ друга. Пусть  $c = 0,8 \text{ m.}$ ,  $h' = 3,2 \text{ m.} = 4c$ . Расчетъ дѣлается въ томъ предположеніи, что три нижнія панели обшивки расположены ниже горизонта воды нижняго бьефа. Моменты  $M_0$  и  $M_7$  принимаются равными нулю. Получаются слѣдующія уравненія

$$(n=0) \quad 0 + 4M_1 + M_2 = \frac{\gamma c^3}{2},$$

$$(n=1) \quad M_1 + 4M_2 + M_3 = \gamma c^3,$$

$$(n=2) \quad M_2 + 4M_3 + M_4 = 3 \frac{\gamma c^3}{2},$$

$$(n=3) \quad M_3 + 4M_4 + M_5 = \frac{113 \gamma c^3}{60},$$

$$(n=4) \quad M_4 + 4M_5 + M_6 = 2 \gamma c^3,$$

$$(n=5) \quad M_5 + 4M_6 + 0 = 2 \gamma c^3.$$

Изъ этихъ шести уравненій получается:

$$M_1 = -0,0854 \gamma c^3 = -43,7248 \text{ kg. m.} = -4372 \text{ kg. ст.}$$

$$M_2 = -0,1583 \gamma c^3 = -80,9 \text{ kgm} = -8090 \text{ kgcm.}$$

$$M_3 = -0,2817 \gamma c^3 = -14423 \text{ kgcm.}$$

$$M_4 = -0,2148 \gamma c^3 = -10998 \text{ kgcm.}$$

$$M_5 = 0,343 \gamma c^3 = -17562 \text{ kgcm.}$$

$$M_6 = 0,414 \gamma c^3 = -21197 \text{ kgcm.}$$

Предполагая, что наибольшіе по абсолютной величинѣ моменты бу-

дуть надъ ригелями, найдемъ необходимую толщину листовъ изъ уравненія:

$$\frac{100 \delta^2}{6} = \frac{M}{K} = \frac{M}{1000} \quad \text{именно:}$$

ригель 1	$\delta_1 = \sqrt{6 \cdot 0,044} = \infty 5 \text{ см.}$	ригель 2	$\delta_2 = \sqrt{6 \cdot 0,081} = \infty 0,7 \text{ см.}$
» 3	$\delta_3 = 0,93 \text{ см.} \approx 1 \text{ см.}$	» 4	$\delta_4 = 0,81 \text{ см.} = \infty 0,9 \text{ см.}$
» 5	$\delta_5 = 1,03 \text{ см.} \approx 1,1 \text{ см.}$	» 6	$\delta_6 = 1,13 \text{ см.} = \infty 1,15 \text{ см.}$

III. Металлические листы опиранутся вспоми четырьмя кромками.

1. Плиты расположены выше горизонта воды нижняго бьефа. Здѣсь вопросъ касается расчета прямоугольной плиты, опирающейся всѣми четырьмя кромками и подвѣрженной дѣйствію нагрузки, увеличивающейся къ низу по закону прямой линіи. На соединеніе заклепками, т. е. закрѣпленіе кромокъ, не будемъ обращать вниманія. Точное решеніе этого вопроса очень трудно, такъ какъ для этого надо принять во вниманіе деформацію плиты. Здѣсь для расчета плиты будетъ указанъ приближенный способъ, предложенный Bach—омъ (*„Elasticitat und Festigkeit“* s. 361).

а) Плита имѣетъ форму прямоугольника; длина сторонъ —  $a$  и  $b$ . (черт. 69). Нагрузка отъ верхней стороны (12) возрастаетъ къ нижней (34) съ величины  $p_0 = \gamma h$  на единицу площади до величины  $p_1 = \gamma(h + b)$ . Верхняя сторона прямоугольника (12) расположена на глубинѣ  $h$  отъ уровня воды. Для единицы площади, расположенной на  $z$  ниже ребра (12), нагрузка  $p = \gamma(h + z)$ ; нагрузка эта остается постоянной по всей ширинѣ плиты. Полная нагрузка на плиту

$$P = \int_0^b p \, dz = \int_0^b \gamma(h + z) \, dz$$

$$P = \gamma a \left( h b + \frac{b^2}{2} \right) = \gamma a b \left( h + \frac{b}{2} \right).$$

Предполагается, что реакціи опоръ на горизонтальныя кромки 12 и 34 плиты остаются постоянными по всей длине кромокъ; а реакціи на вертикальныя кромки 13 и 24 возрастаютъ книзу по линейному закону. Предположеніе это не совсѣмъ вѣрно, но приводитъ къ результатамъ достаточно точнымъ. Обозначимъ реакцію на единицу длины на кромкѣ

12 черезъ  $\sigma_0$ , на кромкѣ 34—черезъ  $\sigma_1$ , а реакцію на вертикальныя кромки на разстояніи  $z$  отъ верхней кромки 12—черезъ  $\sigma$ . На черт. 69 эти реакціи нанесены перпендикулярно къ соответствующимъ кромкамъ

$$\sigma = \sigma_0 + z \left( \frac{\sigma_1 - \sigma_0}{b} \right)$$

Для опредѣленія неизвѣстныхъ  $\sigma_0$  и  $\sigma_1$  достаточно составить два уравненія равновѣсія: алгебраическая сумма всѣхъ силь, дѣйствующихъ горизонтально на плиту, равна нулю и алгебраическая сумма моментовъ этихъ силь относительно произвольной оси, положимъ 34, также равна нулю.

Получаемъ:

$$P = \sigma_0 a + \sigma_1 a + 2 \int_0^b \left[ \sigma_0 + z \left( \frac{\sigma_1 - \sigma_0}{b} \right) \right] dz = \\ = (\sigma_0 + \sigma_1) a + 2\sigma_0 b + \sigma_1 b - \sigma_0 b = \sigma_0 (a + b) + \sigma_1 (a + b)$$

Если подставить сюда вмѣсто  $P$  найденное выше значеніе его, то

$$\sum X = 0 \quad \sigma_0 (a + b) + \sigma_1 (a + b) = \gamma ab \left( h + \frac{b}{2} \right). \quad . . . . (33)$$

$$= 0 \text{ Далѣе: } \sigma_0 ab + \frac{2\sigma_0 b^2}{2} + (\sigma_1 - \sigma_0) \frac{b^2}{3} - \frac{\gamma hab^2}{2} - \frac{\gamma b^2 a}{2} \frac{b}{3} = 0 \text{ т. е.} \\ \sigma_0 \left( a + \frac{2}{3} b \right) + \sigma_1 \frac{b}{3} = \frac{\gamma ab}{2} \left( h + \frac{b}{3} \right) \quad . . . . (34)$$

Рѣшая уравненія 33 и 34, находимъ

$$\sigma_0 = \frac{\gamma ab (3ah + bh + ab)}{2(a+b)(b+3a)},$$

$$\sigma_1 = \frac{\gamma ab (3ah + bh + 2ab + b^2)}{2(a+b)(b+3a)}$$

Для квадрата т. е. при  $a = b$  получается

$$\sigma_0^1 = \frac{\gamma a}{16} (4h + a)$$

$$\sigma_1^1 = \frac{\gamma a}{16} (4h + 3a).$$

Равнодѣйствующія реакцій на отдельныя кромки прямоугольной плиты:

$$\text{въ серединѣ кромки } \overline{12} \quad D_0 = a\sigma_0 = \frac{\gamma a^2 b (3ah + bh + ab)}{2(a+b)(b+3a)}$$

$$\text{въ серединѣ кромки } \overline{34} \quad D_1 = a\sigma_1 = \frac{\gamma a^2 b (3ah + bh + 2ab + b^2)}{2(a+b)(b+3a)}$$

реакціи на вертикальныя кромки  $\overline{13}$  и  $\overline{24}$  разложимъ на двѣ составляющія:

$$\text{изъ нихъ одна} \quad D_2 = \sigma_0 b$$

приложена въ серединѣ, а другая

$$D_3 = \frac{(\sigma_1 - \sigma_0)}{2} b$$

приложена на разстояніі  $\frac{b}{3}$  отъ нижней кромки  $\overline{34}$ .

Предполагается что наибольшія напряженія будутъ въ діагональномъ сѣченіі  $\overline{23}$  или  $\overline{14}$ . Предположеніе это будетъ тѣмъ ближе къ истинѣ, чѣмъ меныше разница между  $a$  и  $b$ , такъ какъ при опытахъ, произведенныхъ Бахомъ, квадратныя пластинки рвались по діагоналямъ; для прямоугольныхъ же пластинокъ сдѣланное выше предположеніе опытами не подтвердилось.

Найдемъ моменты силъ (реакцій  $D_1$ ,  $D_2$ ,  $D_3$  и нагрузки), приложенныхыхъ къ треугольнику  $234$ , относительно сѣченія  $23$  (см. черт. 70).

Плечо силы  $D_1$  будетъ

$$\vartheta = \frac{a}{2} \cos \alpha = \frac{ab}{2\sqrt{a^2+b^2}},$$

моментъ силы  $D_1$

$$D_1 \vartheta = a\sigma_1 \frac{ab}{2\sqrt{a^2+b^2}} = \frac{\gamma a^3 b^3 (3ah + bh + 2ab + b^2)}{4\sqrt{a^2+b^2}(a+b)(3a+b)}.$$

Плечо силы  $D_2$

$$\eta = \frac{b}{2} \sin \alpha = \frac{ba}{2\sqrt{a^2+b^2}} = \vartheta,$$

моментъ силы  $D_2$

$$D_2 \eta = \sigma_0 \frac{b^2 a}{2\sqrt{a^2+b^2}} = \frac{\gamma a^2 b^3 (3ah + bh + ab)}{4\sqrt{a^2+b^2}(a+b)(3a+b)}.$$

Плечо силы  $D_3$

$$\zeta = \frac{2}{3} b \sin \alpha = \frac{2ab}{3\sqrt{a^2+b^2}},$$

моментъ силы  $D_3$

$$D_3 \zeta = \frac{(\sigma_1 - \sigma_0)}{2} \frac{2}{3} \frac{ab^2}{\sqrt{a^2+b^2}} = \frac{\gamma a^2 b^3 b (a+b)}{6\sqrt{a^2+b^2}(a+b)(3a+b)} = \\ = \frac{\gamma a^2 b^4}{6\sqrt{a^2+b^2}(3a+b)}.$$

Нагрузку на треугольникъ 234 можно разбить на двѣ части: 1) равномѣрно распределенную по всей площади  $p = \gamma h$  на единицу площади и 2) увеличивающуюся по линейному закону отъ точки 2 до нижняго ребра 34.—Равнодѣйствующая первой нагрузки  $= \frac{pab}{2}$  и приложена въ центрѣ тяжести треугольника 234; плечо ея относительно оси 23

$$s = \frac{a}{3} \frac{b}{\sqrt{a^2+b^2}},$$

такъ что моментъ ея

$$m_1 = \frac{\gamma h a^2 b^2}{6\sqrt{a^2+b^2}}.$$

Для определенія момента второй части разсмотримъ отрѣзокъ шириной  $dz$ , взятый на разстояніи  $z$  отъ верхняго ребра прямоугольника. Здѣсь нагрузка на единицу равна  $\gamma z$ , такъ что нагрузка на весь отрѣзокъ  $= (xdz)\gamma z$ , а такъ какъ  $x = z \frac{a}{b}$ , то нагрузка  $= \gamma \frac{a}{b} z^2 dz$ .

Плечо этой нагрузки относительно оси 23:

$$u = \frac{x}{2} \frac{b}{\sqrt{a^2+b^2}} = \frac{za}{2\sqrt{a^2+b^2}},$$

моментъ  $d m = \frac{a}{2b} \frac{\gamma a^2 z^3 dz}{\sqrt{a^2 + b^2}}$ :

следовательно  $m_2 = \frac{\gamma a^2}{2b \sqrt{a^2 + b^2}} \int_0^b z^3 dz = \frac{\gamma a^2 b^3}{8 \sqrt{a^2 + b^2}}$ .

Такимъ образомъ изгибающій моментъ относительно диагонали  $\overline{23}$

$$M = \frac{a^2 b}{2 \sqrt{a^2 + b^2}} \sigma_1 + \frac{a b^2}{2 \sqrt{a^2 + b^2}} \sigma_0 + \frac{a b^2}{3 \sqrt{a^2 + b^2}} (\sigma_1 - \sigma_0) - \frac{\gamma h a^2 b^2}{6 \sqrt{a^2 + b^2}} - \frac{\gamma a^2 b^3}{8 \sqrt{a^2 + b^2}};$$

подставляя сюда вмѣсто  $\sigma_1$  и  $\sigma_0$  ихъ значенія, получимъ

$$M = \frac{\gamma a^2 b^2}{24 \sqrt{a^2 + b^2}} (2h + b). \quad \dots \quad (35)$$

Допускаемое напряженіе  $= K$ , толщина листа  $= \delta$ , моментъ инерціи поперечнаго съченія относительно разсматриваемой оси  $= I$ , тогда

$$\frac{I}{\frac{\delta}{2}} = \frac{M}{K} = \frac{\gamma a^2 b^2 (2h + b)}{24 \sqrt{a^2 + b^2} K},$$

$$I = \frac{\sqrt{a^2 + b^2} \delta^3}{12}, \text{ поэтому}$$

$$\frac{\sqrt{a^2 + b^2} \delta^2}{6} = \frac{\gamma a^2 b^2 (2h + b)}{24 \sqrt{a^2 + b^2} K}; \text{ следовательно}$$

$$\delta = \frac{ab}{2} \sqrt{\frac{\gamma}{K} \left( \frac{2h + b}{a^2 + b^2} \right)}. \quad \dots \quad (36)$$

Если всѣ измѣренія брать въ сантиметрахъ,  $K = 1000$  кил.  
сант.<sup>2</sup> и принять уменьшеніе толщины вслѣдствіе ржавчины на 0,1 сант., то получимъ формулу для  $\delta$

$$\delta_{cm} = 0,1 + 0,0005 ab \sqrt{\frac{2h+b}{a^2+b^2}} \quad . . . . . \quad (37)$$

*Примѣръ.* Дано:  $a=80$  см.,  $b=120$  см., тогда

$$\text{для } h=0 \text{ см.} \quad \delta_1 = 0,1 + 0,0005 \cdot 80 \cdot 120 \sqrt{\frac{120}{6400+14400}} = 0,1 + 0,033 \cdot 10,95 = 0,46 \text{ см.}$$

$$\gg h=120 \text{ см.} \quad \delta_2 = 0,1 + 0,033 \sqrt{360} = 0,73 \text{ см.}$$

$$\gg h=240 \text{ см.} \quad \delta_3 = 0,1 + 0,033 \sqrt{600} = 0,9 \text{ см.}$$

$$\gg h=360 \text{ см.} \quad \delta_4 = 0,1 + 0,033 \sqrt{840} = 1,06 \text{ см.}$$

b) *Плита квадратная;* длина стороны =  $a$ . Здѣсь примѣнимы всѣ вышеприведенные формулы, если вездѣ вместо  $b$  подставить въ нихъ  $a$ .

$$\left. \begin{array}{l} \sigma'_0 = \frac{\gamma a}{16} (4h+a) \quad \sigma'_1 = \frac{\gamma a}{16} (4h+3a) \\ D_0 = a\sigma_0 = -\frac{\gamma a^2}{16} (4h+a) \quad D_1 = a\sigma'_1 = \frac{\gamma a^2}{16} (4h+3a) \\ D_2 = \sigma'_0 a = \frac{\gamma a^2}{16} (4h+a) \quad D_3 = \left( \frac{\sigma'_1 - \sigma'_0}{2} \right) a = \frac{\gamma a^3}{16} \end{array} \right\} \quad . . . . . \quad (38)$$

$$M = \frac{\gamma a^3 (2h+a)}{24\sqrt{2}} \quad . . . . . \quad (39)$$

$$\delta = \frac{a}{2} \sqrt{\frac{\gamma}{K} \left( h + \frac{a}{2} \right)} \quad . . . . . \quad (40)$$

$$\delta_{cm} = 0,1 + 0,0005 a \sqrt{h + \frac{a}{2}} \quad . . . . . \quad (41)$$

Здѣсь всѣ величины должны быть въ сантиметрахъ.

*Примѣръ.* Дано  $a=80$  см., тогда

$$\text{для } h=0 \quad \delta_1 = 0,1 + 0,0005 \cdot 80 \sqrt{40} = 0,35 \text{ см.}$$

$$\gg h=120 \text{ см.} \quad \delta_2 = 0,1 + 0,04 \sqrt{120} = 0,54 \text{ см.}$$

$$\gg h=240 \text{ см.} \quad \delta_3 = 0,1 + 0,04 \sqrt{200} = 0,67 \text{ см.}$$

$$\gg h=360 \text{ см.} \quad \delta_4 = 0,1 + 0,04 \sqrt{280} = 0,77 \text{ см.}$$

Если бы было  $a=100$  см., то

$$\text{для } h=0 \quad \delta_1 = 0,1 + 0,05 \sqrt{h + \frac{a}{2}} = 0,45 \text{ см.}$$

для $h = 100 \text{ см.}$	$\delta_2 = 0,71 \text{ см.}$
» $h = 200 \text{ см.}$	$\delta_3 = 0,89 \text{ см.}$
» $h = 300 \text{ см.}$	$\delta_4 = 1,04 \text{ см.}$

2. Плиты расположены ниже уровня воды нижняго бьефа.

Въ этомъ случаѣ нагрузка на единицу площади плиты вездѣ одинаковая и равна  $P = \gamma h'$ , гдѣ  $h'$  означаетъ разность горизонтовъ воды верхняго и нижняго бьефа. Здѣсь можно предположить, что равнодѣйствующая давленій на опору проходитъ черезъ середину стороны прямоугольника. Всѣдѣствіе симметріи реакціи на противоположныя стороны прямоугольника равны (черт. 71). Полная нагрузка будетъ

$$P = \gamma h' a b.$$

Равнодѣйствующая совпадаетъ съ точкой пересѣченія діагоналей прямоугольника.

$$P = D_0 + D_1 + D_2 + D_3$$

а такъ какъ  $D_0 = D_1$  и  $D_2 = D_3$ , то

$$P = 2 D_0 + 2 D_2 = 2 (D_0 + D_2) = 2 (D_1 + D_3)$$

$$D_0 + D_2 = \frac{\gamma h' ab}{2} = D_1 + D_3 \dots \dots \dots \dots \dots \quad (42)$$

Равнодѣйствующая силь  $D_1$  и  $D_3$  проходитъ черезъ линію, соединяющу ихъ точки приложенія; слѣдовательно разстояніе ея отъ діагонали  $\overline{23}$

$$w = \frac{a}{2} \frac{b}{\sqrt{a^2 + b^2}}.$$

Поэтому моментъ относительно діагонального сѣченія  $\overline{23}$

$$\begin{aligned} M &= \frac{\gamma h' ab}{2} \cdot \frac{ab}{2 \sqrt{a^2 + b^2}} - \frac{\gamma h' ab}{2} \cdot \frac{2}{3} \frac{a}{\sqrt{a^2 + b^2}} \frac{b}{\sqrt{a^2 + b^2}} = \\ &= \frac{\gamma h' a^2 b^2}{4 \sqrt{a^2 + b^2}} \left(1 - \frac{2}{3}\right) = \frac{\gamma h' a^2 b^2}{12 \sqrt{a^2 + b^2}} \end{aligned}$$

(см. Bach. „Elasticitt und Festigkeit“ S. 364).

Итакъ для прямоугольной плиты

$$M = \frac{\gamma h' a^2 b^2}{12 \sqrt{a^2 + b^2}} \quad \dots \quad (43)$$

И

$$V \frac{a^2 + b^2}{6} = \frac{\gamma h' a^2 b^2}{12 K V a^2 + b^2},$$

откуда получается

Прибавляя 0,1 сант. на ржавчину при  $\gamma=1000$  кил. и  $K=1000$  кил./сант.<sup>2</sup> находимъ

$$\delta_{cm} = 0,1 + \frac{ab}{1000} \sqrt{\frac{h'}{2(a^2+b^2)}} \quad \dots \quad (45).$$

Для квадратной плиты  $a=b$ , такъ что

$$M = \frac{\gamma h' a^3}{12 \sqrt{\frac{2}{K}}} \quad \text{and} \quad \delta = \frac{a}{2} \sqrt{\frac{\gamma}{K}} h' \quad \dots \quad (46),$$

или при численныхъ значенияхъ, указанныхъ выше,

$$\delta_{cm} = 0,1 + a \cdot 0,0005 \sqrt{h'} \quad . . . . . \quad (47).$$

Если напримѣръ  $h' = 3,2$  м. = 320 сант.,  $a = 80$  сант., то  $\delta = 0,1 + 0,04 \cdot \sqrt{320} = 0,82$  сант. а при  $h' = 400$  сант. и  $a = 100$  сант.  $\delta = 0,1 + 0,04 \cdot \sqrt{400} = 1,1$  сант.

**§ 41. Расчетъ обшивки изъ листового желѣза на криволинейныхъ воротахъ.** Въ томъ случаѣ, когда ворота сдѣланы съ криволинейной осью, для передачи дѣйствующихъ силъ на стѣны шлюза можно воспользоваться одной обшивкой; теоретически съ этимъ связано даже нѣкоторое сбереженіе материала. Способа расчета указанного ниже, нельзя примѣнить для криволинейныхъ воротъ съ ригелями и въ особенности въ томъ случаѣ, когда они имѣютъ двойную обшивку. Обшивка такихъ воротъ расчитывается такъ, какъ указано выше.

Для всѣхъ точекъ, расположенныхъ на одинаковой глубинѣ  $y$ , давленіе на единицу длины дуги будетъ одинаковое,

именно для единицы высоты  $p = \gamma h$ ; давление это перпендикулярно къ касательной, т. е. совпадаетъ съ радиусомъ кривизны. Во всѣхъ сѣченіяхъ дуги, согнутой по кривой равновѣсія, будутъ одинаковыя усилія.

Величина ихъ  $T = p \rho$ , гдѣ  $\rho$  есть радиусъ кривизны дуги въ соотвѣтствующемъ мѣстѣ; а такъ какъ для всей дуги на глубинѣ  $y$  нагрузка  $p$  на единицу длины остается постоянной,

то и  $\rho = \frac{T}{p} = \text{const.}$ , слѣдовательно линіей равновѣсія въ дан-

номъ случаѣ будетъ дуга круга, такъ что ворота будутъ представлять часть кругового цилиндра съ радиусомъ  $R$ . На глубинѣ  $y$  усиліе, дѣйствующее на погонную единицу вертикального сѣченія воротъ,

$$T_y = \gamma \cdot y \cdot R.$$

Если подставить сюда  $y$  и  $R$  въ метрахъ,  $\gamma = 1000$  кил., то получится давление на погонный метръ. Усиліе, дѣйствующее

на 1 пог. сант. вертикального сѣченія воротъ  $= T' = \frac{\gamma \cdot y \cdot R}{100} =$

$= 10 \cdot Ry$ ; сюда  $R$  и  $y$  опять надо подставить въ метрахъ. Если допускаемое напряженіе на 1 сант. равно  $K$ , то толщина  $\delta$  листового желѣза опредѣлится изъ уравненія

$$\delta = \frac{T'}{K} = \frac{\gamma \cdot y \cdot R}{100 \cdot K} = \frac{10 \cdot Ry}{K};$$

при  $K = 1000$  кил./сант.<sup>2</sup>

$$\delta_{em} = \frac{R_m \cdot y_m}{100}.$$

Ниже горизонта воды нижняго бьефа  $T' = \gamma h' R$  и  $\delta'_{em} = \frac{R_m h'_m}{100}$ . Здѣсь  $h'$  означаетъ разность горизонтовъ воды (см. черт. 68).

Толщина  $\delta$  возрастаетъ постепенно сверху до горизонта воды нижняго бьефа; ниже послѣдняго она остается постоянной. Въ большинствѣ случаевъ полученная расчетомъ толщина оказывается слишкомъ мала для практическаго выполненія.

Теоретическое количество листового желѣза (черт. 72).

$$\mathfrak{B} = \int_0^{h'} 2 R \alpha \cdot \delta \cdot dy + 2 R \alpha \delta' (h-h') = \frac{2 R \alpha \gamma R}{K 2} (h')^2 + \\ + \frac{2 R \alpha \gamma R}{K} h' (h-h'), \\ \mathfrak{B} = \frac{\gamma \alpha R^2 h'}{K} (2 h - h')$$

при  $h=h'$  будеть  $\mathfrak{B}' = \frac{\gamma \alpha R^2 h^2}{K}$ .

На основаніі этого уравненія можно опредѣлить  $R$  или  
соответственно уголъ  $\alpha$ , который удовлетворялъ бы условію,  
чтобы  $\mathfrak{B}$  получалось наименьшимъ.

Имѣемъ  $R = \frac{B}{2} \frac{1}{\sin \alpha}$ ,

т. е.  $\mathfrak{B} = \left( \frac{\gamma h' (2 h - h') B^2}{4 K} \right) \frac{\alpha}{\sin^2 \alpha}$ .

Minim.  $\mathfrak{B}$  получится при  $\alpha$ , которое удовлетворяетъ уравненію

$$\sin^2 \alpha_m - 2 \alpha_m \sin \alpha_m \cos \alpha_m = 0,$$

откуда  $\tan \alpha_m = 2 \alpha_m$ ,

т. е.  $\alpha_m = 66^\circ 45'$  и  $\mathfrak{B}_{min} = \frac{\gamma h' (2 h - h') \beta^2}{4 K} (1,38) = 0,345 \times$

$$\times \frac{\gamma h' (2 h - h') B^2}{K}$$

Для Minimum будеть:

$$R_{min} = \frac{B}{2 \cdot 0,9088} = 0,54 B \text{ и } f_{min} = R (1 - \cos \alpha) = \sim 0,33 R.$$

Для усиленія изогнутаго листового желѣза прикрепывается тавровое или уголковое желѣзо, въ противномъ случаѣ отъ ударовъ, сотрясений и т. п. можетъ произойти мѣстное перенапряженіе. Для криволинейныхъ воротъ можно съ успѣхомъ примѣнять волнистое желѣзо, при чмъ образующія волны должны располагаться параллельно оси воротъ.

## § 42. Устройство обшивки.

### а) Деревянная обшивка.

На небольшихъ шлюзовыхъ воротахъ внутреннихъ водяныхъ сообщеній обшивку выгодно дѣлать изъ деревянныхъ досокъ. Такая обшивка хорошо сопротивляется ударамъ, въ случаѣ необходимости починку ея могутъ произвести простые плотники, она достаточно прочна и срокъ службы ея довольно продолжителенъ. Послѣднимъ качествомъ въ особенности отличается обшивка изъ дубовыхъ досокъ.

Доски располагаются вертикально и прикрѣпляются къ ригелямъ болтами; толщина досокъ смотря по величинѣ давленія воды бываетъ отъ 6 до 12 ст., ширина ихъ 20—30 ст. соединяются онѣ въ притыкъ. Неширокія доски достаточно прикрѣплять къ каждому ригелю только однимъ болтомъ; для прикрѣпленія широкихъ досокъ надо ставить на каждомъ ригель два болта, которые по высотѣ располагаются въ шахматномъ порядкѣ (см. черт. 73 а). Головки болтовъ, диаметръ которыхъ обыкновенно бываетъ отъ 2 до 2,5 ст., располагаютъ обыкновенно со стороны верхняго бьефа, а гайки со стороны нижняго бьефа, такъ что въ случаѣ надобности ихъ легко можно подтягивать.

Вмѣсто того, чтобы соединять болтами доски съ каждымъ ригелемъ, можно со стороны верхняго бьефа къ ригелямъ прикрѣпить нѣсколькими болтами (съ втопленными головками) деревянные бруски, и къ послѣднимъ прибить доски гвоздями. Въ этомъ случаѣ на створномъ и вереяльномъ столбахъ также ставятся деревянные упорные бруски (черт. 73 б). При такой конструкціи ремонтъ воротъ гораздо легче и обходится дешевле.

Ничто не мѣшаетъ располагать доски и горизонтально. Выгоды этой конструкціи уже указаны въ § 38; починка въ этомъ случаѣ производится легче и обходится дешевле; замѣна новыми горизонтальными досокъ, пришедшихъ въ негодность, гораздо проще, чѣмъ при вертикальномъ ихъ положеніи. При такой конструкціи обшивки вмѣсто горизонтальныхъ ригелей ставятъ вертикальныя стойки; но ее можно

примѣнить и для воротъ ригельной системы, стоитъ только къ горизонтальнымъ ригелямъ прикрѣпить вспомогательныя деревянныя стойки. Послѣдняя ставятся другъ отъ друга на разстояніи 80—120 ст., смотря по толщинѣ досокъ.

*b) Плоская обшивка изъ листового железа.*

*Толщина листовъ.* Теоретическая толщина листовъ возрастаетъ постепенно отъ горизонта воды верхняго бьефа до горизонта нижняго бьефа; ниже послѣдняго она остается постоянной. Толщину листовъ нельзя назначать равной полученной расчетомъ; принимая во вниманіе уменьшеніе ея вслѣдствіе ржавчины и дополнительныхъ напряженій отъ ударовъ, ее надо иѣсколько увеличить.—Не слѣдуетъ назначать листы тоньше 6 мм.; листы толщиною больше 16 мм. приходится примѣнять только въ исключительныхъ случаяхъ. На невысокихъ воротахъ лучше дѣлать обшивку изъ листовъ равной толщины. При двойной обшивкѣ можно со стороны нижняго бьефа ставить листы меньшей толщины.

*Расположеніе стыковъ.* Для большихъ воротъ при большой разности горизонтовъ воды, а слѣдовательно и при большой разницѣ въ толщинѣ листовъ, главные стыки лучше располагать горизонтально; при этомъ желательная толщина листовъ больше будетъ приближаться къ полученной расчетомъ. Стыки конечно располагаются надъ ригелями, при чѣмъ они могутъ совпадать съ каждымъ ригелемъ (черт. 74), или же назначаются черезъ два или три ригеля (черт. 75). Вертикальные стыки чаще располагаются на дополнительныхъ стойкахъ, прикрѣпленныхъ къ ригелямъ; впрочемъ можно и не назначать этихъ стоекъ. Вертикальные стыки могутъ располагаться или въ шахматномъ порядкѣ или же насквозь по всей высотѣ (черт. 74 и 75).

На воротахъ стоечного типа главные стыки обшивки располагаются вертикально надъ стойками; если при этомъ желательно на различной высотѣ ставить листы различной толщины, то приходится дѣлать и горизонтальные стыки. Иногда и при горизонтальныхъ ригеляхъ дѣлаютъ сквозные вертикальные стыки (черт. 76).

Размѣры желѣзныхъ листовъ надо выбирать такимъ образомъ, чтобы вѣсъ каждого листа не превосходилъ 300 или 350 кил. Ширина листовъ назначаютъ около 1 м. На существующихъ воротахъ длина листовъ равняется 2,0 м. 3,0 м., и до 5,5 м., а ширина отъ 0,8 до 1,0 м.

*Детали стыковъ.* Желѣзные листы въ большинствѣ случаевъ располагаются въ одной плоскости; перекрытие стыковъ при этомъ дѣлается накладками такой же или почти такой же толщины, какъ и склеиваемые листы. Однако можно располагать листы и въ различныхъ плоскостяхъ. Тогда стыки перекрываютъ въ нахлестку. (см. черт. 74 и 75). Такая конструкція вовсе не даетъ сбереженія материала.

Такимъ образомъ перекрываются преимущественно горизонтальные стыки; впрочемъ иногда такое перекрытие примѣняется и для вертикальныхъ стыковъ (черт. 76). Подъ тѣ листы, края которыхъ остаются снаружи, въ плоскостяхъ соприкасанія ихъ съ ригелями приходится ставить подкладки изъ полосового желѣза; впрочемъ можно всѣ листы расположить въ одной плоскости и въ стыкахъ края однихъ нагибать на другіе.

Заклепочныя соединенія дѣлаются такъ же, какъ и во всѣхъ металлическихъ конструкціяхъ; слѣдовательно напряженія на перерѣзываніе и смятіе не должны превосходить допускаемыхъ. При этомъ надо обратить вниманіе на то, чтобы соединеніе было не только прочно, но и обладало плотностью т. е., чтобы въ стыкахъ не просачивалась вода; поэтому разстояніе между заклепками не должно быть велико. Если диаметръ заклепки  $d$ , толщина каждого соединяемаго листа =  $\delta$ , разстояніе центра заклепки отъ ближайшаго края листа =  $e_1$ , разстояніе между заклепками  $e$ , то можно принять

$$d=2\delta, e_1=1,5d, e=2,5d \text{ при одномъ рядѣ заклепокъ одиночнаго перерѣзыванія,}$$

$e=3,5d$  при двухъ рядахъ заклепокъ;  
разстояніе заклепокъ отъ края листа при двойномъ перерѣзываніи  $e_2=3d$ . Отсюда получается ширина накладокъ: при расположении съ каждой стороны одного ряда заклепокъ оди-

ночного перерѣзыванія она  $= 1,5 d \times 4 = 6 d$ ; при двойномъ перерѣзываніи ширина той же накладки  $= 3 d \times 4 = 12 d$ .

Для полученія плотнаго соединенія листы въ стыкѣ слѣдуетъ нѣсколько сострогать; горизонтальная и вертикальная накладки ни въ коемъ случаѣ не должны соприкасаться въ притыкѣ; лучше, если онѣ будутъ нѣсколько перекрывать другъ друга скосенными краями.—Всѣ стыки листового жѣлѣза и накладокъ, а также заклепочныя головки должны быть хорошо расчеканены такъ, чтобы вовсе не было малѣйшихъ зазоровъ, пропускающихъ воду; для достижения плотнаго соединенія вовсе не слѣдуетъ примѣнять замазку изъ сурика и другихъ подобныхъ матеріаловъ.

Въ шлюзахъ, построенныхъ въ Гаврѣ для трансатлантическихъ пароходовъ, поставлены ворота стоечнаго типа; горизонтальное сѣченіе стоечъ похоже на поперечное сѣченіе склепанной балки съ добавочными поясными листами. Листы эти назначены такой ширины, что въ предѣловъ поясныхъ уголковъ съ обѣихъ сторонъ можно поставить по одному ряду заклепокъ, при помощи которыхъ желѣзные листы обшивки соединяются со стойками (черт. 77). Вертикальные листы обшивки имѣютъ еще нѣсколько стыковъ, такъ что толщину ихъ согласно расчету можно было нѣсколько измѣнить по высотѣ.

Эта конструкція имѣеть тотъ недостатокъ, что заклепки, прикрѣпляющія обшивку къ стойкамъ, работаютъ на отрываніе головокъ, и подъ напоромъ воды возможно раскрытие швовъ; но этотъ недостатокъ вполнѣ окупается замѣчательной простотой конструкціи и связаннымъ съ ней сбереженіемъ матеріала.

Въ случаѣ примѣненія для обшивки сравнительно небольшихъ листовъ приходится затрачивать немнога больше матеріала на накладки; смотря по конструкціи это увеличеніе затраченного матеріала достигаетъ 27% или 30% собственнаго вѣса обшивки. Поэтому въ нѣкоторыхъ случаяхъ выгоднѣе дѣлать обшивку изъ большихъ листовъ и такимъ образомъ уменьшить число накладокъ. Всѣ въ килограммахъ одного квадратнаго метра односторонней обшивки изъ листо-

вого желѣза, полагая на накладки и заклепочные головки въ среднемъ 20%, можно принять равнымъ

$$g' = 94 \delta$$

гдѣ  $\delta$  означаетъ толщину листовъ въ сант.

Если толщина листовъ измѣняется, то для предварительного подсчета можно за  $\delta$  принять среднюю его величину.

*Недостатки обшивки изъ плоскаго желѣза.* Весьма существенный недостатокъ этой конструкціи заключается въ томъ, что по истечениіи нѣкотораго времени нельзя уже достигнуть полной водонепроницаемости въ стыкахъ отдѣльныхъ частей, что особенно важно для плавучихъ затворовъ. Обшивка въ большинствѣ случаевъ получается очень слабой и подъ вліяніемъ дѣйствующихъ силъ она деформируется больше, чѣмъ остовъ воротъ, вслѣдствіе этого приходится смыть не только отдѣльные части обшивки, но и заклепки, прикрѣпляющія ее къ ригелямъ и стойкамъ. Затѣмъ обшивка эта можетъ оказывать незначительное сопротивленіе ударамъ судовъ и проч.; кромѣ того на всякий ремонтъ ея приходится всегда затрачивать много времени и денегъ. Въ морскихъ шлюзахъ ко всему этому присоединяется еще одинъ недостатокъ, для устраненія котораго до сихъ поръ не найдено радикальныхъ мѣръ. Здѣсь рѣчь идетъ объ особой породѣ моллюсковъ, которые по мнѣнію французскихъ инженеровъ продырявливаютъ листовую обшивку.

Указанные недостатки не могутъ заставить отказаться совсѣмъ отъ примѣненія для обшивки листового желѣза; во многихъ случаяхъ и въ особенности для плавучихъ затворовъ конструкція эта неизбѣжна. Тогда приходится позаботиться только о томъ, чтобы по возможности устраниить эти недостатки, чего можно достигнуть примѣненіемъ желѣзныхъ листовъ достаточной толщины и принятиемъ особыхъ мѣръ въ тѣхъ мѣстахъ, которыя особенно подвержены дѣйствію ударовъ. Для предупрежденія появленія ржавчины полезно примѣнить оцинкованное желѣзо; новые шлюзовыя ворота въ Гаврѣ оцинкованы, заклепки же не оцинкованы; однако слѣ-

давало бы въ морскихъ сооруженіяхъ и заклепочные головки защищать цинковой оболочкой.

Для небольшихъ шлюзовыхъ воротъ внутреннихъ водяныхъ сообщеній можно рекомендовать обшивку изъ деревянныхъ досокъ (см. § 42).

Для обеспечения прочности воротъ съ желѣзной обшивкой можно рекомендовать примѣнение лотковаго желѣза въ тѣхъ мѣстахъ, которые чаще подвергаются дѣйствію ударовъ. Если поставить такое желѣзо выпуклою стороною въ ту сторону, откуда чаще могутъ постигать удары и назначить его той же толщины, какая соответствуетъ плоскому желѣзу, то получится большой запасъ прочности.

### *с) Обшивка изъ волнистаго или лоткового желѣза.*

Обшивка изъ плоскаго и балочного волнистаго желѣза дѣлается слѣдующимъ образомъ. При ригельной системѣ воротъ образующія волнъ располагаются вертикально. Длина листовъ бываетъ около 4 м. (доходитъ иногда и до 6 м.), ширина—около 0,6 м.; при такихъ размѣрахъ листовъ приходится дѣлать стыки. Соединеніе продольныхъ стыковъ лучше располагать на верху волны, чтобы заклепочные головки не попадали на ригели; сосѣдніе листы перекрываютъ другъ друга обыкновенно въ нахлестку на 40—60 мм. Поперечные (т. е. горизонтальные) стыки дѣлаются въ притыкъ, и перекрываются накладками изъ волнистаго желѣза (черт. 78) того же калибра. Поперечные стыки слѣдуетъ располагать по возможности ближе къ ригелямъ и на каждой сторонѣ накладки ставить по два ряда заклепокъ. На продольныхъ стыкахъ разстояніе между заклепками не должно превышать 6—8 сант. Смотря по толщинѣ волнистаго желѣза диаметръ заклепокъ назначается равнымъ отъ 8 до 10 мм. Для достижения плотности въ стыкахъ можно примѣнить тонкія прокладки изъ шнура или холста, пропитанного суриковой замазкой.

Имѣя въ виду измѣненіе температуры, обшивку надо соединять съ ригелями такимъ образомъ, чтобы была возможна некоторая подвижность ея; поэтому листы соединяютъ

заклепками не со всѣми ригелями. Для того, чтобы получить водонепроницаемый затворъ, необходимо и достаточно соединить наглухо волнистое желѣзо съ самыимъ нижнимъ ригелемъ, съ створнымъ и вереяльнымъ столбами. Для соединенія же его съ прочими ригелями можно примѣнить скобы изъ полосового желѣза, покрытаго цинкомъ или оловомъ.

Скобы эти однимъ концомъ приклепываются къ волнистому желѣзу, а другимъ свободно захватываются выступы ригелей (см. черт. 78). При такомъ устройствѣ обшивка получаетъ пѣкоторую подвижность. Указанныя выше скобы прикрепляются къ самыимъ верхнимъ или самыимъ нижнимъ точкамъ волнъ; дѣлаются они изъ оцинкованного полосового желѣза толщиной отъ 3.5 до 6 мм. и шириной 30—50 мм.; та часть ихъ, которая соприкасается съ волной, соотвѣтствующимъ образомъ изгибается (черт. 78). Каждый листъ достаточно соединить съ каждымъ ригелемъ двумя такими скобами. Для прикрепленія каждой скобы къ волнистому желѣзу достаточно одной заклепки диаметра 6 мм.—Соединеніе обшивки съ самимъ нижнимъ ригелемъ можетъ быть сдѣлано такъ, какъ указано на черт. 79. Конструкція эта впервые примѣнена для воротъ Oder—Spree—Kanal'a. Въ этомъ случаѣ нижній ригель дѣлается больше другихъ; къ нему прикрепляется соотвѣтствующей формы чугунная отливка, на которую опирается волнистое желѣзо. Для достижения плотнаго соединенія чугунной отливки съ ригелемъ и волнистымъ желѣзомъ дѣлаются прокладки изъ полотна, пропитаннаго суриковой замазкой. Для удобства сборки ширина волны должна быть по возможности больше (120 мм. и болѣе); въ противномъ случаѣ установка болтовъ, соединяющихъ волнистое желѣзо съ чугунной отливкой, будетъ затруднительна. Нижній ригель можно дѣлать того же профиля, какъ и всѣ остальные, и прикрепить къ нему для волнистаго желѣза чугунную отливку въ формѣ зета (см. нижній чертежъ 79). Соединеніе волнистаго желѣза со створнымъ и вереяльнымъ столбами не представляеть никакихъ затрудненій; это можетъ быть сдѣлано какъ указано на черт. 78, т. е. часть волны разгибается и склеивается съ соотвѣтствующимъ столбомъ; положенный сверху

листъ увеличиваетъ плотность. Подобное же соединеніе примѣняется и около щитовыхъ затворовъ.

Если обшивка дѣлается изъ лотковаго желѣза, то оставъ воротъ долженъ быть такъ устроенъ, чтобы плиты опирались всѣми четырьмя краями; для этого между ригелями ставятся вспомогательныя стойки тавроваго сѣченія или въ видѣ решетчатыхъ балокъ; въ воротахъ же стоечной системы ставятся вспомогательные ригели.

До сихъ поръ нѣтъ точнаго способа разсчета лотковаго желѣза. На практикѣ же можно довольноствоваться указаннымъ ниже приблизительнымъ способомъ. Согласно изслѣдованіямъ Bauschinger'a можно допустить, что разрушеніе лотковаго желѣза квадратной формы наступить при сосредоточенномъ грузѣ  $D' = 132 \frac{f \cdot \delta}{a}$ , приложенномъ въ серединѣ. По этой формулѣ, где  $a$  означаетъ длину стороны квадрата въ метрахъ,  $f$ —сторону подъема въ метрахъ,  $\delta$ —толщину въ сант., нагрузка  $D'$  получается въ тоннахъ. Если коефиціентъ запаса назначить равнымъ тремъ, то на лотковое же желѣзо можно допустить сосредоточенную нагрузку

$$D = 44 \frac{f \cdot \delta}{a} \text{ тоннъ.}$$

Если верхняя сторона лотковаго желѣза расположена на глубинѣ  $h$ , то полная нагрузка для квадратной плиты при величинѣ стороны ея  $a$  будетъ

$$P = \gamma h a^2 + \gamma \frac{a}{2} a^2 = \gamma \frac{a^2}{2} (2h + a).$$

Можно допустить, что приложенный въ серединѣ сосредоточенный грузъ  $\frac{p}{2}$  вызоветъ тѣ же напряженія, какъ и двойствительная нагрузка (для балки, свободнолежащей на двухъ опорахъ, изгибающій моментъ отъ сосредоточенного въ серединѣ груза  $\frac{pa}{2}$  будетъ той же величины, какъ и отъ сплош-

ной равномерной нагрузки  $ra$ ). Поэтому съ достаточной точностью можно положить

$$D = \frac{P}{2}, \text{ т. е. } \frac{44f}{a} \delta_{cm} = \frac{\gamma a^2}{4} (2h + a).$$

Въ правой части этой формулы измѣренія длинь считаются въ метрахъ,  $\gamma$ —въ тоннахъ для  $cbm.$ ; следовательно  $\gamma = 1 t$ ; тогда

$$\delta_{cm} = \frac{a^3(2h + a)}{176f} \quad (48).$$

*Примѣръ.* Положимъ  $a=1 m.$ ,  $f=0,07 m.$ , тогда для  $h=2,0 \quad 3,0 \quad 4,0 \quad 5,0 m.$  будетъ  $\delta = \frac{2h+1}{12,32}$ , т. е.  $\delta=0,4 \quad 0,57 \quad 0,73 \quad 0,9 cm.$

Если разность горизонтовъ воды  $= h'$ , то въ предѣлахъ нижняго бьефа  $P = \gamma a^2 h'$ , такъ что

$$\frac{44f}{a} \cdot \delta_{cm} = \frac{\gamma a^2 h'}{2}, \quad \delta_{cm} = \frac{\gamma a^3 h'}{88f} \quad (49)$$

Если  $h'=5 m.$ ,  $a=1 m.$ ,  $f=0,07 m.$ , то  $\delta=0,8 cm.$

Верхнія плиты должны быть такой толщины, чтобы онъ могли выдерживать удары судовъ. Сила ударовъ ни въ коемъ случаѣ не должна превосходить  $D' = 132 \frac{f \cdot \delta}{a}$ .

**§ 43. Увеличеніе жесткости плоской обшивки.** Обшивку изъ листового желѣза въ большинствѣ случаевъ приходится усиливать особыми ребрами жесткости. Продольные оси этихъ реберъ въ воротахъ ригельной системы располагаются вертикально, а въ воротахъ стоечной системы—горизонтально. Эти ребра суть ни что иное, какъ балки высшаго порядка, которая принимаютъ на себя дѣйствующія на обшивку усилия и передаютъ ихъ на ригели или стойки. Въ этомъ случаѣ при расчетѣ отдѣльныя части обшивки разматриваются, какъ плоскія плиты, опирающіяся всѣми четырьмя краями; толщина ихъ опредѣляется такъ, какъ указано

въ § 40. III. Расчетъ реберъ жесткости дѣлается слѣдующимъ образомъ:

а) вертикальные ребра между горизонтальными ригелями; оба ригеля расположены выше горизонта нижняго бьефа. Положимъ разстояніе между ригелями =  $b$ , разстоянія между ребрами жесткости =  $a$  (черт. 80); разстояніе верхняго ригеля отъ горизонта воды =  $h$ . На единицу длины ребра жесткости отъ каждой изъ двухъ смежныхъ плинъ на разстояніи  $z$  отъ верхней стороны ихъ передается

$$\sigma = \sigma_0 + \left( \frac{\sigma_1 - \sigma_0}{b} \right) z \quad (\text{см. стр. 131}), \text{ а всего}$$

$$2\sigma = 2\sigma_0 + \frac{2(\sigma_1 - \sigma_0)}{b} z$$

Полная нагрузка  $P = \int_0^b 2\sigma dz$  вызываетъ реакціи  $D_0$  и  $D_1$ ,

которыя дѣйствуютъ въ мѣстахъ соединенія реберъ съ ригелями.

$$D_0 = \frac{b}{3} (\sigma_0 + \sigma_1), \quad D_1 = \frac{2b}{3} (2\sigma_1 + \sigma_0)$$

Для съченія, абсцисса котораго =  $z$ , моментъ

$$M_z = D_0 z - \sigma_0 z^2 - \frac{(\sigma_1 - \sigma_0)}{3} z^2, \quad D_0 z - \frac{2\sigma_1 z^2}{3} \quad (50)$$

и если подставить сюда приведенное выше значение  $\sigma$ , то

$$M_z = D_0 z - \sigma_0 z^2 - \frac{(\sigma_1 - \sigma_0) z^3}{3b}.$$

Наибольшая величина  $M_z$  получится при  $z$ , которое опредѣлится изъ уравненія:  $0 = D_0 - 2\sigma_0 z - \frac{(\sigma_1 - \sigma_0) z^2}{b}$  т. е. при

$$\begin{aligned} z_{max} &= -\frac{\sigma_0 b}{\sigma_1 - \sigma_0} \pm \sqrt{\left( \frac{\sigma_0 b}{\sigma_1 - \sigma_0} \right)^2 - D_0 \frac{b}{\sigma_1 - \sigma_0}} = \frac{b}{\sigma_1 - \sigma_0} \left[ -\sigma_0 \pm \right. \\ &\quad \left. \pm \sqrt{\sigma_0^2 + \frac{D_0(\sigma_1 - \sigma_0)}{b}} \right]. \quad . . . . . \quad (50) \end{aligned}$$

$$\text{и } \mathfrak{M}_{max} = D_0 z_{max} - \sigma_0 z_{max}^2 - \frac{(\sigma_1 - \sigma_0) z_{max}^3}{3b} \quad (51).$$

Если плита имѣть форму квадрата т. е.  $a=b$ , то согласно § 40

$$\sigma_0 = \frac{\gamma a}{16} (4h + a), \quad \sigma_1 = \frac{\gamma a}{16} (4h + 3a),$$

$$D_0 = \frac{\gamma a^2}{3 \cdot 16} (12h + 5a), \quad D_1 = \frac{\gamma a^2}{3 \cdot 16} (12h + 7a),$$

$$z_{max} = \frac{1}{2} \left[ -(4h + a) \pm \sqrt{(4h + a)^2 + 8ah + \frac{10}{3}a^2} \right].$$

$$\text{Если } a = 1 \text{ м., то } z_{max} = \frac{1}{2} \left[ -(4h + 1) \pm \sqrt{(4h + 1)^2 + 8h + \frac{10}{3}} \right]$$

для	$h =$	1	2	3	4	5	мет.
	$z_{max} =$	0,501	0,5	0,5	0,5	0,5	мет.
	$\mathfrak{M}_{max} =$	114	156	219	281	344	кил.

При допускаемомъ напряженіи 750  $\frac{\text{кил.}}{\text{сант.}^2}$  соответствующіе моменты сопротивленія должны быть

$$\frac{J}{a} = 15,2 \quad 20,8 \quad 29,2 \quad 37,5 \quad 44,5 \text{ сант.}^3$$

b) вертикальные ребра жесткости между ригелями; оба ригеля расположены ниже горизонта воды нижнаго бьефа. Здѣсь можно предположить съ некоторымъ приближеніемъ, что давленіе отъ обшивки на ребра распредѣляется равномѣрно по длини послѣднихъ (см. § 40 III черт. 71); тогда полная нагрузка ребра отъ двухъ смежныхъ плитъ  $p = 2 \frac{D_3}{b}$  и при длини ребра  $b$  мет. наибольшій моментъ

$$\mathfrak{M}_{max} = \frac{p b^2}{8}$$

Силу  $D_3$ , хотя и не совсѣмъ точно, можно принять равной  $\frac{\gamma h' ab}{4}$ ; тогда  $p = \frac{\gamma h' a}{2}$  и

$$\mathfrak{M}_{max} = \frac{\gamma h' ab^2}{16} = \frac{p b}{16}, \text{ где } p = \gamma h' ab \quad (52).$$

Это выраженіе будетъ тѣмъ ближе къ истинѣ, чѣмъ болѣе плита по своей формѣ приближается къ квадрату; при большой же разницѣ въ длинѣ сторонъ  $a$  и  $b$  оно будетъ уже довольно неточно.

Если  $h'=5$  м.  $a=b=1$  м., то  $\mathfrak{M}_{max} = \frac{\gamma \cdot 5}{16} = 312,5$  кгм. = 31250 кгсм.  
и  $\frac{J}{a} = \frac{31250}{750} = 41,7$  см<sup>3</sup>.

с) *Горизонтальные ребра жесткости между стойками.*  
Нагрузка по всей длине ребра будетъ равномѣрной. Отъ нижней плиты на единицу длины ея передается  $\sigma_0$ , отъ верхней —  $\sigma_1$ . Если положить  $p=\sigma_0+\sigma_1$ , то при ширинѣ плиты  $a$ ,

$$M_{max} = \frac{p a^2}{8}.$$

Величины  $\sigma_0$  и  $\sigma_1$  опредѣляются по формуламъ 33 и 34; при этомъ надо замѣтить, что значенія  $h$  для нихъ не одинаковы; при вычисленіи  $\sigma_1$  значеніе  $h$  остается безъ измѣненія, а при вычисленіи  $\sigma_0$  здѣсь въ соотвѣтствующую формулу вмѣсто  $h$  надо подставить  $h+b$ ; поэтому

$$\sigma_0 = \frac{\gamma ab(3ah+4ab+bh+b^2)}{2(a+b)(b+3a)}, \quad \sigma_1 = \frac{\gamma ab(3ah+2ab+bh+b^2)}{2(a+b)(b+3a)}$$

$$\text{и } p = \sigma_0 + \sigma_1 = \frac{\gamma ab(3ah+3ab+bh+b^2)}{(a+b)(b+3a)} = \frac{\gamma ab(3a+b)(b+h)}{(a+b)(3a+b)},$$

$$p = \frac{\gamma ab(b+h)}{a+b}$$

Если  $h=4$  м.,  $a=1$  м.,  $b=0,6$  м., то

$$p = 1725 \text{ kg. и } \mathfrak{M}_{max} = 215,625 \text{ kgm.}$$

d) *Устройство ребер жесткости.* Если ребра жесткости согласно сказанному выше устанавливаются, какъ балки высшаго порядка, то при этомъ уже неѣть той неясности, какая часто встрѣчается въ подобнаго рода конструкціяхъ, и расчетъ можетъ дать указанія относительно того, какія слѣдуетъ назначить разстоянія между ребрами, и каковы должны быть ихъ размѣры. Въ существующихъ воротахъ разстоянія между ребрами колеблются отъ 0,4 мет. до 1,1 мет. и болѣе: при ~~не большихъ~~  
~~большихъ~~ разстояніяхъ между ригелями или

стойками ребра ставятся на ~~большихъ~~  
~~меньшихъ~~ разстояніяхъ другъ отъ друга (черт. 81).

Большею частью ребра бываютъ тавроваго съченія; при этомъ лучше ставить тавры съ широкими полками, потому что тогда можно поставить два ряда заклепокъ; если ворота имѣютъ двѣ обшивки, то ребра послѣднихъ взаимно соединяются листовымъ желѣзомъ; въ такомъ случаѣ вмѣсто тавровъ ставятъ по два уголка, между которыми зажимается листовое желѣзо; а для того, чтобы тѣ отдѣленія, которые временамъ должны наполняться водою, не получались слишкомъ малыми, въ желѣзныхъ листахъ дѣлаются вырѣзы (черт. 82). Въ Англіи между ригелями ставятъ вертикальныя діафрагмы, состоящія изъ листовъ и уголковъ (черт. 83); въ этомъ случаѣ уголки образуютъ ребра жесткости. Очень часто ребра устанавливаются въ тѣхъ мѣстахъ, где имѣются стыки листовъ; при такомъ устройствѣ сдѣланы выше предположенія, на которыхъ основанъ расчетъ, почти согласуются съ дѣйствительностью. Листовая накладка располагается снаружи, а тавровое желѣзо внутри (черт. 84).

Вмѣсто тавроваго желѣза иногда выгоднѣе ставить двутавровое, которое лучше сопротивляется изгибу. Такія ребра (черт. 85) поставлены въ воротахъ шлюзовъ Marne—Saone—Kanal'a, здѣсь кромѣ указанныхъ реберъ поставлены еще горизонтальныя тавроваго съченія (черт. 86).

Въ новыхъ французскихъ воротахъ стоечной системы горизонтальныя ребра сдѣланы въ видѣ Z, которые составле-

ны изъ уголковъ и листовъ. Неудобство этой конструкціи со-стоитъ въ томъ, что здѣсь главныя оси не совпадаютъ съ на-правлениемъ дѣйствующихъ усилий, вслѣдствіе чего расчетъ нѣсколько усложняется; повидимому лучше ставить ребра съ-ченія  $\Sigma$ , въ которомъ оба уголка располагаются съ одной стороны листа (черт. 87).

Въ нѣкоторыхъ случаяхъ при незначительномъ разстояніи ригелей или стоекъ можно обойтись и безъ реберъ жесткости, т. к. здѣсь достаточную жесткость придаютъ обшивкѣ самые стыки ея, перекрытые или въ нахлестку или особыми накладками. Подобное отсутствіе реберъ жесткости видимъ въ воротахъ шлюза около Oberlahnstein'a (черт. 76).

Ребра жесткости не только поддерживаютъ обшивку, но служатъ также и для уменьшенія свободной длины ригелей или стоекъ, принимаемой при расчетѣ послѣднихъ на про-дольное сжатіе. Если не ставить вспомогательныхъ реберъ жесткости, то приходится ставить чаще ригели или стойки и на всякий случай увеличивать толщину обшивки; чтобы убѣдиться, будетъ ли это выгоднѣе въ смыслѣ затраты мате-риала, надо въ каждомъ частномъ случаѣ сдѣлать сравнитель-ный расчетъ.

## Остовъ воротъ.

**§ 44. Ригели.** Назначеніе ригелей (franz. les entretoises, engl. the cross beams, deut. die Riegel) состоитъ томъ, чтобы при-нимать дѣйствующее на обшивку давленіе воды и передавать его на этыни шлюза. Напряженія въ нихъ вызываются съ одной стороны изгибомъ, съ другой — продольнымъ сжатіемъ.

*Расчетъ.* Положимъ, что нагрузка на единицу длины ригеля =  $p$ , длина ригеля =  $l$ . Положимъ, что нагрузка по всей длини равномѣрна; величина  $p$  опредѣлится по § 38 и § 40. Ес-ли имѣются вспомогательные ребра жесткости, то слѣдуетъ принять во вниманіе также сосредоточенную нагрузку. Для расчета ригелей въ большинствѣ случаевъ достаточно при-нять нагрузку равной той, которая передается на часть пло-

щади давленія (черт. 64), ограниченной двумя горизонтальными линіями, дѣлящими пополамъ разстоянія между соответствующими ригелями. Если желательно сдѣлать болѣе точный расчетъ, то надо опредѣлить давленіе  $p$  на погонную единицу ригеля, разсматривая обшивку какъ неразрѣзную балку (см. § 40).

Согласно черт. 88

$$H = \frac{p l^2}{2 f} = R$$

Усилія  $R$  и  $H$  разложатся на продольную (направленную по оси ригеля) силу  $P$  и поперечную  $A$  и соответственно  $C$ . Согласно черт. 89

$$P = H \cos \alpha = \frac{H \cdot w}{2 l} = \frac{p l w}{4 f}$$

$$B = H \sin \alpha = \frac{H \cdot f}{l} = \frac{p l}{2}$$

$$A = R \sin \alpha = \frac{p l}{2}$$

Моментъ относительно произвольного сѣченія, взятаго на разстояніи  $x$  отъ  $A$ , будеть

$$M_x = \frac{p}{2} (lx - x^2);$$

Наибольшій моментъ получится по срединѣ

$$M_{\frac{l}{2}} = M_{max} = \frac{p l^2}{8}.$$

Такимъ образомъ въ даниомъ случаѣ на ригель, представляющій собою длинный прямой брусья, имѣющій двѣ опоры, дѣйствуютъ двѣ сжимающія силы  $P$ , приложенные къ концамъ и направленныя по оси его, и поперечная сила  $p l$ , вызывающая изгибающій моментъ  $M$ .

Если допускается одинаковое напряженіе на изгибъ и на простое сжатіе или растяженіе, то полное напряженіе должно быть

$$N = \frac{P}{\varphi \cdot F} + \frac{M}{W} < R \text{ для сжатыхъ фибрь.} \quad (53)$$

$$N = -\frac{P}{F} + \frac{M}{W} < R \text{ для вытянутыхъ фибръ . . (53')}$$

въ указанныхъ формулахъ

$F$  означаетъ площадь netto,

$\varphi$ —коэффицієнтъ уменьшения напряженія для сжатыхъ частей, опредѣляемый или по таблицамъ проф. Ясинского или по формуламъ Шварца—Ранкина

$$\varphi = \frac{1}{1 + 0,00008 \frac{\omega}{I} l^2}.$$

$W = \frac{I}{a}$  моментъ сопротивленія, который при несимметричномъ съченіи будетъ различенъ для вытянутой и сжатой части.

Съченіе ригеля зависитъ главнымъ образомъ отъ изгибающаго момента; поэтому для большихъ воротъ не рационально примѣнять ригели постояннаго съченія. Соответствующее измѣненіе его достигается или измѣненіемъ поясовъ, или высоты, или тѣмъ и другимъ вмѣстѣ. При этомъ изогнутая сторона воротъ и ригелей ставится въ сторону верхняго бьефа, а прямолинейная въ сторону нижняго бьефа. При такой конструкціи наибольшему моменту соответствуетъ наибольшая высота ригеля, а вмѣстѣ съ тѣмъ и величина моментовъ уменьшается. Положимъ, что одна сторона ригеля, обращенная въ сторону верхняго бьефа, изогнута по дугѣ круга. Высота ригеля на концахъ  $= t_0$ , на серединѣ  $= t_1$ , (черт. 90).

На элементарную площадку, соответствующую дугѣ длиною  $ds$ , дѣйствуетъ давленіе  $p ds$ , которое разлагается на двѣ составляющія  $p ds \cos \varphi$  и  $p ds \sin \varphi$ . Усилие  $p ds \sin \varphi$  уравновѣшивается такимъ же усилиемъ, приложеннымъ симметрично относительно середины. Обѣ эти силы не участвуютъ въ изгибѣ ригеля; следовательно остаются только силы  $p ds \cos \varphi = p dx$ , которые на разстояніи  $x$  отъ середины вызываютъ моментъ

$$M'_x = \frac{p l}{2} \left( \frac{l}{2} - x \right) - \frac{p}{2} \left( \frac{l}{2} - x \right)^2 = \frac{p}{2} \left( \frac{l^2}{4} - x^2 \right). \text{ Сюда надо}$$

прибавить еще моментъ, вызываемый дѣйствиемъ продольной силы  $P$ . Стрѣла подъема оси ригеля  $c = \frac{t_1 - t_0}{2}$ ; для абсциссы  $x$ , отсчитываемой отъ середины ригеля, разстояніе силы  $P$  отъ оси  $= \eta$  (черт. 91), такъ что моментъ ея  $= -P\eta$ ; слѣдовательно относительно точки  $E$  полный моментъ будетъ

$$M_x = \frac{p}{2} \left[ \left( \frac{l}{2} \right)^2 - x^2 \right] - P\eta.$$

Если съ небольшой погрѣшностью замѣнить теперь дугу круга дугой параболы, то, обозначая постоянную величину черезъ  $C$ , получимъ

$$x^2 = Cy$$

$$\left( \frac{l}{2} \right)^2 = C(t_1 - t_0) \text{ т. е.}$$

$$\frac{4x^2}{l^2} = \frac{y}{t_1 - t_0}, \quad y = \frac{4x^2}{l^2}(t_1 - t_0).$$

Затѣмъ  $\eta = \frac{z}{2}; z = t_1 - t_0 - y = (t_1 - t_0) \left( \frac{l^2 - 4x^2}{l^2} \right)$ ; такъ что

$$\eta = (t_1 - t_0) \left( \frac{l^2 - 4x^2}{2l^2} \right), \text{ слѣдовательно}$$

$$M_x = \frac{p}{2} \left[ \left( \frac{l}{2} \right)^2 - x^2 \right] - P(t_1 - t_0) \left( \frac{l^2 - 4x^2}{2l^2} \right). \quad (54)$$

Ригель будетъ въ самыхъ выгодныхъ условіяхъ, если для всѣхъ сѣченій его моменты равны нулю т. е. въ томъ случаѣ, когда

$$P(t_1 - t_0) \left( \frac{l^2 - 4x^2}{2l^2} \right) = \frac{p}{2} \left( \frac{l^2}{4} - x^2 \right) \text{ отсюда при } P = \frac{plw}{4f}$$

$$\frac{plw}{4f} (t_1 - t_0) \left( \frac{l^2 - 4x^2}{2l^2} \right) = \frac{p}{2} \left( \frac{l^2 - 4x^2}{4} \right),$$

$$\frac{t_1 - t_0}{l} = \frac{f}{w} \quad . . . . . \quad (55)$$

Если при  $\frac{f}{w} = \frac{1}{5}$  назначить  $(t_1 - t_0) = \frac{l}{5}$ , то напряже-

$$\frac{f}{w} = \frac{1}{5}; \quad f = \frac{w}{2} l_{2\alpha}; \quad l_{2\alpha} = \frac{2f}{w} = \frac{2}{5} = 0,4; \quad \alpha = -22^\circ$$

нія въ ригель будуть вызваны только одной продольной силой  $P$ . Высоту ригеля  $t_0$  на концахъ слѣдуетъ назначагь, сопробразуясь съ сѣченіемъ створиаго и вереяльного столба.—

Предѣльную величину  $\frac{t_1 - t_0}{l} = \frac{f}{w}$  примѣнять на практикѣ не слѣдуетъ, потому что ригели при этомъ получаются слишкомъ изогнутыми, тогда какъ всѣ выше приведенные формулы выведены для пологой кривой; кромѣ того устройство нишъ въ стѣнахъ для помѣщенія открытыхъ воротъ становится крайне неудобнымъ. Однако все вышеизложенное показываетъ, что ригелямъ выгодно придавать полуарбоческую форму.

Въ серединѣ ригеля будетъ моментъ

$$M_{\frac{l}{2}} = \frac{p l^2}{8} - P \frac{(t_1 - t_0)}{2} = \frac{p l}{8} \left[ l - \frac{w(t_1 - t_0)}{f} \right].$$

Для  $x = +\frac{l}{2}$  и  $x = -\frac{l}{2}$  будетъ  $M = 0$ .

Наибольшее напряженіе опредѣляется по формулѣ (53), куда вместо  $P$  надо подставить  $\frac{p l w}{4f}$  и вместо  $M$  для средняго сѣченія найденное выше  $M_{\frac{l}{2}}$ .

При расчетѣ удобнѣе опредѣлить сѣченіе сначала только по моменту, а потомъ уже провѣрить его по формулѣ (53) или (53').

*Поперечное сѣченіе ригеля.* Ригели дѣлаются или изъ прокатныхъ балокъ или изъ листовъ и уголковъ.

а) Ригели изъ прокатныхъ балокъ обыкновенно имѣютъ въ сѣченіи форму **С** или **I**; сѣченіе это остается постояннымъ по всей длини. Ставить ригели различной высоты на различной глубинѣ неудобно, поэтому часто всѣ ригели дѣлаются одного сѣченія, а для того, чтобы съ большею выгодою использовать затраченный материалъ, назначаютъ разстоянія между ригелями внизу менѣе, чѣмъ вверху. Ширина полокъ двутавровыхъ балокъ малаго калибра бываетъ недостаточна

для того, чтобы поставить заклепки въ два ряда; въ такихъ случаяхъ удобнѣе назначать ригели С-образнаго сѣченія и ставить одинъ рядъ заклепокъ. Въ тѣхъ же мѣстахъ, гдѣ располагаютсястыки листовой обшивки, предпочтитаются ставить ригели, склепанные изъ листовъ и четырехъ уголковъ.

Ригели небольшихъ плоскихъ воротъ рекомендуется дѣлать изъ прокатныхъ балокъ: они выгодны въ смыслѣ количества затраченного материала, и соединеніе ихъ съ створнымъ и вереяльнымъ столбами очень просто и удобно. Отношеніе высоты ригеля къ длини его въ существующихъ воротахъ колеблется отъ  $\frac{1}{8}$  до  $\frac{1}{15}$ .

б) Склепанные ригели въ поперечномъ сѣченіи имѣютъ форму обыкновенныхъ склепанныхъ балокъ; стѣнка въ этомъ случаѣ располагается горизонтально, а пояса—вертикально (черт. 81 и 83).

Высота такихъ ригелей (измѣряемая въ данномъ случаѣ горизонтально) или остается постоянной или увеличивается къ серединѣ. Выше было доказано, что ригели постоянной высоты для широкихъ воротъ не выгодны.

Высоту ригеля по концамъ  $t_o$  назначаютъ съ такимъ расчетомъ, чтобы соединеніе его съ створнымъ и вереяльнымъ столбами было удобно. Большею частью эта высота  $t_o$  равняется высотѣ поперечнаго сѣченія столбовъ. Для увеличенія высоты къ серединѣ ригелю придаютъ въ планѣ форму трапеции или же одинъ поясъ его, обращенный въ сторону верхняго бьефа, изгибаются по дугѣ круга или параболы, а другой оставляютъ прямолинейнымъ. Типы такихъ ригелей указаны на чертежахъ 74, 75, 78, 81, 82, 83, 85 и 90.

Въ исключительныхъ случаяхъ дѣлаются ригели и решетчатые. Толщина сплошной стѣнки ригелей бываетъ отъ 5 мм. до 15 и даже болѣе. Въ виду возможной ржавчины не слѣдуетъ дѣлать ее тоньше 6 мм. Поясные уголки бываютъ размѣрами  $60 \times 60 \times 8$  до  $100 \times 100 \times 10$  мм. и болѣе (черт. 92).

**§ 45. Нижній рамный брусь.** По всей своей длини соприкасается съ порогомъ; слѣдовательно вовсе не подверженъ

изгибу подъ напоромъ воды, такъ что его можно дѣлать болѣе слабымъ по сравненію съ прочими ригелями. Назначеніе его состоитъ главнымъ образомъ въ томъ, чтобы сдѣлать створъ въ плоскости короля водонепроницаемымъ и ослаблять силу удара при закрываніи воротъ.

Водонепроницаемость достигается почти исключительно примѣненіемъ деревянныхъ досокъ или брусковъ, которые прикрѣпляются къ нижнему рамному брусу и прилегаютъ къ королю. Для этой цѣли примѣняютъ большую частью дубъ. По мнѣнію Франціуса дубъ оказываетъ вредное вліяніе на желѣзо своей дубильной кислотой; для достижениѣ большей плотности между желѣзомъ и деревомъ прокладываются просмоленный войлокъ. Для предохраненія желѣзныхъ частей отъ ржавчины подъ дерево кладутъ также тонкій (6 мм.) желѣзный листъ. Деревянные бруски или доски обыкновенно прямо упираются въ король. Въ воротахъ гавани St. Nazaire для увеличенія плотности на король наложенъ каучукъ; цѣлесообразность этого еще не доказана опытомъ. Деревянныя части прикрѣпляются къ нижнему рамному брусу при помощи болтовъ діаметра 20—25 мм.; головка этихъ болтовъ должна быть вточена въ дерево (черт. 93, 95, 96). При этомъ надо стараться достигнуть такой передачи усилий, чтобы нижний рамный брусъ не быть подверженъ скручивающему моменту; для этого ось его и ось деревянного бруса должны находиться въ одной горизонтальной плоскости. Конструкцій, указаныхъ на черт. 94 и 97 нельзя рекомендовать; примѣненіе ихъ въ существующихъ воротахъ вызвано желаніемъ устранить соприкосновеніе дерева съ обшивкой (черт. 93). Конструкція, указанная на черт. 98, имѣеть тотъ недостатокъ, что внутреннее пространство коробки, расположенной подъ воротами, не доступно, и сборка въ данномъ случаѣ очень затруднительна. Удобнѣе примѣнять конструкцію, показанную на черт. 94.

Для указанной выше цѣли примѣняются доски толщиною отъ 5 сант., лучше 8—13 сант., и шириной 15—20 сант.; для большихъ шлюзовъ лучше примѣнять брусья размѣрами отъ  $20 \times 20$  до  $25 \times 25$  сант. Въ тѣхъ мѣстахъ, где встрѣчается пашень, для предохраненія слѣдуетъ обивать дерево гвоздями.

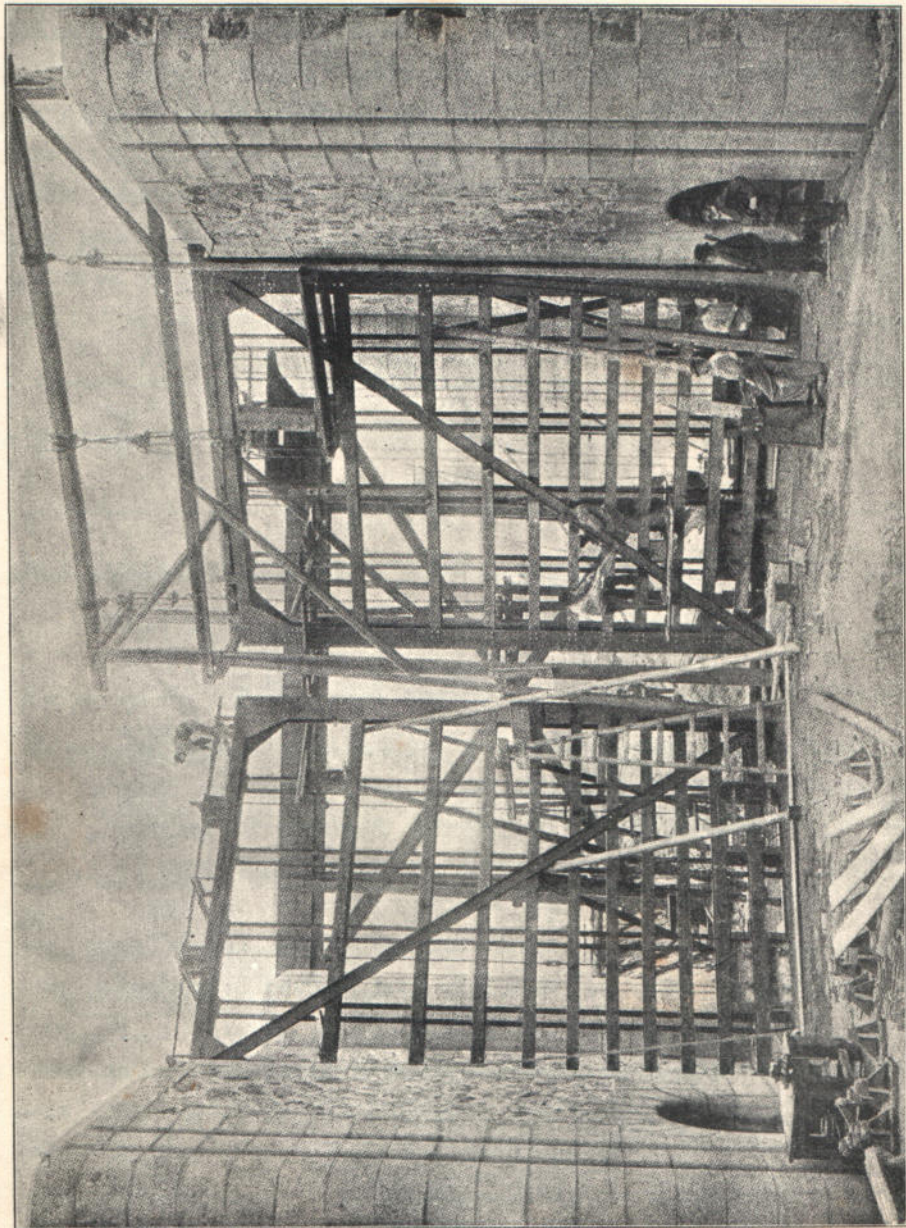
Иногда въ такихъ случаяхъ дерево замѣняютъ желѣзными рейками.

**§ 46. Верхній рамный брусь и служебный мостикъ.** Въ большинствѣ воротъ старой конструкціи на верхній рамный брусь передаются незначительныя усиленія; отъ прочихъ ригелей этотъ брусь отличается только тѣмъ, что на немъ устраивается служебный мостикъ и прикрѣпляется механизмъ для затворовъ. При большой толщинѣ воротъ, напр., при плавучихъ затворахъ ширина служебного мостика почти равняется ширинѣ верхняго рамнаго бруса; въ противномъ случаѣ этотъ мостикъ устраивается на консоляхъ. Ширину его дѣлаютъ ровной отъ 0,5 до 1,35 м. Перила ставятся съ одной только стороны, а иногда и съ двухъ (черт. 99). Въ виду того, что временная нагрузка мостика бываетъ ничтожна (въсѣ нѣсколькихъ рабочихъ), консоли и соответствующія опоры бываютъ очень слабаго сѣченія; разстояніе между ними дѣлается равнымъ отъ 60 до 120 сант. иногда и болѣе. Настиль состоитъ изъ досокъ толщиною 5—8 сант. На черт. 99 и до 104 показана конструкція верхняго рамнаго бруса и служебнаго мостика.

Верхніе рамные брусья имѣютъ большее значеніе въ воротахъ новой конструкціи, гдѣ ригели замѣнены вертикальными стойками. Послѣднія весь напоръ воды передаютъ на верхній и нижній рамный брусья. Послѣдній по всей длини опирается на король и такимъ образомъ, не подвергаясь изгибу, прямо передаетъ все усиленіе на кладку.

Для того, чтобы получить вполнѣ опредѣленную передачу силъ, рекомендуется ставить особья подушки на обоихъ концахъ верхняго рамнаго бруса т. е. на створномъ столбѣ и въ углахъ шкафовъ; благодаря такому устройству верхній брусья работаетъ какъ трехшарнирная арка. Если бы не надо было заботиться о водонепроницаемости въ плоскости соприкасанія створныхъ столбовъ, то средній шарниръ можно было бы поставить только въ томъ мѣстѣ, гдѣ соприкасаются концы верхнихъ рамныхъ брусьевъ; тогда распоръ передавался бы

Сборка и установка железнных ригельных воротъ.



только черезъ этотъ шарниръ, и дѣйствующія усилія легко опредѣлились бы по законамъ статики. Въ дѣйствительности же ради водонепроницаемости створные столбы должны со-прикасаться по всей своей длинѣ. Расчетъ верхняго бруса при такой конструкції дѣлается согласно тому, что сказано въ § 44. Силы, дѣйствующія на него, равны реакціямъ А опоръ стоекъ и опредѣляются по § 49; величина ихъ зависитъ отъ глубины верхняго и нижняго бьефовъ т. е. отъ формы площади давленія. Если разстоянія между стойками =  $a$ , и верхній рамный брусъ совпадаетъ съ поверхностью воды верхняго бьефа, то согласно черт. 56

$$A = \frac{\gamma}{2} (h_1^2 - e^2) \frac{x_o \cdot a}{h_1},$$

и если  $e=0$ , то

$$A' = \frac{\gamma a}{6} h_1^2,$$

поэтому нагрузка на 1 пог. мет. верхняго бруса

$$p_A = \frac{\gamma (h_1^2 - e^2) x_o}{2 h_1}, \quad p' = \frac{\gamma h_1^2}{6}.$$

Передача усилій только на рамные брусья представляетъ много выгода: прежде всего, при этомъ расчетъ проще и точнѣе, а потому и затрата матеріала будетъ меньше, т. к. нѣтъ надобности назначать съ большимъ запасомъ сѣченія элементовъ, что необходимо дѣлать при неточномъ расчетѣ; затѣмъ, при небольшомъ числѣ элементовъ болѣе сильного сѣченія матеріалъ (сталь или желѣзо) лучше утилизируется, чѣмъ при большомъ количествѣ слабыхъ элементовъ, потому что послѣдніе ради конструктивныхъ соображеній приходится часто дѣлать значительно сильнѣе, чѣмъ требуется по расчету; увеличеніе площади необходимаго сѣченія элементовъ на ослабленіе заклепокъ въ данномъ случаѣ значительно меньше, и наконецъ весьма важное преимущество этой конструкції состоитъ въ томъ, что обоимъ верхнимъ брусьямъ можно придать наивыгоднѣйшую форму, пользуясь резуль-

татами изслѣдований § 44, т. е. назначить ось ихъ криволинейной съ такимъ расчетомъ, что во всѣхъ съченіяхъ моменты будутъ равны нулю. Для этого грань рамныхъ брусьевъ, расположеннную со стороны нижняго бьефа дѣлаютъ прямолинейной, а другую назначаютъ по дугѣ параболы при  $\frac{t_1 - t_0}{l} = \frac{f}{w}$ . Если оставъ воротъ сдѣлать изъ нѣсколькихъ ригелей и всѣмъ имъ придать такую форму, то пришлось бы сдѣлать слишкомъ глубокіе шкафы и такимъ образомъ сильно ослаблять стѣны шлюза. Совсѣмъ другое получается при воротахъ, оставъ которыхъ состоитъ изъ стоекъ, опирающихся на верхніе и нижніе рамные брусья, потому что самыя ворота при этомъ можно сдѣлать сравнительно тонкими, а верхнему ригелю можно придать значительную высоту въ серединѣ, такъ чтобы онъ нѣсколько свѣшивался надъ воротами со стороны верхняго бьефа. Глубина шкафа при этомъ будетъ увеличиваться только въ верхней части стѣны, такъ что ослабленіе послѣдней будетъ ничтожно.

На черт. 105 представлены подобныя ворота; здѣсь  $\frac{t_1 - t_0}{l}$

не равняется точно  $\frac{f}{w}$ , а потому будутъ незначительныя дополнительныя напряженія и отъ изгиба. Напоръ воды при указанной здѣсь конструкціи передается на стойки первого и второго порядка, причемъ отъ послѣднихъ усиліе переходить на горизонтальныя вспомогательныя балочки, которыя однако нельзя разсматривать, какъ ригели, потому что въ шкафахъ для нихъ нѣть надлежащихъ опоръ. Назначеніе ихъ состоять въ томъ, чтобы передавать соответствующую часть напора воды на стойки I порядка; послѣднія же всю нагрузку распредѣляютъ между верхними и нижними рамными брусьями. Пяти среднимъ стойкамъ соответствуютъ пять реберъ жесткости верхняго ригеля. Надо замѣтить, что въ данномъ случаѣ не смотря на полупарabolическую форму верхняго бруса вполнѣ выполнено предположеніе, сдѣланное выше, въ § 44 и состоящее въ томъ, что силы передаются нормально королю. Наконецъ удобство этой конструкціи заключается и

въ томъ, что наиболѣе напряженныя части верхняго ригеля легко доступны для осмотра.

Въ новыхъ воротахъ для шлюзовъ въ Гаврѣ оба верхніе ригеля сдѣланы въ видѣ балокъ со сплошной стѣнкой, высота послѣднихъ равна толщинѣ воротъ (черт. 99); на обоихъ концахъ ихъ прикреплены опорныя подушки. На черт. 106 представлена подушка для вереяльного столба, а на черт. 107— для конца створнаго столба. При этомъ створные столбы конечно соприкасаются ио всей высотѣ воротъ, такъ что усилие передается не только на верхній ригель. Плоскости соприкасанія подушекъ, играющихъ роль средняго шарнира, здѣсь довольно велики, такъ что точка приложенія дѣйствующаго здѣсь усилия не вполнѣ извѣстна. По этому слѣдовало бы дѣлать эти шарниры такъ же, какъ для арочныхъ мостовъ. Подобная подушка поставлена по проекту Brennecke въ шлюзахъ Nord—See—Kanal (см. черт. 108). Подушки, прикрепленныя въ створѣ къ верхнимъ ригелямъ, соприкасаются по плоскости. Обратная сторона одной подушки представляетъ часть поверхности шара, такъ что при открытии и закрытии воротъ подушка эта нѣсколько перемѣщается, а потомъ сильными пружинами опять приводится въ свое нормальное положеніе. Для того, чтобы распределеніе дѣйствующихъ усилий было вполнѣ ясно, сжимающее усилие должно бы передаваться на створный столбъ только въ двухъ точкахъ, именно на подушки, прикрепленныя къ верхнему ригелю и около порога. Brennecke рекомендуетъ прикреплять деревянные брусья къ створнымъ столbamъ не наглухо, а съ нѣкоторымъ зазоромъ, и въ зазорѣ этотъ помѣщать упругія прокладки (например каучуковыя цилиндрическія шайбы).

**§ 47. Количество материала въ ригеляхъ.** Для того, чтобы можно было судить о выгодности извѣстной конструкціи воротъ, надо знать теоретическій вѣсъ ригелей. Положимъ сначала, что ось ригеля прямолинейна и проходитъ черезъ середину высоты его. Нагрузка на пог. единицу ригеля =  $p$ , продольная сила, параллельная порогу, =  $P$  и совпадаетъ съ

осью ригеля. Для произвольного сечения, взятого на расстоянии  $x$  отъ вереяльного столба,

$$M_x = \frac{p}{2} (lx - x^2).$$

Если бы продольной силы вовсе не было, то необходимое сечение ригеля зависѣло бы исключительно только отъ  $M_x$ ; въ данномъ случаѣ для решенія заданнаго вопроса съ достаточной точностью можно положить, что необходимая площадь поперечнаго сечения

$$\varphi_x = \rho M_x$$

гдѣ  $\rho$  есть величина, зависящая отъ формы сечения и допускаемаго напряженія; для однихъ и тѣхъ же воротъ величину эту можно считать постоянной. Объемъ всего ригеля

$$\frac{\text{мк.}^12}{2 \cdot \text{дм}^3} = \frac{6 \text{м}}{\text{дм}^2} = \frac{6 \text{м}}{wh} \quad v = \int_0^l \rho M_x dx = \rho \frac{p l^3}{12}.$$

На всѣ ригели вмѣстѣ дѣйствуетъ нагрузка  $\Sigma(p)$ . Для упрощенія можно принять высоту воротъ равной глубинѣ верхняго бьефа, такъ что  $\Sigma(p) = \frac{\gamma h^2}{2}$ . Тогда теоретический объемъ всѣхъ ригелей для одного полотна

$$\Sigma(v) = \rho \frac{\gamma h^2 l^3}{24} \quad \dots \dots \dots \dots \dots \dots \quad (56).$$

Въ воротахъ небольшой ширины ригели по всей длини бываютъ постояннаго сечения. Тогда объемъ всѣхъ ригелей

$$\Sigma(v') = \frac{\rho p l^2}{8} l = \frac{\rho \gamma h^2 l^3}{16} \quad \dots \dots \dots \dots \dots \dots \quad (57).$$

Въ дѣйствительности же кромѣ изгибающихъ моментовъ на ригели дѣйствуютъ и продольныя силы  $P$ . Если пренебречь моментомъ, вызваннымъ дѣйствиемъ этой силы на плечо, равное стрѣлѣ прогиба отъ нагрузки  $pl$ , то дополнительное напряженіе въ ригель отъ продольнаго сжатія  $N_1 = \frac{P}{F}$ . На черт. 109 линія 22<sup>1</sup> представляетъ распределеніе напря-

женій отъ изгиба и продольного сжатія; Линія 11<sup>1</sup> указываетъ законъ измѣненія напряженій отъ  $M_x$ , отрѣзки 12 и 1' 2' представляютъ напряженія отъ продольного сжатія. Наибольшее напряженіе на сжатіе представлено отрѣзкомъ 02, наибольшее напряженіе на растяженіе—отрѣзкомъ 0' 2'. Уменьшеніе напряженія на вытянутой сторонѣ не влечеть за собою уменьшенія материала. Для наиболѣе опаснаго сѣченія при допускаемомъ напряженіи  $K$  должно быть  $K \leq M \frac{a}{J} + \frac{P}{F_\varphi}$  (см. форм. 53).

Для того, чтобы можно было воспользоваться формулами 56 и 57, вмѣсто дѣйствительного момента  $M$  надо подставить  $M'$ , который вызывалъ бы тоже наибольшее напряженіе на сжатіе, какъ и дѣйствительныя силы. Значеніе момента  $M'$  получится изъ уравненія

$$M' \frac{a}{J} = M \frac{a}{J} + \frac{P}{F_\varphi}, \text{ отсюда } M' = M + \frac{P}{F_\varphi} \frac{J}{a}.$$

Если ввести въ расчетъ этотъ моментъ, то

$$\begin{aligned} \varphi_x &= \rho M + \rho \frac{P}{F_\varphi} \frac{J}{a} \\ v &= \frac{\rho p l^3}{12} + \rho \frac{P}{F_\varphi} \frac{J}{a} l, \text{ а такъ какъ } P = \frac{p l w}{4 f} (\S\ 44), \text{ то} \\ v &= \frac{\rho p l^2}{12} \left( l + \frac{3 J w}{f_\varphi F a} \right). \end{aligned}$$

Объемъ всѣхъ ригелей

$$\Sigma(v) = \frac{\rho \gamma h^2 l^2}{24} \left[ l + \frac{3 w}{F_\varphi f} \left( \frac{J}{a} \right) \right] \quad . . . . . \quad (58).$$

Если всѣ ригели постояннаго сѣченія, то

$$\Sigma(v') = \frac{\rho \gamma h^2 l^2}{16} \left[ l + \frac{2 w}{F_\varphi f} \left( \frac{J}{a} \right) \right]^* \quad . . . . . \quad (59).$$

На практикѣ объемъ ригелей всегда получается больше указаннаго.

<sup>\*)</sup> Проф. Landsberg не принимаетъ во вниманіе уменьшенія допускаемаго напряженія на случай продольного изгиба, а потому въ своемъ сочиненіи „Die eisernen stemmthore der Schiffsschleusen“ онъ приводить на стр. 60 для опредѣленія теоретического объема ригелей формулы, въ которыхъ коефиціентъ  $\varphi$  отсутствуетъ,

Объемъ ригелей можно уменьшить, если заставить продольную силу проходить эксцентрично ближе къ тому ребру, въ которомъ изгибающіе моменты вызываютъ растяжение (черт. 110). Если эксцентризитетъ =  $e$ , то для любого съченія

$$M_x = \frac{p}{2}(lx - x^2) - Pe.$$

Наибольшее напряженіе въ этомъ съченіи по формулѣ Навье

$$N_{max} = M_x \frac{a}{J} + \frac{P}{\varphi F} = \left[ \frac{p}{2}(lx - x^2) - Pe \right] \frac{a}{J} + \frac{P}{\varphi F}. \text{ старые}$$

Если напряженіе отъ продольного сжатія и продольного изгиба равны, т. е.

$$\frac{P}{\varphi F} - \frac{Pe a}{J} = 0, \text{ то } e = \frac{J}{\varphi Fa}.$$

При такомъ эксцентризитетѣ, пренебрегая моментомъ, вызываемымъ дѣйствиемъ продольной силы на стрѣлу прогиба отъ нагрузки  $pl$ , получимъ напряженія той же величины, какъ и отъ одного момента  $\frac{p}{2}(lx - x^2)$ , т. е. будто бы продольной силы вовсе и не было. Полученная величина эксцентризитета  $e = \frac{J}{\varphi Fa}$  есть ничто иное, какъ разстояніе крайней точки ядра съченія отъ оси бруса. Извѣстно, что отъ продольной силы, приложенной на разстояніи  $\frac{J}{\varphi Fa}$  отъ оси бруса, въ ребрѣ, расположенному по другую сторону оси, напряженія равны нулю. Слѣдовательно можно считать доказаннымъ, что

*въ ригель, опирающемся въ створный и вереяльный столбы крайними точками ядра съченія, расположеннымыми со стороны верхняго бѣрафа, напряженія определяются только по моменту  $\frac{p}{2}(lx - x^2)$ .*

Такое соединеніе ригеля съ створнымъ и вереяльнымъ столбами легко сдѣлать, если съченіе ригеля по всей длини

остается постояннымъ; труднѣе достигнуть этого при перемѣнномъ сѣченіи; а такъ какъ при этомъ разстояніе крайнихъ точекъ ядра сѣченія отъ оси измѣняется сравнительно немного, то и здѣсь можно достигнуть почти того же результата.

Выше предполагалось, что напряжение на сжатие по абсолютной величинѣ больше напряженія на растяженіе. Величина послѣдняго

$$N_{\max, \text{pacm.}} = \frac{p}{2} (lx - x^2) \frac{a}{J} - Pe \frac{a}{J} - \frac{P}{\varphi F} \text{ при } e = \frac{J}{\varphi Fa}$$

Слѣдовательно указанное предположеніе всегда выполнено.  
(Въ послѣднее выраженіе  $N_{\max, \text{сжат.}}$  надо подставить не обращая вниманіе на знакъ).

Изъ всего вышеизложенного слѣдуетъ, что при извѣстной конструкціи объемъ ригелей зависитъ только отъ момента  $\frac{p}{2} (lx - x^2)$ . Слѣдовательно по формуламъ (56) и (57) теоретической объемъ ригелей

$$\Sigma(v) = \frac{\rho \gamma h^2 l^3}{24} \quad \text{and} \quad \Sigma(v') = \frac{\rho \gamma h^2 l^3}{16}.$$

#### § 48. Сравнение ригельныхъ и стоечныхъ воротъ.

Попробуемъ опредѣлить, когда выгоднѣе примѣнять ворота ригельной или стоечной системы. Для этого достаточно сравнить ихъ теоретическіе объемы, при этомъ объемы створныхъ и вереяльныхъ столбовъ можно и не принимать во вниманіе.

Въ ригельныхъ воротахъ объемъ всѣхъ ригелей

$$\text{habar orupm } \mathfrak{B}_1 = \frac{\rho \gamma h^2 l^3}{24} \quad \dots \dots \dots \quad (60),$$

если они такъ устроены, что точки опоръ ихъ даютъ наивыгоднѣйшій эксцентризитетъ. —

Теперь опредѣлимъ объемъ стоекъ въ воротахъ стоечнаго типа. Согласно § 47, находимъ, что для единицы ширины воротъ (черт. 111)

$$A = \frac{\gamma h^2}{6} . \quad B = \frac{\gamma h^2}{3}$$

Для сѣченія  $C$ , взятаго на глубинѣ  $y$ ,

$$M_y = Ay - \frac{\gamma y^3}{6} = \frac{\gamma h^2 y}{6} - \frac{\gamma y^3}{6} = \frac{\gamma}{6} (h^2 y - y^3)$$

Теоретическая площадь сѣченія здѣсь должна быть  $\varphi_y = \rho M_y$ , и теоретической объемъ стойки

*не ставить циркуль*  $v = \int_0^h \varphi_y dy = \rho \cdot \int_0^h M_y dy = \frac{\gamma \rho h^4}{24} =$

*некоторые сечения въ воротахъ* При ширинѣ воротъ  $l$  мет. теоретический объемъ всѣхъ стоекъ

$$V_1 = \frac{\gamma l \rho h^4}{24} .$$

Сюда надо прибавить еще объемы верхняго и нижняго рамнаго бруса. Послѣдній обыкновенно бываетъ очень слабаго сѣченія по сравненію съ первымъ, потому что онъ опирается по всей длини въ порогъ, вслѣдствіе этого для сравненія объемовъ материала воротъ различной конструкціи нижняго ригеля можно и не принимать во вниманіе. Нагрузка на единицу

длины верхняго ригеля  $p = \frac{\gamma h^2}{6}$ .

Если и здѣсь точки опоръ будуть эксцентричны и совпадутъ съ крайними точками ядра сѣченія, то усилие  $P$  не будетъ входить въ формулу объема; тогда

$$dv = \varphi_x dx = \rho M_x dx = \rho \frac{p}{2} (lx - x^2) dx ,$$

и теоретический объемъ этого ригеля

$$V_2 = \frac{\rho p l^3}{12} ; \text{ а такъ какъ } p = \frac{\gamma h^2}{6} , \text{ то}$$

$$V_2 = \frac{\gamma \rho h^2 l^3}{72} .$$

$$= \frac{16}{24} h^2 l^2 \left( h + \frac{l^2}{3} \right)$$

$$\frac{1}{2} C / n^2 = \frac{1}{3} \\ (0,50 - 0,33) l^2 > h^2 \\ l^2 > 0,855 h^2 / e$$

Общий объем стоечек и верхнего ригеля

$$V_2 = V_1 + V_2 = \frac{\gamma \rho h^2 l}{24} \left( h^2 + \frac{l^2}{3} \right) \quad (61).$$

$V_1$  будет больше  $V_2$ , если  $l^2 > h^2 + \frac{l^2}{3}$ , т. е. если  $l^2 > 1,5 h^2$

$$\left( \frac{l}{h} \right)^2 > 1,5; \quad \frac{l}{h} > 1,225; \quad l > 1,225 h.$$

Следовательно въ тѣхъ случаяхъ, когда  $l > 1,225 h$ , на ригельные ворота приходится затрачивать материала больше, чѣмъ на стоечные ворота, такъ что послѣднія будутъ выгоднѣе.

Пожалуй можно подумать, что при сравненіи ригельныхъ ворот разсматривались въ болѣе выгодныхъ условіяхъ, такъ какъ въ объемъ ихъ включенъ и объемъ нижняго ригеля, тогда какъ въ объемъ стоечныхъ воротъ послѣдній вовсе не входитъ; но это вполнѣ правильно, потому что при устройствѣ воротъ, оставъ которыхъ состоитъ изъ ригелей, принимающихъ на себя весь напоръ воды, не всегда можно расчитывать на плотное прилеганіе къ порогу нижняго рамнаго бруса, такъ что послѣдній долженъ быть въ состояніи выдерживать все приходящееся на него давленіе. Какъ сказано было ранѣе, на практикѣ стоечные ворота представляютъ иѣ-которую выгоду: въ нихъ дѣйствующее усилие передается на одинъ ригель сильного сѣченія, тогда какъ въ ригельныхъ воротахъ то же усилие воспринимается иѣсколькими элементами болѣе слабаго сѣченія, поэтому въ первомъ случаѣ при раціональной конструкції объемъ затраченного материала будетъ меныше отличаться отъ теоретического, чѣмъ во второмъ. Кромѣ того верхнему ригелю стоечныхъ воротъ можно придать болѣе раціональную форму (см. § 46).

**§ 49. Стойки.** Ворота стоечной системы стали примѣняться недавно. Въ нихъ дѣйствующій на обшивку напоръ воды передается на стойки или непосредственно, или при помощи цѣлой сѣти вспомогательныхъ горизонтальныхъ и вертикальныхъ балочекъ; въ первомъ случаѣ приходится ста-

вить стойки на меньшемъ разстояніи, чѣмъ во второмъ. Такъ въ Гаврѣ въ воротахъ шлюзовъ для морскихъ пароходовъ разстояніе между стойками равно 1,443 м., обшивка для большей жесткости усилена Z-образными балочками; на каналѣ же Havre-Tancarville въ шлюзовыхъ воротахъ стойки поставлены на разстояніи 2,45 м. другъ отъ друга, соединены при томъ тремя горизонтальными балками, на которыхъ давленіе воды передается черезъ стойки второго порядка.

При расчетѣ стоекъ нагрузка принимается или сплошной, распределенной по извѣстному закону, который выражается треугольникомъ или трапецией давленія, или сосредоточенной въ мѣстахъ прикрепленія продольныхъ вспомогательныхъ балочекъ. Какъ въ томъ, такъ и въ другомъ случаѣ расчетъ не представляетъ затрудній. Для общаго изслѣдованія достаточно разсмотрѣть первый случай.

Высота верхняго рамнаго бруса, который для упрощенія предполагается на уровнѣ воды верхняго бьефа, надъ точкой (*B*) опоры стойки въ порогѣ  $= h_1$ , разстояніе отъ горизонта нижняго бьефа до той же точки *B* равно  $e$ , разность горизонтовъ воды  $h_1 - e = h_2$ , разстояніе между стойками  $= b$ , тогда для одной стойки (черт. 112)

$$A = \frac{b\gamma}{6h_1} (h_1^3 - e^3),$$

$$B = \frac{b\gamma}{6h_1} (2h_1^3 - 3h_1e^2 + e^3).$$

Опредѣлимъ моменты для участковъ *AC* и *CB*.

*Участокъ AC.* Для съченія, взятаго на глубинѣ  $y$ , моментъ

$$M_y = Ay - \frac{\gamma by^3}{6}.$$

Изъ уравненія  $O = A - \frac{\gamma by^2}{2}$  находимъ, что максим.  $M$

будеть для

$$y_{max} = \sqrt{\frac{2A}{\gamma b}} = \sqrt{\frac{h_1^3 - e^3}{3h_1}}.$$

При  $e = 0$ , т. е. при самомъ не выгодномъ загружениі,  $y_{max} = \frac{h_1}{\sqrt{3}} = 0,578 h_1$  и  $M_{max} = 0,064 b \cdot \gamma \cdot h_1^3$ .

Если получится  $y_{max} = h_2$ , то наибольшее значеніе  $M_y$  будетъ для съченія  $C$ . Если же  $y_{max} < h_2$ , то наибольшій моментъ будетъ въ съченіи, расположенномъ между  $A$  и  $C$ .

$y_{max} \leq h_2$  будеть въ томъ случаѣ, если  $\sqrt{\frac{h_1^3 - e^3}{3 h_1}} \leq h_2$ , или при  $h_2 = h_1 - e$ .

$$2 h_1^3 - 6 h_1^2 e + 3 h_1 e^2 + e^3 \geq 0$$

$$2 \left( \frac{h_1}{e} \right)^3 - 6 \left( \frac{h_1}{e} \right)^2 + 3 \left( \frac{h_1}{e} \right) + 1 \geq 0.$$

Полагая  $\frac{h_1}{e} = x$ , изъ уравненія  $2 x^3 - 6 x^2 + 3 x + 1 \geq 0$  находимъ  $x \geq 2,22$  или  $h_1 \geq 2,22 e$ .

Слѣдовательно, если  $h_1 > 2,22 e$ , наибольшій моментъ будеть въ съченіи, расположенномъ гдѣ нибудь между  $A$  и  $C$ .

$$M_{max} = \frac{b \gamma}{9 h_1} \left( h_1^3 - e^3 \right) \sqrt{\frac{h_1^3 - e^3}{3 h_1}} \quad \text{при } e = 0$$

Участокъ  $CB$ . Для съченія, взятаго на высотѣ  $z$  надъ порогомъ  $B$ ,

$$M_z = B z - \frac{b \gamma h_2 z^2}{2}.$$

Изъ уравненія  $0 = B - b \gamma h_2 z$  находимъ, что  $Max. M$  будеть при

$$z_{max} = \frac{B}{\gamma h_2 b} = \frac{B}{\gamma b (h_1 - e)} = \frac{2 h_1^3 - 3 h_1 e^2 + e^3}{6 h_1^2 - 6 h_1 e}$$

При томъ, если  $z_{max}$  получится  $\leq e$ , т. е.  $\frac{2 h_1^3 - 3 h_1 e^2 + e^3}{6 h_1^2 - 6 h_1 e} \leq e$  или если  $h_1 \leq 2,22 e$  наибольшій моментъ будеть на участкѣ  $BC$ . Подставляя значеніе  $z_{max}$  въ выражение для  $M$ , на-

ходимъ, что на участкѣ  $CB$  наибольшій моментъ  $M_{max} = \frac{B^2}{2\gamma b(h_1 - e)}$ .

Если же  $h_1 = 2,22e$ , то наибольшіе моменты для обоихъ участковъ очевидно равны по величинѣ и получаются въ сѣченіи, проведенномъ черезъ  $C$ .

Такимъ образомъ, если  $h_1 > 2,22e$  то макс.  $M_y$  получится на участкѣ  $AC$ , а макс.  $M_z$  не на участкѣ  $BC$ , а выше  $C$ .

Если  $h_1 < 2,22e$ , то макс.  $M_y$  получится ниже  $C$ , а макс.  $M_z$  на участкѣ  $BC$  т. е. въ обоихъ случаяхъ ниже  $C$ .

Пользуясь этимъ правиломъ легко опредѣлить наибольшій моментъ.

Если вычертить кривыя моментовъ для обоихъ участковъ, то для точки  $C$  тангенсъ касательной, проведенной къ кривой, соответствующей участку  $AC$ , будетъ  $\left(\frac{d M_y}{dy}\right)_{y=h_2} = A - \frac{\gamma b h_2^2}{2}$ ,

а для кривой, соответствующей участку  $BC$ ,

$$\left(\frac{d M_z}{dz}\right)_{z=e} = B - b\gamma h_2 e.$$

Подставляя сюда значения  $A$  и  $B$ , найдемъ что обѣ касательныя совпадаютъ; это показываетъ, что обѣ вѣтви принадлежать одной плавной кривой

*Перерѣзывающія силы въ стойкахъ.*

*Участокъ  $AC$ .* Для любого сѣченія, взятаго на разстояніи  $y$  отъ  $A$ , перерѣзывающее усилие

$$Q_y = A - \frac{\gamma b y^2}{2} = \frac{\gamma b}{6} \left[ h_1^2 - \frac{e^3}{h_1} - 3y^2 \right].$$

По теоремѣ Шведлера  $Q = \frac{d M_y}{dy}$  и будетъ равняться нулю въ томъ сѣченіи, гдѣ получается максим.  $M_y$ .

*Участокъ  $BC$ .* Для любого сѣченія  $Q_z = B - \gamma z h_2$ . Графически это изобразится прямой линіей.

Стойки обыкновенно делаются въ видѣ двутавровыхъ балокъ со сплошной стѣнкой.

*Примѣръ 1.* Дано:  $h_1=10$  м.,  $e=4,5$  м.,  $h_2=5,5$  м.,  $b=1,5$  м.

Здѣсь  $h_1=2,22e$ ; следовательно для обоихъ участковъ *Maxim M* будетъ въ сѣченіи *C*.

$$A = \frac{1,5 \gamma}{6 \cdot 10} (10^3 - 4,5^3) = 22722 \text{ kg.}$$

$$B = \frac{1,5 \gamma}{6 \cdot 10} (2000 - 30 \cdot 20,25 + 91,125) = 37090 \text{ kg.}$$

$$M_{max} = 83377 \text{ kgm.}$$

На черт. 113 а представлены эпюры моментовъ и перерѣзывающихъ усилий

*Примѣръ 2.* Дано:  $h_1=10$  м.,  $e=3,0$  м.,  $h_2=7$  м.,  $b=1,5$  м.

Получимъ  $A=24325$  kg.,  $B=43925$  kg.,  $y_{max}=5,87$  м.,  $z_{max}=4,18$  м.  
 $M_{y max}=94218$  kgm.  $M_{z max}=91876$  kgm.

На черт. 113 б представлена эпюра моментовъ; для общей точки *C* для обѣихъ вѣтвей кривой получается одно и тоже численное значение момента  $M_{11}=84525$  kgm.

**§ 50. Веряльные столбы** должны быть тщательно соединены съ рамными брусьями и съ ригелями если таковые имѣются. Вращеніе полотенъ воротъ происходитъ около вертикальныхъ осей; для этого, нижніе столбы веряльныхъ столбовъ снабжаются пятниками, опирающимися на пяты; а шейки верхнихъ концовъ обхватываются гальсбантами, концы которыхъ закрѣпляются въ стѣнахъ. Для достижениія водонепроницаемости въ плоскости соприкасанія со стѣной веряльного столба, къ послѣднимъ рекомендуется прикрѣплять деревянные бруски; въ тѣхъ же мѣстахъ, гдѣ дерево быстро разрушается морскимъ червемъ, стараются какъ можно точнее установить верхній столбъ такъ, чтобы онъ плотно прілегалъ къ стѣнамъ шкафа, но это вообще трудно достичимо и обходится дорого. Веряльные столбы металлическихъ воротъ по примѣру деревянныхъ иногда опираются въ углы шкафовъ по всей длини даже и въ томъ случаѣ, если поставлены дополнительные бруски, обезпечивающіе водонепроницаемость. При этомъ напоръ воды, дѣйствующій на ригеліи

ли, передается прямо на стѣну черезъ вереяльный столбъ безъ изгиба послѣдняго. Но такой конструкціи нельзя рекомендовать, потому что распределеніе усилий при этомъ не ясно, и расчетъ будетъ не точенъ. Гораздо лучше въ этомъ отношеніи примѣнять новыя конструкціи, гдѣ вереяльные столбы опираются на стѣны только въ нѣсколькихъ пунктахъ, въ которыхъ ставятся особья металлическія подушки для каждого ригеля (см. черт. 74) или для нѣкоторыхъ изъ нихъ (черт. 76). При такой конструкціи передача давленія на стѣны будетъ уже вполнѣ определенная. Если не всѣ ригели опираются на подушки, то вереяльный столбъ будетъ подверженъ нѣкоторому изгибу. Въ § 46 уже было сказано, что весьма рационально передавать давленіе на стѣну только черезъ рамные брусья, потому что распределеніе усилий при этомъ становится особенно просто, и расчетъ всѣхъ частей воротъ будетъ уже вполнѣ точенъ.

Вереяльные столбы дѣлаются изъ желѣза и дерева. Чугунъ въ настоящее время для этой цѣли уже не примѣняется.

Поперечное сѣченіе вереяльного столба должно быть такое, чтобы было удовлетворено условіе прочности, чтобы просто и удобно было соединеніе его съ рамными брусьями и ригелями, чтобы можно было точно приладить къ нему деревянные бруски для достиженія водонепроницаемости, подушки подъ ригелями, шейку на верху и пятникъ внизу, и наконецъ вереяльный столбъ долженъ быть такъ устроенъ, чтобы можно было обнаружить появленіе ржавчины и возобновить окраску.

а) Вереяльные столбы, плотность соприкасанія которыхъ со углами шкафовъ достигается деревянными брусками. Столбы эти бываютъ преимущественно двутавроваго сѣченія. Для небольшихъ воротъ они дѣлаются изъ прокатныхъ **I**-ыхъ балокъ, а при большихъ размѣрахъ склеиваются изъ уголковъ и листовъ. На черт. 114 показанъ вереяльный столбъ изъ прокатнаго двутавроваго желѣза. Ригели здѣсь той же высоты, какъ и столбъ; со стороны верхняго бьефа приклѣ-

пано листовое желѣзо. Ригели со столбами соединяются при помощи уголковъ, и кромѣ того стыкъ ихъ перекрывается листовымъ желѣзомъ, какъ это показано на чертежѣ. На черт. 115 показанъ вереяльный столбъ составного сѣченія. На черт. 116 представлена конструкція вереяльного столба, примѣнявшаяся прежде. Столбъ этотъ по всей длини плотно соприкасается съ угломъ шкафа, сдѣланнаго изъ гранитныхъ плитъ, вытесанныхъ по цилиндрической поверхности, соответствующей формѣ столба. Заклепки въ этой части столба сдѣланы съ потайными головками. Конструкція эта въ настоящее время уже не примѣняется.

b) *Вереяльные столбы, при которыхъ водонепроницаемость достигается плотнымъ соприкосновеніемъ съ углами шкафовъ.* Сюда конечно можно отнести конструкцію указанную выше на черт. 116. На черт. 117 представленъ вереяльный столбъ воротъ, построенныхъ сравнительно недавно въ Wilhelmshaven'ѣ. Сѣченіе его имѣеть форму полукруга. Наружный листъ толщиною 25 мм. согнутъ и обструганъ по дугѣ круга; концы его обхватываютъ стойку, скленанную иза уголковъ и листовъ. Эта стойка вмѣстѣ съ полуцилиндромъ и образуетъ вереяльный столбъ. Къ стойкѣ прикрѣплены ригели; для жесткости вереяльного столба къ внутренней сторонѣ полуцилиндрическаго листа приклепаны уголки, которые служатъ какъ бы продолженіемъ ригелей. Горизонтальные стыки полуцилиндрическаго листа назначены въ плоскостяхъ ригелей и перекрываются съ внутренней стороны листовыми накладками толщиною 12 мм., съ которыми склеиваются и вышеупомянутые уголки жесткости. Столбъ этотъ по всей длини 14,22 м. упирается въ уголъ шкафа. Сборка этого столба очень затруднительна, и еще труднѣе достигнуть полной водонепроницаемости. Поэтому нельзя рекомендовать этой конструкціи.

Нѣсколько иначе устроены вереяльные столбы въ новыхъ англійскихъ шлюзахъ (см. черт. 118). Здѣсь оставъ вереяльного столба сдѣланъ тавроваго сѣченія и состоитъ изъ двухъ уголковъ и листовъ; къ нему прикрѣпляются два деревян-

ныхъ бруска, изъ которыхъ каждый въ поперечномъ сѣченіи представляетъ четверть эллипса; эти деревянные бруски при закрытыхъ воротахъ упираются въ углы шкафовъ и передаютъ на стѣны все усилие отъ ригелей. Главное достоинство этой конструкціи состоитъ въ томъ, что водонепроницаемость въ углахъ шкафовъ достигается очень просто, если же впослѣдствіи и окажется въ нѣкоторыхъ мѣстахъ фильтрація воды, то ее легко устраниить, смѣнивъ деревянные брусья. Соединеніе ригелей съ вереяльнымъ столбомъ здѣсь не представляетъ затрудненій; деревянные же бруски представляютъ и то преимущество, что они образуютъ упругую прокладку между воротами и стѣной. Единственное неудобство этой конструкціи заключается въ томъ, что расчетъ ригелей не точень. На черт. 119 представленъ подобный же вереяльный столбъ; отъ предыдущаго онъ отличается только тѣмъ, что слѣданъ изъ прокатнаго С-образнаго желѣза, къ которому прикрѣпляется деревянная часть при помощи шуруповъ длиною 15 сант.

с) *Вереяльные столбы для криволинейныхъ воротъ съ одиночной обшивкой.* Если обшивка воротъ расположена по кривой равновѣсія, то она передаетъ весь напоръ воды на боковыя стѣны безъ помощи ригелей и стоекъ. Въ этомъ случаѣ вереяльный столбъ служить какъ бы пятой арки, образующей ворота. Поэтому здѣсь надо обратить особенное вниманіе на то, чтобы надлежащимъ образомъ было сдѣлано соединеніе криволинейной обшивки съ вереяльнымъ столбомъ и послѣдняго съ угломъ шкафа. Для достижения водонепроницаемости и въ данномъ случаѣ полезно примѣнять деревянные брусья. На черт. 120 показано сѣченіе вереяльного столба воротъ, криволинейная обшивка которыхъ сдѣлана изъ листового желѣза. Столбъ этотъ опирается въ уголъ шкафа по цилиндрической поверхности. Послѣдняя при помощи угловъ соединяется съ обшивкой и Т-овымъ желѣзомъ поставленнымъ для жесткости послѣдней. Сборка такого столба представляетъ много затрудненій. Ничто не мѣшаетъ и въ данномъ случаѣ примѣнять столбы крестообразнаго и двутавро-

ваго съченія и опирать ихъ въ углы шкафовъ не по всей длини, а только въ нѣкоторыхъ пунктахъ.

На черт. 121 показано поперечное съченіе вереяльного столба для шлюзовыхъ воротъ канала Oder—Spree. Обшивка здѣсь сдѣлана изъ волнистаго желѣза.

Вереяльный столбъ сдѣланъ коробчатаго съченія изъ четырехъ листовъ и четырехъ уголковъ. Давленіе отъ вереяльного столба на стѣну передается черезъ нѣсколько опорныхъ подушекъ. Волнистое желѣзо соединяется со столбомъ при помощи корытнаго, а съ послѣднимъ при помощи чугунныхъ отливокъ.

Интересны также сравнительно новѣйшія конструкціи вереяльныхъ столбовъ, изображенныя на черт. 122 и 123.

### § 51. Расчетъ вереяльныхъ столбовъ.

а) *Вереяльные столбы ригельныхъ воротъ.* Столбы, упирающіеся въ углы шкафовъ по всей своей длини, вовсе не работаютъ на изгибъ; изгиба не бываетъ и въ томъ случаѣ, если давленіе на каменную кладку передается только въ нѣсколькихъ пунктахъ черезъ особыя подушки, поставленныя противъ каждого ригеля. Слѣдовательно вереяльный столбъ будетъ подверженъ изгибу только въ томъ случаѣ, когда опоры назначены не для каждого ригеля, какъ это схематически представлено на черт. 124. На каждый ригель дѣйствуютъ два рода усилий: продольное, направленное по оси ригеля, и поперечное, нормальное къ оси его. Послѣднее передается прямо на стѣну такъ, что вереяльный столбъ будетъ изгибаться только подъ вліяніемъ силъ, направленныхъ по оси ригелей.

При расчетѣ вереяльный столбъ можно рассматривать какъ неразрѣзную балку. Опорные моменты  $M_n, M_{n+1}, M_{n+2} \dots$  опредѣляются изъ основного уравненія

$$\left. \begin{aligned} & M_n c_n + 2 M_{n+1} (c_n + c_{n+1}) + M_{n+2} c_{n+1} = \\ & = 6 \int_0^{c_{n+1}} m_{n+1} dx + \frac{6}{c_n} \int_0^{c_n} m_n x dx - \frac{6}{c_{n+1}} \int_0^{c_{n+1}} m_{n+1} x dx \end{aligned} \right\} \quad (62).$$

Здѣсь черезъ  $m_n, m_{n+1}$  обозначены тѣ моменты, которые по-

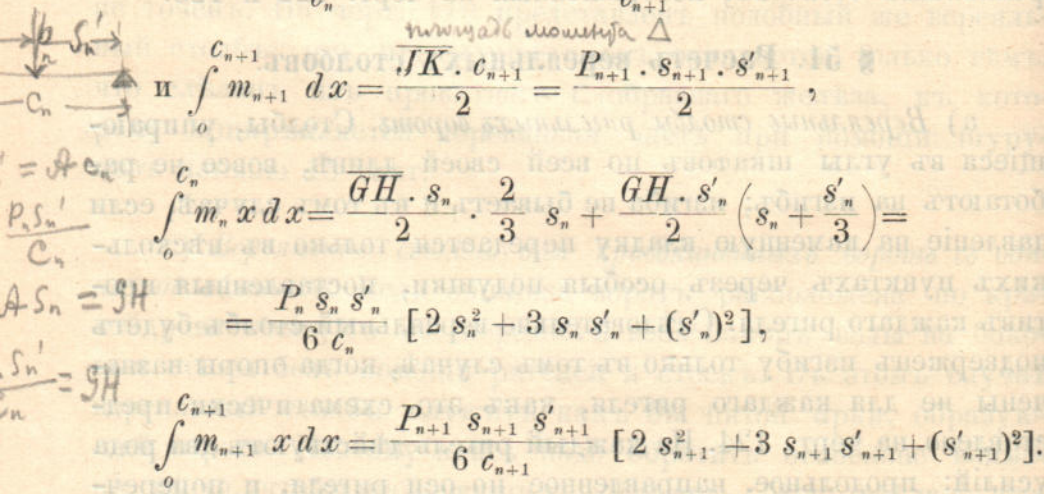
лучились бы въ съченіяхъ  $n$ -аго и  $(n+1)$ -аго пролета въ томъ случаѣ, если бы эти пролеты были перекрыты свободно-лежащими балками.

Далѣе будемъ разсматривать пролеты съ однимъ и двумя грузами, расположенныміи между опорами.

Пролеты съ однимъ сосредоточеннымъ грузомъ. Эпюра моментовъ  $m$  для съченій свободнолежащей балки при одномъ сосредоточенномъ грузѣ, какъ известно, имѣетъ видъ треугольника, въ которомъ наибольшая ордината равна моменту  $m$  въ съченіи, проведенномъ черезъ точку приложения груза; следовательно (черт. 125).

$$GH = \frac{P_n \cdot s_n \cdot s'_n}{c_n}, \quad JK = \frac{P_{n+1} \cdot s_{n+1} \cdot s'_{n+1}}{c_{n+1}}$$

$$\text{и } \int m_{n+1} dx = \frac{JK \cdot c_{n+1}}{2} = \frac{P_{n+1} \cdot s_{n+1} \cdot s'_{n+1}}{2},$$



Если подставить эти значения въ предыдущее уравненіе (62), то получится

$$\left. \begin{aligned} M_n c_n + 2 M_{n+1} (c_n + c_{n+1}) + M_{n+2} c_{n+1} &= \frac{F_n s_n s'_n}{c_n^2} [2 s_n^2 + (s'_n)^2 + 3 s_n s'_n] + \\ &+ \frac{P_{n+1} s_{n+1} s'_{n+1}}{c_{n+1}^2} [2 (s'_{n+1})^2 + s_{n+1}^2 + 3 s_{n+1} s'_{n+1}] \end{aligned} \right\} (63)$$

Примѣняя это уравненіе для  $n=0,1,2\dots$ , получимъ достаточное число уравненій для определенія всѣхъ опорныхъ моментовъ, если принять моменты на крайнихъ опорахъ 0 и  $r$  равными нулю.

При  $s_n = s'_n = \frac{c_n}{2}$  и  $s_{n+1} = s'_{n+1} = \frac{c_{n+1}}{2}$  формула (63) принимаетъ видъ:

$$M_n c_n + 2 M_{n+1} (c_n + c_{n+1}) + M_{n+2} c_{n+1} = \frac{3}{8} [P_n c_n^2 + P_{n+1} c_{n+1}^2] \dots (64)$$

Если всѣ пролеты равны, т. е. если  $c_n = c_{n+1} = \dots = c$ , то

$$M_n + 4 M_{n+1} + M_{n+2} = \frac{3}{8} c (P_n + P_{n+1}) \dots \dots \dots \dots \dots \dots (65).$$

Величина силъ  $P_n$  и  $P_{n+1}$  опредѣляется по § 44. Моменты на опорахъ принято считать отрицательными. Если они известны, то легко опредѣлить величину момента для любого сѣченія вереяльного столба. На черт. 126 ординатами  $\overline{1a}$  и  $\overline{2b}$  представлены соотвѣтствующіе опорные моменты.

Если точки 0,  $a$ ,  $b$  и 3 соединить ломаной линіей  $0ab3$ , то отрицательный моментъ въ любомъ сѣченіи балки будеть изображаться горизонтальнымъ отрѣзкомъ, проведеннымъ чрезъ данное сѣченіе до ломаной линіи  $0ab3$ . Эти отрицательные моменты надо сложить съ положительными, которые на чертежѣ изображены горизонтальными ординатами треугольниковъ  $0\alpha 1$ ,  $1\beta 2$ ,  $2\gamma 3$  (черт. 126 справа). Заштрихованная часть представляетъ сумму отрицательныхъ и положительныхъ моментовъ. Площади, расположенные справа  
слѣва даютъ отрицательный моментъ для данаго сѣченія. положительный

Если, напримѣръ, имѣется четыре опоры, пролеты равны, и точки проложенія грузовъ совпадаютъ съ серединами пролетовъ, то

$$M_0 = M_3 = 0,$$

$$4 M_1 + M_2 = \frac{3}{8} c (P_0 + P_1), \quad (n = 0),$$

$$M_1 + 4 M_2 = \frac{3}{8} c (P_1 + P_2) \quad (n = 1).$$

Отсюда  $M_1 = \frac{c}{40} [4 P_0 + 3 P_1 - P_2]$ ,

$$M_2 = \frac{c}{40} [-P_0 + 3P_1 + 4P_2].$$

Если верхний рамный брусья расположены на уровне воды верхнего бьефа, а обратного напора со стороны нижнего бьефа нетъ, то защищенные части площади давлений (черт. 127) можно принять за нагрузки  $P_0$ ,  $P_1$ , и  $P_2$  соответствующихъ ригелей. Тогда нагрузка на 1 пог. мет. ригеля

$$p_0 = \frac{\gamma c^2}{4}; p_1 = \frac{3\gamma c^2}{4}, p_2 = \frac{5}{4}\gamma c^2,$$

а такъ какъ вообще  $P = \frac{plw}{4f}$ , то

$$P_0 = \frac{\gamma c^2 l w}{16f}, P_1 = \frac{3\gamma c^2 l w}{16f}, P_2 = \frac{5\gamma c^2 l w}{16f};$$

тогда  $M_1 = \frac{\gamma c^3 l w}{80f}$ ,  $M_2 = \frac{\gamma c^3 l w}{80f} \cdot 3,5$

На черт. 126 опорные моменты  $M_1$  и  $M_2$  представлены ординатами  $\overline{1a}$  и  $\overline{2b}$ . Способъ определенія моментовъ для другихъ сеченийъ указанъ выше.

Въ данномъ случаѣ  $s_0 = s'_0 = \frac{c_0}{2}$ ,  $s_1 = c_1' = \frac{c_1}{2}$ ,  $s_2 = s'_2 = \frac{c_2}{2}$ ,  $c_0 = c_1 = c_2$ ;

следовательно  $\alpha x' = \frac{P_0 c}{4} = \frac{\gamma c^3 l w}{80f} \cdot \frac{5}{4}$ ;  $\beta \beta' = \frac{P_1 c}{4} = \frac{\gamma c^3 l w}{80f} \cdot \frac{15}{4}$ ,

$\gamma \gamma' = \frac{P_2 c}{4} = \frac{\gamma c^3 l w}{80f} \cdot \frac{25}{4}$ .

Наибольшій отрицательный моментъ будетъ  $M_2 = \frac{\gamma c^3 l w}{80f} \cdot 3,5$

и наибольшій положительный моментъ  $M_2 = \frac{\gamma c^3 l w}{80f} \cdot 4,5$

Если  $c=2,0$  м.,  $l=2,8$  м.,  $w=5,2$  м.,  $f=1$  м., то

$$M_{max} = \frac{1000 \cdot 8 \cdot 2,8 \cdot 5,2}{80 \cdot 1} \cdot 4,5 = 6552 \text{ kgm.}$$

При допускаемомъ напряженіи  $K=1000 \frac{\text{kg}}{\text{qcm}}$  должно быть

$$\frac{J}{a} = \frac{655200}{1000} = 655,2 \text{ см.}^3$$

Моментъ инерції съченія, указанного на черт. 128, относительно оси YY

$$J_y = 9002 \text{ см.}^4 \quad \text{и} \quad \frac{J_y}{a} = 666 \text{ см.}^3$$

Если на ворота дѣйствуетъ напоръ воды и со стороны нижняго бьефа, то измѣняется только силы  $P$ . Если, напримѣръ, горизонтъ воды нижняго бьефа совпадаетъ съ опорой 2 (см. черт. 127), то соответствующая площадь давленія ниже опоры 2 превратится въ прямоугольникъ, какъ это указано на томъ же чертежѣ пунктиромъ, и тогда  $p_2 = 2\gamma c \cdot \frac{c}{2} = \gamma c^2$ ,

$$\text{следовательно } P_2 = \frac{\gamma c^2 l w}{4f} = \left( \frac{\gamma c^2 l w}{16f} \right) \cdot 4.$$

Силы  $P_0$  и  $P_1$  не измѣняются. Подставляя значения  $P$  въ уравненія для  $M_1$  и  $M_2$ , получимъ

$$M_1 = \frac{c}{40} \cdot \frac{\gamma c^2 l w}{16f} (4+9-4) = \left( \frac{\gamma c^3 l w}{80f} \right) \frac{9}{8}$$

$$M_2 = \frac{c}{40} \cdot \frac{\gamma c^2 l w}{16f} (-1 + 9 + 16) = \frac{\gamma c^3 l w}{80f} \cdot 3.$$

Въ данномъ случаѣ наибольшій положительный моментъ получается на серединѣ третьаго пролета:

$$\gamma' \gamma = \frac{P_2 c}{4} = \frac{\gamma c^3 l w}{16f} = \left( \frac{\gamma c^3 l w}{80f} \right) \cdot 5,$$

такъ что сумма моментовъ въ этомъ съченіи

$$M_2 = \frac{\gamma c^3 l w}{80f} \left( 5 - \frac{3}{2} \right) = \frac{\gamma c^3 l w}{80f} 3,5;$$

это въ тоже время будетъ и наибольшій моментъ, такъ что при тѣхъ же численныхъ значеніяхъ получимъ

$$M_{max} = \frac{1000 \cdot 8 \cdot 2,8 \cdot 5,2 \cdot 3,5}{80 \cdot 1} = 5096 \text{ kgm.}$$

Пролеты съ двумя сосредоточенными грузами (черт. 129). Въ общее уравненіе входятъ слѣдующіе интегралы:

$$\int_0^{c_{n+1}} m_{n+1} dx = \frac{P_{n+1} s_{n+1} s'_{n+1}}{2} + \frac{P'_{n+1} \sigma_{n+1} \sigma'_{n+1}}{2},$$

$$\begin{aligned} \int_0^{c_n} m_n x dx &= \frac{P_n s_n s'_n}{6 c_n} [2 s_n^2 + 3 s_n s'_n + (s'_n)^2] + \\ &\quad + \frac{P'_{n+1} \sigma_n \sigma'_{n+1}}{6 c_n} [2 \sigma_n^2 + 3 \sigma_n \sigma'_{n+1} + (\sigma'_{n+1})^2] \end{aligned}$$

$$\begin{aligned} \int_0^{c_{n+1}} m_{n+1} x dx &= \frac{P_{n+1} s_{n+1} s'_{n+1}}{6 c_{n+1}} [2 s_{n+1}^2 + 3 s_{n+1} s'_{n+1} + (s'_{n+1})^2] + \\ &\quad + \frac{P'_{n+1} \sigma_{n+1} \sigma'_{n+1}}{6 c_{n+1}} [2 \sigma_{n+1}^2 + 3 \sigma_{n+1} \sigma'_{n+1} + (\sigma'_{n+1})^2]. \end{aligned}$$

Подставляя эти значенія въ уравненіе (62), получимъ общее уравненіе для опредѣленія опорныхъ моментовъ.

Если  $s_n = \frac{c_n}{3} = \sigma'_n$ ;  $s'_n = \sigma_n = \frac{2}{3} c_n$ , то

$$\int_0^{c_{n+1}} m_{n+1} dx + \frac{(c_{n+1})^2}{9} (P_{n+1} + P'_{n+1}),$$

$$\int_0^{c_n} m_n x dx = -\frac{c_n^3}{81} (4 P_n + 5 P'_{n+1}),$$

$$\int_0^{c_{n+1}} m_{n+1} x dx = \frac{(c_{n+1})^3}{81} (4 I_{n+1} + 5 P'_{n+1}).$$

При этомъ получается такое уравненіе для опредѣленія опорныхъ моментовъ:

$$\begin{aligned} M_n c_n + M_{n+1} (c_n + c_{n+1}) + M_{n+2} c_{n+1} &= \frac{c_n^2}{27} (8 P_n + 10 P'_{n+1}) + \\ &\quad + \frac{c_{n+1}^2}{27} (10 P_{n+1} + 8 P'_{n+1}) \end{aligned} \quad . . . . . \quad (66)$$

При  $c_n = c_{n+1} = c$

$$M_n + 4 M_{n+1} + M_{n+2} = \frac{c}{27} (8 P_n + 10 P'_{n+1} + 10 P_{n+2} + 8 P'_{n+3}) \dots (67).$$

Если имются пролеты съ однимъ и двумя грузами, то для двухъ смежныхъ пролетовъ, изъ которыхъ одинъ имѣть одинъ грузъ, а другойъ два груза, надо въ общее уравненіе подставить соотвѣтствующія значенія интеграловъ.

При  $s_n = s'_n = \frac{c_n}{2}$  и  $s_{n+1} = \frac{c_{n+1}}{3} = s'_{n+1}$  получается

$$M_n c_n + 2 M_{n+1} (c_n + c_{n+1}) + M_{n+2} c_{n+1} = \frac{3}{8} P_n c_n^2 + \\ + \frac{c_{n+1}^2}{27} (10 P_{n+1} + 8 P'_{n+1}) \dots \dots \dots \dots \dots \dots \dots \quad (68).$$

Такимъ образомъ для двухъ смежныхъ пролетовъ, имѣю-  
щихъ по одному грузу, надо примѣнить уравненія (64) и (65),  
для смежныхъ пролетовъ, имѣющихъ по два груза въ каж-  
домъ,—уравненія (66) и (67), а если на одномъ пролетѣ помѣ-  
щается одинъ грузъ, а на другомъ, смежномъ съ нимъ, два  
груза, то надо брать уравненіе (68).

*Примѣръ.* Имѣется четыре опоры на равныхъ разстояніяхъ другъ отъ друга; на двухъ верхнихъ пролетахъ помѣщается по одному грузу, на нижнемъ—два груза; точки приложения ихъ дѣлить пролѣтъ на три равныя части (черт. 130).

Согласно уравнению (65) при  $n=0$

$$4M_1 + M_2 = \frac{3}{8}c(P_0 + P_1),$$

и по уравнению (68) при  $n=1$  и  $c_n = c_{n+1} = c$

$$M_1 + 4M_2 = \frac{3}{8} c (P_1) + \frac{c}{27} (10P_2 + 8P'_2).$$

Рѣшай эти два уравненія, находимъ

$$M_1 = \frac{c}{15} \left[ \frac{3}{2} P_0 + \frac{9}{8} P_1 - \frac{10}{27} P_2 - \frac{8}{27} P'_2 \right],$$

$$M_2 = c \left[ \frac{3 P_1 - P_0}{40} + \frac{40 P_2 + 32 P'_2}{405} \right].$$

Если  $c = 2 \text{ м.}$ ,  $l = 2,8 \text{ м.}$ ,  $w = 5,2 \text{ м.}$ ,  $f = 1 \text{ м.}$ ,

$$P_0 = \frac{\gamma c^2 l w}{16 f}, \quad P_1 = \frac{\gamma c^2 l w}{16 f} \cdot 3,$$

$$P_2 = \frac{2 \gamma c^2}{3} \cdot \frac{l w}{4 f} = \left( \frac{\gamma c^2 l w}{16 f} \right) \left( \frac{8}{3} \right) \left\{ \begin{array}{l} \text{горизонтъ воды нижняго бьефа со-} \\ \text{впадаетъ съ опорой 2.} \end{array} \right\}$$

$$P'_2 = \frac{2 \gamma c^2}{3} \cdot \frac{l w}{4 f} = \frac{\gamma c^2 l w}{16 f} \left( \frac{8}{3} \right),$$

$$M_1 = \frac{c}{15} \frac{\gamma c^2 l w}{16 f} \left[ \frac{3}{2} + \frac{27}{8} - \frac{10}{27} \cdot \frac{8}{3} - \frac{8}{27} \cdot \frac{8}{3} \right] = \frac{\gamma c^3 l w}{f} 0,0129,$$

$$M_2 = 0,042 \frac{\gamma c^3 l w}{f}.$$

Положительные моменты въ точкахъ приложенія грузовъ:

$$\text{въ пролетѣ } \overline{01}: \frac{P_0 c}{4} = \frac{\gamma c^3 l w}{64 f}; \quad \text{въ пролетѣ } \overline{12}: \frac{P_1 c}{4} = \frac{\gamma c^3 l w}{64 f} \cdot 3$$

$$\text{въ пролетѣ } \overline{23}: P_2 \cdot \frac{c}{3} \cdot \frac{2}{3} + P'_2 \cdot \frac{c}{9} = \frac{c}{9} (2 P_2 + P'_2) = \frac{3 c}{9} P_2 = \frac{P_2 c}{3} = \frac{\gamma c^3 l w}{18 f},$$

$$\text{и } P'_2 \cdot \frac{c}{3} \cdot \frac{2}{3} + P_2 \cdot \frac{c}{9} = \frac{c}{9} (2 P'_2 + P_2) = \frac{3 c}{9} P'_2 = \frac{P'_2 c}{3} = \frac{\gamma c^3 l w}{18 f}.$$

Такимъ образомъ въ точкахъ приложенія грузовъ будуть слѣдующіе моменты:

$$\text{для } \alpha: M_\alpha = \frac{\gamma c^3 l w}{f} \left( \frac{1}{64} - \frac{0,0129}{2} \right) = 0,0092 \frac{\gamma c^3 l w}{f},$$

$$\Rightarrow \beta: M_\beta = \frac{\gamma c^3 l w}{f} \left( \frac{3}{64} - 0,0274 \right) = 0,02 \frac{\gamma c^3 l w}{f},$$

$$\Rightarrow \gamma: M_\gamma = \frac{\gamma c^3 l w}{f} \left( \frac{1}{18} - 0,028 \right) = 0,028 \frac{\gamma c^3 l w}{f},$$

$$\Rightarrow \delta: M_\delta = \frac{\gamma c^3 l w}{f} \left( \frac{1}{18} - 0,014 \right) = 0,042 \frac{\gamma c^3 l w}{f}.$$

Слѣдовательно наибольшій по абсолютной величинѣ моментъ

$$M_{max} = 0,042 \frac{\gamma c^3 l w}{f}.$$

Если сюда подставить тѣ же численныя значения, какъ и въ предыдущемъ примѣрѣ, принимая во вниманіе, что въ нижнемъ пролѣтѣ помѣщается не одинъ грузъ, какъ это было раньше, а два, то будетъ

$$M_{max} = 42 \cdot 8 \cdot 2,8 \cdot 5,2 = 4892,16 \text{ кгм.}$$

т. е. наибольшій моментъ при этомъ получается нѣсколько менѣе, чѣмъ въ первомъ случаѣ.

Изъ предыдущаго видно, что при расположениі опоръ не противъ каждого ригеля вереяльные столбы испытываютъ довольно значительные изгибающіе моменты. Для уменьшенія напряженій въ вереяльномъ столбѣ полезно снабжать опорами, если не всѣ ригели, то по крайней мѣрѣ глубоко погруженные въ воду, т. е. тѣ, на которые передаются наибольшія продольныя усиленія. Выше предполагалось, что все продольное усиленіе, дѣйствующее на ригель, передается непосредственно на вереяльный столбъ, въ дѣйствительности же нѣкоторая часть его передается прямо на стѣну черезъ брусья, поставленные ради водонепроницаемости; но благодаря этому усиленію, дѣйствующему на вереяльный столбъ, уменьшаются немного, такъ что предыдущій способъ расчета будетъ достаточно точенъ.

*b) Вереяльные столбы стоечныхъ воротъ.* При правильной конструкціи столбы эти вовсе ни работаютъ на изгибъ, когда ворота закрыты.

*c) Вереяльные столбы криволинейныхъ воротъ.* Въ воротахъ новѣйшей системы цилиндрической формы обшивка передаетъ дѣйствующее усиленіе на вереяльный столбъ безъ содѣйствія ригелей.—При этомъ обшивка дѣлается изъ волнистаго жѣлѣза; образующія волнъ располагаются въ горизонтальныхъ плоскостяхъ; вереяльные столбы передаютъ давленіе на стѣны черезъ нѣсколько подушекъ. Согласно § 41 при радиусѣ кривизны  $R$  цилиндрическихъ воротъ на глубинѣ  $y$  нагрузка на пог. ед. вереяльного столба будетъ  $p = \gamma R y$ . Такъ какъ здѣсь  $R$  есть величина постоянная, то  $p$  измѣняется въ зависимости отъ  $y$ . Въ предѣлахъ глубины нижнаго бьефа нагрузка

постоянна и будетъ  $p = \gamma R h'$ . Верхний столбъ работаетъ какъ неразрѣзная балка. Опорные моменты опять опредѣляются по формулѣ (62). Опоры верхняго столба обыкновенно назначаются на равныхъ разстояніяхъ с другъ отъ друга. Если же этого нѣтъ на самомъ дѣлѣ, то формулы будутъ нѣсколько сложнѣе, но ходъ расчета вовсе не измѣнится.

Для двухъ смежныхъ пролетовъ верхней части зависимости между опорными моментами выражается уравненіемъ (срав. ур. 17).

$$M_n + 4 M_{n+1} + M_{n+2} = \frac{\gamma R c^3}{2} (n+1).$$

Для двухъ смежныхъ пролетовъ нижней части (ниже горизонта нижняго бьефа) надо примѣнять уравненіе (сравн. также ур. 30).

$$M_n + 4 M_{n+1} + M_{n+2} = \frac{\gamma R c^3}{2} c^2.$$

Для двухъ смежныхъ пролетовъ, изъ которыхъ одинъ расположенъ въ верхней части, а другой въ нижней (сравн. ур. 32).

$$M_n + 4 M_{n+1} + M_{n+2} = (30 h' - 7 c) \frac{R \gamma c^3}{60}.$$

Примѣръ. Дано  $h=7,52$  м.,  $h'=4,7$  м.,  $m=5c$ ,  $c=0,94$  м.  $R=7,0$  м. Число пролетовъ 8. Тогда

$$\begin{aligned} n=0 : \quad & 4 M_1 + M_2 = \frac{\gamma R}{2} \cdot c^3, \\ n=1 : \quad & M_1 + 4 M_2 + M_3 = \frac{\gamma R c^3}{2} \cdot 2, \\ n=2 : \quad & M_2 + 4 M_3 + M_4 = \frac{\gamma R c^3}{2} \cdot 3, \\ n=3 : \quad & M_3 + 4 M_4 + M_5 = \frac{\gamma R c^3}{2} \cdot 4, \\ n=4 : \quad & M_4 + 5 M_5 + M_6 = \frac{\gamma R c^3}{60} \cdot 143, \\ n=5 : \quad & M_5 + 4 M_6 + M_7 = \frac{\gamma R c^3}{2} \cdot 5, \end{aligned}$$

$$n = 6 \quad M_6 + 4M_7 + M_8 = \frac{\gamma R c^3}{2} \cdot 5.$$

Отсюда получается:

$$M_1 = 0,0817 \cdot \gamma R c^3 = 474,68 \text{ kgt.}$$

$$M_2 = 0,174 \cdot \gamma R c^3 = 1010,94$$

$$M_3 = 0,225 \cdot \gamma R c^3 = 1307,25$$

$$M_4 = 0,426 \cdot \gamma R c^3 = 2475,06$$

$$M_5 = 0,07 \cdot \gamma R c^3 = 406,70$$

$$M_6 = 0,485 \cdot \gamma R c^3 = 2817,85$$

$$M_7 = 0,5 \cdot \gamma R c^3 = 2905,00$$

Послѣ этого не трудно опредѣлить моменты и во всѣхъ сѣченіяхъ.

При этомъ не надо забывать, что на вереяльный столбъ дѣйствуетъ еще продольное усиліе, равное вѣсу полотна воротъ, уменьшенному на вѣсъ вытѣсненной воды.

**§ 52. Створные столбы.** Они входятъ въ составъ остова полотна и должны удовлетворять условію водонепроницаемости въ створѣ; иногда ихъ снабжаютъ особыми приспособленіями для того, чтобы удерживать ворота въ открытомъ состояніи.

Створные столбы, представляя часть остова воротъ, принимаютъ на себя давленіе отъ ригелей и во время вращенія полотенъ передаютъ усилія на верхніе и нижніе рамные брусья. Въ закрытомъ состояніи воротъ на нихъ дѣйствуютъ сжимающія усилія  $H$  (см. черт. 53), которые направлены горизонтально и въ проекціи перпендикулярны къ продольной оси шлюза; эти сжимающія усилія передаются потомъ на ригели. Способы расчетовъ створныхъ столбовъ для воротъ ригельной и стоечной системы различны.

а) *Ригельные ворота.* Распределеніе усилій, дѣйствующихъ на створный столбъ, въ точности не известно. Выше при расчетѣ ригелей предполагалось, что напоръ воды черезъ обшивку передается на ригели, а послѣдніе переносятъ его далѣе; предположеніе это въ сущности сводится къ тому, что соответствующіе ригели обоихъ полотенъ воротъ принимаютъ на себя также и силу  $H$ , такъ что створный столбъ не под-

вергается замѣтнымъ изгибающимъ усиліямъ. На самомъ же дѣлѣ распредѣленіе усилій будетъ нѣсколько иное, и если оставить въ силѣ вышеуказанное предположеніе и при расчетѣ створнаго столба, то мы поступили бы не въ пользу прочности; въ виду этого въ данномъ случаѣ приходится допустить, что усиліе  $H$ , опредѣленное согласно § 36, распредѣляется по длине створнаго столба по тому же закону какъ и давленіе воды по высотѣ воротъ. На глубинѣ  $y$  ниже горизонта воды равнодѣйствующая давленія воды на всю ширину  $l$  воротъ равно  $\gamma y l$ , и вмѣстѣ съ тѣмъ горизонтальное усиліе на погонную единицу будетъ:  $\frac{dH}{dy} = \frac{\gamma y l^2}{2f}$ .

По мѣрѣ увеличенія глубины послѣднее усиліе возрастаетъ по закону прямой линіи. Графическій изображеніемъ этой силы можетъ служить чертежъ 68; въ предѣлахъ глубины нижняго бьефа она постоянна т. е.

$$\frac{dH}{dy} = \frac{\gamma h' l^2}{2f}.$$

Створный столбъ опирается на оба рамные бруса и ригеля, такъ что представляетъ неразрѣзную балку, загружение которой представлено на черт. 68.

Расчетъ его дѣлается такъ же, какъ и расчетъ обшивки (см. § 40, II). Тамъ нагрузка на пог. ед. была  $\gamma y$  и  $\gamma h'$ , а здѣсь будетъ  $\gamma y \frac{l^2}{2f}$  и  $\gamma h' \frac{l^2}{2f}$ ; такъ что для расчета створнаго бруса правую часть соотвѣтствующаго уравненія надо помножить на  $\frac{l^2}{2f}$ . Если ригели поставлены на равныхъ разстояніяхъ съ другъ отъ друга, то для трехъ смежныхъ опоръ т. е. ригелей получается:

выше горизонта нижняго бьефа

~~$$M_n + 4M_{n+1} + M_{n+2} = \gamma c^2 (n+1) \frac{l^2}{2f} \cdot \left( \frac{c^3 (h+1)}{2} \right) \frac{l}{2f}.$$~~ (69),

ниже горизонта нижняго бьефа

~~$$M_n + 4M_{n+1} + M_{n+2} = \gamma h' \frac{c^2 l^2}{4f}.$$~~ (70),

и, если средній изъ трехъ ригелей расположень на уровнѣ нижняго бьефа, то

$$M_n + 4M_{n+1} + M_{n+2} = \frac{\gamma c^3 l^2}{2.60 f} (30h' - 7c) \quad \dots \quad (71).$$

Послѣ опредѣленія опорныхъ моментовъ можно найти моментъ въ любомъ сѣченіи, поступая такъ же, какъ указано въ § 38; обыкновенно опорные моменты по абсолютной величинѣ получаются болѣе моментовъ, взятыхъ для сѣченій, расположенныхъ между опорами.

Найденные моменты дѣйствуютъ въ плоскости, перпендикулярной къ оси шлюза. Чаще всего приходится располагать створный столбъ такъ, что главныя оси его поперечного сѣченія не совпадаютъ съ плоскостью моментовъ; въ такомъ случаѣ для опредѣленія напряженій изгибающей моментъ раскладывается на два составляющіе  $M \cos \alpha$  и  $M \sin \alpha$ , которые дѣйствуютъ въ вертикальныхъ плоскостяхъ, проходящихъ черезъ главныя оси сѣченія (черт. 131).

*Примѣръ.* Положимъ, какъ и въ примѣрѣ, приведенномъ въ § 40 стр. 129,  $c=0,8$  м.,  $h'=3,2$  м., число ригелей=8, такъ что высота воротъ  $h=5,6$  м.;  $l=4$  м.;  $f=1,6$  м.,  $\frac{w}{2}=3,67$  м.  $w=7,34$  м.;  $\frac{l^2}{2f}=5$ . Для получения опорныхъ моментовъ, дѣйствующихъ въ данномъ случаѣ, надо результаты, полученные выше въ § 40, помножить на 5, такъ что

$$M_1=-21860 \text{ кгсм.}, M_2=-40450 \text{ кгсм.}, M_3=-72115 \text{ кгсм.}$$

$$M_4=-54990 \text{ кгсм.}, M_5=-87810 \text{ кгсм.}, M_6=-105985 \text{ кгсм.}$$

Для расчета надо взять наибольшій моментъ т. е. 105985 кгсм.

$$\cos \alpha = \frac{w}{2l} = \frac{3,67}{4} \text{ и } \sin \alpha = \frac{1,6}{4}; \text{ такъ что}$$

$$M_{max} \cos \alpha = -105985 \cdot \frac{3,67}{4} = -97241 \text{ кгсм.}$$

$$M_{max} \sin \alpha = -105985 \cdot \frac{1,6}{4} = -42394 \text{ кгсм.}$$

Наибольшее напряженіе въ сѣченіи створного столба

$$N_{max} = \frac{M_{max} \sin \alpha}{W_1} + \frac{M_{max} \cos \alpha}{W_2}.$$

Наибольшее допускаемое напряженіе для литого желѣза  $K=1000 \text{ кгсм}^2$   $N_{max}$  не должно быть болѣе  $K=1000 \text{ кгсм}^2$ , слѣдовательно

$$1000 \geq \frac{M_{max} \sin \alpha}{W_1} + \frac{M_{max} \cos \alpha}{W_2} = \frac{42394}{W_1} + \frac{97241}{W_2}.$$

Для двутавроваго желѣза № 36 по русскому нормальному сортаменту  $W_1=975 \text{ см.}^3$ ,  $W_2=95,3 \text{ см.}^3$ ; следовательно

$$N_{max} = \frac{42394}{975} + \frac{97241}{95,3} = 1064 \text{ kg/cm}^2.$$

Для № 38 имеется  $W_1=1132 \text{ см.}^3$  и  $W_2=109,3 \text{ см.}^3$ , такъ что

$$N_{max} = \frac{42394}{1132} + \frac{97241}{109,3} = 927 \text{ kg/cm}^2.$$

Надо взять послѣднее.

Въ выше приведенномъ примѣрѣ расчитывалась только желѣзная часть створнаго столба. Если же принять во вниманіе и деревянный прокладной брусь, который безъ сомнѣнія принимаетъ на себя нѣкоторую долю нагрузки, то тѣмъ самымъ мы въ значительной степени усложнили бы расчетъ, а точнаго результата все равно не получили бы вслѣдствіе неоднородности матеріаловъ желѣза и дерева. Поэтому рекомендуется или дѣлать деревянный брусь такого сѣченія, чтобы онъ одинъ могъ сопротивляться изгибающему моменту, при чемъ желѣзная часть створнаго столба дѣлается очень слабой, или наоборотъ назначить желѣзную часть достаточноаго сѣченія, какъ это указано выше на примѣрѣ, при чемъ деревянная часть дѣлается очень слабой. Первое вполнѣ возможно при устройствѣ небольшихъ воротъ; только расчетъ деревяннаго бруса значительно усложняется вслѣдствіе того, что въ силу конструктивныхъ соображеній ему придается не симметричное сѣченіе; однако затрудненіе это устраняется при расчетѣ воротъ криволинейныхъ, потому что въ этомъ случаѣ сѣченіе бруса дѣлается прямоугольнымъ, какъ показано на черт. 133 и 134, и плоскость изгибающихъ моментовъ совпадаетъ съ главной осью сѣченія.

b) *Стоечные ворота.* Въ воротахъ этой конструкціи давленіе воды черезъ стойки передается на рамные брусы и отсюда на стѣны и полъ. Створный столбъ въ данномъ случаѣ имѣеть тоже назначеніе, какъ и прочія стойки, только нагрузка на него будетъ въ два раза менѣе, чѣмъ на каждую

стойку, потому что ширина соответствующей площади загружения приблизительно во столько же разъ менѣе (черт. 132); а такъ какъ створные столбы плотно соприкасаются, то возникаетъ еще и усиліе  $H$ ; часть послѣдняго конечно передается прямо на нижній рамный брусь; но въ запасъ прочности створному столбу придаются такое сѣченіе, чтобы онъ былъ въ состояніи выдержать все усиліе  $H$ .

Нагрузка на пог. ед. столба =  $\frac{pb}{2}$  или  $\frac{\gamma y b}{2}$ , т. к.  $p=\gamma y$ ; кроме того дѣйствуетъ на пог. ед. усиліе

$$\frac{dH}{dy} = \frac{1}{f} \left( \frac{pb}{2} \right) \left( l - \frac{b}{4} \right),$$

или съ достаточной точностью

$$\frac{dH}{dy} = \frac{pbl}{2f} = \frac{\gamma y bl}{2f} = Z;$$

это усиліе относится къ той части створного столба, которая расположена выше горизонта нижняго бьефа; а ниже послѣдняго дѣйствуетъ сила

$$\frac{dH}{dy} = \frac{\gamma h' bl}{2f} = Z',$$

Такимъ образомъ къ створному столбу приложены двѣ силы  $\frac{pb}{2}$  и  $Z$  или  $Z'$ ; равнодѣйствующая ихъ направлена по оси воротъ, если  $\frac{pb}{2}$  приложена на разстояніи  $l$  отъ верхнаго столба, что не совсѣмъ точно. Равнодѣйствующая на пог. ед. равна

$$r = Z \cos \alpha = \frac{pbl \cos \alpha}{2f},$$

такъ что

выше горизонта нижняго бьефа:  $r = \frac{\gamma bl \cos \alpha}{2f} y$ ,  
ниже горизонта нижняго бьефа:  $r' = \frac{\gamma bl \cos \alpha \cdot h'}{2f}$ .

Законъ измѣненія нагрузки изображается чертежомъ 112; Створный столбъ расчитывается въ данномъ случаѣ такъ же, какъ и стойки (см. § 49); только нагрузка будетъ въ  $\left(\frac{l \cos \alpha}{2f}\right)$  болѣе, такъ что для получения моментовъ, изгибающихъ створный столбъ, надо моменты, соответствующіе стойкѣ, помножить на  $\frac{l \cos \alpha}{2f}$ . Полученные моменты изгибаютъ столбъ въ вертикальной плоскости, совпадающей съ продольной осью воротъ.

Въ примѣрѣ 1 параграфа 49 найдено, что для стойки  $\text{Max } M = 83377 \text{ kgt.}$ ; если  $l=9,6 \text{ m. } f=3,0 \text{ m.}, \frac{w}{2}=9,0$ , такъ что  $\cos \alpha = \frac{9}{9,6}$ , то  $\frac{l \cos \alpha}{2f} = \frac{9,6 \cdot 9}{9,6 \cdot 2 \cdot 3} = 1,5$ ; слѣдовательно наиболѣшій моментъ, изгибающій створный столбъ,

$$M'_{\max} = 1,5 \cdot 83377 = 125065 \text{ kg. m.}$$

Створные столбы воротъ стоечной системы подвергаются значительнымъ изгибающимъ моментамъ. Для устраненія этого можно согласно § 46 передать все усиленіе  $H$  на верхній рамный брусье, а плотность затвора достигнуть независимо отъ передачи этого усиленія. До сихъ порть и не дѣлали воротъ стоечной системы безъ того, чтобы не дать створному столбу нѣсколько промежуточныхъ точекъ опоръ; для этого кромѣ стоекъ ставили нѣсколько ригелей. Благодаря этому створному столбу приходится работать конечно въ болѣе выгодныхъ условіяхъ, но за то распределеніе усилий становится очень сложно и не поддается точному расчету.

с) *Криволинейные ворота.* Створные столбы въ воротахъ этой системы вовсе не подвергаются изгибающимъ усилиямъ.

Плотность затвора достигается тѣмъ, что къ каждому изъ створныхъ столбовъ прочно прикрепляется деревянный брусье, какъ это показано на черт. 73., 76., 78., 79., 92., 133., 134., 136 и 137. Въ исключительныхъ случаяхъ, когда можно опасаться быстраго разрушенія дерева шашнемъ, ставятся жѣлѣзные прокладные листы (черт. 135).

Форму поперечного съченія створныхъ столбовъ надо назначать, сообразуясь съ тѣмъ, чтобы легко можно было прикреплять ригели, рамные брусья и брусья, обеспечивающіе плотность затвора. Для воротъ небольшихъ и среднихъ размѣровъ рекомендуется назначать корытообразное и двутавровое съченіе изъ прокатнаго желѣза (черт. 76., 78, 79) или составленное изъ листовъ и уголковъ (черт. 92, 133, 137).

Деревянные брусья прикрепляются къ желѣзнымъ створнымъ столbamъ болтами діаметра отъ 20 до 25 мм. Съ той стороны бруса, которая соприкасается съ соответствующей частью другого полотна воротъ, головки или гайки болтовъ вталливаются (черт. 133, 134, 137); иногда эти углубленія, сдѣланныя для болтовъ, перекрываются особымъ листомъ (черт. 136). Въ виду того, что желѣзо въ плоскости соприкосновенія съ деревомъ покрывается ржавчиной очень быстро, подъ деревянными брусьями помѣщаются иногда свинцовые прокладные листы толщиною 6 мм. (см. § 45). При очень широкихъ воротахъ деревянный брусъ дѣлается составнымъ изъ двухъ (черт. 133). На черт. 136 показана своеобразная конструкція, гдѣ деревянный брусъ распредѣляетъ давленіе *H* на рамные брусья и ригели.

## Расчетъ ригельно-стоечныхъ воротъ по способу инженера Cadart'а\*).

Въ дополненіе отдѣла, трактующаго о шлюзныхъ воротахъ, приведемъ еще весьма интересный способъ расчета воротъ, состоящихъ изъ ряда ригелей и трехъ стоекъ, предложенный инженеромъ Cadart'омъ. Ввиду того, что ригеля работаютъ при условіяхъ не полного закрѣплѣнія по опорамъ, онъ предложилъ расчитать ихъ въ двухъ предположеніяхъ: 1-е что они свободно лежать на опорахъ и 2-е, что они закрѣплены по опорамъ, и для окончательного расчета взять средніе изъ полученныхъ результатовъ.

Разсмотримъ сначала первый случай.

\**) Annales des Ponts et Chaussées 1900. p. 267.*

**§ 53. Первый случай.** Положимъ, что полотно воротъ образовано изъ 3-хъ стоекъ—двухъ крайнихъ и одной осевой и изъ  $(n+1)$  ригелей, имѣющихъ номера отъ 0 до  $n$  (счетъ ведется снизу), причемъ при закрытыхъ воротахъ нижній ригель упирается въ король. Обозначимъ черезъ  $a$  разстояніе между осями смежныхъ стоекъ (черт. 138);  $b_1, b_2, b_3 \dots b_n$ —разстоянія между осями ригелей, причемъ  $b_1$  есть разстояніе между осями 0-го и 1-го ригелей;  $h_1, h_2, h_3 \dots h_n$ —высоты осей ригелей 1-го, 2-го...  $n$ -го надъ осью нижняго ригеля;  $h'_1, h'_2, h'_3 \dots h'_n$ —высоты центровъ элементовъ  $b_1, b_2, b_3 \dots b_n$  надъ осью того же нижняго ригеля;  $z_1, z_2, z_3 \dots z_n$ —вертикальныя разстоянія центровъ тѣхъ же элементовъ отъ горизонта верхняго бьефа;  $J_1, J_2, J_3 \dots J_n$ —моменты инерціи ригелей;  $J$ —моментъ инерціи осевой стойки;  $p_1, p_2, p_3 \dots p_n$ —давленія воды, передаваемыя посредствомъ обшивки каждой половинѣ ригеля длиною  $a$ ; такъ какъ давленія эти распределены равномѣрно по длини ригеля, то давленія на погонный метръ ригелей будеть:  $\frac{p_1}{a}, \frac{p_2}{a}, \frac{p_3}{a} \dots \frac{p_n}{a}$ ;  $q_1, q_2, q_3 \dots q_n$ —давленія воды, передаваемыя посредствомъ обшивки различнымъ элементамъ осевой стойки, имѣющей длины  $b_1, b_2, b_3 \dots b_n$ ; мы можемъ предположить, что давленія эти распределены также равномѣрно въ каждомъ отдельномъ элементѣ;  $f_1, f_2, f_3 \dots f_n$ —прогибы, проявляющіеся по срединѣ ригелей, тамъ, где въ нихъ опирается осевая стойка;  $r_0, r_1, r_2 \dots r_n$ —реакціи ригелей на осевую стойку, считаемыя положительными, когда онѣ направлены отъ нижняго бьефа къ верхнему. Реакціи стойки на ригеля, очевидно равны послѣднимъ, но имѣютъ обратный знакъ. Для нихъ за положительное принято направлениe отъ верхняго бьефа къ нижнему.

Предположимъ, что съ низовой стороны воротъ нѣть никакого давленія. Давленіе воды на элементъ обшивки шириной  $a$  и высотою  $b_k$  равно 1000 кил.  $ab_k z_k$ . Въ силу теоремы Навье на каждый изъ полуригелей передается давленіе 1000 кил.  $ab_k z_k \frac{a^2}{2(a^2+b_k^2)}$  и на каждый изъ элементовъ стоекъ,

ограничивающихъ разсматриваемый элементъ обшивки, давление 1000 кил.  $ab_k z_k \frac{b_k^2}{2(a^2 + b_k^2)}$ .

Замѣтимъ, что каждый промежуточный ригель, напримѣръ,  $n^0 K$ , получаетъ одну часть давленія отъ панели  $K$  и другую отъ панели  $K+1$ , точно также и отрѣзокъ осевой стойки получаетъ одну часть давленія съ правой и другую съ лѣвой стороны. Что касается до верхняго ригеля, то онъ, конечно, получаетъ давленіе только отъ панели  $n^0 n$ . Принимая во вниманіе эти соображенія, можемъ написать:

$$(a) - \begin{cases} p_k = 500 \text{ кил. } a^3 \left( \frac{b_k z_k}{a^2 + b_k^2} + \frac{b_{k+1} z_{k+1}}{a^2 + b_{k+1}^2} \right) \\ p_n = 500 \text{ кил. } a^3 \frac{b_n z_n}{a^2 + b_n^2} \\ q_k = 1000 \text{ кил. } a \frac{b_k^3 z_k}{a^2 + b_k^2} \end{cases}$$

Ригель  $n^0 K$  длиною  $2a$  подверженъ равномѣрно распределенному давленію  $\left( \frac{p_k}{a} \text{ на погонный метръ} \right)$ , направленному со стороны верхняго бьефа, и кромѣ того въ своей срединѣ реакціи  $r_k$  осевой стойки, считаемой положительной при направлении отъ верхняго бьефа къ нижнему. Максимальный изгибающій моментъ по срединѣ этого ригеля будетъ

$$(b) . . . . X_k = \frac{a}{2} (p_k + r_k),$$

а соответственный прогибъ, считаемый положительнымъ въ сторону нижняго бьефа будетъ

$$(c) . . . . f_k = \frac{a^3}{6 E J_k} \left( \frac{5}{4} p_k + r_k \right)$$

Въ любой точкѣ осевой стойки, расположенной въ предѣлахъ  $(K+1)$ 'ой панели и лежащей на высотѣ  $y$  отъ оси нижняго ригеля, изгибающій моментъ выразится такъ:

$$(d) . . . Y = \Sigma_1^k q(y-h') - \Sigma_0^k r(y-h) + \frac{1}{2} \frac{q_{k+1}}{b_{k+1}} (y-h_k)^2$$

Возьмемъ интегралъ этого выражения, обозначивъ постостоянную интегрированія черезъ  $D_{k+1}$  (этотъ интеграль, будучи умноженъ на  $\frac{1}{EJ}$ , даетъ наклонъ касательной) (черт. 139).

$$\int Y dy = D_{k+1} + \frac{1}{2} \Sigma_1^k q (y - h')^2 - \frac{1}{2} \Sigma_0^k r (y - h)^2 + \frac{1}{6} \frac{q_{k+1}}{b_{k+1}} (y - h_k)^3$$

Для  $K$ -ой панели подобнымъ же образомъ можно написать

$$\int Y dy = D_k + \frac{1}{2} \Sigma_1^{k-1} q (y - h')^2 - \frac{1}{2} \Sigma_0^{k-1} r (y - h)^2 + \frac{1}{6} \frac{q_k}{b_k} (y - h_{k-1})^3$$

Наклонъ касательной въ точкѣ встрѣчи стойки съ  $K$ -ымъ ригелемъ получимъ, принявъ  $y = h_k$  въ томъ и другомъ интегралѣ. Принимая во вниманіе, что двѣ найденные такимъ образомъ величины равны между собой и замѣняя  $h_k - h_{k-1}$  черезъ  $b_k$  и  $h_k - h_k'$  черезъ  $\frac{b_k}{2}$ , получимъ равенство:

$$D_{k+1} = D_k - \frac{1}{2} q_k (h_k - h_k')^2 + \frac{1}{6} \frac{q_k}{b_k} (h_k - h_{k-1})^3 = \\ = D_k - \frac{1}{8} q_k b_k^2 + \frac{1}{6} q_k b_k^2.$$

или

$$D_{k+1} = D_k + \frac{1}{24} q_k b_k^2.$$

Подобнымъ же образомъ получимъ

$$D_k = D_{k-1} + \frac{1}{24} q_{k-1} b_{k-1}^2.$$

$$D_2 = D_1 + \frac{1}{24} q_1 b_1^2.$$

Складывая почленно, получимъ

$$D_{k+1} = D_1 + \frac{1}{24} \Sigma_1^k q b^2.$$

Возьмемъ теперь двойной интегралъ изгибающаго момента для  $(K+1)$ -ой панели, обозначивъ постоянную интегрирования черезъ  $C_{k+1}$  (интеграль этотъ, будучи умноженъ на  $\frac{1}{EJ}$ , даетъ уравненіе упругой линіи для изогнутаго элемента стойки).

$$\int \int Y dy dy = C_{k+1} + D_1 y + \frac{1}{24} y \Sigma_1^k q b^2 + \frac{1}{6} \Sigma_1^k q (y - h')^3 - \\ - \frac{1}{6} \Sigma_1^k r (y - h)^3 + \frac{1}{24} \frac{q_{k+1}}{b_{k+1}} (y - h_k)^4.$$

Для  $K$ -ой панели подобнымъ же образомъ можемъ написать

$$\int \int Y dy dy = C_k + D_1 y + \frac{1}{24} (y \Sigma_1^{k-1} q b^2 + \frac{1}{6} \Sigma_1^{k-1} q (y - h')^3 - \\ - \frac{1}{6} \Sigma_1^{k-1} r (y - h)^3 + \frac{1}{24} \frac{q_k}{b_k} (y - h_{k-1})^4).$$

Если въ томъ и другомъ уравненіи сдѣлать  $y = h_k$ , то получимъ ординату упругой линіи стойки въ точкѣ встрѣчи съ  $K$ -ымъ ригелемъ. Приравнявъ найденные величины, получимъ:

$$C_{k+1} = C_k - \frac{1}{24} h_k q_k b_k^2 - \frac{1}{6} q_k (h_k - h'_k)^3 + \frac{1}{24} \frac{q_k}{b_k} (h_k - h_{k-1})^4. \\ = C_k - \frac{1}{24} h_k q_k b_k^2 - \frac{1}{48} q_k b_k^3 + \frac{1}{24} q_k b_k^3. \\ = C_k - \frac{1}{48} q_k b_k^2 (2 h_k - b_k)$$

или наконецъ

$$C_{k+1} = C_k - \frac{1}{24} q_k b_k^2 h'_k.$$

Подобнымъ же образомъ получимъ:

$$C_k = C_{k-1} - \frac{1}{24} q_{k-1} b_{k-1}^2 h'_{k-1}.$$

$$C_2 = C_1 - \frac{1}{24} q_1 b_1^2 h'_1.$$

Что касается до  $C_1$ , то оно равно  $O$ , такъ какъ въ точкѣ встрѣчи стойки съ нижнимъ ригелемъ ордината упругой линіи равна  $O$ .

Складывая почленно, получимъ

$$C_{k+1} = -\frac{1}{24} \Sigma_1^k q b^2 h'.$$

Чтобы получить стрѣлу прогиба осевой стойки въ точкѣ встрѣчи ея съ  $K$ -ымъ ригелемъ, достаточно подставить въ выражение  $\int \int Y dy dy$  найденное значение  $C_{k+1}$ , умножить полученное выражение на  $\frac{1}{EJ}$  и затѣмъ въ послѣднемъ выражении подставить вместо  $y$  величину  $h_k$ , причемъ безразлично, будемъ ли мы пользоваться выражениемъ для  $K$ -ой или для  $(K+1)$ -ой панели.

Этотъ прогибъ, очевидно, равенъ прогибу по срединѣ  $K$ -аго ригеля, а потому можемъ написать:

$$f_k = \frac{1}{6 E J} \left[ \frac{1}{4} \Sigma_1^k q b^2 h' + 6 D_1 h_k + \frac{1}{4} h_k \Sigma_1^k q b^2 + \right. \\ \left. + \Sigma_1^k q (h_k - h')^3 - \Sigma_0^k r (h_k - h)^3 \right],$$

или

$$f_k = \frac{1}{6 E J} \left[ \frac{1}{4} \Sigma_1^k (h_k - h') q b^2 + \Sigma_1^k (h_k - h')^3 q + 6 h_k D_1 - \right. \\ \left. - \Sigma_0^k (h_k - h)^3 r \right].$$

Подъ послѣднимъ знакомъ  $\Sigma$  членъ  $(h_k - h_k)^3 r_k$  равенъ нулю, а потому выражение  $\Sigma_0^k (h_k - h)^3 r$  можно замѣнить выражениемъ  $\Sigma_0^{k-1} (h_k - h)^3 r$ .

Произведя эту замѣну и подставивъ вместо  $f_k$  его значение, даваемое уравнениемъ ( $\gamma$ ), получимъ новое уравненіе, которое и рѣшимъ относительно  $r_k$ . Получимъ:

$$(k) \dots r_k = \frac{J_k}{J} \cdot \frac{1}{a^3} \left[ \frac{1}{4} \Sigma_1^k (h_k - h') q b^2 + \Sigma_1^k (h_k - h')^3 q \right] -$$

$$- \frac{5}{4} p_k + 6 \frac{J_k}{J} \frac{1}{a^3} h_k D_1 - \frac{J_k}{J} \cdot \frac{1}{a^3} \Sigma_0^{k-1} (h_k - h)^3 r.$$

Межу ( $n+2$ ) неизвѣстныти  $r_0, r_1, r_2 \dots r_n$  и  $D_1$  имѣется  $n$  уравненій типа ( $k$ ); ихъ можно написать, давая  $K$  значенія отъ 1 до  $n$ , Къ нимъ мы можемъ добавить два уравненія, выражающія условія статического равновѣсія, а именно:

$$(n+1) \dots \Sigma_0^n r = \Sigma_1^n q$$

$$(n+2) \dots \Sigma_1^n h r = \Sigma_1^n h' q.$$

Рѣшивъ эти ( $n+2$ ) уравненій первой степени съ ( $n+2$ ) неизвѣстными, подставимъ въ равенства ( $\beta$ ), ( $\gamma$ ) и ( $\varepsilon$ ) вмѣсто  $r_0, r_1 \dots r_n$  найденные значения; давая въ уравненіи ( $\varepsilon$ ) *у* различныя значения, получимъ максимальные изгибающіе моменты ригелей, ихъ прогибы и изгибающіе моменты осевой стойки въ различныхъ точкахъ по ея высотѣ.

**§ 54. Полотно состоить изъ трехъ стоекъ и равно-отстоящихъ другъ отъ друга ригелей.** Въ случаѣ, когда ригели расположены на равныхъ разстояніяхъ другъ отъ друга, вышеприведенныя формулы значительно упрощаются. Для разматриваемаго случая имѣть

$$b_1 = b_2 = b_3 = \dots = b_n = b$$

$$h_1 = b, h_2 = 2b, h_3 = 3b, \dots h_k = kb.$$

Изъ теоремы Навье слѣдуетъ, что давленіе воды, передаваемое черезъ различныя панели обшивки осевой стойкѣ, равно давленію воды на вертикальную полосу воротъ ширину  $2a \frac{b^2}{2(a^2+b^2)} = \frac{ab^2}{a^2+b^2}$ . Это давленіе, очевидно, равно произведенію 1000 кил.  $\frac{ab^2}{a^2+b^2}$  на площадь равнобедренного прямоугольнаго треугольника  $RST$ , стороны котораго равны вы-

сотъ горизонта верхняго бьефа надъ осью нижняго рамнаго ригеля, высотъ, которую мы обозначимъ черезъ  $H$  (черт. 140).

Изгибающій моментъ въ нѣкоторой точкѣ  $V$  ( $k+1$ )-го элемента стойки, расположенной на высотѣ  $y$  надъ осью нижняго рамнаго ригеля, отъ давленія воды, изображенаго площадью трапеци  $VUTS$ , очевидно, равенъ:

$$1000 \text{ кил. } \frac{ab^2}{a^2+b^2} \left( \frac{Hy^2}{2} - \frac{y^3}{6} \right)$$

Полный изгибающій моментъ стойки относительно точки  $V$  будетъ

$$Y = 1000 \text{ кил. } \frac{ab^2}{a^2+b^2} \left( \frac{Hy^2}{2} - \frac{y^3}{6} \right) - \Sigma_0^k (y-h) r.$$

Двойной интеграль этого выражения, если обозначить постоянную первого интегрированія черезъ  $D_1$  и принять во вниманіе, что постоянная второго интегрированія равна нулю, такъ какъ точка  $S$ , какъ упирающаяся въ король, неподвижна, будетъ слѣдующій:

$$\int \int Y dy dy = 1000 \text{ кил. } \frac{ab^2}{a^2+b^2} \left( \frac{Hy^4}{24} - \frac{y^5}{120} \right) + D_1 y - \frac{1}{6} \Sigma_0^k (y-h)^3 r$$

Если примемъ въ этомъ выражениі  $y=h_k$  и умножимъ его на  $\frac{1}{EJ}$ , то мы получимъ произведеніе, равное  $f_k$ —прогибу  $K$ -аго ригеля, даваемому выражениемъ ( $\gamma$ ).

Итакъ

$$f_k = \frac{a^3}{6 E J_k} \left( \frac{5}{4} p_k + r_k \right) = \frac{1}{6 E J} \left[ \frac{1000 \text{ кил.}}{20} \cdot \frac{ab^2}{a^2+b^2} h_k^4 (5H-h_k) + + 6 D_1 h_k - \Sigma_0^k (h_k-h)^3 r \right].$$

Принимая во вниманіе, что  $h_m=mb, \dots h_k=kb$  и также, что  $\Sigma_0^k (h_k-h) r = \Sigma_0^{k-1} (h_k-h) r$ , обозначая для краткости письма

$$(\zeta) \quad \dots \quad 50 \cdot \frac{ab^2}{a^2+b^2} = Q; \frac{J_k}{J} \cdot \frac{b^3}{a^3} = A_k; \frac{5H}{b} = \mu,$$

и, наконецъ, замѣняя кромѣ того неизвѣстную  $D_1$  новою  $\delta$ , такою, что  $\delta = \frac{6 D_1}{b^2}$ , получимъ;

$$r_k = A_k Q k^4 (\mu - k) - \frac{5}{4} p_k + A_k k \delta - A_k \Sigma_0^{k-1} (k-m)^3 r,$$

или

$$(k) \quad \dots r_k = A_k Q k^4 (\mu - k) - \frac{5}{4} p_k + A_k k \delta - A_k [k^3 r_0 + (k-1)^3 r_1 + \dots + 2^3 r_{k-2} + r_{k-1}].$$

Уравненіе  $(n+1)$ -ое и  $(n+2)$ -ое принимаютъ въ этомъ случаѣ слѣдующій видъ:

$$(n+1) \quad \dots r_0 + r_1 + r_2 + \dots + r_n = \frac{2}{5} Q \mu^2$$

$$(n+2) \quad \dots r_1 + 2 r_2 + \dots + n r_n = \frac{2}{75} Q \mu^3$$

Наконецъ изгибающій моментъ осевой стойки въ мѣстѣ пересѣченія ея съ  $K$ -ымъ ригелемъ будетъ равенъ:

$$(a) \quad -Y_k = b [k r_0 + (k-1) r_1 + \dots + 2 r_{k-2} + r_{k-1} - 2 Q k^2 (\mu - \frac{5}{3} k)].$$

**§ 55. Усиліе, являющееся результатомъ створа.** Тѣ изъ ригелей, которые находятся противъ упорныхъ подушекъ, служащихъ для соприкасанія со шкафнымъ угломъ, подвергаются еще продольному сжимающему усилію, которое является результатомъ створа полотенъ.

Пусть  $A$ ,  $B$ ,  $C$  и  $D$  суть ригели, соответствующіе упорнымъ подушкамъ, пусть  $E$  и  $F$ —точки, дѣлящія пополамъ разстоянія между ригелемъ  $B$  и ригелями  $A$  и  $C$ , и пусть  $L$  будетъ ширина полотна между его опорной точкой въ шкафной уголѣ и точкой створа (черт. 141).

Давленіе  $N$ , которое испытываетъ полотно по высотѣ  $EF$ , равно

$$N = 1000 \text{ кил. } L. \text{ площ. } E E' F' F.$$

Половина этого давленія передается на шкафной уголъ,

а другая половина, слагаясь съ реакцией  $R$  другого полотна, даетъ сжимающее усилие  $C$  вдоль ригеля  $B$ . Прямоугольные треугольники  $OCR$  и  $MST$  подобны, а потому, если назвать черезъ  $l$  половину ширины камеры и черезъ  $c$ —стрѣлу створа, можемъ написать, что

$$C = \frac{lN}{2c} = 500 \text{ кил. } \frac{L \cdot l}{c} \cdot \text{площ. } EE'F'F.$$

Частное отъ дѣленія этого сжимающаго усилия  $C$  на площадь поперечнаго сѣченія ригеля даетъ добавочное напряженіе, которое присоединяется къ напряженію, вызванному изгибомъ.

Поступая такимъ образомъ, мы предполагаемъ, что усилие  $C$  дѣйствуетъ по нейтральной оси ригеля, на самомъ же дѣлѣ вслѣдствіе того, что створные брусы стесываются, усилие это проходить всегда ближе къ камерѣ, чѣмъ къ верхнему бѣфу, такъ сказать, ниже нейтральной оси, а потому оно уменьшаетъ усилие, вытягивающее ригель, и почти не увеличиваетъ сжимающаго, но мы дѣляемъ это въ пользу прочности.

**§ 56. Полотно, въ которомъ число стоекъ болѣе трехъ.** Еслибы вмѣсто одной осевой стойки мы имѣли двѣ, симметрично расположенные относительно середины полотна, то расчетъ мало отличался бы отъ вышеописанного: измѣнились бы только выраженія ( $\beta$ ) и ( $\gamma$ ) изгибающаго момента ригелей и ихъ прогиба въ точкахъ встрѣчи со стойками. Число неизвѣстныхъ реакцій ригелей на стойки также не увеличилось бы, такъ какъ въ силу симметріи реакціи двухъ стоекъ на одинъ и тотъ же ригель были бы одинаковы.

Если мы ширину полотна обозначимъ черезъ  $3a$ ; давление воды на погонный метръ, передаваемое непосредственно на  $K'$ -ый ригель, черезъ  $\frac{p_k}{a}$ ; реакцію каждой изъ промежуточныхъ стоекъ на этотъ ригель черезъ  $r_k$ ; максимальный изгибающій моментъ по срединѣ ригеля черезъ  $X_k$ ; прогибъ  $K'$ -аго ригеля на разстояніи  $\frac{1}{3}$  и  $\frac{2}{3}$  его длины въ точкахъ встрѣчи со стойками черезъ  $f_{k,\frac{1}{3}}$ ; прогибъ того же ригеля

по срединѣ черезъ  $f_{k,\frac{1}{2}}$ ; тогда формулы ( $\alpha$ ) останутся тѣ же, тогда какъ формулы ( $\beta$ ) и ( $\gamma$ ) примутъ видъ:

$$(3') \quad \ldots \quad X_k = a \left( \frac{9}{8} p_k + r_k \right)$$

$$(7') \quad \begin{cases} f_{k,\frac{1}{3}} = \frac{a^3}{12 E J_k} \left( 11 p_k + 10 r_k \right) \\ f_{k,\frac{1}{2}} = \frac{a^3}{E J_k} \left( \frac{135}{128} p_k + \frac{23}{24} r_k \right) \end{cases}$$

*Числовой примеръ.* Примѣнимъ только что приведенный пріемъ расчета къ полотну, состоящему изъ трехъ стоекъ, двухъ крайнихъ и одной осевой, и семи ригелей, расположенныхыхъ на равныхъ разстояніяхъ другъ отъ друга, причемъ предположимъ, что упорныя подушки расположены у ригелей № 0, 1, 3 и 6.

Имѣемъ слѣдующія данныя:

$$a = 1,451 \text{ м.}, \quad b = 1,025 \text{ м.}, \quad H = 6,209 \text{ м.}$$

Сѣченія стоекъ и ригелей, включая сюда и обшивку показаны на чертежахъ 142, 143, 144, 145, 146 и 147.

Ригель № 0

$$J = 8492,5 \times 10^{-8}$$

$$\frac{J}{n} = 547,9 \times 10^{-6}$$

$$\frac{J}{n'} = 653,3 \times 10^{-6}$$

$$\Omega = 6726 \text{ квадр. миллим.}$$

Ригель № 1 и осевая стойка

$$J = 10352,5 \times 10^{-8}$$

$$\frac{J}{n} = 672,4 \times 10^{-6}$$

$$\frac{J}{n'} = 791,6 \times 10^{-6}$$

$$\Omega = 8404,5 \text{ квадр. миллим.}$$

## Ригель № 2

$$J = 10192,8 \times 10^{-8}$$

$$\frac{J}{n} = 668,4 \times 10^{-6}$$

$$\frac{J}{n'} = 775,1 \times 10^{-6}$$

$$\Omega = 8309 \text{ квадр. миллим.}$$

## Ригель № 3

$$J = 10021,6 \times 10^{-8}$$

$$\frac{J}{n} = 664,6 \times 10^{-6}$$

$$\frac{J}{n'} = 758,1 \times 10^{-6}$$

$$\Omega = 8212,5 \text{ квадр. миллим.}$$

## Ригель № 4

$$J = 8061,6 \times 10^{-8}$$

$$\frac{J}{n} = 537,8 \times 10^{-6}$$

$$\frac{J}{n'} = 610,3 \times 10^{-6}$$

$$\Omega = 6480 \text{ квадр. миллим.}$$

## Ригели № 5 и 6

$$J = 7914,8 \times 10^{-8}$$

$$\frac{J}{n} = 354,8 \times 10^{-6}$$

$$\frac{J}{n'} = 595,1 \times 10^{-6}$$

$$\Omega = 6398 \text{ квадр. миллим.}$$

Итакъ имѣемъ  $J_0 = 8492,5 \times 10^{-8}$ ;  $J_1 = J = 10362,5 \times 10^{-8}$

$J_2 = 10192,8 \times 10^{-8}$ ;  $J_3 = 10021,6 \times 10^{-8}$

$J_4 = 8061,6 \times 10^{-8}$ ;  $J_5 = J_6 = 7914,8 \times 10^{-8}$ .

Для стали прокатной имеемъ  $E = 2,25 \times 10^{10}$

$$Q = 25,374; \mu = 30,288$$

$$A_1 = 0,3525; A_2 = 0,3467; A_3 = 0,3409; A_4 = 0,2742;$$

$$A_5 = A_6 = 0,2692.$$

Что касается до продольного сжимающаго усилия въ ригеляхъ  $n^o 0, 1, 3$  и  $6$ , то при  $L = 3,02$  м.,  $l = 2,60$  м. и  $c = 1,04$  м. получимъ:

$$N_0 = 9213; N_1 = 22881; N_3 = 22270; N_6 = 3849$$

$$C_0 = 11516; C_1 = 28601; C_3 = 27837; C_6 = 4811$$

$$\frac{C_0}{\Omega_0} = 1,71; \frac{C_1}{\Omega_1} = 3,40; \frac{C_3}{\Omega_3} = 3,39; \frac{C_6}{\Omega_6} = 0,75.$$

Восемь уравненій съ восемью неизвѣстными будуть слѣдующія:

$$(1) r_1 = A_1 Q (\mu - 1) - \frac{5}{4} p_1 + A_1 \delta - A_1 r_0$$

$$(2) r_2 = 16 A_2 Q (\mu - 2) - \frac{5}{4} p_2 + 2 A_2 \delta - A_2 (8 r_0 + r_1)$$

$$(3) r_3 = 81 A_3 Q (\mu - 3) - \frac{5}{4} p_3 + 3 A_3 \delta - A_3 (27 r_0 + 8 r_1 + r_2)$$

$$(4) r_4 = 256 A_4 Q (\mu - 4) - \frac{5}{4} p_4 + 4 A_4 \delta - A_4 (64 r_0 + 27 r_1 + 8 r_2 + r_3)$$

$$(5) r_5 = 625 A_5 Q (\mu - 5) - \frac{5}{4} p_5 + 5 A_5 \delta - A_5 (125 r_0 + 64 r_1 + \\ + 27 r_2 + 8 r_3 + r_4)$$

$$(6) r_6 = 1296 A_6 Q (\mu - 6) - \frac{5}{4} p_6 + 6 A_6 \delta - A_6 (216 r_0 + 125 r_1 + \\ + 64 r_2 + 27 r_3 + 8 r_4 + r_5)$$

$$(7) r_0 + r_1 + r_2 + r_3 + r_4 + r_5 + r_6 = \frac{2}{5} Q \mu^2$$

$$(8) \quad r_1 + 2r_2 + 3r^3 + 4r_4 + 5r_5 + 6r_6 = \frac{2}{75} Q \mu^3.$$

Величины изгибающихъ моментовъ осевой стойки въ точкахъ встрѣчи съ различными ригелями получаются изъ слѣдующихъ уравненій:

$$(\varepsilon_1) \quad Y_1 = b \left[ r_0 - 2Q \left( \mu - \frac{5}{3} \right) \right]$$

$$(\varepsilon_2) \quad Y_2 = b \left[ 2r_0 + r_1 - 8Q \left( \mu - \frac{10}{3} \right) \right]$$

$$(\varepsilon_3) \quad Y_3 = b \left[ 3r_0 + 2r_1 + r_2 - 18Q \left( \mu - \frac{15}{3} \right) \right]$$

$$(\varepsilon_4) \quad Y_4 = b \left[ 4r_0 + 3r_1 + 2r_2 - r_3 - 32Q \left( \mu - \frac{20}{3} \right) \right]$$

$$(\varepsilon_5) \quad Y_5 = b \left[ 5r_0 + 4r_1 + 3r_2 + 2r_3 + r_4 - 50Q \left( \mu - \frac{25}{3} \right) \right]$$

$$(\varepsilon_6) \quad Y_6 = b \left[ 6r_0 + 5r_1 + 4r_2 + 3r_3 + 2r_4 + r_5 - 72Q \left( \mu - \frac{30}{3} \right) \right]$$

Рѣшивъ вышеприведенные 8 уравненій, мы можемъ найти численные значения величинъ  $r_k$ ,  $X_k$ ,  $f_k$  и  $Y_k$  и найти напряженія материала въ различныхъ элементахъ полотна. Результаты вычислений представлены нами въ нижепомѣщенныхъ таблицѣ I и графикѣ (черт. 148).

Точки перегиба кривой (6) соотвѣтствуютъ тѣмъ точкамъ, въ которыхъ ординаты кривой (1) равны нулю, что указываетъ на правильность аналитического расчета.

Изъ графика видно, что полотно болѣе всего напряжено на разстояніи отъ подошвы равномъ  $\frac{1}{3}$  высоты полотна.

ТАБЛИЦА I.

Номера ригелей.	Величины $p_k$ .	Величины 8 неизвестныхъ, а именно: $\delta$ и $r_0 \dots r_6$	Осевая стойка.		Р и г е л я.						Прогибы въ милим.	
			Иаги- баю- щіе мо- менты.	Напря- женія матері- ала въ килог. на кв. милим.	Иаги- баю- щіе мо- менты.	напряженіе матеріала въ кил. на кв. милім.						
						соотвѣтств. изгибу,	выти- гив. въ ниж- ней части ригеля.	сжима- ющ. въ верх- ней части ригеля.	отъ створа.	Полное сжима- ющ. на- пряженіе въ верхн. частіи ригеля.		
--	--	$\delta = 19069,7$	—	—	—	—	—	—	—	—	—	
0	--	+3639	—	—	—	—	—	—	1,71	1,71	—	
1	5143	— 727	+2241	3,33	3204	4,77	4,05	3,40	7,45	1,25		
2	4126	+2206	+1106	1,64	4594	6,87	5,93	—	5,93	1,63		
3	3109	+2474	+122	0,18	4050	6,09	5,34	3,39	8,73	1,44		
4	2092	+985	+84	0,12	2232	4,15	3,66	—	3,66	1,01		
5	1076	+733	— 17	0,03	1313	2,46	2,21	—	2,21	0,59		
6	284	+25	+85	0,13	224	0,42	0,38	0,75	1,13	0,11		

**§ 57. Второй случай.** — Ригеля разматриваются какъ балки, закрѣпленныя по своимъ концамъ. Всѣ замѣчанія, приведенные въ первомъ случаѣ, сохраняютъ свою силу. Выраженія ( $\alpha$ ) остаются тѣ же, что же касается выраженій ( $\beta$ ) и ( $\gamma$ ), то они примутъ нѣсколько иной видъ ввиду того, что максимальный изгибающій моментъ, даваемый выраженіемъ ( $\beta$ ), имѣть мѣсто не по срединѣ ригеля, а по его концамъ. Получимъ

$$(\beta) \dots \dots \dots X_k = \frac{a}{12} (4 p_k + 3 r_k)$$

$$(\gamma) \dots \dots \dots f_k = \frac{a^3}{24 E J_k} (p_k + r_k)$$

Если обозначить черезъ  $M_k$  моментъ закрѣпленія, который испытываетъ осевая стойка отъ  $K'$ -аго ригеля въ мѣстѣ

ихъ соединенія, тогда выраженіе изгибающаго момента этой стойки въ промежуткѣ между ригелями  $K$ -ымъ и  $(K+1)$ -ымъ будетъ.

$$(e) \quad Y = \Sigma_0^k M + \Sigma_1^k q(y - h') - \Sigma_0^k r(y - h) + \frac{1}{2} \frac{q_{k+1}}{b_{k+1}} (y - h_k)^2$$

Интеграль этого выраженія будетъ

$$\int Y dy = D_{k+1} + y \Sigma_0^k M + \frac{1}{2} \Sigma_1^k q (y - h')^2 - \\ - \frac{1}{2} \Sigma_0^k r (y - h)^2 + \frac{1}{6} \frac{q_{k+1}}{b_{k+1}} (y - h_k)^3.$$

Этотъ интеграль, будучи умноженъ на  $\frac{1}{EJ}$ , даетъ наклонъ касательной къ кривой изгиба оси стойки въ томъ же интервалѣ. Въ точкахъ встрѣчи съ  $K$ -ымъ и  $(K+1)$ -ымъ ригелями касательная эта—вертикальна, а потому и вышеприведенный интеграль обращается въ нуль при  $y = h_k$  и при  $y = h_{k+1}$ . Такимъ образомъ, принимая во вниманіе, что  $h_{k+1} - h_k = b_{k+1}$ , можемъ написать:

$$D_{k+1} + h_{k+1} \Sigma_0^k M + \frac{1}{2} \Sigma_1^k q (h_{k+1} - h')^2 - \\ - \frac{1}{2} \Sigma_0^k r (h_{k+1} - h)^2 + \frac{1}{6} q_{k+1} b_{k+1}^2 = 0$$

и

$$D_{k+1} + h_k \Sigma_0^k M + \frac{1}{2} \Sigma_1^k q (h_k - h')^2 - \frac{1}{2} \Sigma_0^k r (h_k - h)^2 = 0$$

Эти два уравненія опредѣляютъ  $D_{k+1}$  и  $\Sigma_0^k M$ :

$$\Sigma_0^k M = - \frac{1}{2} \Sigma_1^k q (b_{k+1} + 2h_k - 2h') + \frac{1}{2} \Sigma_0^k r (b_{k+1} + 2h_k - 2h) - \\ - \frac{1}{6} p_{k+1} b_{k+1}$$

$$D_{k+1} = \frac{1}{2} \Sigma_1^k q (b_{k+1}h_k + h_k^2 - h'^2) - \frac{1}{2} \Sigma_0^k r (b_{k+1}h_k + h_k^2 - h^2) +$$

$$+ \frac{1}{6} q_{k+1} h_k b_{k+1}$$

Подставляя въ  $Y$  и  $\int Y dy$  вместо  $\Sigma_0^k M$  и  $D_{k+1}$  послѣднія выраженія, получимъ:

$$Y = (y - h'_{k+1})(\Sigma_1^k q - \Sigma_0^k r) + \frac{1}{2} \frac{q_{k+1}}{b_{k+1}} (y - h_k)^2 - \frac{1}{6} q_{k+1} b_{k+1}$$

$$\int Y dy = \frac{1}{2} [(y - h_k)^2 - b_{k+1}(y - h_k)] (\Sigma_1^k q - \Sigma_0^k r) + \frac{1}{6} \frac{q_{k+1}}{b_{k+1}} \times$$

$$\times [(y - h_k)^3 - b_{k+1}^2 (y - h_k)].$$

Возьмемъ теперь двойной интегралъ изгибающаго момента; получимъ;

$$\int \int Y dy dy = C_{k+1} + \frac{1}{24} \left\{ [4(y - h_k)^3 - 6 b_{k+1} (y - h_k)^2] \times \right.$$

$$\left. \times (\Sigma_1^k q - \Sigma_0^k r) + \frac{q_{k+1}}{b_{k+1}} [(y - h_k)^4 - 2 b_{k+1}^2 (y - h_k)^2] \right\}.$$

Этотъ интегралъ, будучи умноженъ на  $\frac{1}{EJ}$ , даетъ величину прогиба въ  $(K+1)$ -ой панели, причемъ прогибы  $f_{k+1}$  и  $f_k$  получатся, если принять  $y = h_{k+1}$  и  $y = h_k$ . Получимъ:

$$f_{k+1} = \frac{a^3}{24 E J_{k+1}} (p_{k+1} + r_{k+1}) = \frac{C_{k+1}}{E J} - \frac{b_{k+1}^3}{24 E J} [q_{k+1} + 2(\Sigma_1^k q - \Sigma_0^k r)],$$

$$f_k = \frac{a^3}{24 E J_k} (p_k + r_k) = \frac{C_{k+1}}{E J}.$$

Вычитая почленно эти равенства одно пзъ другого, получимъ

$$f_{k+1} - f_k = \frac{a^3}{24 E} \left( \frac{p_{k+1} + r_{k+1}}{J_{k+1}} - \frac{p_k + r_k}{J_k} \right) =$$

$$= \frac{b_{k+1}^3}{24 E J} [2(\Sigma_0^k r - \Sigma_1^k q) - q_{k+1}],$$

откуда уравненіе  $(k+1)$ -ое:

$$\frac{a^3 J}{2 b_{k+1}^3 J_{k+1}} r_{k+1} = \frac{a^3 J}{2 b_{k+1}^3} \left( \frac{p_k}{J_k} - \frac{p_{k+1}}{J_{k+1}} \right) - \frac{q_{k+1}}{2} - \\ - \Sigma_1^k q + r_0 + r_1 + \dots + r_k + \frac{a^3 J}{2 b_{k+1}^3 J_k} r_k.$$

Въ частномъ случаѣ, для первой панели, слѣдуетъ замѣтить, что  $C_1 = E J f_0$ , а потому

$$f_1 = \frac{a^3}{24 E J_1} (p_1 + r_1) = - \frac{b_1^3}{24 E J} (q_1 - 2 r_0),$$

откуда

$$\frac{a^3 J}{2 b_1^3 J_1} r_1 = - \frac{a^3 J}{2 b_1^3} \cdot \frac{p_1}{J_1} - \frac{q_1}{2} + r_0.$$

Это выраженіе для  $r_1$  можно получить изъ общаго выраженія  $(k+1)$  величины  $r_{k+1}$ , если въ немъ принять  $J_0$  равнымъ безконечности; допустить такое предположеніе мы можемъ потому, что ригель  $n^0 0$ , упираясь по всей длини въ король, не можетъ изгибаться, что равносильно допущенію, что онъ обладаетъ безконечно большимъ моментомъ сопротивленія.

Давая въ выраженіи  $(k+1)$ мъ  $k$  значенія отъ 0 до  $(n-1)$ , мы получимъ  $n$  уравненій первой степени съ  $(n+1)$  неизвѣстными—реакціями  $r_0, r_1, r_2, \dots, r_n$ .

$(n+1)$ -ое уравненіе получится такъ-же, какъ и въ первомъ разсмотрѣнномъ уже случаѣ, а именно:

$$(n+1) \dots \dots \dots \Sigma_0^n r = \Sigma_1^n q.$$

Мы не будемъ пользоваться  $(n+2)$ -ымъ уравненіемъ, выражающимъ, что сумма моментомъ относительно основанія полотна равна нулю, такъ какъ это уравненіе служитъ только для опредѣленія величины  $\Sigma_0^n M$ , знать которую не представляеть необходимости.

Коль скоро реакціи  $r_0, r_1, \dots, r_n$  опредѣлены посредствомъ указанныхъ выше  $(n+1)$  уравненій первой степени, мы можемъ опредѣлить и максимальные изгибающіе моменты ригелей и ихъ прогибъ по формуламъ  $(\beta)$  и  $(\gamma)$ . Изгибающіе

моменты осевой стойки въ точкахъ пересѣченія ея съ ригелями и по срединѣ панелей получаются изъ помѣщенныхъ ниже формулъ ( $\varepsilon$ ), которые выведены непосредственно изъ выраженія  $y$ , если въ немъ принять  $y=h_k$ ,  $y=h'_{k+1}$  и  $y=h_{k+1}$ , причмъ  $k$  здѣсь варьируетъ отъ 0 до  $(n-1)$

$$(\varepsilon) \quad \begin{cases} -Y_k = \frac{b_{k+1}}{6} [q_{k+1} + 3 \Sigma_1^k q - 3 \Sigma_0^k r] \\ -Y_{\frac{k+1}{2}} = \frac{b_{k+1} q_{k+1}}{24} \\ -Y_{k+1} = \frac{b_{k+1}}{6} [3 \Sigma_0^k r - 2 q_{k+1} - 3 \Sigma_1^k q] \end{cases}$$

Наконецъ мы можемъ получить излишекъ прогиба осевой стойки по срединѣ каждой панели надъ среднею ариѳметической прогибовъ по краямъ этой панели, по слѣдующей формулѣ:

$$f_{\frac{k+1}{2}} - \frac{f_{k+1} + f_k}{2} = \frac{b_{k+1}^3 q_{k+1}}{384 E J}.$$

**§ 58. Полотно съ тремя стойками и равноотстоящими другъ отъ друга ригелями.** Если ригеля отстоятъ на равныхъ разстояніяхъ другъ отъ друга, то изгибающій моментъ для любой точки  $(K+1)$ -ої панели, подобно тому какъ и въ первомъ случаѣ, выразится слѣдующимъ образомъ:

$$Y = \frac{1000 a b^2}{a^2 + b^2} \left( \frac{H y^2}{2} - \frac{y^3}{6} \right) - y \Sigma_0^k r + \Sigma_1^k h r + \Sigma_0^k M,$$

или, обозначивъ

$$50 \cdot \frac{a b^4}{a^2 + b^2} = Q; \quad \frac{J_k}{J} \cdot \frac{b^3}{a^3} = A_k; \quad \frac{5 H}{b} = \mu$$

и кромѣ того  $y=bz$ , получимъ

$$Y = \frac{b}{6} \left[ Q (12 \mu z^2 - 20 z^3) - 6 z \Sigma_0^k r + \frac{6}{b} (\Sigma_1^k h r + \Sigma_0^k M) \right].$$

Возьмемъ интегралъ этого выраженія, обозначивъ постоянную интегрированія черезъ  $D_{k+1}$

$$\int Y dy = \int Y b dz = \frac{b^2}{6} \left[ Q(4\mu z^3 - 5z^4) - 3z^2 \Sigma_0^k r + \right. \\ \left. + \frac{6z}{b} (\Sigma_1^k hr + \Sigma_0^k M) + D_{k+1} \right].$$

Этотъ интегралъ, будучи умноженъ на  $\frac{1}{EJ}$ , даетъ наклонъ касательной къ кривой изгиба осевой стойки, а потому онъ обращается въ нуль при значеніяхъ  $z=k$  и  $z=k+1$ .

Итакъ

$$Q(4\mu k^3 - 5k^4) - 3k^2 \Sigma_0^k r + \frac{6k}{b} (\Sigma_1^k hr + \Sigma_0^k M) + D_{k+1} = 0 \\ Q[4\mu(k+1)^3 - 5(k+1)^4] - 3(k+1)^2 \Sigma_0^k r + \\ + \frac{6(k+1)}{b} (\Sigma_1^k hr + \Sigma_0^k M) + D_{k+1} = 0.$$

Изъ этихъ двухъ равенствъ получаемъ слѣдующія:

$$\frac{6}{b} [\Sigma_1^k hr + \Sigma_0^k M] = -Q[4\mu(3k^2 + 3k + 1) - \\ - 5(4k^3 + 6k^2 + 4k + 1)] + 3(2k+1) \Sigma_0^k r$$

и

$$D_{k+1} = k(k+1) \{ Q[4\mu(2k+1) - 5(3k^2 + 3k + 1)] - 3\Sigma_0^k r \}.$$

Подставляя вмѣсто  $(\Sigma_1^k hr + \Sigma_0^k M)$  и  $D_{k+1}$  равныя имъ выраженія въ  $Y$  и  $\int Y dy$ , получимъ:

$$Y = \frac{b}{6} \left\{ Q[4\mu(3z^2 - 3k^2 - 3k - 1) - 5(4z^3 - 4k^3 - 6k^2 - 4k - 1)] - \right. \\ \left. - 3[2z - 2k - 1] \Sigma_0^k r \right\},$$

$$\int Y dy = \frac{b^2}{6} \left\{ Q \left[ 4 \mu [z^3 - (3k^2 + 3k + 1)z + k(k+1)(2k+1)] - \right. \right. \\ \left. \left. - 5 [z^4 - (4k^3 + 6k^2 + 4k + 1)z + k(k+1)(3k^2 + 3k + 1)] \right] - \right. \\ \left. - 3 [z^2 - (2k+1)z + k(k+1)] \Sigma_0^k r \right\}.$$

Возьмемъ теперь двойной интеграль  $Y' a$ , обозначивъ постоянную интегрированія черезъ  $C_{k+1}$ .

$$\iint Y dy dy = \frac{2b^3}{24} \left\{ Q \left[ 2 \mu [z^4 - 2(3k^2 + 3k + 1)z^2 + 4k(k+1)(2k+1)z] - \right. \right. \\ \left. \left. - 2z^5 + 5(4k^3 + 6k^2 + 4k + 1)z^2 - 10k(k+1)(3k^2 + 3k + 1)z \right] - \right. \\ \left. - [2z^3 - 3(2k+1)z^2 + 6k(k+1)z] \Sigma_0^k r + C_{k+1} \right\}.$$

Интегралъ этотъ, будучи умноженъ на  $\frac{1}{EJ}$ , дастъ уравненіе упругой линіи осевой стойки въ  $(K+1)$ -ой панели, а потому, если мы примемъ въ немъ  $z = k$  и  $z = k+1$ , то получимъ прогибы стойки въ мѣстахъ встрѣчи съ  $K$ -ымъ и  $(K+1)$ -ымъ ригелями. Приравнивая ихъ наибольшимъ прогибамъ  $f_k$  и  $f_{k+1}$  указанныхъ ригелей, получимъ слѣдующія равенства:

$$\frac{p_k + r_k}{2A_k} = k^2 \left\{ Q [2 \mu (3k^2 + 6k + 2) - (12k^3 + 30k^2 + 20k + 5)] - \right. \\ \left. - (2k+3) \Sigma_0^k r \right\} + C_{k+1}$$

$$\frac{p_{k+1} + r_{k+1}}{2A_{k+1}} = (k+1)^2 \left\{ Q [2 \mu (3k^2 - 1) - (12k^3 + 6k^2 - 4k - 3)] - \right. \\ \left. - 2(k-1) \Sigma_0^k r \right\} + C_{k+1}.$$

Вычитая эти два равенства почленно одно изъ другого, получимъ:

$$(k+1) \dots \frac{r_{k+1}}{2A_{k+1}} = Q[10k(k+1)+3 - 2\mu(2k+1)] +$$

$$+ \frac{p_k}{2A_k} - \frac{p_{k+1}}{2A_{k+1}} + r_0 + r_1 + \dots + r_k + \frac{r_k}{2A_k}.$$

Уравнение это применимо и къ первой панели, если принять  $A_0 = \infty$ .

Давая въ уравненіи  $(k+1)$ -омъ  $k$  значение отъ 0 до  $(n-1)$ , получимъ  $n$  уравненій. Къ нимъ можемъ присоединить  $(n+1)$ -ое уравненіе:

$$(n+1) \dots \Sigma_0^n r = \frac{2}{5} Q \mu^2.$$

Эти  $(n+1)$  уравненій опредѣляютъ реакціи  $r_0, r_1, r_2, \dots, r_n$ . Формулы  $(\beta)$  и  $(\gamma)$  даютъ максимальные изгибающіе моменты ригелей и ихъ прогибы. Изгибающіе моменты осевой стойки по концамъ и срединѣ каждой панели получаются изъ выражения  $Y$ -а путемъ подстановки въ немъ  $z = k; z = k + \frac{1}{2}$  и  $z = k+1$ .

$$(\varepsilon) \begin{cases} -Y_k = \frac{b}{6} \{Q[4\mu(3k+1) - 5(6k^2+4k+1)] - 3\Sigma_0^k r\} \\ -Y_{k+\frac{1}{2}} = \frac{Qb}{6} \left[ \mu - 5 \left( k + \frac{1}{2} \right) \right] \\ -Y_{k+1} = \frac{b}{6} \{Q[5(6k^2+8k+3) - 4\mu(3k+2)] + 3\Sigma_0^k r\} \end{cases}$$

Наконецъ мы можемъ получить излишекъ изгиба осевой стойки по срединѣ панели надъ среднею ариѳметическою прогибовъ по краямъ этой панели по слѣдующей формулѣ.

$$f_{k+\frac{1}{2}} - \frac{f_{k+1} + f_k}{2} = \frac{Qb^3}{192EJ} [2\mu - 5(2k+1)].$$

**§ 59. Полотно съ 4-мя равноотстоящими стойками.** Если мы ширину полотна обозначимъ черезъ  $3a$ ; давленіе воды на погонный метръ, передаваемое непосредственно на  $K$ -ый ригель, черезъ  $\frac{p_k}{a}$ ; реакцію каждой изъ промежуточныхъ стойкъ на этотъ ригель черезъ  $r_k$ ; максимальный изгибающій моментъ по концамъ ригеля черезъ  $X_k$ ; прогибъ  $K$ -аго ригеля на разстояніи  $\frac{1}{3}$  и  $\frac{2}{3}$  его длины въ точкахъ встрѣчи со стойками черезъ  $f_{k\frac{1}{3}}$ ; прогибъ того же ригеля по срединѣ че-резъ  $f_{k\frac{1}{2}}$ ; то формулы ( $\alpha$ ) останутся тѣже, что и въ первомъ случаѣ, тогда какъ формулы ( $\beta$ ) и ( $\gamma$ ) примутъ видъ:

$$(\beta') \dots \dots \quad X_k = a \left( \frac{3}{4} p_k + \frac{2}{3} r_k \right)$$

$$(\gamma') \dots \dots \quad \begin{cases} f_{k\frac{1}{3}} = \frac{a^3}{6 E J_k} (p_k + r_k) \\ f_{k\frac{1}{2}} = \frac{a^3}{E J_k} \left( \frac{27}{128} p_k + \frac{5}{24} r_k \right) \end{cases}$$

*Числовой примеръ.* Разсмотримъ тотъ же числовой при-мѣръ, который мы брали выше, но только примѣнимъ къ не-му формулы, относящіяся ко второму случаю.

Семь уравненій съ семью неизвѣстными будуть:

$$(1) \dots \dots \frac{r_1}{2 A_1} = Q(3 - 2\mu) - \frac{p_1}{2 A_1} + r_0$$

$$(2) \dots \dots \frac{r_2}{2 A_2} = Q(23 - 6\mu) + \frac{p_1}{2 A_1} - \frac{p_2}{2 A_2} + r_0 + r_1 + \frac{r_1}{2 A_1}$$

$$(3) \dots \dots \frac{r_3}{2 A_3} = Q(63 - 10\mu) + \frac{p_2}{2 A_2} - \frac{p_3}{2 A_3} + r_0 + r_1 + r_2 + \frac{r_2}{2 A_2}$$

$$(4) \dots \frac{r_4}{2A_4} = Q(123 - 14\mu) + \frac{p_3}{2A_3} - \frac{p_4}{2A_4} + r_0 + r_1 + r_2 + r_3 + \frac{r_3}{2A_3}$$

$$(5) \dots \frac{r_5}{2A_5} = Q(203 - 18\mu) + \frac{p_4}{2A_4} - \frac{p_5}{2A_5} + r_0 + r_1 +$$

$$+ r_2 + r_3 + r_4 + \frac{r_4}{2A_4}$$

$$(6) \dots \frac{r_6}{2A_6} = Q(303 - 22\mu) + \frac{p_5}{A2_5} - \frac{p_6}{2A_6} + r_0 + r_1 + r_2 +$$

$$+ r_3 + r_4 + r_5 + \frac{r_5}{2A_5}$$

$$(7) \dots r_0 + r_1 + r_2 + r_3 + r_4 + r_5 + r_6 = \frac{2}{5}Q\mu^2.$$

Продольныя сжимающія усилія въ ригеляхъ, соотвѣтствующія створу, остаются тѣ же, что и въ первомъ случаѣ.

Результаты расчетовъ помѣщены на графикѣ изображен. на черт. 149 и таблицѣ № II.

Точки перегиба кривой (6) соотвѣтствуютъ тѣмъ точкамъ, въ которыхъ ординаты кривой (1) или равны нулю, или внезапно мѣняютъ знакъ по отношенію къ ригелю.

Сравнивая настоящій графикъ съ тѣмъ, который построенъ для первого случая, мы видимъ, что во второмъ случаѣ ригеля оказываются менѣе напряженными, за то стойка оказывается гораздо болѣе напряженной, чѣмъ въ первомъ случаѣ.

ТАБЛИЦА III.

Номера прогрессий.	Величи- ны $r_k$ (Форму- ла $\alpha$ ).	Основая стойка.		Ригидная		Протяжки	
		Величи- ны 7 не- известн. вь уравн. отъ (1) до (7); $r_0, r_1, \dots r_6$	Изгибаю- щие моменты (Формула $\alpha$ ), $\Sigma^k r_i$	Изгибаю- щие моменты матери- ала въ килогр. на кг., милл.	Напря- жение матери- ала въ килогр.	Напряжение материала въ кил. на кв. милл.	милли- метр. (Форму- ла $\gamma$ ).
0	—	+6707,8	-2934,2 + 120,8	4,36 0,18	— —	— —	— —
1	5143	-1444	+5263,8 { + 2452,4 — 835,5	+1963,7 3,65 1,24	2,48 2,92	3,40 5,88	0,202 0,00278
2	4126	+369,4	+5633,2 { + 440,3 + 73,9	0,15 0,65 0,11	+2129,6 3,19	— 2,75	0,250 0,00217
2+ $\frac{1}{2}$	3109	+1002,5	+6635,7 { - 382,3 + 398,7	0,12 0,57 0,59	+1867,4 2,81	2,46 3,39	0,232 0,00156
3+ $\frac{1}{2}$	2092	+665	+7300,7 { - 620,4 + 636,4	0,09 0,92 0,95	+1253,1 2,33	2,05 —	0,193 0,00095
4+ $\frac{1}{2}$	1076	+886,9	+8187,6 { - 771,4 + 500,2	0,06 1,15 0,74	+ 842,2 1,57	1,42 —	0,140 0,0034
5+ $\frac{1}{2}$	284	+1123,5	+9311 — 548,6	0,02 0,82	+ 544,9 1,02	0,92 0,75	0,101 1,67

**§ 60. Деревянные шлюзные ворота.** Наиболѣе распространеннымъ типомъ деревянныхъ воротъ у насъ въ Россіи являются такъ называемыя „брускатыя“ ворота, а потому мы и позволимъ себѣ остановиться на описаніи ихъ конструкціи.

Брускатыя полотна \*) состоятъ изъ ряда горизонтальныхъ брусьевъ, принимающихъ непосредственно давленіе воды и расположенныхъ по высотѣ воротъ  $H + 0,39$  саж., где  $H$  представляетъ высоту напора надъ королемъ, 0,30 саж., — возвышение верха воротъ надъ подпорнымъ горизонтомъ и 0,09 саж.—представляетъ ту величину, на которую нижній рамный ригель опущенъ ниже короля для опоры на усовикъ. Нижняя рама, или ригель, опирающаяся по всей своей длины на усовикъ короля, не подвержена изгибу, верхняя же рама вовсе не принимаетъ давленія воды, а потому онъ дѣлается для всѣхъ напоровъ изъ 10-ти вершковаго лѣса размѣрами  $0,12 \times 0,16$  саж. Всѣ же остальные брусья получаютъ размѣры въ зависимости отъ напора, который они должны выдерживать; брусья соединены между собою гребнемъ и пазомъ, причемъ гребень дѣлается на верхней сторонѣ бруса, а пазъ на нижней; исключеніе составляютъ самые верхніе болѣе тонкіе брусья, въ которыхъ не дѣлается вовсе гребня и паза. Соединеніе гребнемъ и пазомъ, кромѣ равномѣрности взаимной передачи давленія между брусьями, дѣлается для увеличенія водонепроницаемости въ плоскостяхъ сплотки брусьевъ; для той же цѣли между брусьями прокладывается также смоленый войлокъ. Гребни и пазы дѣлаются сѣченіемъ  $0,02 \times 0,02$  саж.; они не доходятъ до концовъ брусьевъ на 0,12 саж., чтобы предотвратить возможность просачиванія воды вдоль гребня. Впрочемъ дальнѣйшая практика брускатыхъ воротъ показала, что водонепроницаемость воротъ можетъ быть достигнута и безъ гребней и пазовъ посредствомъ одной только самой тщательной притески постелей брусьевъ. Для взаимной же передачи брусьями давленія въ нихъ дѣлаются вставные шипы, размѣщенные въ шахматномъ порядкѣ въ

\*) Конструкціи мы не помѣщаемъ въ атласѣ чертежей потому, что она помѣщена въ курсѣ водяныхъ сообщеній проф. Зброжека.

плоскости, приближающейся къ подпорной сторонѣ, тогда какъ гребень и пазъ располагаются ближе къ противоположной сторонѣ. Брусья по всей высотѣ воротъ въ отвѣсномъ направлениі связаны 4-мя винтовыми болтами диаметромъ 1,5 дюйм., проходящими сквозь щитовые телята, которые помѣщены между надщитовымъ брускомъ и нижнимъ ригелемъ. По концамъ у створа и вереи брусья скрѣплены сжимами, расположеннымъи съ обѣихъ сторонъ въ видѣ схватокъ, толщиною 4 дюйм. каждый; они стянуты черезъ одинъ брусъ винтовыми болтами въ  $\frac{3}{4}$ ", а съ промежуточными брусьями скрѣплены съ обѣихъ сторонъ двумя шурупами длиною 7 дм., толщиною  $\frac{5}{8}$ ", расположеннымъи диагонально.

Пространство между надщитовымъ брускомъ и нижнимъ ригелемъ раздѣляется телятами на три части по числу щитовъ.

Для предупрежденія провисанія полотенъ съ обѣихъ сторонъ расположены диагональныя желѣзныя полосы, прикрѣпленныя внизу двумя  $\frac{3}{4}$ " болтами къ планкѣ изъ котельнаго желѣза толщ.  $\frac{3}{8}$ ", которая въ свою очередь прикрѣплена посредствомъ шуруповъ къ брусу, лежащему выше надщитового. Со стороны подпора во избѣженіе задѣванія диагональной полосы судами, ее врѣзаютъ заподлицо съ выступающими брусьями. Въ верхней части каждая полоса имѣеть муфту съ винтами для подтягиванія. Вверху полосы прикрѣпляются тоже двумя болтами, пропущенными сквозь верхній рамный брусъ.

Что касается до воротъ ригельныхъ, то практика русскихъ строителей показала, что эти ворота представляють много чисто конструктивныхъ затрудненій и не отличаются продолжительной службой. Заграницей, повидимому, держатся нѣсколько иного взгляда, что можно видѣть изъ того, что тамъ строили по этому типу ворота сравнительно въ недавнее время, какъ напримѣръ на рѣкѣ Іоннѣ фототипія № 5. А. (въ 1895 г.) и на Масѣ (фототипія № 5. В. (въ 1893 г.).

**§ 61. Сравненіе шлюзовыхъ воротъ деревянныхъ, металлическихъ и смѣшанного типа.** Если мы будемъ сравни-

вать только ворота двустворчатыя, какъ чаше всего встречающіяся на практикѣ, и обратимъ внимание на стоимость ремонта, то придемъ къ заключенію, что ворота смѣшанного типа требуютъ болѣе дорогого ремонта, чѣмъ желѣзныя, а эти послѣднія въ свою очередь оказываются дороже по ремонту воротъ деревянныхъ, а потому этимъ послѣднимъ еще на долгіе годы суждено играть важную роль на судоходныхъ путяхъ съ малымъ живымъ съченіемъ и сравнительно съ небольшимъ грузооборотомъ, гдѣ болѣе частое возобновленіе подобныхъ сооруженій не можетъ вызывать серьезныхъ стѣсненій для судоходства.

Но если размѣры шлюзовъ—велики, если нужно построить сразу большое число воротъ, наконецъ если грузооборотъ судоходнаго пути настолько значителенъ, что продолжительность службы сооруженій представляеть вопросъ капитальной важности, то предпочтительнѣе остановиться на желѣзныхъ воротахъ, или по крайней мѣрѣ самый остовъ воротъ дѣлать изъ желѣза.

Въ самомъ дѣлѣ, по мѣрѣ увеличенія требуемыхъ размѣровъ лѣса, этотъ послѣдній не только сильно поднимается въ цѣнѣ, но иногда даже трудно его и достать, что особенно важно при необходимости имѣть большое его количество, чѣмъ касается до желѣза, то, очевидно, что не представляеть никакого затрудненія получить балки любого потребнаго размѣра. Съ другой стороны, въ деревянныхъ воротахъ большую трудность представляеть скрѣпленіе отдѣльныхъ элементовъ,—затрудненіе, которое легко устраниется въ конструкціяхъ желѣзныхъ.

Разсмотримъ теперь вопросъ объ обшивкѣ.

Противъ желѣзной обшивки прежде выставлялся тотъ доводъ, что она легко повреждается отъ ударовъ судовъ, но, какъ показали внимательныя наблюденія, упрекъ этотъ совершенно несправедливъ, а потому остается только одно, крупное правда, неудобство желѣзной обшивки, состоящее въ томъ, что ремонтъ ея можно поручать только опытнымъ мастерамъ, а таковыхъ далеко не всегда можно имѣть въ мѣстахъ, гдѣ обыкновенно устраиваютъ шлюзы, тогда какъ съ

мелкимъ ремонтомъ деревянной обшивки можетъ справиться всегда сторожъ при шлюзѣ. Этому обстоятельству въ значительной мѣрѣ можно приписать распространенность воротъ смѣшанного типа, несмотря на то что они, какъ мы видѣли выше, требуютъ болѣе дорогого ремонта, чѣмъ ворота деревянныя и желѣзныя.

---

## Механизмы воротъ.

**§ 62. Пята съ пятникомъ.** Ранѣе мы уже указали въ § 2, что при вращеніи какъ желѣзныхъ, такъ и деревянныхъ воротъ вереяльный столбъ вовсе не соприкасается съ угломъ шкафа; въ противномъ случаѣ трущіяся части изнашивались бы очень быстро. Въ тѣхъ случаяхъ, когда въ закрытомъ состояніи воротъ вереяльный столбъ по всей длине соприкасается съ угломъ шкафа (см. черт. 116—120), ось вращенія воротъ устанавливается такимъ образомъ, чтобы она не совпадала съ осью вереяльного столба; благодаря этой эксцентричности между открытыми воротами и шкафомъ получается зазоръ 18—25 мм. Если вереяльный столбъ опирается на стѣну только въ несколькиихъ точкахъ, то опять надо позаботиться о томъ, чтобы соприкасаніе упорныхъ частей прекращалось въ самомъ началѣ вращенія воротъ. Чтобы убѣдиться въ томъ, что точка вращенія въ планѣ назначена правильно, надо провести радиусы къ крайнимъ точкамъ плоскости соприкасанія и восстановить къ этимъ радиусамъ перпендикуляры; получаемые перпендикуляры даютъ направленіе движенія въ первый моментъ вращенія. Отсюда будетъ видно, прекратится ли соприкасаніе частей при этомъ движеніи.

Полотно воротъ внизу опирается при помощи пятника, прикрѣпленного къ нижнему концу вереяльного столба, на пяту (deut. der Spurzapfen, franz. la srapaudine, engl. the pivot.), защѣпленную въ полъ или флютбетъ шлюза.

При конструировании пяты надо обращать внимание на то, чтобы она могла сопротивляться какъ вертикальнымъ, такъ и горизонтальнымъ усилиямъ, и передавать послѣднія на полъ шлюза. Вертикальное давление на пяту равно вѣсу полотна воротъ за вычетомъ вѣса вытѣсненной воды. Въ закрытомъ состояніи воротъ горизонтальное усилие можно прямо передать на стѣны при помощи особыхъ опорныхъ подушекъ, какъ показано на черт. 150; во время же вращенія очень трудно освободить пяту отъ воздействиія на нее горизонтального давленія, такъ что пяту приходится расчитывать на совмѣстное дѣйствіе вертикального усилия  $V$  и горизонтальнаго  $Z$ .

*Расчетъ цилиндрической пяты.* Диаметръ пяты =  $d$ , высота =  $c$ . Въ самомъ невыгодномъ случаѣ сила  $Z$  будетъ приложена къ верхнему концу пяты. Наибольшій моментъ въ нижнемъ концѣ  $M=Zc$  и наибольшее напряженіе (черт. 151)

$$N_1 = \frac{32 M}{d^3 \cdot \pi} = \frac{32 Z c}{d^3 \cdot \pi}.$$

Кромѣ того имѣется продольное напряженіе, постоянное во всѣхъ сѣченіяхъ:

$$N_2 = \frac{4 V}{d^2 \cdot \pi}.$$

Если не принимать во вниманіе скальвающаго напряженія отъ поперечной силы  $Z$ , то при допускаемомъ напряженіи  $K$  необходимое сѣченіе опредѣлится изъ условія:

$$K = \frac{32 Z c}{d^3 \pi} + \frac{4 V}{d^2 \cdot \pi} \quad \dots \dots \dots \dots \dots \dots \quad (1)$$

Въ виду того, что при быстромъ вращеніи воротъ возможны удары, допускаемое напряженіе  $K$  должно быть не велико:

для сварочнаго желѣзца  $K =$  отъ 500 до 700 kg./cm<sup>2</sup>.

" незакаленной стали  $K = 750$  kg./cm<sup>2</sup>.

При проектировании большихъ воротъ слѣдуетъ убѣдиться расчетомъ въ томъ, что главныя и приведенные напряженія не превосходятъ допускаемаго предѣла.

Въ произвольномъ мѣстѣ поперечнаго сѣченія на разстояніи  $y = r \cdot \sin \varphi$  отъ центра тяжести скользящее напряженіе  $T = \frac{Q S}{J}$ , гдѣ  $S$  означаетъ статическій моментъ заштрихованной части (черт. 151), при  $Q = Z$  имѣемъ.

$$T = \frac{Z \cdot \frac{2}{3} r^3 \cos^3 \varphi}{\frac{d^4 \cdot \pi}{64}} = \frac{16}{3} Z \frac{\cos^3 \varphi}{d \pi}.$$

Въ этомъ мѣстѣ продольное напряженіе

$$N = \frac{4 V}{d^2 \pi} + \frac{32 Z c \sin \varphi}{d^3 \pi}.$$

Главныя напряженія  $A$  и соотвѣтственно  $B$  будуть:

$$\frac{A}{B} = \frac{N}{2} \pm \frac{1}{2} \sqrt{N^2 + 4 T^2}.$$

При отношеніи удлиненія къ поперечному сжатію  $m = 4$  приведенное напряженіе \*)

$$\sigma = \frac{3}{8} N \pm \frac{5}{8} \sqrt{N^2 + 4 T^2}$$

при  $m = 3$

$$\sigma = \frac{1}{3} N \pm \frac{2}{3} \sqrt{N^2 + 4 T^2}.$$

При расчетѣ полезно сначала для первого приближенія опредѣлить діаметръ цапфы, исходя изъ формулы  $K = \frac{32 Z c}{d^3 \pi}$ , а потомъ уже провѣрить сѣченіе, принимая во вниманіе и продольное усилие  $V$ .

\*) См. „Теорія сопротивленія матеріаловъ“ Föppl'a въ переводѣ инженера Бубликова ст. 61.

Не слѣдуетъ дѣлать пяту слишкомъ высокой, такъ какъ съ увеличеніемъ высоты ея возрастаетъ и моментъ, изгибающій ее. Обыкновенно углубленіе въ пятнику т. е. разстояніе нижней грани его до верха пяты дѣлается отъ 50 до 60 мм. Свободная длина пяты отъ начала опорной плиты до пятника бываетъ отъ 40 до 100 мм. и болѣе. Не слѣдуетъ дѣлать эту часть слишкомъ малой, такъ какъ сюда могутъ попадать постороннія тѣла, что будетъ затруднять вращеніе воротъ.

Пятникъ и пята дѣлаются изъ чугуна, кованаго желѣза и стали. Чугунъ примѣняется главнымъ образомъ для небольшихъ воротъ.

Пята обыкновенно ставится внизу, пятникъ прикрѣпляется къ вереяльному столбу, дѣлается это потому, что при обратномъ расположениіи въ пятнику могли бы попадать грязь и песокъ, вслѣдствіе чего затруднялось бы вращеніе, и трущіяся части быстро изнашивались бы. Для воротъ небольшой и средней величины пята отливается вмѣстѣ съ опорной плитой (черт. 150). Послѣдняя должна имѣть въ планѣ такие размѣры, чтобы давленіе на камень не превосходило допускаемаго напряженія. Для большихъ воротъ слѣдуетъ дѣлать отдельно пятникъ изъ стали и листового желѣза и опорную плиту изъ чугуна или стали, какъ показано на черт. 152, 153, 154 и 155.

Весьма рационально дѣлать желѣзныя и стальныя пяты слегка коническими и вставлять ихъ въ отверстія, выточенныя въ плитѣ по тому же конусу. Для предупрежденія вращенія пяты, на послѣдней дѣлаются съ діаметрально противоположныхъ сторонъ выступы, которые входятъ въ гнѣзда, сдѣланныя въ плитѣ (черт. 155). Такія пяты въ случаѣ надобности можно легко вынуть и замѣнить новыми. Часто на плитѣ дѣлаются реборды въ формѣ угла шкафа (черт. 154 и 155). Иногда плиты вовсе не дѣлаются, а пяту закрѣпляютъ прямо въ камень (черт. 156): возможно это въ томъ случаѣ, если имѣется камень очень хорошаго качества и давленіе на пяту, напримѣръ при плавучихъ затворахъ, не велико. Плита заливается въ камень свинцомъ или цементомъ и закрѣпляется болтами. При заливкѣ надо заботиться о томъ, чтобы воз-

духъ могъ свободно выходить изъ подъ плиты. Для этого въ средней части послѣдней дѣлается нѣсколько небольшихъ отверстій.

Пятники также дѣлаются цѣльные или составные. На черт. 150, 151, и 152 показаны чугунные пятники. Пятникъ, представленный на черт. 153 состоить изъ трехъ частей: верхняя часть *b* сдѣлана изъ кованаго желѣза, плита *c*, которая опирается на пяту, изъ стали; кольцо *d* соединяется съ частями *b* и *c* при помощи заклепокъ. На чертежѣ 154 представленъ стальной пятникъ. Здѣсь пятна на верху оканчивается шаровой поверхностью; углубленіе пятника дѣлается такой же формы, но большаго діаметра, или же поверхность вращенія обтачивается въ ней съ обратной кривизной. Въ чугунныхъ пятникахъ полезно дѣлать стальные вкладыши; для установки послѣднихъ пятникъ предварительно нагревается (черт. 155). Для того, чтобы была достаточная направляющая при вращеніи, вверху пятникъ долженъ точно охватывать пяту, а внизу между ними долженъ быть небольшой зазоръ.

*Расчетъ поверхности соприкасанія пяты со пятникомъ.* Примѣняются двѣ конструкціи: плотное касаніе и свободное касаніе опорныхъ частей.

I. *Плотное касаніе.* Объ поверхности одной кривизны т. е. выпуклому концу пяты соответствуетъ углубленіе въ пятникѣ; при этомъ различаютъ два случая:

а) давленіе *P* распредѣляется на всю поверхность полушиарія и б) давленіе *P* распредѣляется на верхній сегментъ шара съ центральнымъ угломъ  $90^\circ$ .

Наибольшее напряженіе  $N_{max}$  въ верхней точкѣ пяты \*) въ первомъ случаѣ

$$N_{max} = \frac{3P}{2\pi R^2} \quad \dots \quad (2)$$

т. е. въ три раза болѣе того напряженія, которое получилось бы въ томъ случаѣ, если бы давленіе *P* распредѣлялось равнomoрно по всей поверхности полушиарія и въ полтора раза

\*) См. „Желѣзные мосты“ проф. Е. О. Патона томъ 2 стр. 42.

болье равномѣрного напряженія, отнесенаго къ диаметральному сѣченію; во второмъ случаѣ

$$N_{max} = \frac{P}{0.430 \cdot \pi \cdot R^2} \quad \dots \dots \dots \dots \dots \quad (3)$$

т. е. въ 1,36 разъ болѣе напряженія равномѣрно распределенного по всей поверхности шарового сегмента съ центральнымъ угломъ  $90^\circ$  (площадь его  $= 2\pi R h = 2\pi R^2 \cdot 0,2929$ ) и въ 2,33 раза болѣе равномѣрного напряженія отнесенного къ диаметральному сѣченію.

При плотномъ касаніи допускаемое напряженіе

$$\text{для чугуна } K = 250 \frac{\text{kg}}{\text{q. cm.}}$$

для стали  $K =$  отъ 390 до 550  $\frac{kg}{q. cm.}$

Подставляя эти значения въ формулы 2 и 3, находимъ величину радиуса пяты  $R$  въ сантиметрахъ въ первомъ случаѣ:

для чугуна  $R_{cm} \geq 1,382 \sqrt{P \text{tonn.}}$

$$\text{для стали } R_{em} \geq \text{отъ } 1,106 \sqrt{P \text{tonn.}} \text{ до } 0,932 \sqrt{P \text{tonn.}} \quad (4)$$

во второмъ случаѣ:

для чугуна  $R_{cm} \geq 1,721 \sqrt{P} \text{ tonn.}$

для стали  $R_{cm} \geq$  отъ  $1,378 \sqrt{Ptonn.}$  до  $1,16 \sqrt{Ptonn.}$  } . . . (5)

Если  $P=25 t$ , то при плотномъ касаніи полушиарій

для чугуна  $R \geq 1,382 \times 5 = 6,9 \sim 7$  сант.

для стали  $R \geq$  отъ  $1,106 \times 5$  до  $0,932 \times 5 =$  отъ 5,5 до 4,7 сант.

при плотномъ касаніи по поверхности шарового сегмента съ центральнымъ угломъ  $90^{\circ}$ .

для чугуна  $R \geq 1,721 \cdot 5 \geq 8,6 \sim 9$  сант.

для стали  $R \geq$  отъ 1,378 . 5 до 1,16 . 5  $\geq$  отъ 6,9 до 5,8  $\geq \sim$  отъ 7 до 6 сант.

Въ виду того, что не всегда можно расчитывать на вполнѣ плотное соприкасание полушарій, рекомендуется расчитывать пяту по формулѣ (5).

II. *Свободное касаніе.* Въ данномъ случаѣ будемъ разматривать касаніе двухъ шаровъ и шара съ плоскостью.

По Grashof-у наибольшее напряженіе въ верхней точкѣ пяты

$$N_{max} = \sqrt{\frac{2Pk}{\pi \cdot A}}$$

$$\text{гдѣ } k = \frac{1}{2} \left( \frac{1}{R} + \frac{1}{r} \right)$$

$R$  и  $r$  радиусы шаровыхъ поверхностей  
 $P$ —полное давленіе на пяту.

Обозначая допускаемое напряженіе черезъ  $K$ , получимъ

$$K^2 = \frac{2Pk}{\pi \cdot A}$$

Коэффиціентъ  $A$  зависитъ отъ упругихъ свойствъ материала и его величины. Landsberg принимаетъ его равнымъ 0,025 при измѣреніяхъ въ сантиметрахъ и тоннахъ, такъ что

$$K_{tn}^2 = \frac{80 \cdot P_{tn} k}{\pi} \text{ или}$$

$$K_{tn}^2 = 12,75 \cdot P_{tn} \left( \frac{1}{R} + \frac{1}{r} \right) \dots \dots \dots (6)$$

Если  $R = r$ , то

$$K_{tn}^2 = \frac{25,5 \cdot P_{tn}}{R} \dots \dots \dots (7)$$

Если  $R = \infty$ , т. е. шаръ соприкасается съ плоскостью, то

$$K_{tn}^2 = \frac{12,75 \cdot P_{tn}}{r} \dots \dots \dots (8)$$

Для опредѣленія радиусовъ шаровыхъ пятъ Landsberg принимаетъ допускаемое напряженіе

для литого желѣза       $K = 1,5 \frac{tn}{q \text{ cm}}$

для стали       $K = 2 \frac{tn}{q \text{ cm}}$

Даже при такихъ высокихъ напряженіяхъ радиусы  $R$  и  $r$  получаются довольно большие.

*Примѣръ.* Если  $P = 10 t$ , то при соприкасаніи шаровой поверхности съ плоскостью

для стали  $r = \frac{12,75 \times 10}{4} = \sim 32 \text{ cm.}$

для литого желѣза  $r = \frac{12,75 \times 10}{2,25} = \sim 57 \text{ cm.}$

При свободномъ касаніи двухъ шаровыхъ поверхностей равныхъ радиусовъ

для стали  $R = \frac{25,5 \times 10}{4} = \sim 64 \text{ cm.}$

для желѣза  $R = \frac{25,5 \times 10}{2,25} = \sim 113 \text{ cm.}$

При большомъ значеніи  $P$  т. е. при большихъ воротахъ, радиусы закругленій получаются очень большие; а потому въ такихъ случаяхъ выгоднѣе примѣнять опоры съ плотнымъ соприкасаніемъ.

На чертежѣ 158 показана конструкція, гдѣ на пятѣ по меридіанальному окружностямъ сдѣлано нѣсколько бороздокъ для смазыванія. Въ чугунномъ пятнику внизу вблизи пяты сдѣланъ небольшой вырѣзъ; вырѣзъ этотъ закрывается желѣзнымъ листомъ, который долженъ обжимать пяту безъ зазора. Въ упомянутыя бороздки масло вгоняется черезъ трубочку подъ сильнымъ давленіемъ, воздухъ же выходитъ изъ бороздокъ по другой трубочкѣ. Подробности см. Barkhausen Ueber einige neuere englische Seeschleusen. Zeitschr. d. Arch.—u. Ing. Ver. zu Hannover 1888 s. 428.

**§ 63. Шипъ и гальсбантъ.** На верхнемъ концѣ вереяль-наго столба прикрепляется шипъ (deut. der Halszapfen, franz.

le tourillon, engl. the upper pivot). Шипъ этотъ, поддержива-  
емый гальсбантомъ (deut. das Halsband, franz. le collier, engl.  
the circular collar), имѣть слѣдующее назначеніе: онъ вмѣстѣ  
съ пятой долженъ образовать ось вращенія и удерживать от-  
крытыя ворота въ вертикальномъ положеніи; при закрытыхъ  
воротахъ онъ долженъ передавать на стѣны иногда весьма  
значительное горизонтальное давленіе и наконецъ по своей  
конструкціи онъ долженъ давать возможность исправить по-  
ложеніе оси вращенія и въ случаѣ надобности приподнять во-  
рота для ремонта. Гальсбантъ слѣдуетъ такъ устраивать,  
чтобы всегда можно было нѣсколько подтянуть его и тѣмъ  
самымъ уничтожить возможное провисаніе полотна воротъ.

Выше въ § 36 уже опредѣлена та сила, которая въ за-  
крытомъ состояніи воротъ должна передаваться черезъ верх-  
ній конецъ вереяльного столба на стѣну; передача усилія про-  
исходитъ черезъ особую подушку, которая соприкасается съ  
плитой, задѣланной въ углу шкафа. Необходимая площадь  
этой плиты легко опредѣляется въ зависимости отъ матери-  
ала стѣны и допускаемаго на него давленія. Въ § 36 опредѣ-  
лены также тѣ усилія, которые передаются на верхній шипъ  
при открытомъ состояніи воротъ и во время вращенія ихъ.  
Чтобы не было провисанія воротъ, указанныя усилія должны  
передаваться на стѣны. Для этого верхній шипъ охваты-  
вается прочнымъ гальсбантомъ, и концы послѣдняго закрѣ-  
пляются въ стѣну.

*Матеріалъ шипа, гальсбанта и опорной плиты.* Шипъ под-  
вергается изгибу, а при быстромъ закрытіи воротъ и уда-  
рамъ; поэтому дѣлать его изъ чугуна не слѣдовало бы; одна-  
ко въ дѣйствительности встречаются чугунные шипы (черт.  
159). Вообще же рекомендуется дѣлать шипы изъ литого же-  
лѣза; можно примѣнить и литую не закаленную сталь хоро-  
шаго качества; а такъ какъ свойства отпущенной стали тѣмъ  
менѣе замѣтны, чѣмъ болѣе размѣры отливки, то не слѣдовало  
бы дѣлать изъ литой стали большихъ шиповъ, если возмож-  
ны сильные удары. Для устройства опорной плиты или пят-  
ника, въ которомъ вращается шипъ (см. черт. 162, 163) мож-

но примѣнять литое желѣзо, сталь и даже чугунъ. Гальсбантъ и всѣ части, закрѣпляющія его въ стѣну, лучше дѣлать изъ литого желѣза.

*Шипъ.* Шипъ или наглухо скрѣпляется съ воротами, и гальсбантъ, задѣланный въ стѣну, охватываетъ его, или наоборотъ онъ входитъ въ составъ части, соединенной со стѣной, и тогда къ вереяльному столбу прикрѣпляется особая подушка, которая вращается около неподвижнаго шипа.

Въ первомъ случаѣ къ верхнему концу вереяльнаго столба и къ верхнему рамному брусу прикрѣпляется особая отливка, которая снабжена вертикальнымъ шипомъ и горизонтальнымъ выступомъ; послѣдній служитъ для упора въ подушку, задѣланную въ стѣну (черт. 159). Болты, прикрѣпляющіе отливку къ воротамъ, расчитываются по горизонтальному усилію  $Z$ .

Если указанная отливка сдѣлана изъ чугуна, то можно опасаться излома шипа. Недостатокъ этой конструкціи состоить и въ томъ, что если сломится шипъ, то придется смыть всю отливку, что очень затруднительно и обойдется очень дорого. Въ этомъ отношеніи гораздо удобнѣе конструкція, показанная на черт. 160, гдѣ отливка состоитъ изъ двухъ отдельныхъ частей.

Гораздо лучше второй типъ, гдѣ къ вереяльному столбу прикрѣпляется особая подушка, при помощи которой полотно воротъ можетъ вращаться около неподвижнаго шипа (черт. 161, 162 и 163). Послѣдній въ данномъ случаѣ можно сдѣлать изъ лучшаго желѣза; въ случаѣ же поврежденія или излома его легко смыть. Конструкція эта имѣеть и то преимущество, что она можетъ противодѣйствовать всплыванію воротъ. Изъ черт. 162 видно, что пятникъ для шипа состоитъ изъ трехъ частей: кованой плиты  $b$ , стальной накладки  $c$  и кольца  $d$ ; послѣднее соединяется съ частями  $b$  и  $c$ , при чемъ внизу головки заклепокъ дѣлаются потайными. Кольцо  $d$  сдѣлано высотою около 10 см. Диаметръ шипа на верху равенъ 20,05 см. внизу—19,44 см.; диаметръ кольца на верху 20,95 см. внизу 19,73 см.

Шипъ сидить въ чугунной отливкѣ, показанной на черт. 161, но лучше и эту часть дѣлать изъ стали или литого же лѣза.

На черт. 163 показана конструкція, въ которой чугунныхъ частей нѣть. Здѣсь шипъ закрѣпленъ въ стальной верхней отливкѣ. Нижняя часть шипа и углубленіе стальной отливки, прикрѣпленной къ воротамъ имѣютъ цилиндрическую форму. На верху же шипъ сдѣланъ слегка коническимъ соотвѣтственно отверстію, сдѣланному въ верхней отливкѣ.

Для того, чтобы можно было приподнять шипъ и установить его, вверху ввинченъ крюкъ. Между головой шипа и нижней подушкой оставленъ зазоръ около 6 мм. для того, чтобы не было дополнительныхъ напряженій при увеличеніи длины вереяльного столба отъ повышенія температуры. Скрепленный со стѣною квадрантъ состоитъ изъ трехъ балокъ коробчатаго сѣченія, составленного изъ листовъ и уголковъ. Балки эти соединяются со стѣною при помощи радиальныхъ и вертикальныхъ анкеровъ, а между собою при помощи листовъ и уголковъ.

Всѣ вышеуказанныя конструкціи имѣютъ тотъ недостатокъ, что шипъ въ нихъ работаетъ какъ балка закрѣпленная однимъ концомъ. Для того, чтобы поставить шипъ въ болѣе выгодныя условія, стали примѣнять сначала въ Америкѣ, а потомъ и въ Европѣ конструкцію показанную на черт. 164. Здѣсь шипъ вставляется въ чугунную отливку сверху и скрѣпляется съ верхней частью отливки при помощи клинообразнаго штыря съ гайкой.

На черт. 165 показано соединеніе гальсбанта со стѣной. Соединеніе это вообще дѣлается при помощи двухъ или трехъ анкеровъ и должно удовлетворять слѣдующимъ условіямъ: во-первыхъ, въ случаѣ надобности анкера должны легко выниматься изъ стѣны и, во-вторыхъ, чтобы ворота можно было снимать для починки, скрѣпленіе гальсбанта съ анкерами должно быть разборчатое. Конструкціи, показанныя на черт. отъ 165 до 172, вполнѣ удовлетворяютъ этимъ условіямъ.

На черт. 167 показанъ гальсбантъ воротъ, въ которыхъ горизонтальное давленіе передается на стѣну не черезъ по-

душку, а прямо отъ вереяльного столба въ уголъ шкафа (см. черт. 106).

*Размѣры шипа.* а) Шипъ представляетъ балку, закрѣпленную однимъ концомъ. Въ самомъ невыгодномъ случаѣ усиление  $Z$  передается на верхній конецъ (черт. 173) тогда  $M_{max} = Z \cdot \lambda$  и необходимый діаметръ шипа опредѣляется изъ условія

$$\frac{d^3 \pi}{32} = \frac{Z \cdot \lambda}{K}; \quad d^3 = \frac{32 \cdot Z \cdot \lambda}{K \cdot \pi} = \sim \frac{10 Z \lambda}{K}$$

для чугуна  $K = 250$  kg./cm., такъ что

$$d^3 = \frac{Z \cdot \lambda}{25}; \quad d = 0,342 \sqrt[3]{Z \cdot \lambda} \quad . . . . . \quad (9)$$

здесь  $Z$  въ килогр.,  $\lambda$  и  $d$  — въ сантиметрахъ

Для сварочнаго желяза  $K = 750$  kg./cm.

$$d = 0,24 \sqrt[3]{Z \cdot \lambda} \quad . . . . . \quad (10)$$

Для литой стали  $K = 1000$  kg./cm. и

$$d = 0,22 \sqrt[3]{Z \cdot \lambda} \quad . . . . . \quad (11)$$

б) Шипъ представляетъ балку, лежащую на двухъ опорахъ. Усилие  $Z$  приложено по серединѣ (черт. 174).

$$M_{max} = \frac{Z \cdot \lambda}{4}$$

$$\frac{d^3 \pi}{32} = \frac{Z \cdot \lambda}{4K}; \quad d^3 = 2,5 \frac{Z \cdot \lambda}{K}$$

для желяза при  $K = 750$  kg./cm.

$$d = 0,15 \sqrt[3]{Z \cdot \lambda} \quad . . . . . \quad (12)$$

для литой стали при  $K = 1000$

$$d = 0,135 \sqrt[3]{Z \cdot \lambda} \quad . . . . . \quad (13)$$

Длина  $\lambda$  шипа, входящая въ предыдущія формулы, еще не извѣстна. Ее надо назначать съ такимъ расчетомъ, чтобы наибольшее давленіе на единицу площиади соприкасанія между шипомъ и гальсбантомъ не превосходило допускаемаго напряженія на смятие. Если гальсбантъ охватываетъ шипъ по всей длине, то наибольшее напряженіе въ два раза болѣе равномѣрно распределеннаго т. е.  $N_{max} = \frac{2 \cdot Z}{d\pi} \cdot \frac{\lambda}{2}$ . Если  $N_{max}$  должно равняться допускаемому напряженію  $K$ , то

$$\lambda = \frac{4}{\pi \cdot K} \cdot \frac{Z}{d} \quad \dots \dots \dots \quad (14).$$

Такъ какъ въ формулу для  $\lambda$  входитъ величина  $d$ , которая въ свою очередь зависитъ отъ  $\lambda$ , то для предварительного расчета приходится сначала задаваться произвольной величиной  $d$ .

Ширина гальсбанта обыкновенно дѣлается не менѣе 5 или 6 см.

Анкеры, закрепляющіе гальсбантъ, расчитываются по составляющимъ, на которыхъ раскладывается усилие  $Z$  (см. § 36). Чаще ставятся два анкера, одинъ изъ нихъ располагается по направлению оси закрытыхъ воротъ, а другой почти параллельно оси шлюза. При большихъ и тяжелыхъ воротахъ ставится иногда третій анкеръ и располагается онъ по линіи, дѣлящей пополамъ уголъ, составленный крайними анкерами (черт. 167, 168, 171, 172). Недостатокъ послѣдней конструкціи заключается въ томъ, что нельзя точно определить, какое усилие дѣйствуетъ на каждый изъ анкеровъ. Для устраненія этого неудобства поступаютъ такъ, какъ указано на черт. 175 и 176 т. е. каждый изъ двухъ анкеровъ развѣтвляютъ еще на два, чѣмъ достигаютъ болѣе надежнаго скрѣпленія гальсбанта съ каменной кладкой.

На черт. 176 показано разложеніе усилия  $Z$  для нѣкотораго средняго положенія воротъ и точно опредѣлены тѣ усилия, которые приложены въ точкахъ  $a$ ,  $b$ ,  $c$ .

Равнодѣйствующая вѣса части стѣны, захваченной анкерами, и силы  $Z$  должна проходить на такомъ разстояніи отъ края стѣны, чтобы наибольшее давленіе на кладку не превосходило допускаемаго напряженія, и кромѣ того, чтобы не было скольженія, т. е. тангенсъ угла, составленнаго равнодѣйствующей  $R$  съ нормалью, не долженъ превосходить коефиціента тренія камня по камню  $f=0,7$  (при затвердѣвшемъ растворѣ). Для увеличенія устойчивости иногда дѣлаютъ швы кладки нормально равнодѣйствующей  $R$  (см. черт. 177).

Подъ вліяніемъ усилия  $Z$  происходитъ одностороннее изнашиваніе шипа и гальбантіа; кромѣ того во время вращенія воротъ вслѣдствіе тренія приходится затратить большее усилие, чѣмъ въ томъ случаѣ, если бы этого усилия  $Z$  вовсе не было. Вліяніе этого усилия совершенно уничтожается, если центръ тяжести вращающихся воротъ лежить на оси вращенія вереяльного столба. Для достиженія этого къ полотну воротъ прикрѣпляется коромысло, на концѣ котораго помѣщается противовѣсъ  $C$  (см. черт. 178). Для того, чтобы равнодѣйствующая вертикальныхъ силъ проходила черезъ ось вращенія вереяльного столба, величина  $C$  противовѣса должна удовлетворять условію

$$C = \frac{(Q - M)a}{c} \quad \dots \quad \dots \quad \dots \quad \dots \quad \dots \quad (15)$$

здѣсь  $Q$  — вѣсъ воротъ

$M$  — вѣсъ вытѣсненной воды.

Послѣдняя величина измѣняется въ зависимости отъ колебанія горизонта воды, сообразно чему и противовѣсъ  $C$  долженъ быть увеличенъ или уменьшенъ. Судя по большему или меньшему прилеганію шипа къ гальбанту всегда легко узнать какимъ образомъ должно быть сдѣлано это измѣненіе противовѣса.

На черт. 179 показаны въ планѣ ворота, коромысло которыхъ состоитъ изъ двухъ швелеровъ высотою 30 ст.

**§ 64. Приспособленія для закрытія и открытія водопроводныхъ оконъ.** Для впуска воды въ камеру и выпуска

ея изъ камеры въ воротахъ дѣлаются щитовые затворы (deut. die Schützen, franz. les ventelles, les vannes, engl. the sluices) или водопроводы устраиваются въ стѣнахъ шлюза.

Отверстія затворовъ должны быть достаточной величины для того, чтобы необходимый для сравненія горизонтовъ впускъ и выпускъ воды совершался въ возможно короткое время, отъ чего частью зависитъ суточная пропускная способность шлюза; а такъ какъ щитовые затворы должны легко и быстро открываться и закрываться, выпускъ же воды въ камеру долженъ сопровождаться возможно меньшимъ волненiemъ воды и не причинять поврежденій стоящимъ въ камерахъ судамъ, то приходится дѣлать отверстія небольшихъ размѣровъ. Въ же лѣзныхъ воротахъ, уменьшая величину отверстій, иногда увеличиваютъ число ихъ до двухъ и болѣе.

Обыкновенно высота затворовъ въ свѣту бываетъ отъ 60 до 80 ст., а ширина около 150 ст.

Конструкція затворовъ должна быть по возможности проще и мутность воды не должна оказывать на нихъ вреднаго вліянія.

Щитовые затворы бываютъ двухъ родовъ:

- подъемные: обыкновенные и рѣшетчатые.
- поворотные.

#### a) Подъемные щиты.

1) *Усилие, действующее на подъемный щитъ.* Если щитъ весь погруженъ въ воду съ низовой стороны, то при разности горизонтовъ воды  $h$ , высотѣ щита  $a$  и ширинѣ  $b$ , полное давленіе воды на щитъ

$$W = \gamma \cdot h \cdot a \cdot b = (1000 \cdot h \cdot a \cdot b) \text{ kg.}$$

гдѣ  $h$ ,  $a$  и  $b$ —въ метрахъ.

При коефиціентѣ тренія  $\mu$  усиление, необходимое для подъема щита

$$Z \geq \mu \cdot 1000 \cdot h \cdot a \cdot b + G \quad . . . . . \quad (16)$$

гдѣ  $G$ —весь штанги и щита за вычетомъ вѣса вытѣсненной воды.

Весь деревянных щитов не принимается во внимание. Если же имеется железный щит, то можно не принимать во внимание всяя выпущенной воды, потому что онъ малъ по сравненію съ вѣсомъ самаго щита.

По Landsberg'у коефицентъ тренія дерева по дереву  $\mu=$  отъ 0,4 до 0,5 а железа по железу  $\mu=$  отъ 0,3 до 0,4 \*).

Можно принять вѣсъ квадратнаго метра щита

изъ чугуна	250 kg.	} безъ штанги.
изъ железа	160 "	

Весь штанги смотря по длини бываетъ отъ 40 до 60 kg. Обыкновенные щиты приходится поднимать на полную высоту ихъ. Рѣшетчатые же щиты по высотѣ раздѣляются на ( $n$ ) частей и поднимать ихъ приходится на  $\frac{1}{n}$  полной высоты, такъ что время, потребное для открытія и закрытія ихъ, во много разъ менѣе по сравненію съ обыкновенными щитами.

2) Конструкція обыкновенныхъ щитовъ. Каждый щитъ состоитъ изъ плиты, рамы, штанги и подъемнаго механизма.

*Плита и рама.* Плита движется въ особой четырехугольной рамѣ, вертикальныя части которой снабжены направляющими пазами. Рама прикрепляется къ обшивкѣ плоскихъ воротъ, а въ случаѣ криволинейныхъ воротъ къ особымъ ящикамъ (см. черт. 180). Плита дѣлается изъ дерева, чугуна и железа.

Деревянные щиты рекомендуется дѣлать изъ двухъ рядовъ досокъ; однѣ доски располагаются вертикально, другія—горизонтально; послѣднія обыкновенно бываютъ со стороны болѣе высокаго горизонта воды. Въ пазахъ перемѣщаются только вертикальныя доски. (черт. 181). Если же щитъ сдѣланъ изъ одного ряда досокъ, то послѣднія располагаются горизонтально и соединяются другъ съ другомъ полосовымъ железомъ (50. 10 mm.).

\* ) Указанныя значения  $\mu$ , повидимому, нѣсколько преувеличены; см. ниже параграфъ 65 о расчетѣ усилив для открыванія воротъ.

На чертежъ 180 показанъ чугунный щитъ. Расчитывается онъ согласно § 40. Рекомендуется дѣлать щиты изъ жалѣза; они легки, почти не подвергаются ржавчинѣ, если хорошо окрашены или оцинкованы, и не такъ часто ломаются, какъ чугунные. На черт. 182 показанъ жалѣзный щитъ, направляющая рама котораго сдѣлана изъ чугуна.

Щитовые затворы дѣлаются иногда изъ лотковаго жалѣза. На черт. 183 показанъ затворъ, состоящій изъ двухъ частей, расположенныхъ на нѣкоторомъ разстояніи другъ отъ друга. При подъемѣ щита оба отверстія, расположенные одно надъ другимъ, открываются одновременно. Справа и слѣва къ лоткамъ прикреплены уголки  $(\frac{60.80}{11})$ , которые соединяютъ ихъ вмѣстѣ, и во время движенія передаютъ усилие отъ верхняго лотка нижнему. Къ верхнимъ и нижнимъ гранямъ лотковъ приклепаны уголки того же калибра и соединяются съ вертикальными при помощи уголковъ же. Штанга соединяется со щитомъ при помощи уголковъ.

Штанга дѣлается изъ жалѣза и бываетъ квадратнаго, прямоугольнаго и круглаго сѣченія (см. черт. 180—184).

Механизмы должны быть сдѣланы съ такимъ расчетомъ, чтобы для приведенія въ движение подъемныхъ щитовъ требовалось усилие одного человѣка въ 30 kg. и въ исключительныхъ случаяхъ 40 kg., при двухъ же рабочихъ полное усилие это должно быть 55 kg. и въ крайнемъ случаѣ 70 kg.

На черт. 185 показанъ зубчатый приводъ, состоящій изъ зубчатой рейки, зубчатаго колеса *b*, рычага *h* и двухъ направляющихъ роликовъ *c*. Зубчатое колесо и рейка дѣлаются съ такимъ расчетомъ, чтобы отверстіе открывалось вполнѣ при поворотѣ рычага въ вертикальной плоскости на  $180^{\circ}$ . Если затворъ приходится поднимать или опускать на высоту *s*, диаметръ зубчатаго колеса = *d*, то должно быть  $\frac{d\pi}{2} = s$ ; от-

сюда  $d = \frac{2s}{\pi} = 0,63s$ . При передачѣ равной 1 : 10 (при длинѣ рычага около 1,5 м.) на зубчатой штангѣ можно вызвать усилие отъ 550 до 700 kg.

Принимая коефициентъ трения металла по металлу  $\mu=0,3$  и дерева по дереву  $\mu=0,4$ , въесь одного кв. мет. чугунного щита вмѣстѣ со штангой 300 kg., желѣзного 200 kg. и пренебрегая вѣсомъ деревяннаго щита, получимъ величину сопротивленія  $Z$ , соотвѣтствующую одному кв. метру затвора

$$Jwh = 1000 \cdot 1 \cdot h \cdot 0,3 \quad Z = \left\{ \begin{array}{l} 300h + 200 \text{ kg. для чугуна.} \\ 300h + 200 \text{ kg. для желѣза.} \\ 400h \qquad \qquad \text{для дерева.} \end{array} \right\} \dots \dots (17).$$

Полагая, что совмѣстное усиленіе двухъ рабочихъ, равное 60 kg. приложено къ рычагу, отношеніе плечъ котораго 1:10, на основаніи вышеприведенной формулы можно опредѣлить наибольшую возможную площадь щитового затвора при заданной величинѣ  $h$  разницы горизонтовъ. Въ слѣдующей таблицѣ приведены результаты вычисленій.

h met.	Чугунный щитъ.		Желѣзный щитъ.		Деревянный щитъ.	
	Z kg на 1 qm площади щита.	Наиболь- шая пло- щадь щита qm.	Z kg на 1 qm площади щита.	Наиболь- шая пло- щадь щита qm.	Z kg на 1 qm площади щита.	Наиболь- шая пло- щадь щита qm.
1	600	1,0	500	1,2	400	1,5
1,5	750	0,8	650	0,92	600	1,00
2	900	0,67	800	0,75	800	0,75
2,5	1050	0,57	950	0,63	1000	0,60
3	1200	0,50	1100	0,55	1200	0,50
3,5	1350	0,44	1250	0,48	1400	0,43

Изъ этой таблицы видно, что при разности горизонтовъ  $h$  болѣе двухъ метровъ выгоднѣе примѣнять металлическіе затворы.

Если же по расчету окажется, что при заданной разнице горизонтовъ воды требуется площадь затвора болѣе той, которая указана въ приведеній таблицѣ, то для приведенія въ движеніе подъемнаго щита надо примѣнять винтовые домкраты съ рукоятками, врачающимися въ горизонтальной

плоскости (см. черт. 181, 182 и 184). При такой конструкции для подъема щита потребуется конечно больше времени, чѣмъ при дѣйствіи простымъ рычагомъ. Поэтому надо по возможности уменьшать сопротивление  $Z$ . Достигнуть этого можно уменьшеніемъ собственного вѣса щита и коефиціента трения; или вмѣсто того, чтобы уменьшать  $Z$  можно сокращать ту высоту, на которую приходится поднимать щитъ, что достигается примѣненіемъ рѣшетчатыхъ щитовъ.

Наконецъ для уничтоженія вліянія собственного вѣса затвора можно примѣнять спаренные щиты, которые приводятся въ движение при помощи балансирныхъ рычаговъ, какъ показано на черт. 186.

*Рѣшетчатые щиты.* Рабочая площадь такихъ щитовъ равна половинѣ всей площади. Для увеличенія коефиціента расхода воды при протеканіи ея черезъ отверстія, сплошнымъ частямъ подвижной части рѣшетчатаго щита слѣдуетъ по возможности придавать форму сжатой струи. Въ такомъ случаѣ коефиціентъ расхода можно было бы принять равнымъ 0,9; въ дѣйствительности же въ щитахъ среднихъ размѣровъ онъ едва достигаетъ 0,6.

На черт. 187 показанъ рѣшетчатый щитъ, подвижная часть котораго состоитъ изъ желѣза Зоре. Сбоку желѣзо Зоре соединено уголками, которые при движениі скользятъ между направляющими зетами (№ 12). Въ самомъ полотнѣ воротъ между нижними ригелями поставлены дополнительныя стойки изъ корытнаго желѣза № 20; къ стойкамъ этимъ въ горизонтальномъ направленіи прикреплено въ двухъ мѣстахъ корытное желѣзо того же колибра, такъ что въ воротахъ получается три отверстія шириной 1,36 м. и высотою 0,14 м. перекрывающіяся желѣзомъ Зоре. При открытии затвора щитъ перемѣщается внизъ, на 18 ст., при чѣмъ рычагъ поворачивается на  $90^{\circ}$ .

На черт. 188 показанъ чугунный щитъ при деревянной обшивкѣ, къ которой прикрепляется чугунная рама. Дополнительныя стойки сдѣланы изъ тавроваго желѣза. При поворотѣ рычага на  $180^{\circ}$  щитъ приподнимается или опускается на 170 мм.

b) Вращающиеся щиты.

Вращающиеся щиты передъ подъемными имѣютъ то преимущество, что даютъ возможность быстрѣе открыть водопроводныя отверстія и при этомъ приходится затрачивать меньшее усилие; что же касается плотности затвора, то вращающиеся щиты уступаютъ подъемнымъ.

Ось вращенія располагается или горизонтально или вертикально, при чемъ она всегда не совпадаетъ съ осью симметріи щита. Благодаря такому эксцентризитету давленіе воды на одну часть щита всегда болѣе, чѣмъ на другую, такъ что щитъ плотно прижимается къ краямъ закрываемаго отверстія. У щита показаннаго слѣва на черт. 189 верхняя часть больше нижней; а у щита показаннаго справа,—на обратъ (черт. 189).

*Усилие необходимое для открытия щита.* При различныхъ положеніяхъ щита усилие это различно. Ниже будетъ определено, во-первыхъ, усилие, которое затрачивается въ первый моментъ вращенія и, во-вторыхъ, усилие, затрачиваемое при дальнѣйшемъ вращеніи приблизительно на  $90^{\circ}$  до полнаго открытия отверстія. Въ первый моментъ вращенія сила сопротивленія равна разности статическихъ давлений на обѣ части щита; при дальнѣйшемъ движеніи, какъ только вода устремится въ едва открытое отверстіе, приходится преодолѣвать уже гидравлическое давленіе.

*Первая часть вращенія.* Введемъ обозначенія (черт. 190).

h—разность горизонтовъ воды,

a—ширина затвора,

b—высота (перпендикулярная оси вращенія);

e—эксцентризитетъ,

c—ширина закраинъ щита, прилегающихъ къ неподвижной части,

$D_1$  и  $D_2$  давленіе на большую и на мѣньшую часть щита.

Когда отверстіе закрыто и въ первый моментъ вращенія

$$D_1 = \gamma \cdot a \left( \frac{b}{2} + e \right) h; \quad D_2 = \gamma a \left( \frac{b}{2} - e - c \right) h$$

$$D_1 - D_2 = \Delta = \gamma a h (2e + c).$$

Моментъ усилія  $\Delta$  относительно оси вращенія  $O$

$$M_1 = \frac{\gamma a h \left( \frac{b}{2} + e \right)^2}{2} - \frac{\gamma a h}{2} \left( \frac{b}{2} - e - c \right)^2 = \frac{\gamma a h}{2} (b - c) (2e + c),$$

Моментъ силы тренія въ цапфахъ

$$M_2 = \gamma a h (b - c) \mu \cdot \frac{d}{2}$$

гдѣ  $d$  діаметръ цапфъ

$\mu$  — коеффицієнтъ тренія.

Такъ какъ  $c$  мало по сравненію съ  $b$ , а  $\mu$  въ точности не извѣстно, то съ достаточной точностью можно считать

$$M_2 = \gamma a b h \mu \cdot \frac{d}{2}.$$

Полный моментъ силъ сопротивленія

$$M = M_1 + M_2 = \frac{\gamma a h}{2} [(b - c) (2e + c) + b \mu d]$$

а вслѣдствіе того, что  $c$  очень мало, можно считать

$$M = \frac{\gamma a b h}{2} (2e + c + \mu d)$$

$$M = D \left( e + \frac{c}{2} + \frac{\mu d}{2} \right).$$

Здѣсь  $D$  означаетъ гидростатическое давленіе на всю площадь щита.

Если обозначить черезъ  $\xi$  плечо усилія  $P$ , передаваемаго черезъ штангу, и черезъ  $G$  — вѣсъ штанги, то

$$(G + P) \xi = M,$$

отсюда

$$G + P = \frac{\gamma a h}{2 \xi} [(b - c) (2e + c) + b \mu d],$$

или съ достаточной точностью

$$P = \frac{\gamma abh}{2\xi} (2e + c + \mu d) - G,$$

или

$$P = \frac{D}{\xi} \left[ e + \frac{c}{2} + \frac{\mu d}{2} \right] - G \quad \dots \dots \dots \quad (18)$$

Если  $c = 0,02$  м.,  $\mu = 0,3$ ,  $\xi = 0,2$  м., то получится:

$$\begin{aligned} M &= D(e + 0,01 + 0,15d) \\ P &= \frac{D}{0,2} (e + 0,01 + 0,15d) - G \end{aligned} \quad \dots \dots \dots \quad (19);$$

при  $d = 0,07$ ;  $e = 0,005$  м.

$$M = 0,026 \cdot D, \quad P = 0,127 \cdot D - G.$$

Если  $b = 0,63$  м.,  $a = 1,5$  м., то

$$D = 1000 \cdot 0,63 \times 1,5 \cdot h = 945h \text{ и } P = 120h - G.$$

Обозначимъ отношение плечъ рычага т. е. рукоятки, приводящей въ движение щитъ, черезъ  $n:1$ , черезъ  $K$  — усилие, приложенное къ рычагу, черезъ  $m$  коефиціентъ полезнаго дѣйствія механизма и  $\eta = \frac{1}{m}$ , то

$$\frac{n}{K} m (\frac{P}{n}) = P \quad K = \frac{P}{mn} = \frac{P_n}{n} \quad K = \frac{P \cdot \eta}{n};$$

$\eta$  принимается равнымъ отъ 1,1 до 1,2  
 $G$  — отъ 40 до 60 kg.

$$K = \frac{\eta}{n} \left[ \frac{D}{\xi} \left( e + \frac{c}{2} + \frac{\mu d}{2} \right) - G \right].$$

Подставляя сюда вышеприведенныя численныя значения, получимъ

$$K = \frac{\eta}{n} \left[ \frac{D}{0,2} (e + 0,01 + 0,15d) - G \right];$$

при  $n=10$ ,  $\eta=1,1$ ,  $b=0,63$  м.,  $a=1,5$  м. и  $G=50$  kg. будетъ

$$K = \frac{1,1}{10} (120 h - 50) = 1,1 (12 h - 5)$$

Отсюда находимъ, что въ первый моментъ вращенія щита одинъ рабочій, усиліе котораго  $K$  около 30 kg., можетъ еще преодолѣть сопротивленіе при  $h=2,6$  м.

Выше предполагалось, что благодаря эксцентризитету оси вращенія увеличивается давленіе воды, прижимающее щитъ къ краямъ отверстія, т. е. ось вращенія назначена ближе къ той грани щита, которая опирается на неподвижную раму со стороны нижняго бьефа; при этомъ эксцентризитетъ считается положительнымъ. Выше указано, что при положительномъ эксцентризитетѣ  $e$  усиліе, прижимающее щитъ къ рамѣ, равно

$$D_1 - D_2 = \Delta = \gamma a h (2e + c).$$

Отсюда слѣдуетъ, что можно поставить ось вращенія ближе къ той грани, которая опирается на раму со стороны верхняго бьефа, т. е. назначить отрицательный эксцентризитетъ, лишь бы онъ не превосходилъ половины величины закраины  $c$ . При этомъ во время открытия щита конечно потребуется меньшее усиліе для преодолѣнія сопротивленія; а такъ какъ эта сравнительно ничтожная выгода пріобрѣтается за счетъ плотности затвора, то обыкновенно назначаютъ эксцентризитетъ положительный.

*Вторая часть вращенія.* Какъ только отверстіе будетъ едва открыто, и въ него устремится вода, скорость послѣдней, а вмѣстѣ съ тѣмъ и потеря напора на различныхъ разстояніяхъ отъ оси вращенія щита будетъ различная. Въ результата получится искаженный моментъ силъ, сопротивляющихся дальнѣйшему вращенію затвора.

Если обозначить ширину щита черезъ  $a$ , высоту его черезъ  $b$ , которая измѣряется перпендикулярно оси вращенія, то по Lieckfeld'у наибольшій моментъ гидравлическаго давленія при вращеніи

$$M_3 = 0,9 D (0,075 b \pm e + 0,15 d) . . . . . \quad (20)$$

Здѣсь  $D$  означаетъ гидростатическое давленіе на закрытый щитъ, при чмъ берется вся площадь его безъ вычета кромокъ, прилегающихъ къ рамѣ.

$e$ —эксцентрикитетъ положительный или отрицательный  $d$ —диаметръ цапфы.

Подобно предыдущему усиліе, необходимое для вращенія, найдется изъ уравненія:  $(G + P) \xi = M_3$  или  $P = \frac{M_3}{\xi} - G$ ; подставляя сюда значение  $M_3$ , находимъ

$$P = \frac{0,9 D}{\xi} (0,075 b \pm e + 0,15 d) - G \dots \dots \dots \quad (21)$$

отсюда, сохрания предыдущія обозначенія, получаемъ

$$K = \frac{P \cdot \eta}{n} = \frac{\eta}{n} \left[ \frac{0,9 D}{\xi} (0,075 b \pm e + 0,15 d) - G \right] \dots \dots \quad (22)$$

Здѣсь  $\xi$  означаетъ плечо усилія  $P$  относительно оси вращенія при наклоненіи щита подъ  $67^{\circ}$  къ вертикалі (для щита съ горизонтальной осью вращенія).

Полагая:  $\eta=1,1$ ,  $n=10$ ,  $\xi=0,45 \text{ m.}$ ,  $e=0,005 \text{ m.}$   $d=0,07 \text{ m.}$  и  $G=50 \text{ kg.}$ , находимъ (черт. 191)

$$K = \frac{1,1}{10} \left[ \frac{0,9 D}{0,45} (0,075 b + 0,005 + 0,011) - 50 \right] = \\ = 0,11 [2 D (0,075 b + 0,016) - 50].$$

$$D = 1000 \text{ h. a. b.}$$

$$K = 110 \text{ h. a. b} (0,15 b + 0,032) - 5,5.$$

При  $b=0,6$ ,  $a=2,5 \text{ m.}$  будетъ  $K=12,1 \text{ h}-5,5$ , такъ что  
для  $h= \begin{array}{ccccc} 1 & 1,5 & 2 & 2,5 & 3 \end{array} \text{ m.}$   
 $K = \begin{array}{ccccc} 6,5 & 12,65 & 18,7 & 24,75 & 30,8 \end{array} \text{ kg.}$

*Конструкція вращающихся щитовъ.* Въ большинствѣ случаевъ щитъ дѣлается прямоугольного вида, и ось вращенія не совпадаетъ съ его серединой; эксцентрикитетъ назначается равнымъ 4 или 5 мил.

Обыкновенно щитъ дѣлается изъ двухъ желѣзныхъ листовъ и въ съченіи представляетъ ромбъ (см. черт. 192 и 193). Ось вращенія дѣлается изъ брускового желѣза, къ которому щитъ прикрѣпляется заклепками. По краямъ щита между листами ставятся прокладки изъ листового желѣза. Кромки щита, прикрывающія отверстія, остругиваются, а заклепки въ этихъ мѣстахъ дѣлаются съ потайными головками. Цапфы вращаются въ чугунныхъ подшипникахъ съ бронзовыми вкладышами. На неподвижной рамѣ дѣлаются иногда выступы, изъ которыхъ одни служатъ опорой щита въ открытомъ состояніи, а другіе—въ закрытомъ. (черт. 192).

Неподвижная рама чаще всего дѣлается изъ двухъ вертикальныхъ и двухъ горизонтальныхъ деревянныхъ брусковъ, которые прикрѣпляются къ ригелямъ или стойкамъ. На черт. 193 показанъ затворъ криволинейныхъ воротъ стоечного типа, гдѣ деревянные бруски съченія 14.26 ст. прикреплены къ нижнему рамному брусу, стойкамъ и вспомогательному ригелю.

Неподвижные рамы изъ желѣза обыкновенно не дѣлаются потому, что трудно при этомъ устраниить фильтрацію воды.

Механизмъ для приведенія въ движение щита состоить обыкновенно изъ рычага, при вращеніи которого на  $180^{\circ}$  щитъ поворачивается приблизительно на  $90^{\circ}$  (черт. 194). На нижнемъ и верхнемъ концѣ штанги дѣлается шарнирное соединеніе, а въ промежуткѣ ставятся особья направляющія черезъ 1 *m.* или 1,2 *m.*

Щиты съ вертикальной осью вращенія по своей конструкціи ничѣмъ существеннымъ не отличаются отъ предыдущаго. На черт. 195 показанъ затворъ, состоящій изъ двухъ щитовъ, расположенныхъ рядомъ. Здѣсь между ригелями поставлены три небольшія стойки, къ которымъ прикрѣпляется деревянная рама. При движении рычага оба щита поворачиваются одновременно.

Для уменьшенія усилия, затрачиваемаго на приведеніе въ движение затвора, иногда принимаютъ слѣдующія мѣры: во-первыхъ, примѣняютъ рѣшетчатый щитъ (черт. 196), благодаря чему гидравлическое давленіе, принимаемое пропорці-

нальнымъ квадрату высоты, при раздѣлениі послѣдней на  $n$  частей будетъ пропорционально  $n \left(\frac{b}{n}\right)^2 = \frac{b^2}{n}$ , т. е. въ  $n$  разъ менѣе, чѣмъ на сплошной щитъ; во-вторыхъ, болѣе короткое крыло затвора дѣлаютъ нѣсколько выступающимъ за предѣлы неподвижной рамы; при этомъ величина давленія, дѣйствующаго на закрытый щитъ, не мѣняется, а какъ только затворъ будетъ открытъ, то давленіе на добавочную часть короткаго крыла будетъ содѣйствовать вращенію, и наконецъ, въ третьихъ, моментъ гидравлическаго давленія можно значительно уменьшить, если до начала вращенія щита уменьшить площадь болѣе длиннаго крыла приспособленіемъ, указаннымъ на черт. 197.

## Расчетъ усилия для открыванія шлюзовыхъ воротъ.

**§ 65.** Величина усилия, необходимаго для открытия шлюзовыхъ воротъ, чаще всего опредѣляется или по формулѣ Landsberg'a \*) или по формулѣ проф. Зброжека.

Принимая во вниманіе треніе въ пятѣ и гальсбантѣ, гидростатическое и гидродинамическое сопротивленіе полотна при вращеніи, Landsberg находитъ \*), что моментъ всѣхъ сопротивленій относительно оси вращенія полотна выражается слѣдующей формулой въ килограммометрахъ

$$M = \mu \left( \frac{Pd}{4} + \frac{Sd_1}{2} \right) + \gamma \cdot \frac{l^2}{2} h \cdot \alpha' + \frac{3}{4} \cdot 75 h v^2 l^2$$

или въ пудо-дюймахъ

$$M_i = \mu \left( \frac{Pd}{4} + \frac{Sd_1}{2} \right) + \delta \frac{l^2}{2} h \cdot \alpha' + \frac{3}{4} \cdot 0,0000019 h v^2 l^2. \quad .(1);$$

\*) „Die eiserne Stemthore“ 1894 г.

здесь введены слѣдующія обозначенія:

$P$  — вѣсъ полотна воротъ,

$S$  — натяженіе гальсбанта,

$l$  — ширина полотна,

$h$  — глубина погруженія его,

$d$  — діаметръ пятъ,

$d_1$  — діаметръ шипа гальсбанта,

$\alpha' = 2$  сант. = 0,786 дм. разность уровней воды по обѣ стороны воротъ во время ихъ вращенія,

$\gamma$  — вѣсъ кубической единицы воды,

$\mu = 0,4$  — коефиціентъ тренія въ пятъ и гальсбантъ,

$v$  — линейная скорость движенія середины полотна.

Проф. Зброжекъ принимаетъ во вниманіе кромѣ указаныхъ выше сопротивленій и силу инерціи и находитъ \*), что при вращеніи воротъ надо преодолѣвать моментъ.

$$M_2 = \frac{\omega_0 P(c^2 + 4l^2)}{12gt_0} + \frac{0,1(bd + ld_1) \cdot P}{b} + \frac{\gamma h l^2}{2} \left( \alpha + \frac{\beta l^2 \omega_0^2}{12g} \right). \quad (2)$$

Здѣсь  $P$ ,  $l$ ,  $h$ ,  $d$ ,  $d_1$ ,  $\gamma$  имѣютъ тѣ же значенія, что и выше,  
 $c$  — средняя толщина воротъ,

$b$  — вертикальное разстояніе центра реакціи пяты отъ центра натяженія гальсбанта,

$\omega_0$  — наибольшая угловая скорость вращенія, принимающая равной удвоенной средней угловой скорости  $\omega$ ,

$t_0$  — время, въ теченіе котораго угловая скорость достигаетъ наибольшаго значенія  $\omega_0$ , время это равно половинѣ всего времени открытия или закрытия воротъ,

коэфиціентъ  $0,1 = \frac{\mu}{4} = \frac{0,4}{4}$ ,

$\alpha = 1$  дюйму — коэфиціентъ гидростатического давленія,

$\beta = 1,1$  — коэфиціентъ гидродинамического давленія,

$g = 32,2$  фута — ускореніе силы тяжести.

Инженеръ И. О. Польковскій недавно ввелъ нѣкоторыя поправки въ приведенные выше формулы. Неточность формулъ

\*) „Курсъ внутреннихъ водяныхъ сообщеній“ 1897 г.

Landserg'a и Зброжека онъ показалъ на примѣрѣ, приводя расчетъ движущаго момента и усилій для воротъ шлюза на рѣкѣ Шекснѣ \*).

Данныя для расчета: вѣсъ полотна, погруженного въ воду на  $h = 197$  дюйм.,  $P = 500$  пуд.;  $l = 286''$ ,  $S = \frac{P}{2} \cdot \frac{l}{b} = = 341$  пуд.;  $d = d_1 = 5$  дм. (черт. 198).

Уголъ между закрытымъ полотномъ и стѣною шлюза  $= = 68^{\circ} 12'$ ; дуга этого угла  $= 1,19$ . Полотно открывается и закрывается въ теченіе  $T = 65$  сек., такъ что средняя угловая скорость  $\omega = \frac{1,19}{65} = 0,0183$ ; линейная скорость середины полотна

$$v = 0,0183 \cdot \frac{286}{2} = 2,6 \text{ дм.}$$

$$\omega_0 = 2\omega = 0,0366; t_0 = \frac{T}{2} = 32,5 \text{ сек.}$$

Дѣлая расчетъ, инженеръ Польковскій находитъ, что по Landsberg'y

$$M_1 = 591,0 + 6365,0 + 155,2 = 7111,2 \text{ пуд. дм.}$$

Вѣсъ вытѣсненной полотномъ воды  $= 460$  пуд.  $= = 0,001 \cdot 286 \cdot 197 \cdot c$  откуда  $c = 8$  дм., такъ что по формулѣ Зброжека оказалось

$$M_2 = 39,7 + 590,5 + 8057,0 + 209,4 = 8896,4 \text{ пуд. дм.}$$

Шлюзныя ворота открываются при помощи зубчатой рейки (черт. 199), разстояніе которой отъ оси вращенія равно 63,4 дм. Слѣдовательно для открытия воротъ надо приложить усиліе  $N$

$$\text{по Landsberg'y } N_1 = \frac{7111,2}{63,4} = 112,2 \text{ пуд.}$$

$$\text{по Зброжеку } N_2 = \frac{8896,4}{63,4} = 140,3 \text{ пуд.}$$

\*.) „О расчетѣ усилій для открыванія шлюзныхъ воротъ“. Извѣстія собранія инженеровъ путей сообщенія. 1903 г. № 3.

Усилие это, перпендикулярное къ воротамъ, въ началѣ открыванія приложено къ полотну подъ угломъ въ  $46^{\circ}$  (черт. 200), cosinus котораго = 0,72; поэтому дѣйствительное усилие  $R$

$$\text{по Landsberg'у } R_1 = \frac{112,2}{0,72} = 156 \text{ пуд.}$$

$$\text{по Зброжеку } R_2 = \frac{140,3}{0,72} = 195 \text{ пуд.}$$

### Средняя работа сопротивленія

$$\text{по Landsberg'у равна } M_1. \omega = 7111,2 \times 0,0183 = 130 \text{ пуд. дм.}$$

$$\text{по Зброжеку } M_2. \omega = 8896,4 \times 0,0183 = 162,8 \text{ пуд. дм.}$$

Если коефиціентъ полезнаго дѣйствія механизма = 0,8, усилие  $Q$  рабочаго приложено къ рукояткѣ, вращающейся со скоростью 2,4 фут. = 28,8 дюйм., то работа силы  $Q$  въ 1 сек. равна  $0,8 \times 28,8 \times Q = 23$ .  $Q$  пуд. дм.; приравнивая послѣднюю найденной выше средней работѣ  $M\omega$  находимъ, что

$$\text{по Landsberg'у } Q_1 = 5,65 \text{ пуд.}$$

$$\text{по Зброжеку } Q_2 = 7,08 \text{ пуд.}$$

Обыкновенно предполагаютъ, что усилие человѣка, приложенное къ рукояткѣ, равно 0,5 пуд.; если принять это усилие равнымъ даже 1 пуд., то для приведенія воротъ въ движение потребуется 6 или 7 человѣкъ; а въ дѣйствительности полотно этихъ воротъ открывается и закрывается только однимъ человѣкомъ.

Выяснивъ на примѣрѣ, насколько результаты вычисленій, сдѣланныхъ по формуламъ Landsberg'a и Зброжека, далеки отъ истины, инженеръ Польковскій прежде всего указываетъ на то, что величина коеф. тренія  $\mu = 0,4$  чрезмѣрно велика. Дѣляя историческую справку объ опытахъ на треніе, произведенныхъ до начала XIX столѣтія, затѣмъ приводя результаты опытовъ Рени и Морена и критическую оцѣнку ихъ, сдѣланную Бриксомъ, Понселе, Вейсбахомъ, инженеръ Польковскій приходитъ къ заключенію, что коефиціентъ тренія для галь-

сбанта вполнѣ рационально принимать равнымъ 0,10 при хорошей смазкѣ; а такъ какъ нельзя вполнѣ удалить пыль, попавшую между шипомъ и гальсбантомъ, то онъ рекомендуется брать  $\mu=0,13$  для смазки средняго качества.

Величина тренія въ гальсбантѣ зависитъ отъ натяженія  $S$  послѣдняго. Если разстояніе между центромъ реакціи пяты и центромъ натяженія гальсбанда равно  $b$  (черт. 201), то  $S = P \frac{l}{2b}$ , такъ что при движеніи полотна сопротивленіе отъ тренія въ гальсбантѣ равно

$$(3) \dots \mu \cdot S = \mu \frac{Pl}{2b} = 0,13 \frac{Pl}{2b} = G$$

$$(4) \dots \text{Моментъ его } m_1 = \mu S \cdot \frac{d_1}{2} = 0,13 \frac{P}{4} \cdot \frac{ld_1}{b} = 0,13 S \frac{d_1}{2}$$

Коэффиціентъ тренія въ пятѣ опять надо брать равнымъ  $\mu=0,13$ .

Сопротивленіе тренія въ пятѣ равно

$$(5) \dots \mu \cdot P = 0,13 \cdot P.$$

$$(6) \dots \text{Моментъ его } m_2 = 0,13 \cdot P \frac{d}{4}.$$

Вообще же можно считать коэффиціенты тренія въ пятѣ и гальсбантѣ равными отъ 0,06 до 0,20 въ зависимости отъ мѣстныхъ условій.

Затѣмъ инженеръ Польковскій указываетъ на неточность послѣднихъ двухъ членовъ въ формулахъ Landsberg'a и Зброжека и на основаніи изслѣдований Borda, Thibault'a, Bossut'a, Dubuat'a, Poncelet, Duchemin'a Piobert'a, Morin'a, Didion'a и Savart'a приходитъ къ заключенію, что моментъ сопротивленія движенію шлюзного полотна въ спокойной водѣ выражается съ достаточной точностью формулой

$$(7) \dots m_3 = \beta \gamma \cdot h \frac{l^2 v^2}{2g} = 0,0000019 h l^2 v^2$$

при измѣреніяхъ въ пудахъ и дюймахъ.

Плечо силы сопротивления спокойной воды движению воротъ =  $\frac{3}{4} l$ , следовательно эта сила равна

$$(8) \dots p = \frac{4}{3} \frac{m_3}{l}$$

Моментъ силы инерціи выражается формулой

$$(9) \dots m_4 = \frac{\omega_0 P (c^2 + 4l^2)}{24 g t_0^2}$$

Въ виду того, что  $m_4$  по абсолютной величинѣ очень мало, при расчетахъ можно не принимать его во вниманіе.

Такимъ образомъ исправленная инженеромъ Польковскимъ формула движущаго момента для открытия шлюзовыхъ воротъ принимаетъ видъ:

$$(10) \dots M_3 = m_1 + m_2 + m_3 = 0,13 \left( \frac{Pd}{4} + \frac{Sd_1}{2} \right) + 0,0000019 h l^2 v^2$$

при измѣреніяхъ въ пудо-дюймахъ.

Для середины полотна воротъ шлюза на Шекснѣ

$$v = 0,0183 \times \frac{286}{2} = 2,6 \text{ дм.}$$

$$\begin{aligned} \text{Сумма силъ сопротивленія } R &= P_{\mu} + S_{\mu} + \frac{4}{3} \cdot \frac{m_3}{l} = 500 \times 0,13 + \\ &+ 341 \times 0,13 + \frac{4}{3} \cdot 0,0000019 \cdot 197 \cdot 286 \cdot 2,6^2 = 65 + 44,3 + \\ &+ 0,97 = 110,27 \text{ пуд.} \end{aligned}$$

При діаметрѣ пяты и шипа  $d=5$  дм. моментъ

$$\begin{aligned} M_3 &= 65 \cdot 1,25 + 44,3 \cdot 2,5 + 0,97 \cdot \frac{3}{4} \cdot 286 = 81,25 + 110,75 + \\ &+ 207 = 399 \text{ пуд. дм.;} \end{aligned}$$

плечо момента

$$x = \frac{399}{110,27} = \text{почти } 3,6 \text{ дм. (черт. 202).}$$

Если бы движущее усилие  $N$ , равное 110,27 кил., было приложено на разстоянії найденныхъ 3,6 дм. отъ оси вращенія, то полотно воротъ открывалось бы, не вызывая дополнительныхъ опорныхъ реакцій. Въ действительности же движущее усилие  $N$  бываетъ приложено къ воротамъ значительно дальше; вслѣдствіе этого на шинахъ появляется дополнительное сопротивление отъ тренія, такъ что выше указанныя значенія,  $M_3$ ,  $R$  и  $x$  измѣняются.

Обозначимъ ось вращенія полотна воротъ черезъ О (черт. 202) и центръ сопротивленія т. е. точку приложения силы  $R$  черезъ  $A$ .

Движущее усилие  $N$  приложено въ точкѣ  $B$  на разстояніи  $k$  отъ О. По чертежу (202)

$$N = \frac{x R}{k}$$

и дополнительная опорная реакція

$$O = R - N = R - \frac{x R}{k} = R \frac{k - x}{k}.$$

Дополнительное сопротивление отъ тренія въ гальсбантѣ обозначимъ черезъ  $C_1$  и отъ тренія въ пятѣ черезъ  $C_2$ , такъ что полное дополнительное сопротивление

$$D = C_1 + C_2 = \mu \cdot O = \mu \frac{k - x}{k} R$$

соответственно этому движущій моментъ увеличивается и значения  $R$  и  $x$  измѣняются.

Обозначимъ исправленную величину сопротивленія черезъ  $R_1$  и разстояніе точки приложения его отъ оси вращенія черезъ  $x_1$ .

Тогда сопротивленіе отъ реакціи

$$(11) \dots \dots \dots D = C_1 + C_2 = \mu \frac{k - x_1}{k} R_1.$$

Плечо силы тренія въ гальсбантѣ  $= r_1$ , а въ пятѣ  $\frac{1}{2} r_2$ ;

следовательно моментъ тренія

$$= C_1 \cdot r_1 + C_2 \cdot \frac{r_2}{2} = \Sigma Cr.$$

Искомыя значенія  $x$  и  $R$  т. е. исправленныя  $x_1$  и  $R_1$  должны удовлетворять условію

$$x \cdot R = x_1 \cdot R_1 = M_3,$$

и моментъ тренія отъ реакціи  $D = \mu \frac{k - x_1}{k} \cdot R_1$  долженъ быть прибавленъ къ моменту движущаго усилия, т. е.

$$\Sigma Cr + R_1 x_1 = (D + R_1) x_1 \quad \dots \dots \dots \quad (12)$$

или

$$\Sigma Cr = D x_1 \quad \dots \dots \dots \dots \dots \quad (13);$$

отсюда

$$x_1 = \frac{\Sigma Cr}{D}.$$

Обозначимъ  $C_1 = \alpha D$ ;  $C_2 = (1 - \alpha) D$ ; следовательно

$$\Sigma Cr = C_1 \cdot r_1 + C_2 \cdot \frac{r_2}{2} = \alpha D \cdot r_1 + (1 - \alpha) D \cdot \frac{r_2}{2}$$

$$x_1 = \alpha r_1 + (1 - \alpha) \cdot \frac{r_2}{2} \quad \dots \dots \dots \dots \quad (14),$$

откуда

$$\alpha = \frac{2x_1 - r_2}{2r_1 - r_2}. \quad \dots \dots \dots \dots \quad (15)$$

Для опредѣленія силы  $C_1$  тренія отъ реакціи въ гальсбантѣ и силы  $C_2$  въ пятѣ при  $C_1 + C_2 = D$  надо найти сначала центръ сопротивленія полотна.

Обозначая черезъ  $G$  (форм. 3) треніе въ гальсбантѣ отъ вѣса и черезъ  $p$  (форм. 8) гидродинамическое сопротивление его, по чертежу 203 находимъ моментъ сопротивленій относительно горизонтальной оси, проходящей черезъ пяту,

$$(C_1 + G)b + p \cdot \frac{h}{2} = (R_1 + D)y,$$

откуда

$$y = \frac{(C_1 + G)b + p\frac{h}{2}}{R_1 + D}.$$

Изъ чертежа находимъ:

$$k : (k - x_1) = (h - z) : (h - y)$$

и  $C_1 \cdot b = Dz$ .

Изъ первого уравненія находимъ

$$\frac{(h - z)(k - x_1)}{k} = h - y;$$

подставляемъ сюда значение  $y$

$$\frac{(h - z)(k - x_1)}{k} = h - \frac{(C_1 + G)b + \frac{ph}{2}}{R_1 + D},$$

$$\text{гдѣ } D = \mu \frac{k - x_1}{k} \cdot R_1, \quad C_1 = \alpha D = \alpha \mu \frac{k - x_1}{k} R_1 \text{ и}$$

$$z = \frac{C_1 b}{D} = \alpha b, \text{ такъ что}$$

$$\frac{(h - \alpha b)(k - x_1)}{k} = h - \frac{\left( \alpha \mu \frac{k - x_1}{k} \cdot R_1 + G \right) b + p \frac{h}{2}}{R_1 \cdot \frac{k + \mu(k - x_1)}{k}};$$

$$\frac{h(k - x_1)}{k} - \frac{\alpha b(k - x_1)}{k} = h - \frac{\alpha \mu (k - x_1) b}{k + \mu (k - x_1)} - \frac{k \left( G b + \frac{p h}{2} \right)}{[k + \mu (k - x_1)] R_1};$$

$$\alpha b \frac{(k - x_1)[k + \mu (k - x_1)] - k \mu (k - x_1)}{k [k + \mu (k - x_1)]} + h \left( 1 - \frac{k - x_1}{k} \right) =$$

$$= \frac{k \left( G b + \frac{p h}{2} \right)}{[k + \mu (k - x_1)] R_1};$$

$$\alpha \cdot b \left\{ k^2 + k \mu (k - x_1) - x_1 [k - \mu (k - x_1)] - k \mu (k - x_1) \right\} +$$

$$+ h x_1 [k + \mu (k - x_1)] = \frac{k^2 \left( Gb + \frac{p h}{2} \right)}{R_1};$$

$$\text{Подставляя сюда } \alpha = \frac{2x_1 - r_2}{2r_1 - r_2}$$

$$\text{и } R_1 = \frac{R \cdot x}{x_1} = \frac{M_3}{x_1}, \text{ находимъ}$$

$$(2x_1 - r_2) \left\{ \frac{k^2}{x_1} - [k + \mu (k - x_1)] \right\} + \frac{h}{b} (2r_1 - r_2) [k + \mu (k - x_1)] = \\ = \frac{k^2 \left( G + \frac{p}{2} \cdot \frac{h}{b} \right)}{M_3} (2r_1 - r_2) \dots \dots \dots (16)$$

Отсюда  $x_1$  легче всего опредѣлить путемъ подстановокъ.

Изъ выраженія (14) видно, что плечо  $x_1$  имѣеть нѣкоторое среднее значеніе между плечомъ тренія въ гальсбантѣ  $r_1$  и плечомъ тренія въ пятѣ  $\frac{r_2}{2}$ . Благодаря этому вычисленія значительно упрощаются. Подставивъ въ уравненіе (16) два значенія  $x_1$ , близкія къ  $r_1$  и  $\frac{r_2}{2}$ , можно затѣмъ изъ пропорціи найти довольно точную величину  $x_1$ . \*).

Для проверки вычисленій можетъ служить выраженіе (13).

Для воротъ Шекспинскаго шлюза

$$R = 110,27 \text{ пуд.}, \quad k = 63,4 \text{ дм.}, \quad h = 197 \text{ дм.}, \quad b = 210 \text{ дм.};$$

$$p = 0,97 \text{ пуд.}, \quad M_3 = 399 \text{ пд. дм.};$$

\*) Имѣемъ  $f(x_1) = 0$ ; приближенное значеніе корня обозначимъ черезъ  $c$ . Если опредѣлить значения  $f(a)$  и  $f(b)$  для двухъ значеній  $a$  и  $b$ , выбранныхъ произвольно, но такъ, чтобы  $x_1$  заключалась между ними, то

$$c = a - h = a - f(a) \frac{a - b}{f(a) - f(b)}$$

$$N = \frac{M_3}{k} = \frac{399}{63,4} = 6,3 \text{ пд.}; G = 44,3 \text{ пд.}; r_1 = r_2 = 2,5 \text{ дм.}$$

$\frac{k^2 \left( G + \frac{p}{2} \cdot \frac{h}{b} \right)}{M_3} (2r_1 - r_2) = 1127,3$  такъ что на основаніі уравненія (16) при  $\mu = 0,13$

$$(2x_1 - 2,5) \left\{ \frac{63,4^2}{x_1} - [63,4 + 0,13(63,4 - x_1)] \right\} + \frac{197}{210} \times \\ \times 2,5[63,4 + 0,13(63,4 - x_1)] - 1127,3 = F(x_1).$$

Такъ какъ  $x_1$  должно заключаться между  $r_1 = 2,5$  и  $\frac{1}{2}r_2 = 1,25$ , то, подставляя въ  $F(x_1)$  значенія:  $x_1 = 1,25$  и  $x_1 = x_1 = 2,4$ , находимъ:

$$\text{при } x_1 = 2,4 \quad F(x_1) = 2728$$

$$\text{при } x_1 = 1,25 \quad F(x_1) = -959,66$$

$$x_1 = 2,4 - \frac{2,4 - 1,25}{2728 + 959,66} = 1,55.$$

Второе приближеніе:

$$\text{при } x_1 = 1,7 \quad F(x_1) = 1103,9$$

$$\text{при } x_1 = 1,4 \quad F(x_1) = -119,8$$

$$x_1 = 1,7 - \frac{1,7 - 1,4}{1103,9 + 119,8} = 1,43 \text{ дм.}$$

Далѣе находимъ

$$\alpha = \frac{2 \times 1,43 - 2,5}{2,5} = 0,144$$

$$R_1 = \frac{M_3}{1,43} = 279 \text{ пуд.}$$

По формулѣ (11)

$$D = 0,13 \frac{63,4 - 1,43}{63,4} \cdot 279 = 35,5 \text{ пуд.}$$

$$C_1 = \alpha D = 5,1 \text{ пд.}; C_2 = D - C_1 = 30,4 \text{ пд..}$$

Для проверки дѣлаемъ подстановку найденныхъ величинъ въ формулу (13)

$$5,1 \times 2,5 + 30,4 \times 1,25 = 35,5 \times 1,43;$$

$$12,75 + 38,00 = 50,765,$$

что въ достаточной степени точно.

Полный движущій моментъ

$$\Sigma M = (N_1 + D)x = (279 + 35,5) \times 1,43 = 450 \text{ пуд. дм.}$$

Въ точкѣ закрѣпленія зубчатой рейки требуется приложить усилие

$$N_1 = \frac{450}{63,4} = 7,1 \text{ пуд.}$$

т. е. на 11% болѣе исчисленного выше 6,3 пуд.

Усилие  $Q$  рабочаго, приложенное къ рукояткѣ механизма опредѣлится изъ равенства работы его работъ сопротивленій т. е. изъ уравненія

$$\gamma \cdot \Sigma M = Q \cdot q \cdot v$$

гдѣ  $\gamma = 0,0183$  — средняя условная скорость (см. выше),

$q = 0,8$  — коэффиціентъ полезного дѣйствія механизма,

$v = 2,4$  фут. = 28,8 дм. — скорость вращенія рукоятки,

$0,0183 \times 450 = 0,8 \times Q \times 28,6$  откуда

$$Q = 0,36 \text{ пуд.}$$

что согласуется съ дѣйствительностью.

Въ нашемъ сравнительно краткомъ труде мы вовсе не касались весьма важнаго вопроса о расчетѣ шлюзныхъ водопроводовъ: причиною этого послужило то обстоятельство, что вопросъ этотъ весьма обстоятельно и детально разработанъ Инженеромъ Н. Д. Тяпкинымъ въ его труде „О формулахъ, примѣняемыхъ для гидравлическаго расчета шлюзныхъ водопроводовъ въ различныхъ случаяхъ ихъ устройства“, а по-

тому всѣхъ желающихъ ознакомиться съ указаннымъ вопросомъ мы и отсылаемъ къ этому труду.

Въ качествѣ материала для проектированія камерныхъ шлюзовъ мы приложили въ атласѣ чертежей восемь таблицъ, взятыхъ изъ серии исполнительныхъ чертежей по устройству Маринской системы.

На листахъ 26 и 27 помѣщены исполнительные чертежи шлюза Св. Андрея, построенного въ 1894 г.

На листѣ 28 представленъ шлюзъ Св. Самсонія; отличие его главнымъ образомъ заключается въ устройствѣ основаній (въ скалистомъ грунѣ).

На листахъ 29 и 30 помѣщены детали къ деревяннымъ шлюзамъ, касающіяся какъ устройства королей, такъ и водопроводныхъ затворовъ и механизмовъ для открытия воротъ.

На листѣ 31 изображенъ одинъ изъ Шексинскихъ шлюзовъ, построенныхъ въ 1895 г., и представляющихъ собой типъ шлюзовъ съ камерою въ видѣ канала съ укрѣпленными берегами.

На листахъ 32 и 33 помѣщены детали къ изображеному на листѣ 31-мъ шлюзу.



